



Статья

Прогнозирование характеристик высокоскоростных последовательных каналов связи На основе глубокой нейронной сети (DNN) — преобразователь Каскадная модель

Лиинь В у ¹ [ь], Ц зинья н Чжоу ¹, Хайнин Ц зя н ¹, Си Ян ¹, Юнч жө н Чжань ² [ь и Иньх ан Чжан

- 1 Школа свя зи и э лектронюй инженерии, Университет Цзишоу, Цзишоу 416000, Китай; 2022700814@stu.jsu.edu.cn (LW); 2022700812@stu.jsu.edu.cn (JZ); 2023700812@stu.jsu.edu.cn (HJ); ynkej@163.com (XY)
- ² Цаньдунская компания Yunhai Guochuang в области инноваций в области облач ного вын ислительного оборудования, Ltd., Ц зинань 250101, Китай; sdzyz1989@163.com * Переписка: zyh149032@jsu.edu.cn

Аннотация: Уровень проектирования физических характеристик канала оказывает решаю щее влия ние на качество передачи высокоскор остных последовательных каналов связи. Однако проектирование канала требует сложного процесса моделирования и проверки. В этой статые предлагается модель каскадной нейронной сети, состоя щая из глубокой нейронной сети (DNN) и преобразователя. Эта модель принимает физические характеристики в качестве входных данных и импортирует однобитовый отклик (SBR) в качестве соединения, которое улучшается за счет прогнозирования частотных характеристик и параметров эквалайзера. В тоже время анализ целостности сигнала (SI) и оптимизация канала достигаются за счет прогнозирования глазковых диаграмми рабочих запасов канала (СОМ). Кроме того, для оптимизации гиперпараметров (НРО) используется байесовская оптимизация, основанная на гауссовском процессе (GP). Результаты показывают, что каскадная модель DNN-Transformer обеспечивает высокоточные прогнозынескольких показателей при прогнозировании и оптимизации производительности, а максимальная относительная ошибка результатов тестового набора составля ет менее 2% при арх итектуре эквалайзера 3-отводной передачи. FFE, RX СТLE с двойным усилением по постоя нюму току и 12-отводный RX DFE, который более мощьй, чем другие модели глубокого обучения, сточки зрения способности прогнозирования.

Клю чевые слова: высокоскоростная связь; целостность сигнала; глазковая диаграмма; операционная маржа канала; каскадная модель



Цитирование: Ву, Л.; Чжоу, Дж; Цзяң Х.; Яң Х: Жан Ю. Чжан Ю

л, ден ку чжен ко
Прогновирование х арактеристик
высокоскоростных последовательных каналов
свя зи на основе глубокой нейронной сети (DNN) —
Каскадная модельтрансф орматора.

Электроника 2024, 13, 3064. https://doi.org/ 10.3390/electronics13153064 .

Академический редактор: Шинг-Хонг Лю

Постугила: 1 июля 2024 г.
Пересмотрено: 24 июля 2024 г.
Приня то: 31 июля 2024 г.
Опубликовано: 2 августа 2024 г.



Котирайт: © 2024 авторов.

Лиценвиат MDPI, Базель, Швейцария.

Эта статья ных одится в открытом доступе.
распространя ется на условия х и
условия Creative Commons

Лиценвия с указанием авторства (СС ВУ)
(https://creativecommons.org/licenses/by/

1. Введение

Поскольку полоса пропускания тех нологии проводной последовательной свя зи достигает уровня ГГц, обеспечить эфективную передачу сигнала путем простой оптимизации диэ лектрика и структуры компоновки уже нев озможно. Высокоскоростные системы последовательной свя зи страдают от серьезных проблем с целостностью сигнала (SI) из-за скин эфекта, диэ лектрических потерь, перекрестных помех, отражений и джиттера; поэтому анализ SI становится все более строгим на этапе проектирования высокоскоростных последовательных каналов свя зи. Имитационный анализ SI обычно состоит из двух этапов: решателей электромагнитного поля (EMFS) и моделирования схемной системы[1]. Во первых, EMFS используется для получения S-параметров, характеризующих частотную характеристику схемы Затем эти S-параметры импортируются в систему схемы модели для моделирования вовременной области, чтобы получить основные показатели SI, включая глазковую диаграмму, импульсную характеристику и формы перех

Хотя традиционный анализ SI, основанный на физических моделя х высокоскор остных каналов связи, может обеспечиты высокую точность, онтребует много времени и компью терных ресурсов. Интерфейс алгоритмической модели спецификации информации вх одного/вых одного буфера (IBIS-AMI) – э то поведеннеская модель, которая моделирует поведение ввода/вывода и алгоритмысквозных высокоскор остных последовательных каналов, упрощая внутренние физические детали [2]. По сравнению с физическими моделя ми онимеет преимущества в скор ости, простоте и низком потреблении ресурсов, но имеет низкую точность и недостаточную гибкость. Сравнение стандартных шаблонов соответствия я вля ется еще одним шир око используемым методом [3]. Это позволя ет быстро и интуитив но оценить производительнос

Электроника 2024, 13, 3064 2 из 20

отбрасывает запасыканала из-за необх одимости строгоудовлетв оря ть дискретным метрикам [4]. Напротив , метод рабочего запаса канала (СОМ) может э ффективно преодолеть э тот недостаток путем поиска оптимального проектного пространства в сего канала в форме отношения сигнал/шум (SNR). По сравнению с традиционными метриками SI, такими как глазковые диаграммый коэ ффициент битовых ошибок (BER), подх од СОМ демонстрирует такие преимущества, как более простое управление, более высокая скорость и более э ффективное тестирование. Очевидно, что по сравнению с оценкой канала Приложение 69В для Ethernet 10 Гбит/с (10 GbE), использование СОМ я вля ется более точным [5]. Хотя подх од СОМ может обеспечить э ффективный способ оценки и оптимизации высокоскоростных каналов, онтребует многочисленных итераций для пространственного поиска и недостаточногибок для анализа каналов с высокой пропускной способностью.

Машинное обучение (MO) в последние годышир око используется при моделировании и проектировании высокоскоростных каналовсвя зи и демонстрирует возможность повышения э ффективности анализа SI. Авторы[4,6–10] искали особенности в данных моделирования и обучали модели искусственной нейронной сети (ANN), глубокой нейронной сети (DNN) и машины опорных векторов наименьших квадратов (LS-SVM) для заменымоделирования схемных систем, для точного прогнозирования показателей во временной (ТD) и частотной области, таких как высота глаза (ЕН)/ ширина глаза (EW) и обратные потери (RL)/вносимые потери (IL); однако получение данных моделирования требует много вычислительных ресурсов и времени. Нейронные сети с пря мой свя зью (FNN), случайная лесная регрессия (RFR) и машины опорных векторов (SVM) используются для достижения простых прогнозов данных моделирования [11-13], например, для прогнозирования Ѕ-параметров и импульсных х арактеристик. При работе с более сложными данными моделирования традиционные методы машинного обучения могут потерять многие функции. Рекуррентная ней ронная сеть (RNN) — э то модель машинного обучения, которая может э ффективно фиксировать особенности сложных данных, особенно для данных последовательностей, таких как S-параметрыи импульсные х арактеристики. Авторы[14-20] используют арх итектуру RNN и Long Short-Term Memory (LSTM) для создания суррогатных моделей для прогнозирования форм перех одных характеристик сложных высокоскор остных каналов свя зи. Эти независимые суррогатные модели могут выполня ть анализ SI на основе данных моделирования, но не могут учитывать физические параметрыканалов. Анализ SI на основе физических параметров требует более сложных методов машинного обучения, и авторы[21–24] достигли э ффективных прогнозов физических параметров, используемых для оценки производительности высокоскоростного соединения, путем объединения нескольких алгоритмов глубокого обучения. Более того, на основе машинного обучения может быть достигнута оптимизация сбалансированной арх итектуры для высокоскор остных последовательных каналов [4,25-27]. В заклю чение, прогнозирование производительности и оптимизация арх итектуры [28] я вляются двумя важными частями приложений машинного обучения для высок

В э той статье предлагается каскадная модель DNN-Transformer для анализа SI и оптимизации высокоскоростных последовательных каналов. В этой модели можно не использовать EMFS и моделирование сх емных систем, а напря мую прогнозировать метрики SI, включая значения EH/EW, IL/RL, импульсную х арактеристику и значения СОМ, в соответствии с физическими параметрами. Между тем, оптимизация каналов может быть достигнута с помощью этой модели для прогнозирования соответствую щих значений СОМ и параметров э квалайзера для каналов с различными конфигурация ми э квалайзера. Кроме того, байесовская оптимизация, основанная на гауссовском процессе (ГП), используется для оптимизации гиперпараметров при одних и тех же условия х для разных комбинаций моделей. По сравнению с прогнозированием производительности высокоскоростного канала с использованием традиционного машинного обучения [6-10], DNN-Transformer может напря мую использовать физические параметрыканала для анализа, и точность его прогнозирования значительно выше. Для прогнозирования данных моделирования, таких как импульсные х арактеристики, DNN-Transformer может зах ватывать больше функций, и его способность прогнозирования более точна, чем та, которая достигается при использовании только модели RNN [14] или LSTM [20] для создания суррогатной модели. Результатыпоказывают, что модель DNN-Transformer может обеспечить более э ффектив ное прогнозирование. Производительность и осуществимость предлагаемого метода иллю стрирую тся данными прогнозирования и графическими результатами, приведенными в

Основные положения э той статьи можно резю мировать следую щим образом: (1) На основе клю чевых физических параметров каналов модели нейронных сетей используются для непосредственного анализа производительности канала, и э то позволя ет избежать трудоемких процессов решения ЭДС и моделирования схемных систем.

Основные положения этой статьи можно резю мировать следую щим образом: (1) На основе

ключевых физических параметров каналов модели нейронных сетей используются для непосредственного анализа производительности канала, и э то позволя ет избежать трудоемких процессов решения ЭДС и моделирования

схемных систем..

(2) С помощью моделей нейронных сетей можноточно прогнозировать несколько показателей SI. (2) С помощью моделей нейронных сетей можноточно прогнозировать несколько показателей SI и и параметры в квалайзера достигнуты Кроме того, мыпоказываем, что анализ SI и параметры э квалайзера канала достигаются. Кроме того, мыпоказываем достигаются. Кроме того, мыпоказываем достигаются. Кроме того, мыпоказываем что анализ SI и свя зы опгимизация также может быть быстро достигнута.

оптимизация также может быть быстро достигнута.
(3) Предлагается каскадная модель DNN-Transformer, для чего используется байесовская оптимизация (3)
Предлагается каскадная модель DNN-Transformer, для чего используется байесовская оптимизация.

Настройте гиперпараметры той модели, и ее превосх одная производительность будет продемонстрирована;

настройте гиперпараметры той модели, и продемонстрирована ее превосх одная производительность.
Проведено сравнение с другими моделя ми. сравнивая

его с другими моделя ми.

Отальная часть э того документа организована следую щим образом: В разделе 2 обсуждаются основные принципы Отальная часть э того документа организована следую щим образом: В разделе 2 обсуждаются основные принципы Э ТОЙ РАБОТЫ В КЛЮ ЧАЯ ПРИНЦИПЫМЕТ ОДОВ SI И СОМ. В РАЗДЕЛЕ 3 ОПИСЬВАЕТСЯ ПОРЯ ДОК Э ТОЙ РАБОТЫ В КЛЮ ЧАЯ ПРИНЦИПЫМЕТОДОВ SI И СОМ. В РАЗДЕЛЕ 3 ОПИСЬВАЕТСЯ , КАК был созданнабор данных моделирования. В разделе 4 была создана идея дизайна ДННТ рансформатор и набор данных моделирования. В разделе 4 рассмот рена конструктивная идея ДННТ рансформатор представленымодель и тестовые метрики. В разделе 5 приведенычисловые результаты демонстрирую щие модель, и представленытестовые метрики. В разделе 5 приведеныч исленные результаты демонстрирую щие противирующя э ффективность нашей модели. Наконец, раздел 6 завершет статью. противирующя э ффективность нашей модели. Наконец, раздел 6 завершет статью.

2 2. 4 2 4

211. На воточествость сивтна ма 9412 гла раметир в р ы 2.1.

Польтров у везгличе е виздной ороже дреми на в гффлектов в тельнатара до фиров в бильтернара и парта данев исиставалов онеервидиными и последов ат ельная цифров ая и устражите виставной и последов ат ельная цифров ая и устражите виставной и последов ат ельная цифров ая и устражите виздначений и последов ат ельная при в в виздерем и в последов ат ельная цифров ая и устражите в основном ставлений в последов ат ельная при в виздначительном в последов ат ельная при в видерем и али в али рамет рементальная и последов в основном к в в тор основного в при в в последов в основном в ельном ставлений ставлений ставлений в последов в основном в в основном в в полня ет предыскажение с игнала, ч т обы улу ч шить его и рементальная об вызаком броков объектов в основном в в полня ет предыскажение с игнала, ч т обы улу ч шить его и рементального в в основном в в полня ет предыскажение с игнала, ч т обы улу ч шить его и рементального в в основном в в полня ет предыскажение с игнала, ч т обы улу ч шить его и рементального в в основном в в полня ет предыскажение с игнала, ч т обы улу ч шить его и рементального в в основном в в полня в трементального в в основном в полня в трементального в полня в

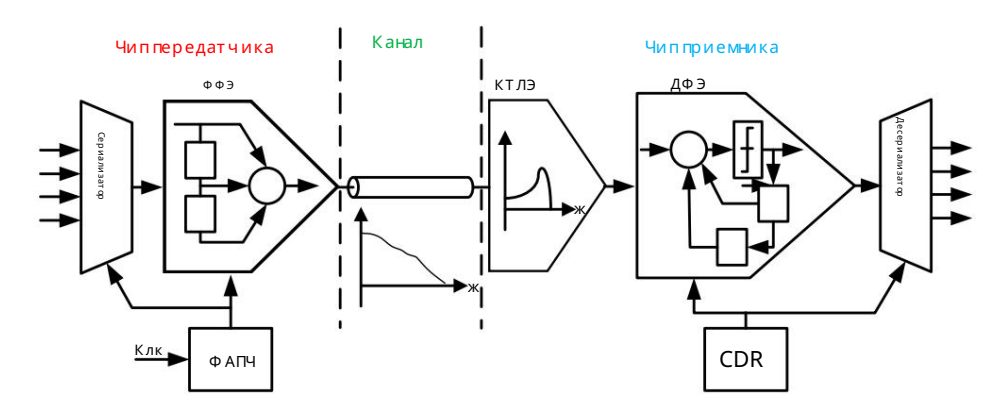


Рисунок 1. Общая структура сх емыSerDes.

ОСНОВ НАЯ ЦЕЛЬ АНАЛИЗА SI— выя витьи уменьшить факторы вывываю щле убытки, такие как отражение и перекрестные помех и. Содной сторонь Симокранализироватьстой ки зребния как сглаживание, отражение и перекрестные помех и. Обной сторонь Симокранализироватьстой ки зребния как сглаживание, отражение и перекрестные помех и. Содной стороны SI можно анализироваться и част отном области, как показано на рисунке 2а. В основном это в ключи чает в себя IL, RL, в носимые потери. Частотная область как показано на рисунке 2а. В основном этор коричает в себя IL, RL, отключение в носимых потерь к перекрестным помех ам (ICR), которые в последствии помещаются в наблондля оценки. Содругой стороны SI можно оценить в помех ам (ICR), которые в последствии помещаются в по

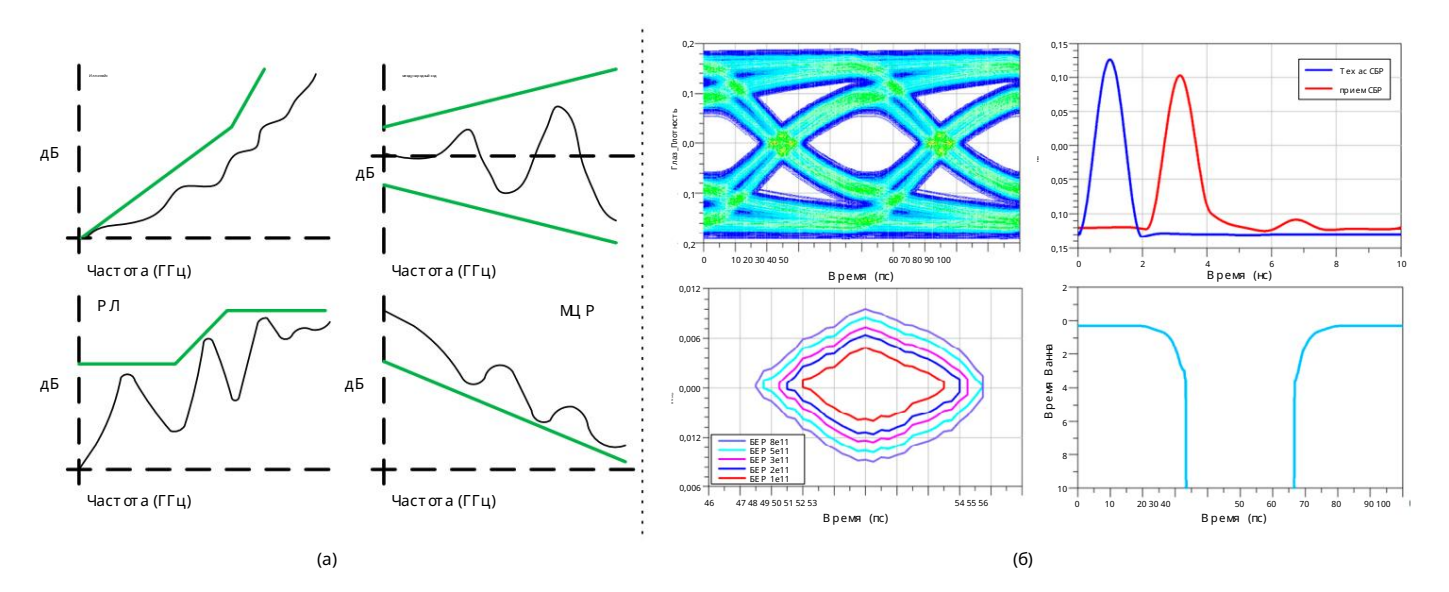
коэ ффициенты оши бок по битам, как показано на рисунке 2b.

Критический метод традиционного анализа SI предполагает получение S-параметров.

Эти параметры содержат полные х арактеристики частотной области (FD) канала передачи и предоставля ют большой объем информации потаким аспектам, как отражение

ция , перекрестные помех и и потери. Более того, S-параметрыможно использовать при моделировании вовреме 4403 20

области для получения таких данных, как глазковые диаграммый кривые ванны



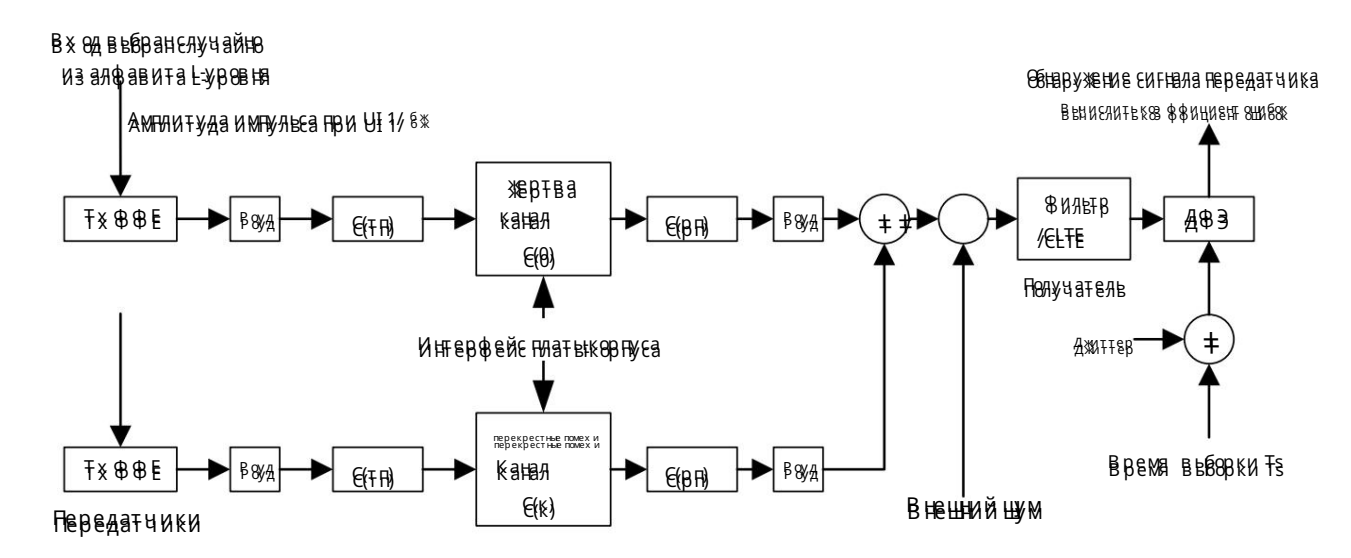
PUTC-2-(PA) POTA . (PA) TOTA . WITHOUT PARTIES ABOVE PARTIES AND P

2.2. Опе **кацитонне**й с **кал**ба мета **ра** дтар адиционного анализа SI в клю чает сбор S-пар аметров.

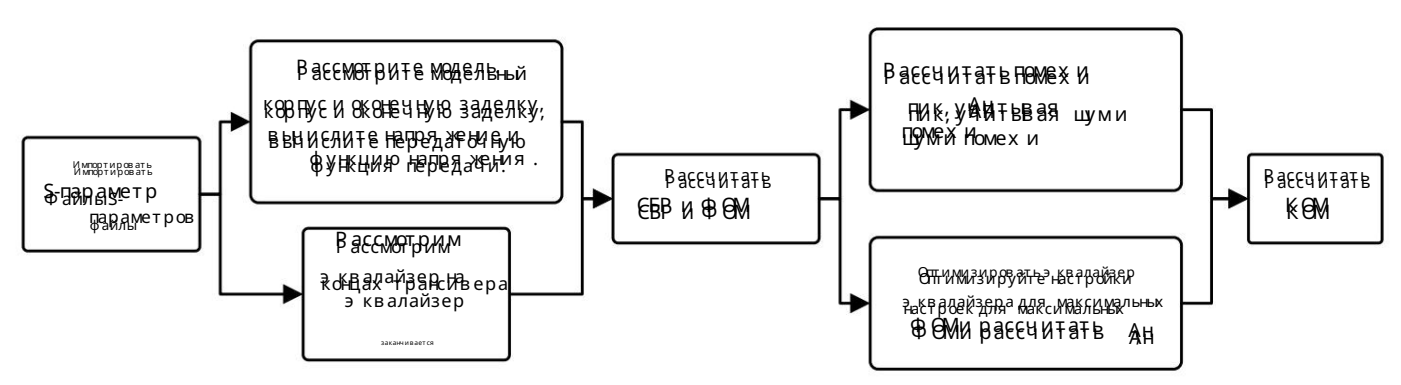
ЭТИ МЕРАМОТИНЕСЕНВИЯТ ПОВЫВЛЕНИЯ ИЗНЕЯВНИКИ ИЗНЕЯВИЕМИ И МУВЕТИТИИ В ВЕРОВЕТИИ ОБТЕЙНО ПОСЛЕДОВЕТЕЛЬНО ПО ПОСЛЕДОВЕТЕЛЬНОГО РЕВОВИЕМ НО МОТЕЙНЕНИИ В ВЕРОВЕТИИ В ВЕТОВЕТИИ В И И ПОРОВЕТИИ В ВЕТОВЕТИИ В ВЕТОВЕТИИ В ВЕТОВЕТИИ В ВЕТОВЕТИИ В ВЕТОВЕТИИ В И И ПОРОВЕТИИ В ВЕТОВЕТИИ В

учитывается в последующих версиях метода СОМ, а здачение метода, основанного на СОМ, на Ф ОМе можно улучшить, выбрав насодимиями здаржимет по в эквалай зера. Следовательно, (1)

вынисление СОМ также может определить, соответствует ли мачество канала требования мтрансивера. Требования может определить, соответствует ли мачество канала требования мтрансивера. Требования может вырования в усремение мажилизтрефеделечной функции в импульсную х арактеристику, применение алгоритмов э квалайзера передатчика и приемника и выполнение статистических расчетов шума. Наризменене же пределение в как от приемника и выполнение статистических расчетов шума. Наризменене же пределение в как от приемника и приемника и приемника и приемника и приемника в форма построения модели СОМ(1) пути для каналов жертвыи агрессора. Кроме того, модельтакже учиты в томех и корпуса передатчика и приемника в бор и кварай в располнения сом в карома в располнения в в форма построения можельство в карома в располнения в карома в располнения в карома в располнения в карома в в приемника в импульсную бельй и муму в располнения в приемника в карома построения модели сом и изображены в помех и корпуса передатчика и приемника в (tр/гр), оконеч ное сопротивление Rd, э квалай в ры и фильтры чтобылучше моделиров ать реальные каналы модель СОМ в ключает гауссову бельй шум и джиттер на стороне приемника. На рис . 4 показан подробный процесс СОМ. расчет стоимости.



Висунок 3: Типичная модель 60М:



ВИЕУНЯК 4: ПВОНЕЕЕ ВЗЕЧЕТЗ ЕОМ: Рисунок 4: Процесс расчета СОМ:

глаз м**Брадици оттыв жетемильным ком наме**зличные показатеми, также как джиттер, высога гизы ринерукая для от ета КОМ жекскым компузик ыним дуказ адерем наследные куспесное адельным данала. Он может и меть ширину, но СОМ служит

$$\Phi \text{ CM} = 10 \times \log 10 \qquad \frac{A_c^2}{\sigma_{\text{\tiny Texac}}^2 + \sigma_{\text{\tiny MCM}}^2 + \sigma_{\text{\tiny Z}}^2 + \sigma_{\text{\tiny XTK}}^2 + \sigma_{\text{\tiny H}}^2}$$
 (2)

Подх од СОМ предполагает изучение всех возможных комбинаций параметров ТХ. и э квалайзерыRX в пределах установленного диапазона, чтобынайти конфигурацию, которая максимизирует FOM. Эт от процесс определя ет значения Аз и Ал, которые приводят к оптимальному FOM.

Традиционные методыоснованына различных показателя х , таких как дрожание, высота глаз и ширина, но СОМ служит комплексным показателем для оценки последовательного канала. Это позволя ет существенно сократить время вынислений и количество итераций, а также обеспечивает точ ная оценка производительности канала как до, так и после выравнивания.

значительно сокращает время вынислений и количество итераций, а также обеспечивает точную оценку производительности канала как до, так и после выравнивания.

3. Построение набора данных 3.

Построение набора данных 3.1. Проектирование каналов и разделение набора

данных 3.1. Проект ирование канала и разделение набора данных

В этой работе наборыданных каналов были созданыс использованием профессионального программного обеспечения для проектирования печатных



Рисунок 5. Процесс изготовления и моделирования канала. Рисунок 5. Процесс изготовления и моделирования канала.

Дифференцированные х арактеристики каналыных данных, представленные в Таблице 1, в первую очереды

эти осооенности трассы, ширина, топщина, проводимость на основе конкретных параметров, таких как длина трассы, ширина, топщина, проводимость достоя на между линия ми. Профиль представлен В Таблице 1. Параметрых арактеристик канала и количественные

Переменная функции характеристики непосредственно представлены соответствую щими числовыми значения ми Эр Реальная часть диэ лектрической проницаемости листа печатной платыи TanD Таблица 1. Параметрыканала и количественные методы Коэ ффициент рассеивания листа печатной платы Переменная функции Выход трассывх од АМИН Латы Эр Реальная часть диамдект ринеской пронинае мости листа печатной платыи TanD Глазковые диаграммы Дф Коэ ффициент рассеивания листа печатной плать Дифференциальное расстоя ние между линия м СОМ-значения След Длина дорожки печатной платы Длинадорожки печатной платы Толщинадорожки печатной платы Ширинадорожки печатной Параметрыэ квалайзера Глазковые диаграммы платыПроводимость дорожки печатной платы Структуратрассировки печатной платыв След СОМ-значения пространстве Дольний на едоргожных пямнати (най офиль) Параметрыэ квалайзера платты Дтинф Тф еф едни мастындий ризменсидаена ат ной Структура трассыпечатной платы(профиль) Типпечатной платы Дифференциальный импеданс Тип

печатной платыПолосковая линия равна 1, а микрополосковая — 0. Эти х арактеристики трассыкопичественно оцениваются на основе определенных параметров, таких как трасса

длина, ширина, толщина, проводимость, профиль и дифференциальный межстрочный интервал. Профиль х арактеризуется геометрической формой следа, например количеством углов. Другой х арактеристики непосредственно представлены соответствующими числовыми значения ми.

Электроника 2024, 13, 3064 7 из 20

3.2. Конфигурация СОМ и настройка эквалайзера

В этой работе используется программа версии СОМ 4.0, предоставленная IEEE 802.3. Конфигурация ссылается на расширенную настройку моделирования СОМ (еСОМ) с USB4 Gen4. стандарта и включает в себя элементыстандарта 50 GBASE-KR. Настройки конфигурации РАМ4, как показано в Таблице 2, используют комбинацию передатчика FFE и СТLE и DFE на стороне приемника. Эта конфигурация включает в себя коэфициенты отводов ТХ FFE. и RX DFE, адаптивный диапазонусиления постоя нного тока и положения нулевого полю са RX СТLE. Дополнительные параметрывключают количество уровней сигнала, обозначаемое L. Для сигналов РАМ4:

L установлено на 4. Согласно рекомендуемой настройке РАМ4 на основе USB4, символ скорость установлена на 20 ГБд, а вых одное дифференциальное пиков се напря жение передатчика установлено на 0,4 В, обозначается как Ау. Стандарт USB4 Gen4 предполагает, что РАМ3 следует использовать в качестве метод модуля ции. Настройки СОМ для РАМ3 примернотакие же, как и для РАМ4.

Таблица 2. Настройка параметров СОМ.

Параметр	Си мв ол	Параметр	Единица
Скоростъпередачи символов	ФБ	20	ГБд
Количество уровней сигнала	Л	4	
Сбразцыяля — каждого отольное аттельского и и т ерф ейса	М	32	
Коэффициентошибки детекторацели	DER0	10 8	
Вых одное напря жение передатчика, жертва	Средыній	0,4	В
СТLЕ усиление постоя нного тока	gDC	[12:1:0]	дБ
CTLE усиление постоя нного тока2	gDC_HP	[6:1:0]	дБ
CTLE HP полю с	fHP_PZ	0,25	ГГц
CTLE ноль	fZ	ф 6/2,5	ГГц
CTLE полю c1	fP1	ф 6/2,5	ГГц
CTLE полю c2	ф П2	ф6	
Главный курсор FFE	c (0)	0,62	
предшественник FFE	c (1)	[-0,18:0,02:0]	
Посткурсор FFE	в (1)	[0,38:0,02:0]	
Длина ДФЭ	H6	12	
	bmax(1)	0,75	
Предел величиныDFE	bmax(2 Nb)	0,2	-
порог прохода СОМ	й	3	дБ

На основе приня той конфигурации ТХ FFE + RX CTLE + RX DFE прогноз параметрывключают коэ ффициентыотводов FFE, коэ ффициент усиления попостоя нюму току CTLE и коэ ффициентыотводов. из ДФЭ. Данные ТХ FFE и RX CTLE получаются путем поиска значений FOM. во всем расчетном пространстве, а коэ ффициенты DFE определя ются по импульсная х арактеристика h(t), соответствую щая оптимальному ФОМ На SI существенно влия ет посткурсорыближе к основному курсору, тогда как более удаленные посткурсоры оказывают минимальное воздействие. влия ние, поэ тому прогнозируются только первые четыре посткурсора DFE.

3.3. Разделение набора данных

В сего для данной работы было собрано 325 каналов. В этом наборе данных было 280 каналов.

использовался для создания набора данных глазковой диаграммы называемого набором данных А, и было использовано 215 каналов. СОЗ дать набор данных для СОМ и указать параметры эквалай зеров, упомя нутые как набор данных В. Из-завлия ния FОМ подх од СОМ использует другой эквалай зер методы оптимизации параметров полосковых и микрополосковых систем, что приводит к

атасеты 184 140 Обучаю ший набор

40

56 40 (5 из проверочного набора) 325

Тестовый набор Обиний

4. Построение каскадной модели и обучение ослабленной способности модели ML. Следовательно, мыстандартизировали набор данных В. 4.1. DNN с

LI3 A

40

использованием полосковых каналов. Среди 215 каналов в наборе данных В 170 каналов я вля ются полосковыми. мат е МАНЯ ЧЬЕМКИ ЕПСАНИЯ КВЕЧТИТЬ ОТСИ ХАНДЬКОМИ КАЗАКТИНУКОВ И ДЭГИ В ВУАДИТЕ Е БУДЬПИДЬ СТОТА Вметодомоти и у 66 ойно борог да на во рост дезней и у стандартной счасти неборото 1706 дта оборото небольной в профести неборото профести неборото профести неборото неб составля ет основную единицу DNN. Структура э той модели подробно изображена в Таблице 3.

Рисунок 6. =(, представля ет пвх $\wp_{\bf k}$ ньк признаков нейрона, а

Набор проверки

таблица 3. Настройки разделения набора данных. =(,) **ындици** и "В. есо**пробо**вначает весовой вектор, отвечаю щий залиней но-взвешенную связы

векторωоπтимизируется внейронных	сетях для повышения	точ Кости чыб бтызова Улиней но-взвешенный вых о	одной
результат Z можно выразить следую щим	образом: Наборыд А н280 0	Б: 215 (170 от А)	
Обучаю щий набор	18 [‡] 4 Z ω x' i i j	140	
Набор проверки	∠ ωχ ij j 40 д⊭1	40	(3)

Нари Е: Өй эөбр аже на структура модели МЛ-нейрона. Раз Ница между эерки) и смещение θ и спользуется в качестве входных данных для функции f() . Функция f() называется функцией активации и используется для получения вых одного сигнала нейрона. Ө к% የእምነቴዊ ፍ ሄ ሃ **ጉልፑቴአ** ⁴ ፈፀ**ቦፒ** እን **የፍታህር** ሁለዊ **የ** የተመሰቀ ያለች ነው። нейронная сеть. В э той статье функция ReLU приня та в качестве функции активации, поскольку она можергеброткеже внефяфексити еиногоми/афиктКызонарожяют инострок или Ббутчтеснимуя прФеррумуятыя дея собройго. Модель МП, П**%**ЫФ**₹ЖАРЫ Ы Векую Н**МИД(Ы)ь, разработанную посредством анализа и синтеза основных свойств. нейронов [31]. Эта модель и меет решаю щее значение для реализации нейронных сетей и ReLU **(я/)хс(о): ∓апалх(О;) т**основ ную единицу DNN. Структура этой модели изображена на

Рисунок баже (хінхе функций активаций обы ноиспользуются в качествевх одных данных для соседних шинотыком гиви в производительности [4,6-9,32]. Прогнозы. Линейно в звещенный вых од Z можно выразить следую шим образом: DNN, используемая в э той статье, как показано на рисунке 7, принимает стандартную структуру с несколькими скрытыми слоя ми, а также вх одным слоем и вых одным слоем линейной регрессии [33], использует полностью свя занную сетевую арЯим тектуру;јукржду своими нейронами. и (3)

i=1

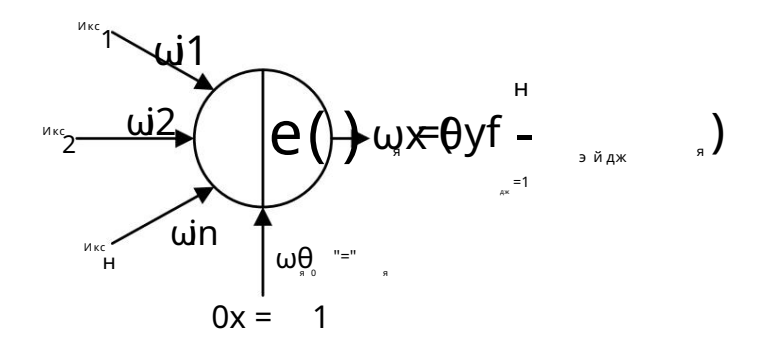


Рисунок 6. Структура модели МП-нейрона.

Нарис. 6 изображе на структура модели МП-нейрона. Разница между Z и смещение θ используется в качестве входных данных для функции f(·). Функция f(·) называется функция активации и используется для получения выходного сигнала нейрона. Өможно рассматривать как вес входа х0 с фиксированным значением 1, а также я вляется целью оптимизации нейронной сети. сеть. В э той статье функция ReLU приня та в качестве функции активации, поскольку она может более э ффективно смя гчить возникновение переобучения. Формула для этого показана на Уравнение (4).

$$fReLU(x) = Makc(0, x)$$
 (4)

Вых одные данные функции активации обычно используются вкачестве входных данных для соседних слоев. DNN могут выполня ты такие задачи, как регрессия, классификация и распознавание. DNN — э то широкоиспользуется для задач регрессии в производстве и оценке производительности [4,6-9,32].

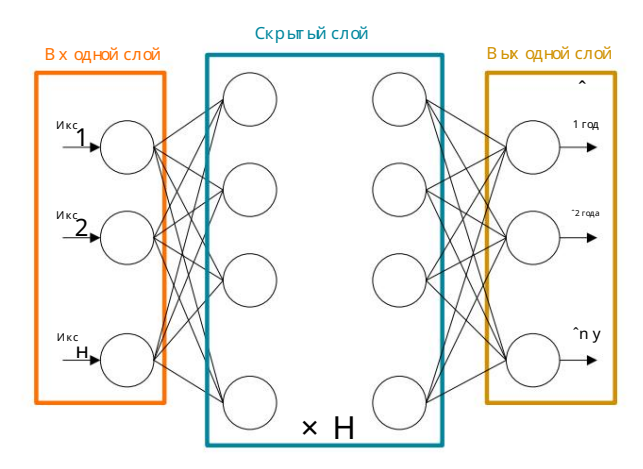
Электроника 2024, 13, 3064 9 из 20

Электроника 2024, 13, х НА ЭКСПЕРТИЗУ

9 из 20

DNN, используемая в э той статье, как показано на рисунке 7, имеет стандартную структуру с несколькими скрытые слои, а также вх одной слой и вых одной слой линейной регрессии [33] и

Рик**у нох เ**ธิง 🕅 рукит нох на и ней ронами. Рику нох и тектуру между своими ней ронами.



P NF VIEWHORE BEOLD STORY OF DEPARTMENTS

разрыва между предсказанными моделью значения ми и фактическими значения ми. В э том функция стоимости для оценки разрыва между значения ми, предсказанными моделью, и фактическими значения ми. В статье в качестве функции стоимости приня та Smooth L1 [34]: в этой статье Smooth L1 [34] прини мается в качестве функции стоимости:

ГАФ де уп иуум пруедрагдавтара пот нообайбрайдальнаявые з вание ни вриотировиния и риучедившение в востателенные нно.

оптимизатор для обратного распространения ошибки и непрерывной минимизации функции стоимости. Модель используется для обратного распространения ошибки и непрерывной минимизации функции стоимости. $_{10}$ ይመራትም፤ ሙኔት ይደናሴት ሃዕደናብላ ይማናይማ 4 ጎን የይዞንሚያን ይደናናል ውን ለጉርዳን ተውሃሚያት ል ይህተብ ተዳለማ መመመው መጠይያት ዜናል ነት የዩኒልፎት ል የርተመር ነት $_{
m AO}$ የፍለገ ቅር ጉባር ያስፈር ታይና የደገፉለብ እጉደና እንዚህ የተለከፉ እንደ ነገለባ የሚያለው እንደ ነገለ እንደ ነገ был выбран оптимизат ор Адама [35]. выбраны для использования в данной статье [35].

4.2. Трансформатор для регрессии 4.2. Трансформатор для регрессии.

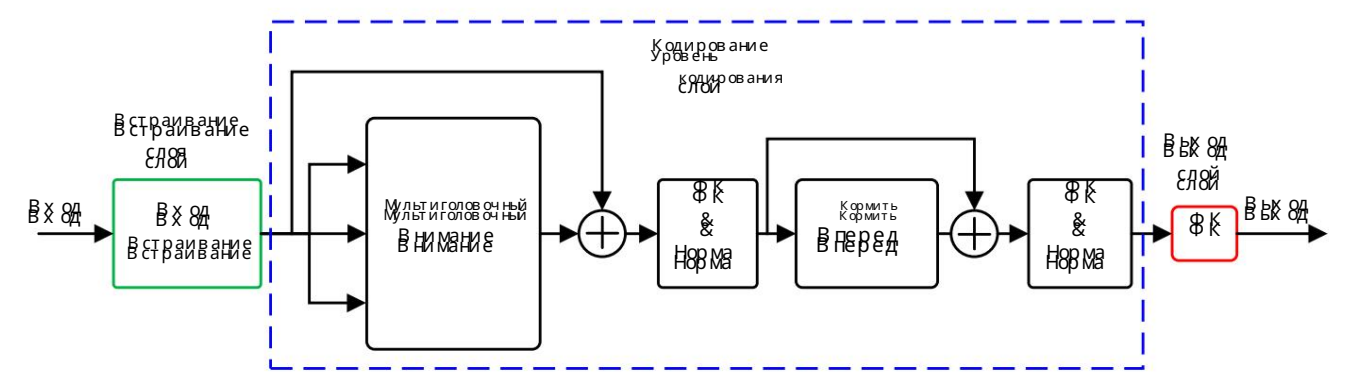
Точность параметров эквалайзера изначений СОМ, прогнозируемых напря мую каналом. Точность параметров эквалайзера изначений СОМ, непосредственно прогнозируемых параметрами функций канала, от носительно низкая. В этой работе однобитовый ответ (SBR) до и параметры функции относительно низкие. В этой работе однобитовый отклик (SBR) до и после выравнивания сначала прогнозируется на основе функциональных параметров канала, и и после того, как корректировка сначала прогнозируется на основе параметров функции канала, затем параметры э квалайзера и значения СОМ определя ются в соответствии с прогнозируемым а затем параметры э квалайзера и значения СОМ определя ются в соответствии с предимпульсным откликом. Импульсный отклик необх одимо использовать как временной ря д для прогнозирования. [™] ዋይኔጊያል ጊዜዋል ተለጧዣብ፦ በዚያ o Psakuk ያል ይሄደንሃ [™] ይገቃ ጀለዚራ ነዋይ እንደ ያለይ የመደር የመጀመር ተለማ ነው ያለት የተለማ ነው Традиционно для прогнозирования временных рядовиспользуются модели RNN или LSTM, но они имею т определенные ограничения. Модель Transformer может эффективно улучшить градиент. произведения имею топределеные ограничения. Модель Transformer может э ффективно решить проблему градиентного в зрыва, в озникаю шую в LSTM, за счет использования мех анизмов в нимания, тем самым улучшая

Проблема в зръва, кот орая возникает в LSTM за счет использования мех анизмов в нимания, тем самьм повышая точность прогнозирования [36]. повышени фтор мут/апме хозния в на мания показана в уравнении (6). В основном он состоит из к (клюбууула механизма в нимания показана в уравнении (6). В основном он состоит из трех входов: Q (запрос), из дава авх ся ове Q (за вяжной) са (кове н) жив (зыя у ение), а также модуль softmax. Когда Q и V идентичны э то

Ки V идентичны э то называется мех анизмом самов ни мания.

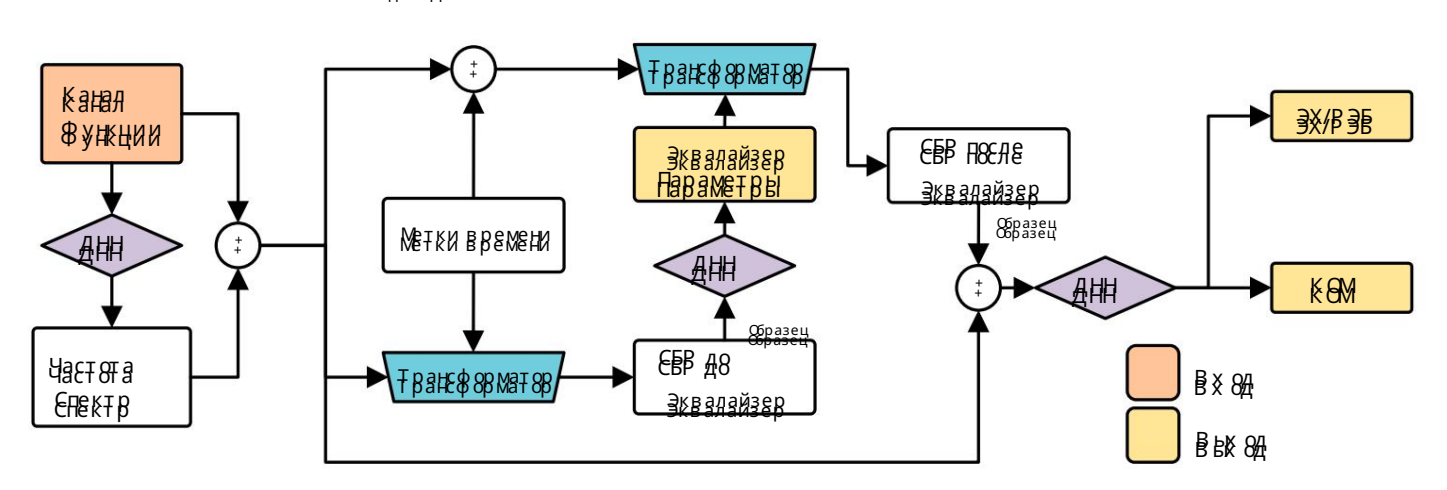
Внимание
$$(Q,K,V)$$
 = softmax (dk^T,E^T,B^T) (6)
В нимание (Q,K,V) = softmax (dk^T,E^T,B^T,B^T) (6)

Полная арх итектура Transformer в первую очередывключает в себя уровенывнедрения , ypoBentaroantwottektxbautobasiakmeybbeenexkogebep. Pabbeathyareteb secib expogregabbbeeneria itom 9 PBERTABLY SELLER MAY BE LIGHT FROM A SELLER MAY BE READOWN. SHE SHEW MAY FROM THE PROPERTY OF THE SHEW MAY BE READOWN FROM THE PROPERTY OF THE SHEW MAY BE READOWN. задача регрессии; модели необх одимо генерировать только одно вых одное значение, соответствую щее каждому моменту в ремени, и ей не требуется декодер для генерации вых одных последовательностей. Использование только к каждому моменту времени и не требует декодера для генерации вых одных последовательностей. С использованием достаточно уструк образованием достаточно уструк образованием достаточно уструк образованием достаточно уструктуру модели и уменьшеет том уструктуру модели и уменьшеет по уструктуру модели и уменьшеет уме



ВИЕУНЖ 8: ЄТВУКТУРЯ НЯШЕГЯТВЯНЕЯ ВВМЕВЯ НЯЯ ЗЭНАЧ ВЕГВЕЕСИИ: Рисунок 8: Структура нашего трансформера для задач регрессии.

4.3. Каскадная модельи обучение 4.3. Каскадная бурдейы обучение 4.3. Каскадная



BUEYHAK 9: ETBYKTYBA KAEKAAHAN MAASAN:

образом: lows: (8)

$$X = xij i=1:NC, j=1:NP$$

где NC представля ет количество каналов в наборе данных, NP — обще количество функций канала, а X — матрица NC × NP. Элемент хіј обозначает количественное значение конкретного физического признака канала: например, х11 соответствует значению признака длины первого канала.

DNN, используемая в каскадной модели, может быть представлена уравнением (9):

Y = FDNN(Z,
$$\theta$$
)
= W(I) fReLU($\cdot \cdot \cdot \cdot$ (W(2) fReLU(W(1)X + θ (1)) + θ , (9)
(2) $\cdot \cdot \cdot \cdot$) + θ (I)

где Z представля ет собой линейно взвещенный вых од вх одной матрицыХ и весов модели W, как описано в уравнении (3), а θ представля ет собой смещение. Индекс I обозначает слой модели DNN, который вклю чает вх одной слой, скрытые слои и вых одной слой. Наша сеть использует в общей сложности четыре различных модели DNN с различными гиперпараметрами: У f для прогнозирования спектральных х арактеристик, Y для епрогнозирования параметров э квалайзера, Y для прогнозирования глазков бй диаграммыи Y для прогнозирования СОМ.

Расширенная матрица Xf получается путем горизонтального объединения входной матрицы X первой модели DNN с выходом Yf :

где вектор-столбец уІ = (y1I , y2I , yR = (y1R, y2R, \cdots , yNc I) T представля ет прогнозируемый канал IL и \cdot , yNcR) T представля ет предсказанный канал RL.

Чтобы повысить точность прогнозируе мого значения СОМ, и мпульсный отклик извлекается из SBR до и после выравнивания в инструменте СОМ. В качестве основного курсора принимается момент времени, соответствую щий пику, а в качестве требуемого SBR выбираются амплитудычетырех предкурсоров и восьми посткурсоров, определя емье интервалом выборки СОМ. Затем и мпульс каждого канала выравнивается и вставляются соответствую щие временные метки, образуя последовательный вектор признаков. Уравнение (11) представляет собой последовательность значений амплитуд. После э той обработки модель Трансформатора можно и спользовать для точного прогнозирования SBR.

где FTrans обозначает используемую модель преобразователя, SBR1(t) представля ет SBR, соответствую щий вх одному вектору признаков канала в определенный момент времени, а SBR1 представля ет последовательность SBR канала. t0 и t1 — левая и правая границыв ременного диапазона соответственно.

Подавая SBR в последую шую модель DNN с различными параметрами, можно получить прогноз параметров э квалайзера с помощью уравнения (12):

$$A^{ge}$$
 = FDNN(SBR1, SBR2, · · · , C6P HL) (12)

Путем интегрирования параметров э квалайзера с вх одньми данными, имею щими спектральные tics, расширенная матрица SBReq ___ х арактеристики, строится (t) для прогнозирования пост-выравнивания.

СБР. Эта матрица с помощью уравнения (13) затем преобразуется в завися щую от времени последовательность в соответствии с методологией, представленной в уравнении (11).

СБрек (t) = FTrans[xNC1(t),
$$\cdots$$
, xNCNP (t), yNCI (t), yNCR (t), $Y \stackrel{e}{=} (T)$]

СБрек = [SBReq (t t0), \cdots , (13)

СБрек (t), \cdots (t $P \stackrel{e}{=} (T) \stackrel{e}{=} (T)$]

 $A_a \stackrel{e}{=} O$ от в оды ($E \stackrel{E}{=} (T) \stackrel{e}{=} (T) \stackrel{e}{=} (T)$) DFE-NC

Наконец, полученный SBR после выравнивания объединяется с X f для формирования окончательного результата. в x одные функции для прогнозирования значения СОМ.

Перед формальным обучением каскадной модели мыстандартизировали вх одные данные, а freq применила стратегию предварительного обучения. Первоначально модели DNN F DNN(X) и F DNN(X), предназначенные для прогнозирования спектральных х арактеристик и параметров э квалайзера соответственно, обучались независимо, и соответствую щие им параметрысох раня лись. Эти предварительно обученные модели DNN затем были интегрированые необх одимой моделью Transformer для построения полной каскадной модели для прогнозирования параметров э квалайзера и СОМ, как показано на рисунке 9. Для обучения каскадной модели в качестве функции стоимости использовалась Smooth L1. и алгоритм Адама был применендля обновления параметров модели. С помощью набора инструментов optuna структурирование модели и оптимизация гиперпараметров (НРО) были выполненыпосредством байесовской оптимизации с использованием GP [37,38]. В качестве функции сбора данных была выбрана функция ожидаемого улучшения (EI) с начальным набором из 10 точек наблю дения, позволя ющая получить э ффективный НРО в пределах вынислительно возможного объема.

По сравнению с поиском поглобальной сетке, поиском по случайной сетке и методами поиска пополам байесовская оптимизация более э ффективна для НРО и требует меньше времени на оптимизацию. Кроме того, в э той статье используется метод перекрестной проверки K-Fold для повышения надежности оценки модели.

После завершения обучения модели ее прогнозные в озможности можно оценить с помощью нескольких различных показателей. Одной из э тих метрик, показанной в уравнении (14), я вля ется RMSE. Операция в озведения в квадрат в RMSE повышает чувствительность к ошибкам, что делает ее особенно чувствительной к выбросам. Эта повышенная чувствительность также может сделать его чрезмерно чувствительным к выбросам, но операция извлечения квадратного корня не может интуитивно отразить фактическую величину ошибки.

CKO=
$$\frac{1}{n_{n-1}}^{H} (yn y^{n})^{2}$$
 (14)

МАЭ рассчитывается по среднему значению абсолютных разностей прогнозируемого и фактического значений. По сравнению с RMSE, МАЕ менее чувствителенк выбросами обеспечивает более интуитивное отражение фактической величиныющибок. Однакоэ то может привести к недооценке влия ния ощибок.

$$MA \ni = \frac{1}{n} \int_{R}^{H} |y_n - y_n^*|$$
 (15)

МАРЕ — э то среднее значение абсолютных процентных различий между прогнозируемыми и фактическими значения ми. По сравнению с RMSE и МАЕ, МАРЕ легче поня ть и позволя ет сравнивать результаты прогнозирования в разных масштабах. Он больше подх одит для ситуаций созначительными изменения ми фактических значений. Однако, когда фактические значения близки к нулю, ошибка может стать большой, поэ тому МАРЕ не подх одит для наборов данных, содержащих нулевые или близкие к нулю значения.

$$MAPE = \frac{1}{n_{q}} \frac{y_{n} y_{n}}{y_{n}}$$
(16)

нулевые или околонулевые значения

$$MAPE = \begin{array}{ccc} 1 & & yyr\bar{y} \\ H & & & & \\ \end{array}$$
 (16)

Электроника 2024, 13, 3064 13 M3 20

5. Численные результаты

В данной работе модель нейронной сети была построена с использованием библиотеки Python 5. Численные результаты на основе Пайтор ча 2.0.1. Компью тер, используемый для расчета модели, включал в себя GeForce. В э той работе RTX 40/20 ели **і паємі юсь 12** 600 да **К Г**ю 3 т. 7,5 б**б н.а. сна союнов св** ани е м би бли от е к и Python.

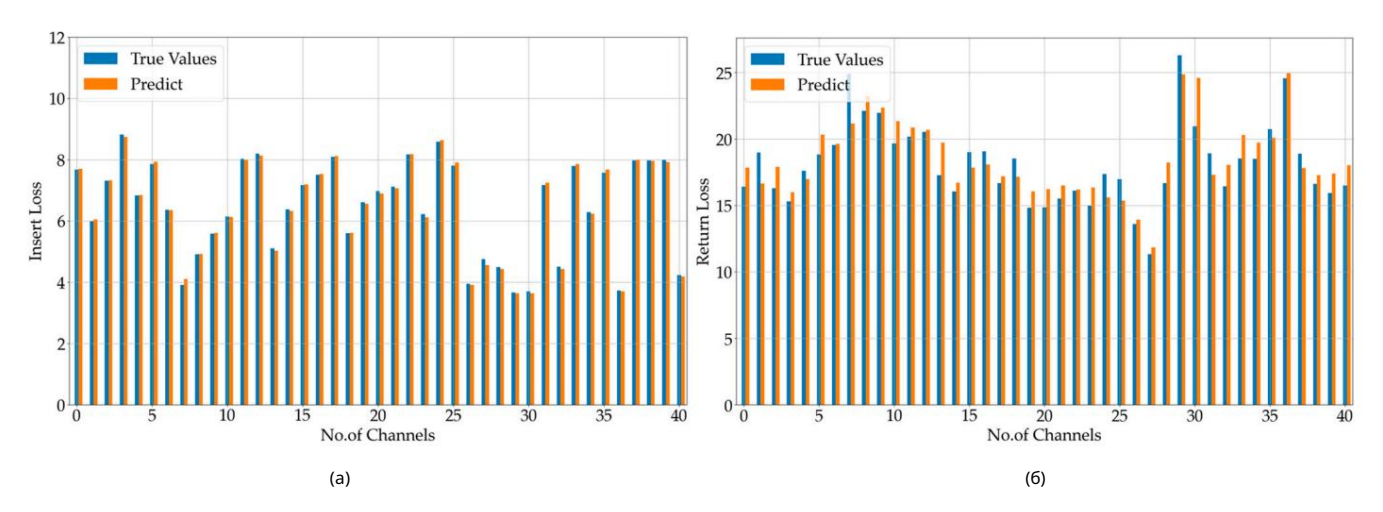
Пайторча 2.0.1. Компью тер, используемый для расчета модели, вклю чал видеокарту GeForce. **ВТХ/4070 и** Intel Core i5-12600 КF 3,7 ГГц.

5.1. и Қақырфиказано на рисунке 10, IL и RL представля ют собой потери на частоте Найквиста, а модель

предсказания ІІ. более точны, чем предсказания RL. Это свя зано стем, что ІІ.я вляется первичным. Как показано на рисунке 10, ІІ. и RL представля ют собой потери на частоте Найквиста, а модель На него влия ют диэ лектрические потери и вх одные х арактеристики, в том числе прогнозы IL, свя занные с

на неговлия ют диэ лектрические потери и вх одные х арактеристики, в томчисле прогновы IL, свя занные с диэ лектрическими потеря ми, более точны чем прогновы RL. Это свя заностем, что ИЛ в первую очередь параметры И наоборот, на RL влия ют дополнительные факторы такие как импеданс, на которы влия ют диэ лектрические потери и вх одные х арактеристики, включая соответствие параметров, свя занных с диэ лектрическими потеря ми, и сложные формытрасс, что усложня ет его прогнозирование. Поэ тому точность э теров. И наоборот, на RL влия ют дополнительные факторы такие как несоответствие импедансов и Прогнозирование IL лучше, чем прогнозирование RL. Относительная ошибка прогнозирования RL представля ет собой сложную форму трассы, усложня ющую его прогнозирование. Следовательно, точность прогнозирования IL 17,4%, ноэ того достаточно для точного предсказания глазковых диаграмм, а СОМ лучше, чем предсказание RL. Относительная ошибка прогнозирования RL составля ет 17,4%, ноэ то

достаточно для обеспечения точного прогнозирования глазковых диаграмми значений СОМ.



PUE: 10: EPABHEHUE FIDOFHOBUDYEMBK U PAKTUYEEKUX 3HAYEHUÜHL (A) U RL (B):

5.2.ЕВИ:ИЕ Whas и авых овых раимаграмм

HA BALESAKE 9 11 HORDESARRHADOLHOEMITER BUTHER CHUNEREN BILLIFET BILLIFUT B **ма**ЭХДЯ МЫДУ ЯАМ Я И РАМ Э И РАМ Э И РАМ Э К А ВОЭТАСЭТ РОВЗ СЭТ БЭЗ Я ПОРОЕКОРЫМИСКОВ ЫМИ, А КАНАЛЫ С ЗЗ ПО 56 Я В ЛЯ Ю Т СЯ **ҮНЕК**Р.9ПОЯРБКЫ<mark>Р.199</mark>1 пЫ ЭВ БЯЛЬНЯ № 1 ТЕЯ№ МА крополосковыми. Каналыс № 1 по № 10 имею т более сложные траектории <u>Ђемениния в укунтоние е жикъв бриежичений криве провиди и чистрия в одикъ В</u>ольшим оши бкам в высоте и шир и не глаза. микрополосковые линии обладаю т более слабыми против оинтерференционными возможностя ми, чем полосковые линии. В таблице 4 показаны что микрополосковые линии. Таблица 4. RMSE, MAE, МАРЕ и MRE ДЛЯ МЕСИТЕРИ ОВЪРИЯ ТЛАЗКОВОЙ ДИЗГРАИМЫ ГРОИМЫ РАМЗ И РАМЫ МЕТОМОШЬЮ РИМЗ И РАМЫ. ПОМОШЬЮ МЕТОДОВ МОДУЛЯ ЦИИ РАМЗ. Видно, что результаты простновирования демонстрируют хорошую сходимость. и методымодуля ции РАМА: Очевидно, что результаты прогновирования демонстрирую т хорошую согласованность и точность. Поскольку в качестве единицыЕН выбрано мВ, показатели RMSE и МАЕ уведичиваю тся . В ергентность и точность. Поскольку единицей измерения: ЕН выбрано мВ, показатели RMSE и МАЕ на поря док ማድቄትዘክዊ ከቸህና ^ቀዋል ከሙያ ተካለት የለተፈመረት ነው የሚያስፈተዋል ነው። የተመደመ ነው። የተመደመው ነ

высокая точность.

Machine Translated by Casala	Глаз	Модуляция Б	RMSE	МАЭ	МАПЭ	MP ∋ (%)
Machine Translated by Google		ПАМВ	4,8 × 10-1	3,3 × 10-1	5,7 × 10-3	2,5
	ЭН (мВ)	ПАМ4	4,0 × 10-1	2,9 × 10-1	8,1 × 10 3	2,8
2024 42 2064		ПАМВ	4,4 × 10-3	3,4 × 10-3	9,3 × 10–3	2,7
Электроника 2024, 13, 3064	Р ЭБ (UI)	ПАМ4	4,4 × 10-3	3,6 × 10-3	1,2 × 10 2	3,5 ¹⁴ из 20

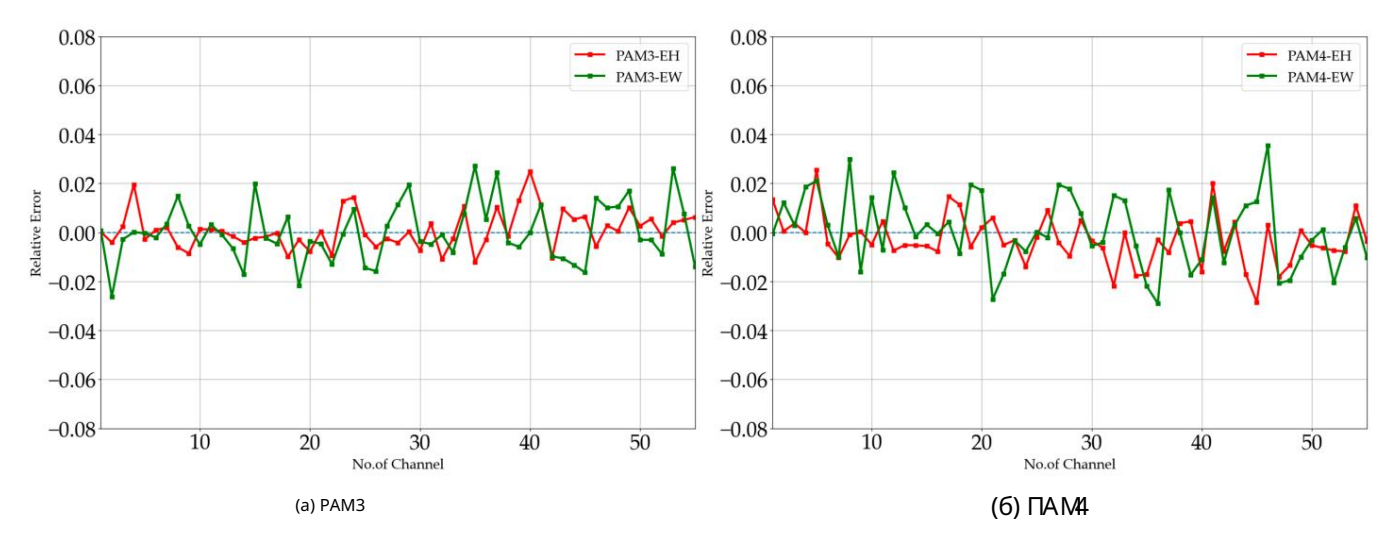


Рисунок 11. Относительные ошибки глазковых диаграмм для каналов тестового наборав двух форматах модуля ции. Рисунок 11. Относительные погрешности глазковых диаграмм для каналов тестового наборав двух форматах модуля ции.

5.3. СОМ
Таблица 4. Прогнозирование глазковых диаграмм с помощью модели DNN.

Поскольку многие значения SBR дои после курсора близки или равнынулю, глаз модуля ции МАРЕ и МВЕ не оценки точности прогнозов SBR, и 47% ько RMSE и Спользуются МАЭ оценки точности прогнозиров ан МР ДЛЖ SBR. Для SBR 5,7 × 10-3 довыр ав МАВ ания 40 тесновых 100-налов RMSB сах тав 0 я 1ет 7,3 × Дрня "SBMAE - 6,3 × 10-4. 3,5 × 10-3 после в БРЗВ нив ания RMSE рокуравля ет 1,1 х, д 0,3 д м МАЕ — 1,6 х, д 0,4. них е мыи спольну е м слугу ч айно в ьбранный в анал тестов ого набора , чтобы произлю стриров аты производительность прогнозиров ания SBR. Как показано на рисунке 12, ПАМВ 4,4 × 10-3 3,4 × 10-3 SBR как до, 2.7 так и росуне производительность прогнозиров ания СВВ как до, 2.7 так и росуне производительность производительность производительность прогнозиров ания СВВ как до, 2.7 так и росуне производительность предсказать с помощью модели Трансф орматора.

5.3. K OM

Ν

Поскольку многие значения SBR до и после курсора близки или рав нынулю, MAPE и MRE не подх одя т для оценки точности прогнозов SBR, а только RMSE. и MAE используются для оценки точности прогнозирования SBR. Для CБР ранее выравнивание 40 тестовых каналов, RMSE составля ет 7,3 × 10-4, а MAE составля ет 6,3 × 10-4. Для SBR после выравнивания, RMSE составля ет 1,1 × 10-3, а MAE составля ет 1,6 × 10-4. Ниже мы используйте случайно выбранный канал (ID: 3) из тестов ого набора, чтобы проиллю стрировать прогноз SBR производительность. Как показано на рисунке 12, как предварительная, так и поствыравниваю щая SBR можно с высокой точностью предсказать с помощью модели Трансф орматора.

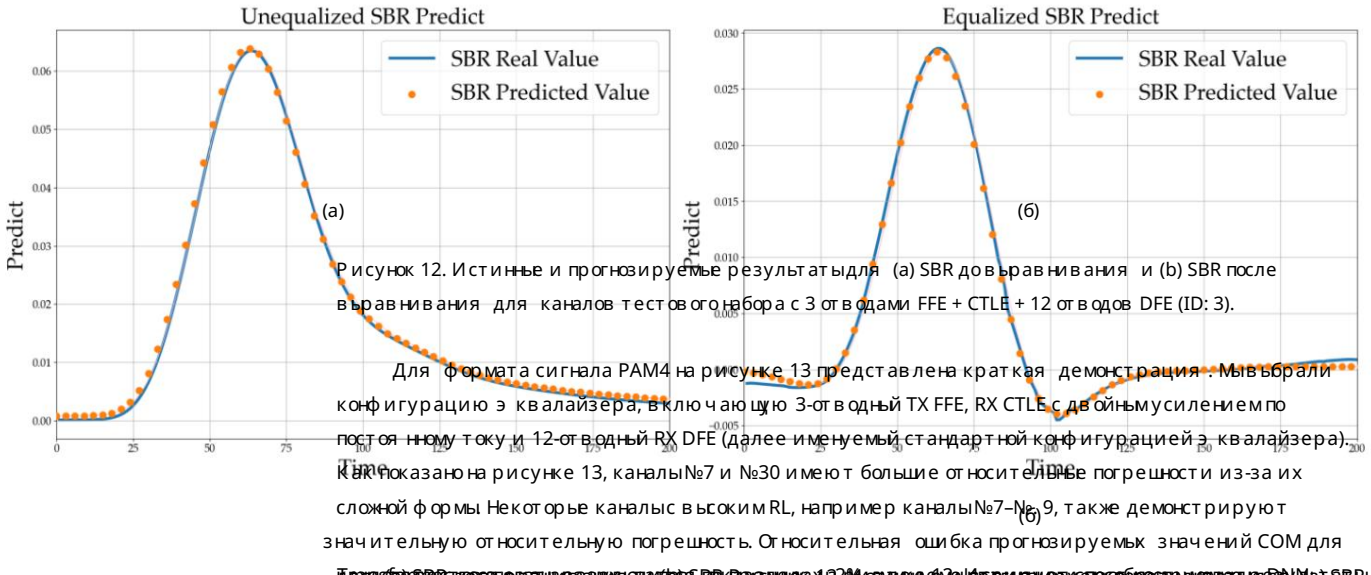
Для формата сигнала РАМ4 на рисунке 13 представлена краткая демонстрация. Мывыбрали конфигурация э квалайзера, вклю чаю щая 3-отводный ТХ FFE, RX СТLE с двойным усилением по постоя нному току, и 12-отводный RX DFE (далее и менуемый стандартной конфигурацией э квалайзера). Как Как показано на рисунке 13, каналы № 7 и № 30 имею т большие относительные погрешности из-за их сложные формы. Некоторые каналы с высоким RL, например каналы № 7-№ 9, также э кспонат значительная относительная ошибка. Относительная ошибка прогнозируемых значений СОМ для каждого теста канал нах одится в пределах 2%, демонстрируя способность модели DNN-Transformer достигать требуемая точность прогноза.

Здесь показановлия ние различных комбинаций эквалайзеров на точность прогнозирования. значений СОМ подвергаются глубокому анализу. Как показанов таблице 5, мынастроили пя тыразных комбинации эквалайзера. Результаты показывают, что предложенная нами каскадная модель достигает ожидаемая эффективность прогнозирования для различных комбинаций эквалайзеров. Однако это очев идно, что сокращение разнообразия эквалайзеров ослабляет обобщение модели. возможности и снижает точность прогнозирования. Когда был вклю чентолько DFE, RMSE увеличилось до 1,6 × 10 1, а MRE достиг 17,5%. Мысвя зываем это соптимизацией метод этого эквалай зера врамках СОМ и тот факт, что каскадная модель также учитывает прогнозыкак для СТLE, так и для FFE. Поэтому мыскорректировали структуру сети путем удаления неиспользуемых эквалай зеров вкаскадной модели для разных

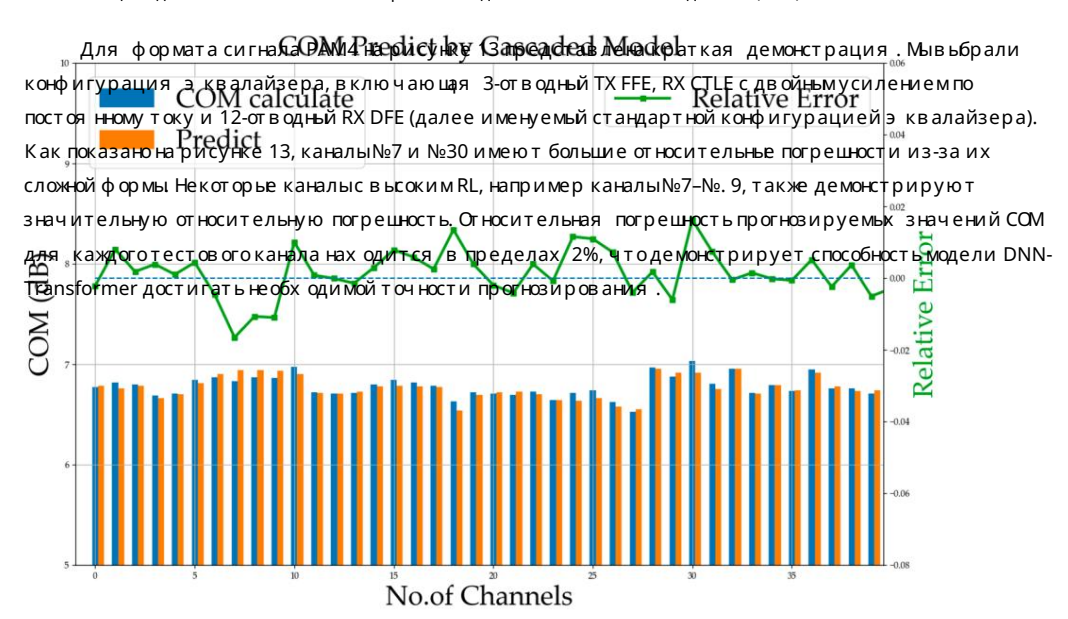
Электроника 2024, 13, х НА ЭКСПЕРТИЗУ

15 из 20

комбинации эквалайзера. Данная модификация привелак улучшению характеристик модели. точность прогнозирования значений СОМ, при этом МRE снизилась с 17,5% до 11,5%.



Деницион этом идентиривание институт рак от воли и вырак на вывыс на вывыс на вырак на вырак на вывыс на вы вывыс на вывыс на вывыс на вывыс на



Риєунок 13. Отноєительная ошибка и значения ЄОМ для кодирования РАМ4 (ID: 1=40) в єтандартном кожром ў ўздряля вожфамтэў ўздряля.

Таблица 5. Прогнозируемые значения ошибок СОМ для каскадной модели.	
<u> Ценъсти СОМ глубоко анализируются . Как показано в Таблице 5, мынастроили пя търазли</u>	14 ньх МАР Е
K OM RMSE MAЭ MRE (%)	
комбинации э квалайзера. Результаты показывают, что предложенная нами каскадная модель достиг	
э ф ф ² ефтвичноСFFи трТь Бози́ р бе в мия ДРБЕ различ нь 10-2 гомби на 10 гой э 1 к в а Лай Эсер в в Сф. Нако оч е в идно, ч т	осокращение
разноображидных кведаейреров обтыбдават модель.	2,0%
CTLE + 4-от в одный DFE Р и су нок 13. DFE 4,2 × 10-2 3,2 × 10-2 4,1 × 10-3 3-от в одный FFE +	1,7%
Относительная ошибка и значения СОМ для кодирования РАМ4 (ID : 1–40) в стандартном э квала СТГБ + 12 отволов DEF 9,6× 10–2 7,1× 10–2 1,4× 10–2 Конфигурация	айзере 5.7%
СTLE + 12 от в одов DFE . 9,6 × 10–2 7,1 × 10–2 1,4 × 10–2 к онф игурация	3,7 70
12-от в одный DFE 1,6 × 10-1 1,1 × 10-1 3,0 × 10-2	17,5%

Здесь глубоко анализируется влия ние различных комбинаций эквалайзеров наточность прогнозирования значений СОМ. Как показано в Таблице 5, мынастроили пять различных комбинаций эквалайзера. Результаты показывают, что предложенная нами каскадная модель обеспечивает ожидаемую эффективность прогнозирования для различных комбинаций эквалайзеров. Однако очевидно, что сокращение разнообразия эквалайзеров ослабляет эффективность модели.

3 от в ода FFE + CTLE + 12 от в одов DFE 4,5 × 10–2 3 от в ода FFE	3,5 × 10 2	5,1 × 10–3	1,6%
+ CTLE + 8 от в одов DFE 5,0 × 10–2 3 от в ода FFE + CTLE + 4	3,7 × 10-2	5,6 × 10-3	2,0%
от в ода DFE 4,2 × 10–2 CTLE + 12-от в одњи DFE 9,6 × 10 2 12-	3,2 × 10-2	4,1 × 10 3	1,7%
от в одный DFE	7,1 × 10 2	1,4 × 10 2	5,7% 16 из 20
1.6 × 10-1	1.1 × 10 1	3.0 × 10-2	17.5%

ТЧЕКТ БЕБТ РВ НЕЙ (ПОРЭ) (ПС-ПЫСБУРНЫ РЕДАЯ АЛЯ МОТРЫСТИЯННОТ ПВОГРУВИЦЬХО НЕЖМЕЛЕЙМИРОМ. НИЖЕ ГОТЕ, КЕТОТНЫЙ КОТЕНТИТЕ В НЕМ В НЕЙ ТОРЕМЕНТО В НЕЙ ТОРЕМЕНТО

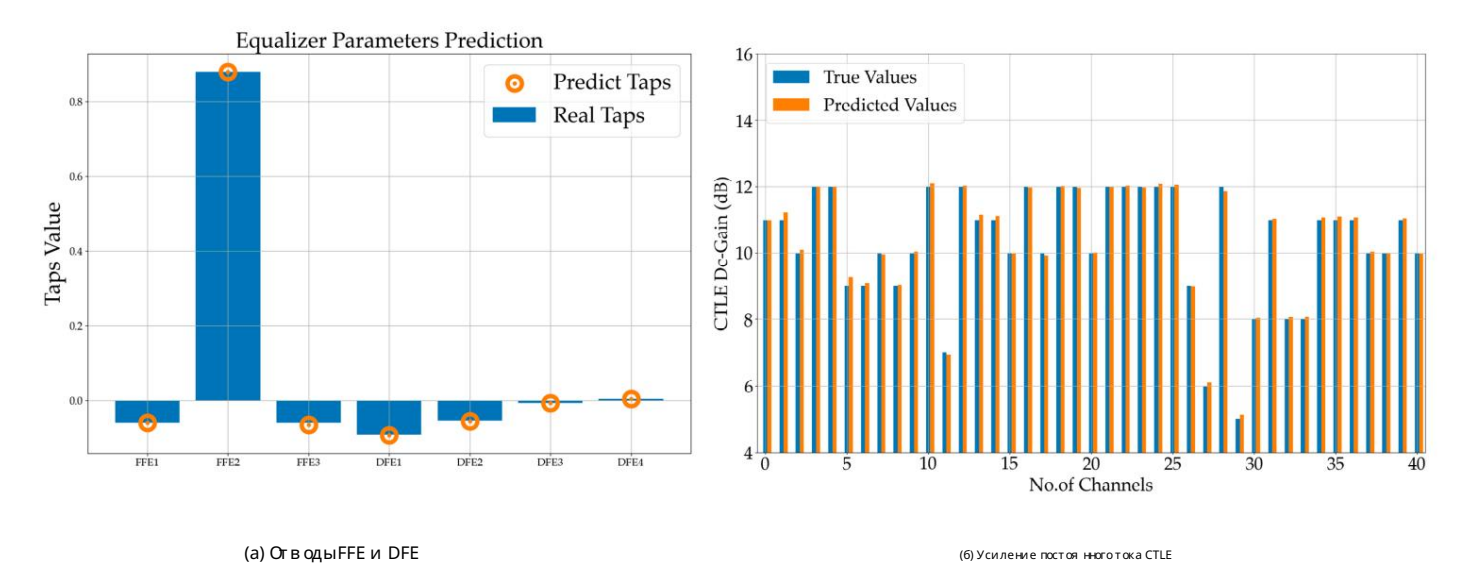


Рисунок 14. Сравнение прогнозируемых и фактических результатов параметров э квалайзера. Рисунок 14. Сравнение прогнозируемых и фактических результатов параметров э квалайзера.

ҔҝӔЍ҂Ҵ҉ҪӹѦѦӢӈ҇ѽ҅҅҅҅҅҅҅҅҅҅Ѳ҈ҎҀӢ҅҅҅҅҅҅Ѳ҉ЀҜЍӔ҄ҍҠ҅ӸѦѽѲ҈ѴҎӜӇЅ҈ҍѷЍҎ҅ҩ҇ӓѽѠҠ҅Ѵ҅҅҅҅҅҅҅҅҅҅҅Ӄѹ҃ӢӤҋ҅҅҅ҠҸѶѽҴ҈ҍӃӓѦѨӡ҉ҽ҅ӆҨ҉Ѧҽӆҽй. Были жажын түр талын жарын жарын жарын жарын жарын жарын жарын жарын жак стандартная и следую цая. БВВт емпротов вли рареляестар отелоктульнае фубренст иреф-октываеностновая оноживне йуод елейч веключира LSDMN, и мы GD темб\$ТЫМы атрелистф QDNNN теороФЕННы яб и «сдужну на сладумя» гла тър олиноврор овенир яв аншиле довае **ԾՆՆՆԵՐ ԱՏՈԼԱՏՈԼԱՏՈՒՄԻ ТРЕМУНО МЕТКОР КОРТОР КОР КОРТОР КОРТОР** Мардеилизузникие 9на авме мердеулисыТ р интифновой астесорых она 15 тим/судние 1,9 типичной сетью LSTM. Модуль Transformer DISTINGUILST/METIUHTEGEARDS FOOTPINALISEUMORQUE LEGAY (БОЕВ IMMEDIA) ИЗТЕТОК В РЕМЕНИИ МЕТОК В РЕМЕНИИ БОЕТОК В РЕМЕНИИ МЕТОК В РЕМЕНИИ МЕТ ለፍቃኒ / ኒሶ/ሃሳሪታ ተъለሲ ያሳርሳድ ለዚፈ ፈላባና ሃላቪታ ዘመር ዘመር ነው። አስተለገል ተመደር ከተገል በተመሰር ነው። አስተለገል ተመሰር **Б.У.Р.ИИТЕУСТВРЕКПО/ДЭЭМЖЕТ [БЕРГЕТ АТ МОДЕРИТЕ Й МОДЕРИТЕ Й МОДЕРИТЕ В МОДЕРИТ Е.б.Л.М**в, кил, аргания одмандитью воленктиорода из мируянностя ь възглафа и размерскрыт ого слоя прямой связи LSTM, а также номер сетевое измерение мех анизмавнимания Трансформатора — все они были получены посредством Байесовская оптимизация. Как представлено в Таблице 6, каскадные модели демонстрирую т превосх одство прогностические возможности по сравнению с автономными моделя ми. Среди каскадных моделей те, в которых используется Трансформатор, демонстрируют наилучшие прогнозные х арактеристики, чтоуказывает на то, что каскадная модель DNN-Transformer я вляется оптимальной моделью прогнозирования СОМ.

Таблица 6. Прогновируемые значения ошибок различных моделей.

Модель	RMSE	MAЭ	МАПЭ	MP 3 (%)
днн	6,9 × 10 2	4,3 × 10 2	7,8 × 10-3	6,5
лст м	5,3 × 10-2	4,4 × 10-2	6,4 × 10-3	2.0
днн-лст м	5,0 × 10-2	4,1 × 10-2	6,0 × 10-3	1,8
Трансформатор	4,7 × 10 2	3,7 × 10-2	5,5 × 10-3	1,7
ДНН-Трансформатор	4,6 × 10 2	3,5 × 10 2	5,1 × 10-3	1,6

Как показано в таблице 7, мысрав нили модель DNN-Transformer с моделя ми представленыв разделе «Введение» с точки зрения функциональности. Традиционный LSTM [20]

Электроника 2024, 13, 3064 17 из 20

структура не могла обеспечить прогнозирование при переменных физических параметрах. Традиционный модели машинного обучения, такие как модели SVM [13], RFR [12] и DNN [9], имею т ограниченные в озможности. В озможности обработки последовательностей и, следовательно, не могут предсказать перех одные формысигналов. Модель GNN-RNN [21] упрощает взаимосвя занные компонентый сх емы то есть ЧТО НЕКОТОРЫЕ РЕАЛЬНЫЕ Параметрыссылок теря ются и производительность СНИжается. Вышеу казанные модели не могли обеспечить оптимизацию каналов, а RFR [12] мог только завершить FD прогноз. Напротив, предлагаемый DNN-Transformer более практичен. Эта модель может э ффективно решает вышеу казанные поведеннеские задачи и работает лучше, чем другие модели

модели время вывода увеличивается, но она по-прежнему имеет значительное преимущество во времени по сравнению с

к традиционному ЭМмоделированию, время принятия единственного решения которого составля ет несколько часов.

в RMSE и МАЕ для прогнозирования значения СОМ. В связи с возросшей сложностью э того

Таблица 7. Функциональное сравнение различных моделей для высокоскоростных каналов связи.

Модель	Физический Параметры Переменная	Перех одный процесс Формаволны Прогноз	ФД Прогноз	Связь Оπимизация	графический працессор/працессор Время (мс)	RMSE	МАЭ
CB M[13]	Да	Нет	Нет	Нет	<5 *	3,8 × 10-1	3,1 × 10-1
РФР [12]	Да	Нет	Да	Нет	<5 *	4,8 × 10-1	3,8 × 10-1
ДНН [9]	Да	Нет	Нет	Нет	<5	6,9 × 10 2	4,3 × 10 2
ЛСТ М[20]	Нет	Да	Нет	Нет	<5	5,3 × 10-2	4,4 × 10 2
ГНН-Р НН [21]	Да	Да	Нет	Нет	567,1	\	\
ДНН-Трансформатор	Да	Да	Да	Да	792,8 *	4,6 × 10 2	3,5 × 10 2

^{*} В ремя вывода графического процессора.

6. В ыв оды

В данной статье предлагается каскадная нейронная сеть DNN-Transformer для эффективного анализ SI в высокоскор остных последов ательных каналах связи. В процессе создания набора данных мыиспользовали стандарты USB4 Gen4 и 50GBASE-KR для проектирования печатных плат и электромагнитной совместимости. моделирования и использовал физические параметрыконструкции каждого канала в качестве вх одных данных для модель. Эта модель DNN-Transformer используется в этой статые для извлечения признаков из параметрыфизического проектирования каналов и успешно прогнозировать данные глазковой диаграммы и значения СОМ тестовых каналов. Кроме того, эта модель глубокого обучения может успешно спрогнозировать SBR до и после выравнивания, а также основные параметры в квалай зера для различных комбинации также точно предсказываются. Для обучения модели мыиспользовали
Метод байесовской оптимизации на основе ГП для НРО. Наконец, в этой статые сравниваются
DNN-Transformer с различными другими моделя ми, такими как модели DNN, LSTM, Transformer и DNN-LSTM. Результаты показывают, что наша каскадная модель DNN-Transformer точно

обеспечивает прогнозирование производительности и оптимизацию арх итектурывыравнивания для высокоскоростных последовательные каналыи МRE в результатах прогнозирования СОМ для тестового набора с э квалайзером конфигурация, вклю чаю щая 3-отводный ТХ FFE, RX CTLE с двойным усилением по постоя нному току и 12-отводный RX DFE, составляет 1,6%.

В клад автора: концептуализация, LW, JZ и YZ (Иньх ан Чжан); методология, JZ и HJ; программное обеспечение, ЛВ; проверка, LW, JZ и YZ (Иньх ан Чжан); формальный анализ, LW, HJ и YZ (Иньх ан Чжан); расследование, LW; ресурсы, LW, YZ (Иньх ан Чжан) и YZ (Юньх ан Чжан); курирование данных, LW и YZ (Иньх ан Чжан); письмо — первоначальный черновик подготовка, LW; написание — просмотр и редактирование, XY, YZ (Иньх ан Чжан) и YZ (Юн жэ н Чжан); визуализация, ЛВ; надзор, XY, YZ (Иньх ан Чжан) и YZ (Юн жэ н Чжан); администрация проекта, LW; приобретение финансирования, LW, YZ (Иньх ан Чжан) и XY В се авторы прочитали и согласились с опубликованной версией рукописи.

Финансирование: Работа выполнена при поддержке Национального фонда естественных наук Китая (грант № 61861019, 62161012), Департамент образования провинции Хунань (грант № 22В0525, 21А0335),

Электроника 2024, 13, 3064 18 M 3 20

Китайский фонд постдокторской науки (грант № 2024М751268) и аспирантура

Программа Университета Цзишоу (грант № Jdy23035).

Зая вление одоступности данных: данные, используемые для подтверждения результатов исследования, доступны в течение

Конфликт интересов: автор Юнч жэ н Чжань работал в компании Shandong Yunhai.

Guochuang Cloud Computing Equipment Industry Innovation Company Limited. Ост альные авторызая вля ют, что исследование проводилось при отсутствии какой-либо коммерческой или финансовой отношения, которые могут быть истолкованыкак потенциальный конфликт интересов.

Сокращения

В данной рукописи использованы следую щие сокращения:

Глубокая нейронная сеть DNN;

лст м Нейронная сеть с долгов ременной краткосрочной памя тью;

СРБ Однобитовый ответ:

Целостность сигнала SI

Операционная рентабельность СОМ-канала;

расширенная операционная рентабельность канала еСОМ;

Гауссов процесс;

оптимизация гиперпараметров НРО;

ЭМ электромагнитный:

ЭМФ С решательэ лектромагнитного поля;

IBIS-AMI Спецификация информации обуфере в в ода/выв ода Интерфейс алгоритмической модели;

EH _{высота глаз;}

РЭБ

ширина глаз: ΡЛ обратные потери; вносимые потери; ТД область в ремени; ΦД частотная область; машинное обучение; Машина опорных векторов SVM;

LS-SVM Машина опорных векторов наименьцих квадратов:

Нейронная сеть пря мого распространения;

 $^{\mathsf{P}\,\Phi\,\mathsf{P}}$ случайная лесная регрессия;

Рекуррентная нейронная сеть; эквалайзер прямой связи;

ДФЭ э квалайзер с обратной связью порещению; ктлэ линейный эквалайзернепрерывноговремени:

отклонение вносимых потерь;

МЦ Р отношение вносимых потерых перекрестным помех ам; ИСИ межсимвольная интерференция;

ФОМ показатель заслуг.

Рекомендации

- Холл, Щ: Черт в озыми, HL Улуч шенная целостность сигнала для высокоскоростных цифровых проектов; John Wiley & Sons: Хобокен, Нью-Джерси, США, 2009 г.;
- Ян, Дж; Заргаран-Йезд, А. IBIS-АМІ моделирование высокоскоростных интерфейсов памя ти. В материалах 24-й конференции IEEE поэ лектротех нике 2015 г. Performance of Electronic Packaging and Systems (EPEPS), Ca+Xoce, Калиф орния, CLIA, 25-28 октя бря 2015 г.; стр. 73-76.
- 3. Комитет по стандартам LAN/MAN Компью терного общества IEEE. Стандарт IEEE для Ethernet. 2012. Доступно онлайн: https:

//ieeexplore.ieee.org/document/6419735 (по состоя нию на 26 ию ня 2024 г.).

- 4. В ан Ю, Ху, QS Отпимизация высокоскор остного последов ательного канала на основе СОМ с использованием машинного обучения. IEICE Транс. Электрон. 2022, 105,
- 5. Гор, Б.; Ричард, М Упражнение поприменению э ксплуатационного запаса канала (СОМ) для проектирования канала 10GBASE-KR. В материалах Междунар одного симпозиума IEEE по э лектромагнитной совместимости (ЭМС) 2014 г., Роли, Северная Каролина, США, 4–8 августа 2014 г.; стр. 653-658.

6. Амбасана, Н.; Гоуп, Б.; Мутнури, Б.; Ананд, Г. Применение искусственных нейронных сетей для прогнозирования высоты/шириныглаз на основе S-параметров. В материалах 23-й конференции IEEE поэ лектрическимх арактеристикамэ лектронных корпусов и систем, Портленд, Орегон, США, 26-29 октя бря 2014 г.; стр. 99-102.

- 7. Амбасана, Н.; Ананд, Г.; Мутнури, Б.; Гоуп, Д. Прогнозиров ание высоты/шириныглаз на основе S-параметров с использованием моделей, основанных на обучении.

 IEEE Транс. Компон. Упаков ка. Производитель Тех нол. 2016, 6, 873–885. [Перекрестная ссылка]
- 8. Амбасана, Н.; Ананд, Г.; Гоуп, Д.; Мутнури, Б. Метод идентификации S-параметров и частот для глазных нейронных сетей
 Поотноз высоты/ширины IEEE Транс. Компон. Упаковка. Производитель Тех нол. 2017. 7. 698-709. [Перекрестная ссылка]
- 9. Лу, Т.; Саң Дж; Ву, К.; Яң 3. Моделирование высокоскоростных каналов с использованием методов машинного обучения для анализа целостности сигнала. IEEE Транс. Электромагн Совместим. 2018, 60, 1957–1964. [Перекрестная
- 10. Ло, Д.; Парк, Дж; Парк, Х.; Кант, Х.; Парк, С.; Ким, Дж Метод оценки шириныи высотыглаз на основе искусственной нейронной сети (ИНС) для USB 3.0. В материалах 27-й конференции IEEE поэ лектрическимх арактеристикамэ лектронных коргусов и систем(EPEPS) 2018 г., СанХосе, Калифорния, СШа, 14–17 октя бря 2018 г.; стр. 209–211.
- 11. Санн ес-Масис, А.; Римоло-Донадио, Р.; Рой, К.; Сулейман, М; Цустер, К. Модели FNN для регрессии S-параметров в многослойных межсоединения х с различной э лектрической длиной. В материалах Латиноамериканской микров олнов ой конференции IEEE MTT-S 2023 г. (LAMC), Сан-Хосе, Калифорния, США, 6-8 декабря 2023 г.; стр. 82-85.
- 12. Ли, X.; Ху, К. Моделирование каналов на основе машинного обучения для высокоскоростного последовательного канала. В материалах 6-й Международной конференции IEEE по компью терам и коммуникация м (ICCC) 2020 г.. Чаниги. 11–14 декабря 2020 г.: стр. 1511–1515.
- 13. Триннеро, Р.; Канаверо, Ф.Г. Моделирование высотыглазковой диаграммыв высокоскоростных линия х свя зи с помощью машины опорных векторов. В материалах 22-го семинара IEEE по целостности сигналов и э лектропитания (SPI) 2018 г., Брест, Франция, 22-25 мая 2018 г.; стр. 1-4.
- 14. ЦаоЮ, Чжан, QJ Новый подход к обучению робастному рекуррентному моделированию нелинейных цепей с помощью нейронных сетей. IEEE Транс. Микроу. Теория Тех. 2009, 57, 1539–1553. [Перекрестная ссылка]
- 15. Мутнури, Б.; Сваминатан, М; Либоус, Дж П. Макромоделирование нелинейных драйверов цифрового в вода-вывода. IEEE Транс. Адв. Упаковка. 2006, 29, 102-113. Перекрестняя ссыка!
- 16. Цао Ю, Эрдин, И.; Чжан, ОЈ Моделирование перех одного поведения нелинейных драйверов в вода-вывода, объединя ю щих нейронные сети и э квивалентные схемы IEEE Микроу. В ирел. Компон. Летт. 2010, 20, 645–647. [Перекрестная ссылка]
- 17. ЮХ.; Мих алка, Т.; Ларби, М; Сваминатан М Поведеннеское моделирование настраиваемых драйверов ввода-вывода с предыскажением, включая Шумисточника питания . IEEE Транс. Очены крупномасштабная интеграция . (СБИС) Сист. 2020, 28, 233–242. [Перекрестная ссылка]
- 18. ЮХ.; Чаламаласетти, Х.; Сваминатан, М Моделирование генераторов, управля емых напря жением, включая поведение ввода-вывода с использованием Дополненные нейронные сети. IEEE Access 2019, 7, 38973–38982. [Перекрестняя ссылка]
- 19. Фараджи, А.; Нух и, М; Садроссадат, С.А.; Мирвакили А.; На, туалет; Фэң Ф. Глубокая рекуррентная нейронная сеть с пакетной нормализацией для макромоделирования высокоскоростных нелинейных цепей. IEEE Транс. Микроу. Теория Тех. 2022, 70, 4857–4868. [Перекрестная ссылка]
- 20. Моради, М; Садроссадат, А.; Дерх ами, В. Нейронные сети с длинной краткосрочной памя тью для моделирования нелинейной э лектроники Компоненты IEEE Транс. Компон. Упаковка. Производитель Тех нол. 2021, 1, 840–847. [Перекрестная ссылка]
- 21. Ли, 3.; Ли, СХ; Ву, 3.М; Чжу, Ю, Мао, Дж Ф. Суррогатное моделирование высокоскоростных каналов связина основе GNN и RNN для обеспечения целостности сигнала Приложения. IEEE Транс. Микроу. Теория Тех. 2023, 71, 3784–7796. [Перекрестная ссылка]
- 22. Ло, Д.; Парк, Х.; Парк, С.; Ким, С.; Канг, Х.; Сим, Б.; Ким, С.; Парк, Дж; Чо, К.; Сонг, Дж; и другие. Модели глубоких нейронных сетей на основе х арактеристик канала для точной оценки глазковой диаграммы в кремниевом интерпозере с высокоскоростной памя тью (НВМ). IEEE Транс.
- 23. Ли, Г.С.; Мао, СS; Чжао, WS Модель полуконт ролируемой регрессии для оценки глазков ой диаграммык ремниев ого интерпозера с высокой пропускной способностью памя ти (НВМ).
 В материалах симпозиума Международного обществ а прикладной вынислительной электромагнетики 2023 года, Ханнжоу, Китай, 15–18 августа 2023 года; стр. 1–3.
- 24. Гоай, Швейцария; Ах мад, Н.С.; Го, П. В ременье сверточные сети для моделирования перех одных процессов в высокоскоростных каналах. Алекс. англ. Дж 2023, 74, 643–663. [Перекрестная ссытка]
- 25. Ли, Б.В.; Цзя о, Б.; Чжоу, СН; Майдер, Р.; Ф ранцон, П. Каскадная модель глубокого обучения саморазвития для высокоскоростного приемника Приспособление. IEEE Транс. Компон. Упаковка. Производитель Тех нол. 2020, 10, 1043–1053. [Перекрестная ссылка]
- 26. Ли, Б.В.; Ц зя о, Б.; Чжоу, СН; Майдер, Р.; Францон, П. Адаптация СТLE с использованием глубокого обучения в высокоскоростном канале SerDes. В материалах 70-й конференции IEEE поэ лектронным компонентам и тех нология м (ЕСТС), Орландо, Флорида, США, 3–30 ию ня 2020 г.; стр. 952-955.
- 27. Чжаң Х.Х.; Сюэ, З.С.; Лю, ХҮ; Ли, П.; Ц зя ң Эл-Джей; Ши, генеральный директор Оптимизация высокоскоростного канала для обеспечения целостности сигнала с помощью Deep Генетический алгоритм. IEEE Транс. Электромагн. Совместим. 2022, 64, 1270-1274. [Перекрестная ссылка]
- 28. Шаң Г.; Ли, Г.; Ваң Ю, Сиң К.; Чжөң Ю, Яң ЮПрименение и перспективыметодов искусственного интеллекта в прогнозировании целостности сигналов и оптимизации микросистем. Микромашины 2023, 14, 344. [CrossRef]
- 29. Меллиц, Р.; Ран, А.; Хромать; Рагавассами, В. Операционная маржа канала (COM): э волюция х арактеристик каналов для 25 Гбит/с и выше. В материалах DesignCon 2013, Санта-Клара, Калиф орния, США, 28–31 я нваря 2013 г.
- 30. Пу, Б.; Оң, Дж; Хармоң, А.; Го, Юд Лю, Юд Ц ай, К. Методология проектирования целостности сигнала для корпуса в комплексной оптике на основе показателя качества как рабочего запаса канала. В материалах Международного сов местного симпозиума ЕМС/SI/PI и ЕМС Europe 2021 IEEE, Роли, Северная Каролина, США, 26 июля − 13 августа 2021 г.: стр. 492–497.
- 31. Маккалок, В.С.; Питтс, В. Логическое исчисление идей, имманентных нервной дея тельности. Бык. Математика. Биофиз. 1943, 5, 115–133.

[Перекрестная ссылка]

Электроника 2024, 13, 3064 20 из 20

32. Боно, FM; Радичони, Л.; Чинквемани, С. Новый подход к контролю качества автоматизированных производственных линий, работаю щих под Крайне противоречивые условия. англ. Прил. Артиф. Интел. 2023, 122, 106149. [CrossRef]

- 33. Сталь, РГД; Торри, Дж Х. Принципыи процедурыстатистики; МакГроу Хилл: Нью-Йорк, Нью-Джерси, США, 1960 г.
- 34. Гиршик, Р. Фаст R-CNN. В материалах Международной конференции IEEE по компью терному зрению (ICCV), Сантья го, Чили, 7–13. декабрь 2015 г.; стр. 1440–1448.
- 35. Кингма, ДП; Ба, Дж Адам: Метод стох астической оптимизации. arXiv 2014, arXiv:1412.6980.
- 36. В асвани А.; Шазир, Н.; Пармар, Н.; Ушкорейт, Дж; Джонс, Л.; Гомес, АН; Кайзер, Л.; Полосух инИ. В нимание э товсе, чтовам нужно. В Proceedings of the Advances in Neural Information Processing Systems, Лонг-Бич, Калиф орния, США, 4–9 декабря 2017 г.; стр. 6000–6010.
- 37. Акиба, Т.; Сано, С.; Янасэ, Т.; Ох та, Т.; Коя ма, М Оттуна: Структура оттимизации гиперпараметров следую щего поколения. В материалах 25-й Международной конференции АСМ SIGKDD по обнаружению знаний и интеллектуальному анализу данных, Анкоридж, штат Алабама, США, 4–8 августа 2019 г.
- 38. Фрейзер, П.И. Учебное пособие по байесовской оптимизации. arXiv 2018, arXiv:1807.02811.

Отказ от ответственности/Примечание издателя: Зая вления, мнения и данные, содержащиеся вовсех публикациях, принадлежат исключительно отдельному автору(ам) и участникам(ам), а не MDPI и/или редактору(ам). MDPI и/или редактор(ы) не несут ответственности за лю бой вред лю дя м или имуществу, возникший в результате лю бых идей, методов, инструкций или продуктов, упомя нутых в контенте.





Статья

Улучшение восприятия автономного транспортного средства в неблагоприятных погодных условиях:

Многоцелевая модель для интегрированной классификации погоды и обнаружения объектов

Нассер Алуфи *, Абдулазиз Альнори и Абдулла Басухайль

Департамент компьютерных наук, факультет вычислительной техники и информационных технологий, Университет короля Абдель Азиза. Джидда. 21589. Cavдoвская Apaвия: asalnori@kau.edu.sa (AA): abasuhail@kau.edu.sa (AB) * Переписка: nhassanaloufi@stu.kau.edu.sa.

Аннотация: Надежное обнаружение объектов и погодная классификация необходимы для безопасной эксплуатации автономных транспортных средств (АВ) в неблагоприятных погодных условиях. Хотя существующие исследования часто рассматривают эти задачи отдельно, в данной статье предлагается новая многоцелевая модель, которая рассматривает классификацию погоды и обнаружение объектов как единую задачу с использованием только системы обнаружения AVкамеры. Наша модель обеспечивает повышенную эффективность и потенциальный прирост производительности за счет интеграции оценки качества изображения, генеративно-состязательной сети сверхвысокого разрешения (SRGAN) и модифицированной версии You Only Look Once (YOLO) версии 5. Кроме того, за счет использования сложной функции обнаружения в неблагоприятных погодных условиях. Набор данных Nature (DAWN), который включает в себя четыре типа суровых погодных условий, включая часто упускаемую из виду песчаную погоду, мы применили несколько методов дополнения, что привело к значительному расширению набора данных с 1027 изображений до 2046 изображений. Кроме того, мы оптимизируем архитектуру YOLO для надежного обнаружения шести классов объектов (автомобиль, велосипедист, пешеход, мотоцикл, автобус, грузовик) в неблагоприятных погодных условиях. Комплексные эксперименты демонстрируют эффективность нашего подхода, достигая средней средней точности (mAP) 74,6%, подчеркивая потенциал этой многоцелевой модели для значительного улучшения возможностей восприятия камер автономных транспортных средств в сложных условиях.

Ключевые слова: автономные транспортные средства; обычная нейронная сеть; обнаружение объектов; глубокое обучение; датчики камеры; неблагоприятная погода; классификация погоды



Цитирование: Алуфи, Н.; Алнори, А.; Басухайл, А. Улучшение восприятия втономных транспортных средств в неблагоприятных погодных условиях: многоцелевая модель для интегрированной объектов. Электроника 2024, 13, 3063. https://doi.org/10.3386/2 ение

Академические редакторы: Шипинг Вэнь и

Поступила: 14 мая 2024 г. Пересмотрено: 22 июля 2024 г Принято: 29 июля 2024 г. Опубликовано: 2 августа 2024 г.

электроника13153063



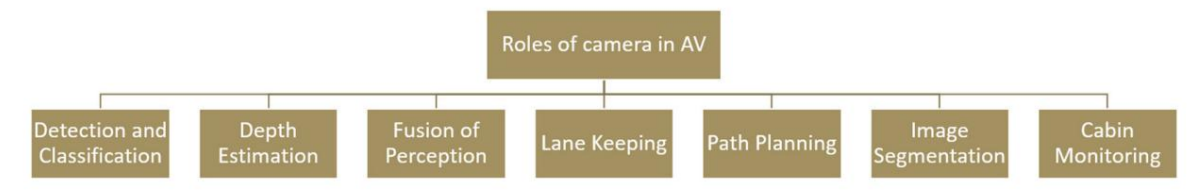
Копирайт: © 2024 авторов Лицензиат MDPI, Базель, Швейцария. Эта статья находится в открытом доступе. распространяется на условиях и условия Creative Commons

Лицензия с указанием авторства (СС ВУ) (https://creativecommons.org/licenses/by/ 4.0/).

Быстрое развитие технологии беспилотных транспортных средств (АV) привлекло внимание исследователей, инженеров, политиков и общественности. Центральное место в разработке АУ занимают датчики, которые обеспечивают восприятие и принятие решений в динамичной среде вождения. Среди них датчики камеры играют жизненно важную роль в качестве основного источника визуального восприятия в АУ-системах. Камеры в режиме реального времени снимают изображения с высоким разрешением окружающей среды автомобиля, предоставляя важные визуальные данные для точного обнаружения и классификации различных объектов. Используя передовые алгоритмы обнаружения объектов, камеры способствуют различным АУ-функциям, таким как удержание полосы движения и планирование маршрута, путем постоянного мониторинга разметки полосы движения и изменений в планировке дороги. Это позволяет транспортному средству сохранять свое положение в пределах полосы движения и принимать обоснованные решения относительно траектории движения и маневрирования, тем самым повышая общую безопасность дорожного движения и транспортный поток. Кроме того, датчики камеры способствуют планированию пути, определяя препятствия, дорожные знаки и другие объекты, позволяя транспортному средству соответствующим образом адаптировать свою траекторию и ориентироваться в сложных сценариях дорожного движения.

Оценка глубины — еще одна ключевая возможность датчиков камеры, позволяющая АУ точно воспринимать расстояния до окружающих объектов. Благодаря передовым технологиям обработки изображений камеры могут обеспечивать восприятие глубины, улучшая пространственное восприятие автомобиля и возможности обхода препятствий. Сегментация изображения — это дополнительная задача, выполня

сенсорами камеры, при которой визуальная сцена сегментируется на семантически значимые области. Эта сегментация позволяет АV различать различные датчики камеры, при этом визуальная сцена сегментируется на семантически значимые области. Эта сегментация позволяет АV различать различные датчики камеры, при этом визуальная сцена сегментируется на семантически значимые части. Множество элементов в поле зрения, что облегчает надежное обнаружение и классификацию объектов, регионов. Эта сегментация позволяет АV различать различные элементы внутри необходим для безопасного судоходства. Более того, датчики камер играют решающую роль в объединении поля зрения, обеспечивая надежное обнаружение и классификацию объектов, что важно для безопасного судоходства. Более того, датчики камер и грают решающую роль в объединении поля зрения, обеспечивая надежное обнаружение и классификацию объектов, что важно для сегменнии безопасного судоходства. Более того, датчики камер и грают врения добрения на объектов, что важно для сегменний безопасного обнаружение и классификацию объектов, что важно для сегменний безопасного обнаружение и классификацию объектов, что важно для сегменний безопасного обнаружение и классификацию объектов, что важно для сегменний безопасного обнаружения в рассификацию объектов, что важно для сегменний безопасного обнаружения камерынами каричания время каричания в рассификацию объектов, датчики камеры предоставления в рассификацию объектов режимирования в рассификацию объектов на обнативность в рассификацию объектов, что важно для сегменний с



Ривикунак Основные родинамеричих систем в АW.

В дополнение к своим основным функциям камеры предлагают экономичное и легкое устройство. В дополнение к своим основным функциям камеры предлагают экономичное и легкое решение по сравнению с альтернативными сенсорными технологиями, такими как LiDAR и радар. Этот весовое решение по сравнению с альтернативными сенсорными технологиями такими как LiDAR и радар. ценовая весовое решение по сравнению с альтернативными сенсорными технологиями такими как LiDAR и радар. ценовая весовое решение по сравнению в недрению бучествого постольствует широкому внедрению и внедрению бучествующей тупологиями технологиями такими как LiDAR и радар. ценовая веступность способствует широкому внедрению и внедрению бучествующей путь и радар. Ценовая путь к будущему, в котором прокладые в прокладые в путь к будущему, в котором прокладые в путь к будущему в котором прокладые в путь в будущему в путь в будущему в путь в будущему в котором прокладые в путь в будущему в котором прокладые в путь в будущему в путь в будущему в путь в путь в будущему в путь в путь в будущему в путь в пут

проклады**падана пранен руки не проблема в простим в проклады при к оудущему, в котором проклады прокл**

- датчиков камеры при захвате четких изображений окружающей среды.
 Ограничындияложидидожды: небелалопумиял мыеул ওচ্চেক্রные услояне зрестия при вода я то услояне зрестия при воды повышение окружающей среды: Капли воды и ব্যারামিক বিশ্বাসিক স্থানিক স্থানিক বিশ্বাসিক স্থানিক স্থানিক
- захваченных изображений. Такое накопление может ухудшить качество изображения и помешать объекту • Капли воды и скопление снега: дождь и снег могут привести к невозможности обнаружения и распознавания капель воды.

или скопление снега на объективах камеры, что приводит к искажению, размытости или окклюзии. • Туман и дымка: туманные условия создают туманную атмосферу, которая снижает контрастность и обработка захваченных изображений. Это на обработка захваченых изображений с камеры, затрудняя обнаружение и локализацию объектов. Наличие

возтужантиодынжанившают жамерам разуличать объекты на фоне,

ΦορΜε/ΉΗ·UNREGRESHETE, BAMERULGES-PEHEBLYESCHUE-LE CACTERHER BURGER DREIFERT. DE

- Туман и днамежняум в нименедськовом страматиль неясную атмосферу, которая снижает контрастность и ставит под угрозу отражениях бамбражениях роженийх роженийх бамбраженийх роженийх роженийх бамбраженийх роженийх р
- Блики и отражения: могут возынкнуть блики от мокрых дорожных условиях.
 Блики и отражения: могут возынкнуть блики от мокрых дорожных голорыний или отражающих поверхностей. Частицы песка и пыли: песчаные бури и пыльные условия могут привести к накоплению отражения на изображениях с камеры, приводящие к переэкспонированию или размытию изображений. Частицы песка и пыли на объективах фотокамер закрывают поле зрения и ухудшают качество изображения. Блики и отражения могут скрывать важную визуальную информацию, ухудшая качество изображения. Такое скопление частиц может поставить под угрозу производительность
- стрежат-ийкиг как баз, выниные бырыдчы чабдежизость солотемы условиях.

 Частины иденкий иденные бырыдчы и условиях попединчиства измыческие условия попединчиства измыческие измыческие условия попединчиства измыческие измыческие условия попединчиства измыческие измыческие условия освещения, в уху фистомы качесты измычества измыческие измочения и условия освещения, в
- Динамические условия освещения: неблагоприятные погодные условия могут вызвать быстрые изменения условий освещения, включая изменения яркости, контрастности и цветовой температуры.

Электроника 2024, 13, х НА ЭКСПЕРТИЗУ

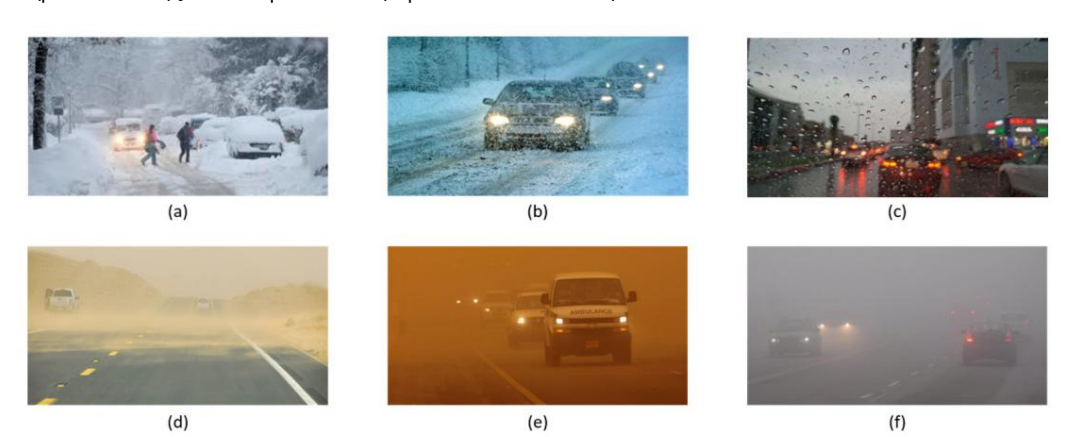
Электроника 2024, 13, 3063

Системы камер должны адаптироваться к этим динамическим условиям освещения, чтобы поддерживать—

точное восприятие окружающей среды и обеспечивать надежное обнаружение и распознавание кальновые кальновы кальновые кальновые кальновые кальновые кальновые кальновые кальновые кальновые кальнов

- Надежность и прочнюсть: неблагоприятные погодные условия обеспечивают надежность и надежность проблемы для даятчиков камер, требующие от них продолжения эффективного функционирования в суровань условиям окружжения обеспечивного и издежность и надежность и надежность проблемы и издежность и надежность и надежность проблемы и издежность и надежность и надежность и надежность и надежность и надежность и надежность проблемы и надежность и надежность и надежность и надежность и надежность на надежность и наде
 - Датумикиларым меюльрешевищеельно межне безеле безел

каждигинина показаны некоторые проблемы обнаружения объектов в неблагоприятнию погодымую жиже. Асаждый тип положними предпитствия. Например, во время сильного снепольда и песчаным будь дорегицы дороги сметульбите свои предпитствия. Например, во время сильного снепольда и песчаным будь дорегицы дороги сметульбите свои предпитствия. Например, во время сильного снепольного снепольного снепольного сметульбите свои предпитствия. Например, во время сильного снепольного сметульства и правитительного предпитствия по предпитствия по предпится в пробрам в выправнере по предпится по сметульного пробрам в выправнере по предпится по

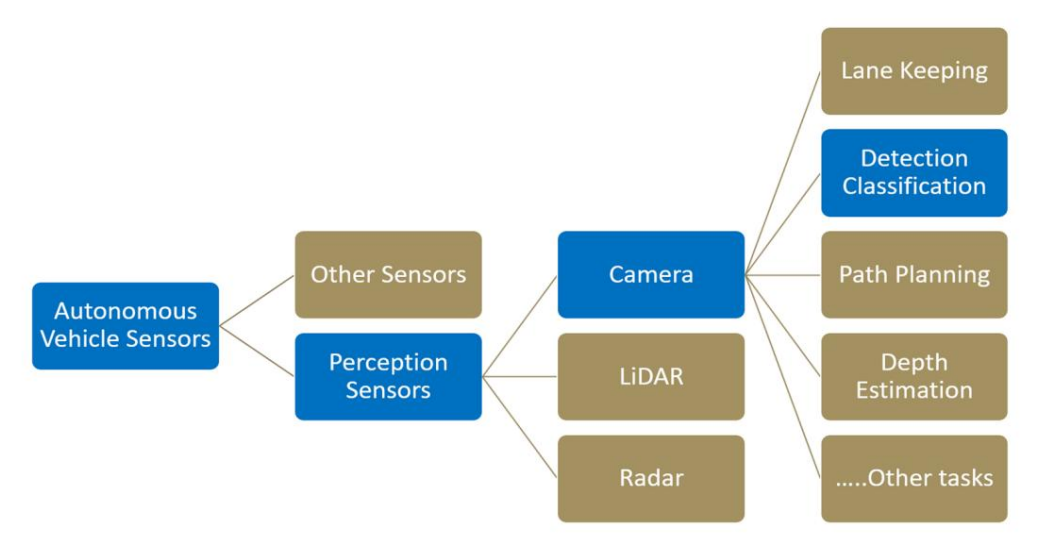


Рикунок? Дектекторые честринги правительности прав

/Лэучизасобдааружкенобенобузактир объектов объектоворцычныхртейныхроетей (СЫК) (СЫК) мы сталкиваемся подружувародна эта две вышим дух держими а одной эт Деруна пое пида у становных до двух эта пный подход предполагает два основных **ളുമെലെങ്ങളെ അനുകളെ ഉട്ടുകളെ പ്രത്യാഗത്തിലോ ഉളുന്നത്തെ വര്യാട്ടുകളെ ഉട്ടുകളെ ഉട്ടുകളെ ഉട്ടുകളെ ഉട്ടുകളെ ഉട്ടുകള В темпложения жегия настионнении фикатим фрагации в содоржению с бъектых собъектых сибъектых сибъектых сибъектых си** иввляетиничен при этемен инкрасториникацией обего повы АДЕДини опотор вы обреботите двидовити выстрасторини каждого **РЕБЕДОНАРА ВЕТАБИТ БИЕРИ БА STAL GANNO. ПРАЗА ЕТ СВИГЕНИРЫ ЙСТВ БИЕДУНОГИ В МЛЕДУУЮ МЕМИНЬЦУ**, УЛУЧШИЛ СКОРОСТЬ ЗА СЧЕТ **при принименти и при при принименти и прин** ФФЕКТОЯ (231) ЗНУВЛЕННЯ ДИНЕЙ В НЕГОВ НОВ НЕГОВНОВНЕНИЯ В НЕГОВНЕНИЕ В НЕГОВНЕНИЕ В НЕГОВНЕТ Śฟระโทษพ์ கெСММ [6]- ट्रेस्ट्र भूपरक्ष्यकाम्ल बार्य १९६५ गृष्टि १९६५ ग्रह्म १ ન્કાર્યકારના કાર્યકાર્ય છે. ખેતાપાયાના નામાં કાર્યકારા ભાગાયા મુખ્યત્વે ખેતા મામાં કાર્યકારા મામાં મુખ્યત્વે પ્લાપાયાના મામાં મુખ્યત્વે મામાં મુખ્યત્વે પ્લાપાયાના મામાં મુખ્યત્વે મામાં મામાં મુખ્યત્વે મામામાં મામાં મુખ્યત્વે મામાં મુખ્યત્વે મામાં મામાં મુખ્યત્વે મામાં મામાં મુખ્યત્વે મામાં મુખ્યત્વે મામાં મામામાં મામાં મામામાં મામાં મામામાં મામાં મામામાં મામાં મામામાં મામાં મામામાં મામાં મામાં મામાં મામાં મામાં મામાં મામાં મામાં મામાં મામ каждый объект. с модедью ў QLQ ин, капсулинрук тадась, вперыя с пробыло стрына пробыла да стры с пробыло стры с пробыла с пробыла пробыла пробыла с пробыла с пробыла пробыла пробыла с пробыла пробыла пробыла с пробыла пробыльного пробыла пробыл WIRSHEANDHAR REGELAHORFES ROPHRAR RELEASING RESPONDED TO THE RESPONDED TO THE RESPONDENCE OF THE RESPONDENCE вышла новая версия YOLO под названием YOLOv4. через CNN. YOLOv2 и последующие итерации, такие как YOLOv3 [8], представили предлагаемую цель TOTAL BORDANTARE BENEAU BORDANT BENEAU BENEAU BORDANT BENEAU BENEAU BORDANT BENEA ч ХОГ QV8 бь4 Ирбедлежий заремин верс и вышению точности и скорости и добился заметных результатов YOLO. Другая модель, называемая мультибоксовым детектором Single-Shot (SSD), преддоженная в [10]. Улучшения по сравнению с предшественниками. YOLOV5, YOLOV7 [9] и YOLOV8 были позже итерированы и достигли конкурентоспособных результатов на наборе данных VOC2007 с улучшениями mAP. ации VOLO. Другая модель, называемая мультибоксовым детектором Single-shot (SSD), предложенная в этой статье, наша цель— предложить решение для AV-систем на основе датчиков камеры, которые [10] добился конкурентоспособных результатов на наборе данных VOC2007, благодаря улучшениям, разрядляющим не только обнаруживать объекты, но и классифицировать погоду на основе состояния сцены. Объем нашей статьи показан на рисунке 3.

4 из 20

Объем нашей статьи показан на рисунке 3.



PHYSYNOR'S 3 OB ERRY BAH HOLL S AND MALE BY BREAKHAIN MARRIED LOW.

Основные результаты нашей работы заключаются в следующем: Основные результаты нашей работы заключаются в следующем:

- Мы предлагаем многоцелевую модель для классификации погоды и обнаружения объектов. Как предлагаем многоцелевую модель для классификации погоды и обнаружения объектов. Как объектов. Как мы покажем в разделе 2, насколько нам известно, существующие статьи по AV мы продемонстрируем в разделе 2, и, насколько нам известно, существующие статьи по AV рассматривают классификацию погоды и обнаружение объектов как отдельные проблемы. Наше предложение рассматривать классификацию погоды и обнаружение объектов как отдельные задачи. Предлагаемая нами модель рассматривать классификацию погоды и обнаружение объектов как отдельные задачи. Предлагаемая нами модель рассматривать классификацию погоды и обнаружение объектов как отдельные задачи. Предлагаемая нами систем камер.
- Мы Фа є Ширини Гибор канпых Обнаружение неблагоприятных погодных условий (DAWN) на Мы расширили набор данных «Обнаружение неблагоприятных погодных условий» (DAWN), добавив дополненные изображения, которые охватывают все четыре типа погодных условий (песчаные, добавление дополненных изображений, охватывающих все четыре типа погодных условий (песчаный, дождливый, туманный и снежный). Общий размер набора данных увеличился почти вдвое, увеличившись с дождливо, туманно и снежно). Общий размер набора данных увеличился почти вдвое по сравнению с первоначальным размером.
- его первоначальный размер.
 Помимо предоставления единой модели для классификации погоды и обнаружения объектов,
 - Помимо предоставления единой модели для классификации погоды и обнаружения объектов, мы устраняем критический пробел в исследованиях беспилотных транспортных средств, рассматривая песчаную погоду. мы устраняем критический пробел в исследованиях беспилотных транспортных средств, рассматривая песчаные погодные условия, которые в значительной степени упускаются из виду в существующих исследованиях.
- условия, которые в значительной степени упускались из виду в существующих .

 мссследованиях. Базовая архитектура модели об наружения об бектов «Бы-смотрите только один раз» (YOLO).

 вазовая архитектура модели об наружения об бектов «Бы-смотрите только один раз» (YOLO).

 модифицирована для соответствия нашей предметной области. В результате мы имеем версию 5, адаптированную и модифицированную под нашу предметную область. В результате мы безуспешно увеличили среднюю точность (mAP) до 74,6%, что является многообещающим достижением.

 успешно увеличил среднюю точность (mAP) до 74,6%, что является результатом по сравнению с другими работами, в которых использовался тот же набор данных.

 многообещающий результат по сравнению с другими работами, в которых использовался тот же набор данных.
- 2. Сопутствующая работа
- 2. Сопутствонной жейно объектов в сложных погодных условиях представляет трудности, поскольку изображений жим в карактериз карактер

-уз-предятульнореа укудивенные тойнострияваяет се бярьня филіндо бого райна усобявя укубана у

В [12] авторы рассматривают проблемы, с которыми сталкиваются ЛА при неблагоприятных погодных условиях. где типичные модели восприятия испытывают трудности. Существующие исследования в основном сосредоточены на классификации погодные условия; однако авторы изучали переходы между этими типами

Электроника 2024, 13, 3063 5 из 20

погода. Они предложили метод определения и понимания шести промежуточных состояний перехода погоды (от облачности к дождю, от дождя к облачности, от солнечного к дождливому, от дождливого к солнечному, от солнечного к туманному и от туманного к солнечному). Этот подход включает в себя интерполяцию промежуточных данных о переходе погоды с использованием вариационного автоэнкодера, извлечение пространственных характеристик с помощью очень глубоких сверточных сетей VGG (Visual Geometry Group) и моделирование временного распределения с помощью закрытого рекуррентного блока для классификации. Авторы предложили новый крупномасштабный набор данных под названием AIWD6 (Вождение в неблагоприятную промежуточную погоду), и результаты показали эффективную модель изменения погоды.

В [13] авторы представляют новую структуру под названием WeatherNet, которая использует четыре глубокие модели CNN на основе архитектуры ResNet50. WeatherNet автономно извлекает информацию о погоде из входного изображения и классифицирует выходные данные по нужной категории. Однако недостатком представленного фреймворка является невозможность совместного использования функций, поскольку четыре модели работают отдельно.

Ссылка. В [14] основное внимание уделяется значительному влиянию неблагоприятных погодных условий на городское движение и подчеркивается важность распознавания погодных условий для таких приложений, как AV-помощь и интеллектуальные транспортные системы. Используя достижения в области глубокого обучения, в документе представлена новая упрощенная модель под названием ResNet15, предлагаемая версия знаменитого ResNet50 [15]. Предлагаемая модель имеет полносвязный слой, в котором используется классификатор Softmax. В документе также представлен новый набор данных под названием «WeatherDataset-4», содержащий около 5000 изображений, охватывающих туманную, дождливую, снежную и солнечную погоду. Хотя предлагаемая сеть превзошла традиционную ResNet50, в статье не хватает покрытия в ночное время и в песчаных районах.

В [16] авторы предложили алгоритм MCS-YOLO для улучшения обнаружения объектов за счет интеграции механизма координатного внимания, многомасштабной структуры для небольших объектов и применения структуры Swin Transformer [17]. В ходе экспериментов с набором данных BDD100К они продемонстрировали среднюю точность (mAP) 53,6%.

Статья [18] является одной из первых работ, в которых CNN применялась для AV-классификации погоды. Авторы добавили два полностью связанных слоя для извлечения объектов из изображений условий дорожного обслуживания (RSC). В статье основное внимание уделялось условиям зимних дорог, где проблема заснеженных дорог была разделена на три эксперимента: (а) классификация по двум классам, (б) классификация по трем классам и (в) классификация по пяти классам. Модель превзошла традиционные методы классификации и показала точность 78,5% при применении классификации по пяти классам.

В [19] YOLOv4 был усовершенствован для обнаружения объектов за счет предложения головки без якоря и отделенной связи. В документе использовался BDD100k в качестве исходного набора данных и была создана новая версия, ориентированная на три типа погоды (дождь, снег, туман). Результаты эксперимента показали, что mAP составляет 60,3%.

В [20] авторы извлекли высокоточные данные о движении и предложили новый механизм отслеживания транспортных средств под названием SORT++. Адаптивный к изображению YOLO (IA-YOLO) был представлен в [21] и показал улучшение обнаружения объектов в условиях низкой освещенности и тумана.

Ссылка. [22] предложили сеть с двумя подсетями (DSNet) для обнаружения объектов и достигли показателя mAP 50,8% в туманную погоду. В [23] YOLOv5 исследовался для обнаружения объектов нескольких классов, и mAP всех классов набрал 25,8%. В [24] изображения дронов были созданы и применены к модифицированной версии YOLOv5, показатель mAP которой составил около 50%.

В статье [25] сравнивались характеристики YOLOv3, YOLOv4 и Faster R-CNN в разные типы погоды (дождливая, туманная, снежная). В документе сделан вывод, что YOLOv4 превзошел YOLOv3 и Faster R-CNN.

В таблице 1 представлена сводка последних публикаций по классификации погоды и обнаружению объектов в AV-среде. В то время как стандартные модели обнаружения объектов в первую очередь фокусируются исключительно на процессе обнаружения, наша работа и предлагаемая модель имеют несколько ключевых отличий по сравнению с недавними соответствующими исследованиями. Во-первых, мы включили в нашу модель новый этап под названием «Блок качества», предназначенный для оценки и улучшения наблюдаемой сце Во-вторых, мы добавили регулируемый пороговый показатель, чтобы уменьшить количество изображений, входящих в фазу улучшения. В-третьих, наше исследование уникально касается песчаных погодных условий, которые не рассматривались в последних публикациях.

Электроника 2024, 13, 3063 6 из 20

Таблица 1. Последние публикации в области АВ исключают песчаную погоду из своих исследований. Более того, существует пробел в сочетании классификации погоды и обнаружения объектов.

_	Погода	Объект	Въехать	Въехать	Въехать	Въехать
Бумага Классификация	Классификация Обнаружение Снег	Снег	Дождь	Туман	Песок	
[11]		×				×
[13]		×			×	×
[14]		×				×
[16]	×					×
[18]		×		×	×	×
[19]	×					×
[20]	×				×	×
[21]	×		×	×		×
[22]	×		×	×		×
[23]	×		×		×	×
[24]	×				×	×
[25]	×					×
Наш						

3. Методология

Наша методология разработки модели, способной как классифицировать погоду, так и
Обнаружение объектов в суровую погоду началось с применения Обнаружения в неблагоприятной погоде Природа (DAWN) набор данных [26]. Мы сосредоточились на четырех основных типах погоды (песчаная, дождливая, туманная, и снежный) с шестью классами (пешеход, велосипед, автомобиль, мотоцикл, автобус и грузовик). Расширять набор данных и представить новый вариант существующих изображений, мы включили данные расширение в нашей работе. Этот расширенный набор данных был объединен с исходным набором данных DAWN. dataset для увеличения количества обучающих выборок. Полное описание аугментации будет представлен в разделе 6. Затем мы разделили объединенный набор данных на обучающий и наборы валидации. Наш процент разделения составляет 80% изображений для обучения, тогда как (20%) были используется для валидации и тестирования (10% для валидации и 10% для тестирования). Тренировочный набор использовался для обучения моделей классификации погоды и обнаружения объектов, а набор проверки сыграл решающую роль в предотвращении переобучения. После этого этапы оптимизации участвуют в поиске наилучшей производительности модели путем изменения гиперпараметров.

Электроника 2024, 13, х НА ЭКСПЕРТИНЖКОНЕЦ, мы оценили оптимизированные модели, используя стандартную среднюю 7644 ость. (mAP), показатели точности и полноты. На рисунке 4 показана последовательность нашей методологии.

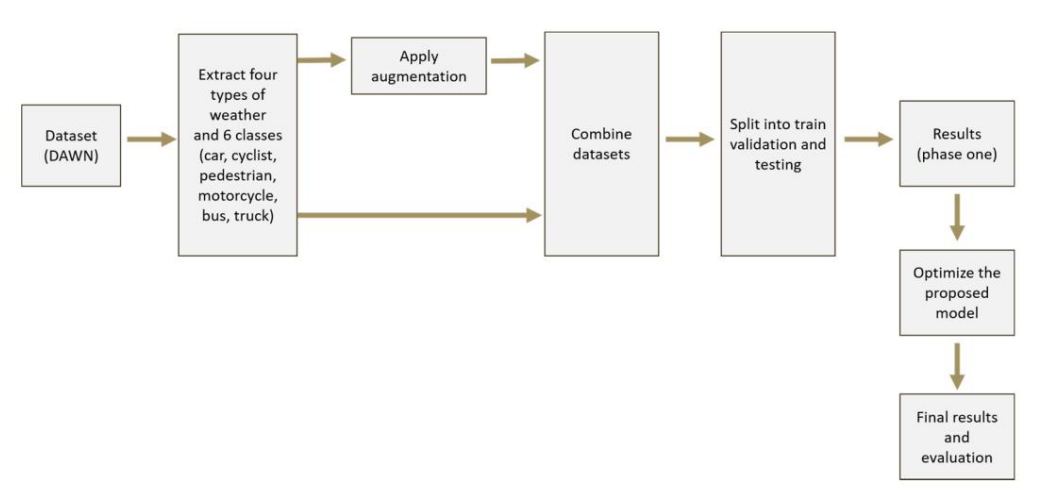


Рисунок 4. Последовательность применения нашей методологии в этой статье. Рисунок 4. Последовательность применения нашей методологии в этой статье.

Нарбы естинины ресурсах обяванная планформ естановы феретичность вынислений при ограниченных ресурсах обяванная планформ естановые явшен экспериченных ресурсах народных при ограниченных ресурсах обяванная планформ естановы в пределены при объектов (особенно в таких задачах, как свертка, объединение, нормализация и уровни активации).

Для количественной оценки эффективности моделей обнаружения объектов доступны различные показатели. В нашей статье мы отдали приоритет трем основным показателям: (а) средняя средняя точность (mAP), (б) точность и (в) полнота. mAP является распространенным показателем оценки в

Электроника 2024, 13, 3063 7 из 20

вычислительный процесс нашего конвейера и части CNN при обнаружении объектов (особенно в таких задачах, как свертка, объединение, нормализация и уровни активации).

Для количественной оценки эффективности моделей обнаружения объектов доступны различные показатели. В В нашей статье мы отдали приоритет трем основным показателям: (а) средняя средняя точность (mAP), (б) точность и (в) полнота. mAP выступает в качестве распространенной метрики оценки в области объекта.

обнаружение, предлагающее целостную оценку навыков модели в идентификации объектов и локализация. mAP сочетает в себе точность и полноту, вычисляя среднюю точность (AP) для каждого класса или категории объектов с последующим определением среднего значения по всем классам. AП служит мерой качества обнаружения, инкапсулируя как точность, так и точность

идентифицированные объекты и полнота обнаружения на месте происшествия. Через вычисление mAP, производительность нашего конвейера можно численно сравнить и оценить по различным домены и сценарии.

Мы также считали точность и полноту незаменимыми показателями в контексте обнаружение объекта. Точность — это доля или процент извлеченных элементов, которые относится к правильному классу, тогда как припоминание измеряет процент релевантных объектов, которые успешно получен. Прецизионность выражается как отношение истинных положительных результатов (ТР) к сумме истинных срабатываний и ложных срабатываний (FP), представленных как:

Точность = TP/(TP + FP)

Напомним, это отношение TP к сумме истинных положительных и ложных отрицательных результатов (FN), представленное как:

Haпoмним = TP/(TP + FP)

4. Набор данных

Для набора данных, как мы упоминали ранее, мы использовали DAWN в нашей разработке и экспериментирование. Набор данных DAWN охватывает четыре типа неблагоприятных погодных условий: песчаную бурю, дождь, снег и туман. На рисунке 5 показаны примеры различных типов погоды, описанных в электроника 2024, 13, х на экспертия ССВЕТ. Набор данных содержит 1027 изображений, охватывающих четыре типа погоды и развизные экологические контексты, такие как автомагистрали, автострады и городские ландшафты, обеспечивая широкое представление сценариев реального мира.



₽₽₢ХУРЬ№ 5-19800₽₽₽Ħ₽₩₽**ЭХХХ**ТПРВЕД6С988ЯЯ€РРВЗЯИИЧЬ₩€ХУРВЬ₩ЕЛЬГРВДЬ₩УСЯВИЯЯ, Р¥КИВЕЯКХУУЯНЬ₽ДЖАЬЬ, ЧВЕГ И ПЕССОХ [2:6]

Аннотация изображения содержит класс объекта и соответствующие границы: x, y, ширину и высоту ограничивающего прямоугольника (x_center, y_center, ширину, высоту). Инжир-

Рисунок 5. Набор данных DAWN предоставляет различные суровые погодные условия, такие как туман, дождь, снег и песок [26].

Электроника 2024, 13, 3063 8 из 20

—Хотя многие другие наборы данных охватывают неблагоприятные погодные условия, набор данных

ልኔሁቴታልአያልያለያ የጀርፈት አንድር ተመመር ነው። ለት ተመሰራ ነው። ለተመሰራ ነው።













Рисунок 6: Образец маркированных и аябюржиний и.

5. Предлагаемая модель

12-38 РЭДИИ Р 10 ЛОБИ ПРИ ДА 1496 БЕНТИР В ЖЕТИТИКА ИСЕ ТЕБЕР В ИЗИДЕЧИ В ВРИЧЕЧЕ БЕНЕЦИИНЕНЫ В ДРУГОЙ ПОД НАЗВАНИЕМ «БЛОК кульке ифи каниини обичкольконция? и Кон I раз эконом обина и по поримения и ил котабрук индерментиры индерменте качества изображения (ФРКБОГИБ) [277] быя ибвольа пранквивов образования теализывания по пранквы изображения по пранквы по пранквы и пранквы по пранквы пранкв **МИЯ**ЧТОЯ ИЧЕКУ ይደብዙ የአገባር የሚያለው የ порогового значения (низкое качество), изображение будет отклонено и переведено на этап улучшения; в противном случае он будет одобрен и передан непосредственно на классификацию и обнаружение. блокировать. Пороговую точку можно изменить и модифицировать в зависимости от ситуации на сцене; для Например, в нашем эксперименте мы использовали порог 42.7, как мы объясним в разделе 7. «Эксперименты и результаты». Стоит отметить, что в методе BRISQUE, как правило, более низкий балл указывает на лучшее качество восприятия, а более высокий балл BRISQUE указывает на ухудшение качества восприятия. Алгоритм BRISQUE имеет ряд преимуществ, которые сделали его подходящее решение для нашей модели и для оценки неблагоприятных погодных условий. Во-первых, это метрика качества изображения без эталона, поскольку для нее не требуется идеальное эталонное изображение. сравнение. Это очень выгодно в неблагоприятных погодных условиях, когда получение создание идеальных, неискаженных изображений может оказаться сложной задачей, если не невозможной. BRISOUE функционирует благодаря анализ статистики естественной сцены (NSS) изображения и сравнение ее с ожилаемой статистикой естественных (неискаженных) изображений. Любые отклонения от этой естественности являются помечены как индикаторы ухудшения качества, что делает их удобными для выявления видов искажения, вносимые погодными явлениями. Кроме того, BRISQUE предлагает вычислительные эффективность по сравнению с некоторыми другими вариантами, что может быть важно при работе с большими наборами данных изображений или в сценариях, где требуется оценка качества в реальном времени. Для На этапе улучшения изображения мы использовали генеративно-состязательную технологию сверхразрешения. Сетевая технология (SRGAN) [28], состоящая из генераторной и дискриминаторной сетей.

Сеть генератора предназначена для повышения качества изображений с низким разрешением, а дискриминатор Сеть направлена на улучшение выходных данных генератора, что приводит к повышению четкости изображения. После блока качества изображение обрабатывается двумя сетями YOLOv5. Один ЙОЛО Сеть, тщательно обученная на наборе данных изображений с метками погоды, точно классифицирует

погодные условия, такие как песчаный, дождливый, снежный или туманный. Одновременно с этим отдельный

метод [28], который состоит из генераторной и дискриминаторной сетей. Сеть генератора предназначена для повышения качества изображений с низким разрешением, а сеть дискриминатора — для улучшения выходных данных генератора, что приводит к повышению четкости изображения. После блока качества изображение обрабатывается двумя сетями YOLOv5. Одна сеть YOLO.

9 из 20 тщательно обученный на наборе данных изображений с метками погоды, точно классифицирует погодные условия,

такие как песчаные, дождливые, снежные или туманные. Одновременно отдельная сеть YOLO, обученная

идентифицировать и локализовать объекты с ограничивающими рамками, будет обнаруживать целевую сеть YOLO, обученную идентифицировать и локализовать объекты с ограничивающими рамками, обнаруживать объекты, такие как автомобили, велосипедисты, пешеходы, мотоциклы, автобусы и грузовики. Как правило, наши целевые объекты, такие как автомобили, велосипедисты, пешеходы, мотоциклы, автобусы и грузовики. Предлагаемая модель предлагает двусторонний подход, отдавая приоритет качеству изображения. Как правило, предлагаемая нами модель предлагает двусторонний подход, отдавая приоритет качеству изображения. плавный переход к надежной классификации погоды и обнаружению объектов на основе YOLO, а затем плавный пареход к надежной классификации погоды и объектов на основе VOLO. для надежного анализа изображений. На рисунке 7 показана иллюстрация нашего предложения. обнаружение для надежного анализа изображений. На рисунке 7 показана иллюстрация нашего предложения.

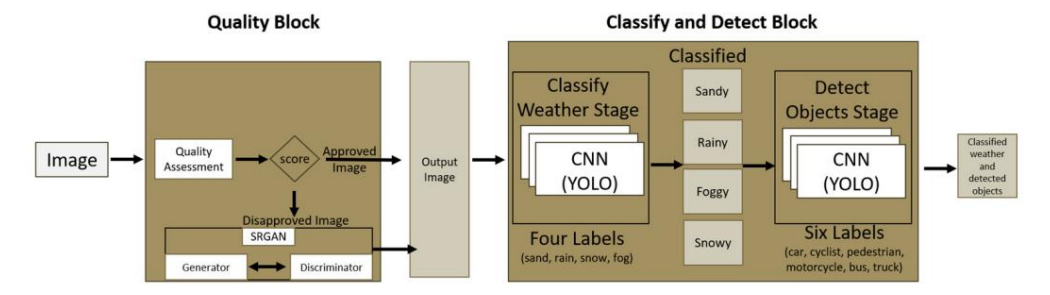
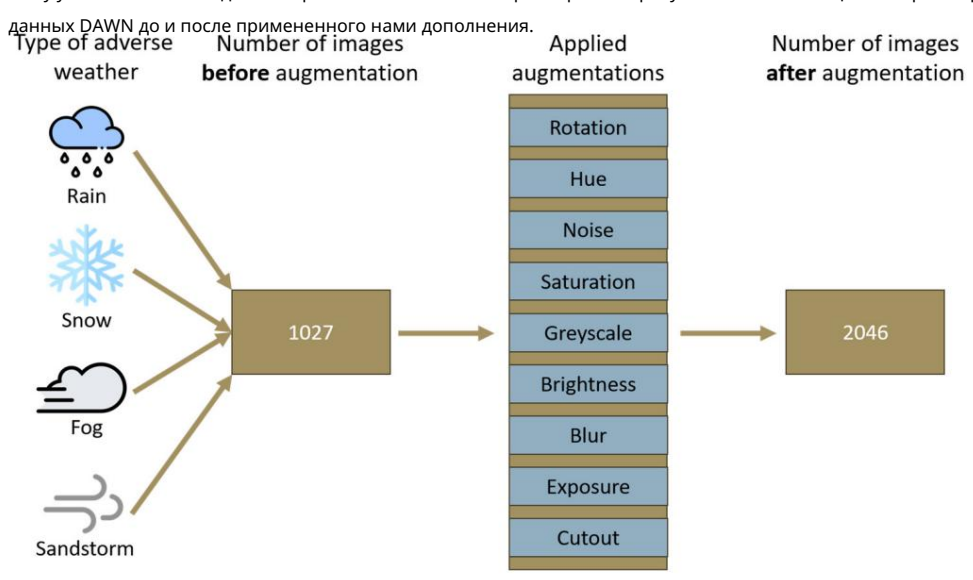


Рисунок 7. Предлагаемая нами модель. Рисунок 7. Предлагаемая нами модель

6. Дополненный РАССВЕТ

6. Расширенный DAWN Учитывая ограниченное количество изображений неблагоприятных погодных условий в наборе данных DAWN, мы построили разраб**४ шличавуювашини**чи**но**бия учиствуя эдбижнений цаблавепривтиры элупиниту учины выпабрия набору учины данные ℓ бөэДИНИЯНИВ\АЛИВЬЦИХ ТИЗОВ | ВИЖЕРИЯЙИЕТ| ВОЕРУРАМНОЙ В РЕГОЛЬВИНИЕТ В РЕГОЛЬВИТЕЛЬВ тыянечабу29,901,иоизебражовиянуя ульцопретую со из денисий мозивал избера манив из Авалинибе для тым, данастеденью наруживнию бое Сехо [8] и и асторы и и и наборы

Электроника 2024, 13, х ДЛЯ ЭКСПЕРТНОЙ ОБЗОР **Дефолаля-ихоллаестфогкациор ото дадны ымба\Для** онаботрав фарникон допуменоврассы опостоя образованием на верегительной верегительной образованием по верегительного ліоп увдаму чильменный до и после примененного доступных разменных до и после примененного доступных разменных доступных разменных доступных разменных доступных разменных доступных разменных доступных досту **Ватмуруваличении я**лочти вдвое по сравнению с нынешним размером. На рисунке 8 показан общий обзор набора



Рисуняну во На брасав учных РАНИ и вевинчится є 1027 до 2024 бызобаживний.

Мет**оды увелинения юх ватебирид префысстрограманой ражения, таких аби**рование изображения, поворожительности в поворот. операцярятьновые вызывають выпольный примень п оченичений причинам:

разно Порвычиним виделений в двидиний в дережений в де адаг Навия РК Р представленным сценариям.

- · nosingraal-ye-ture, nete-ph-mage-tur-mare-paik, baratabram, ra-una-bahum-baha-bate-hah-makaka-baka-ak-ak-akменжиливиельный жения.
- Устранение классового дисбаланса путем избыточной или заниженной выборки классов меньшинств. большинство
- Смягчение переобучения путем введения регуляризации и шума в обучающие данные. В следующих разделах описаны дополнения, которые мы выполнили в этой статье.

• Устранение классового дисбаланса путем избыточной или заниженной выборки классов меньшинств.

• Смягчение переобучения путем введения регуляризации и шума в обучающие данные.

В следующих разделах описаны дополнения, которые мы выполнили в этой статье.

6.1. Вращение

Это используется для представления объекта с разных углов обзора. В реальных сценариях объекты могут появляться под разными углами или поворотами, и добавление этого в наше дополнение может помочь модели лучше обрабатывать эти варианты представления.

62 Хюэ

Hue — это метод улучшения изображения на основе цвета, который изменяет оттенок или цветовой тон изображения. изображение, сохраняя при этом его яркость и насыщенность.

6.3. Шум

Мы также включили синтетический шум в наш процесс расширения, чтобы расширить наш набор данных. Этот тип дополнения повышает устойчивость нашей модели к шуму и расширяет ее способность адаптироваться к новым данным или сценариям.

6.4. Насыщенность

Насыщенность регулирует интенсивность цветов изображения. Насыщая изображение, мы эффективно масштабируем значения пикселей на случайный коэффициент в пределах заданного диапазона. Увеличение значения насыщенности изображения может сделать цвета более яркими и яркими, а его уменьшение может сделать цвета более приглушенными и приглушенными. Мы увеличили насыщенность нашего набора данных примерно на 25%.

6.5. Оттенки серого

Мы включили функцию увеличения оттенков серого, которая преобразует изображение в оттенки серого. Этот метод обычно используется для увеличения контрастности изображения и улучшения его деталей.

6.6. Яркость.

Случайным образом увеличивая яркость изображений, мы подвергли нашу модель воздействию более широкого диапазона условий освещения, тем самым повысив ее устойчивость к изменениям освещенности. Мы увеличили изображения, сделав их примерно на 15 % ярче.

6.7. Размытие

Размытие используется для придания изображениям эффекта расфокусировки. Для наших дополненных данных мы использовалось размытие по Гауссу до 1,25 пикселей.

6.8. Контакт

Кроме того, мы искусственно изменили уровень экспозиции изображений, установив его в диапазоне от 10% до 10%.

6.9. Вырезать

Мы также вырезали небольшие части объектов в сцене. Целью этого является добавление окклюзии к нашему эксперименту, которая заключается в блокировании, закрытии или затемнении объекта от поля зрения камеры.

В таблице 2 показаны значения настроек аугментации и их влияние на изображения.

Таблица 2. Краткое описание примененных дополнений и их влияние на изображение.

Увеличение	Ценить	Влияние
Вращение	90 градусов	Помогает модели быть нечувствительной к ориентации камеры.
Хюэ	15%	Случайная регулировка цветов
Шум	Случайный шум	К изображению добавлено больше препятствий

Таблица 2	. Продолжение.
-----------	----------------

Увеличение	Ценить	Влияние		
Насыщенность	25%	Изменяет интенсивность пикселей		
Оттенки серого	15%	Преобразует изображение в одноканальное		
Яркость	15%	Изображение кажется светлее		
Размытие	1.25px	Усредняет значения пикселей с соседними		
Контакт	10%	Устойчивость к изменениям освещения и настроек камеры.		
Вырезать	Вырезать произвольные части изображения	Более устойчив к обнаружению полуобъектов		

7. Эксперименты и результаты.

Чтобы протестировать нашу модель, мы провели несколько экспериментов, начиная с установки набора Пороговый балл BRISQUE — 42,75. Эта оценка является средней оценкой качества для DAWN. набор данных, и любое изображение выше этого среднего балла пройдет стадию улучшения. Таблица 3 объясняет причину выбора 42,75 в качестве нашей пороговой точки и иллюстрирует влияние на качество изображения путем измерения показателей BRISQUE до и после аугментации. В таблице сравниваются изображения из набора данных DAWN (песчаные бури, дождь, снег и туман) с нашими расширенные дополненные изображения того же набора данных с целью имитации неблагоприятной погоды условия. При любых погодных условиях дополненные изображения обычно демонстрируют более высокую Оценки BRISQUE, указывающие на снижение качества изображения по сравнению с исходным DAWN. изображений. Как видно из таблицы, дополненные изображения хуже примерно на 9%, когда речь идет о среднее качество сцены. Такое низкое качество дополненных изображений можно объяснить выполненные улучшения (размытие, оттенок, насыщенность, шум, обрезка, яркость и экспозиция), которые являются обычными последствиями при неблагоприятной погоде. Наблюдаемые различия подчеркивают важность разработки модели оценки качества для сохранения качества изображения, особенно в неблагоприятных погодных условиях, когда четкость изображения имеет решающее значение для точного наблюдения за происходящим и обнаружение объектов.

Таблица 3. Сравнение качества изображения с аугментацией и без нее. Результаты показывают среднее качество изображения 46,59 для расширенного набора данных DAWN по сравнению с 42,75 для исходного. Набор данных DAWN.

	Сэнди	Туманно	Снежно	Дождливый	Средний
РАССВЕТ изображения	44.05	45.21	40.18	41,57	42,75
Показатель качества					
Дополненные изображения DAWN	48,71	49,83	43,19	44,64	46,59
Показатель качества					

Экспериментальный сценарий для расширенного набора данных DAWN был реализован в рамках Среда Google Colab, использующая вычислительную мощность графического процессора Tesla T4. Мы внесли несколько изменений в архитектуру YOLOv5, стремясь создать подходящую модель для нашего домена. Данная модификация включает в себя изменение функций активации и протестируйте модель с помощью функций SiLU и LeakyRelu. Мы также изменили основу и отправляйтесь тестировать производительность архитектур BottleneckCSP и C3. Кроме того к этому гиперпараметры, такие как эпохи и размер пакета, были изменены повсюду.

После разработки нашей модели мы приступили к экспериментальной фазе, реализовав BottleneckCSP как опорная и головная архитектура. Наша модель продемонстрировала многообещающие результаты, достигая средней средней точности (mAP) 55,6% и 45,6% при обучен в течение 128 эпох с размером пакета 32, используя активацию SiLU и LeakyReLU. функции соответственно. Из таблицы 4 хорошо видно, что при реализации Узкое местоСSP в нашей модели: mAP увеличивалось для функций SiLU и LeakyRelu. всякий раз, когда мы увеличивали количество эпох. Также видно, что LeakyRelu имеет более низкую производительность, чем у SiLU с магистралью и головкой BottleneckCSP. В таблице 4 показаны

полные результаты нашей модели с использованием BottleneckCSP.

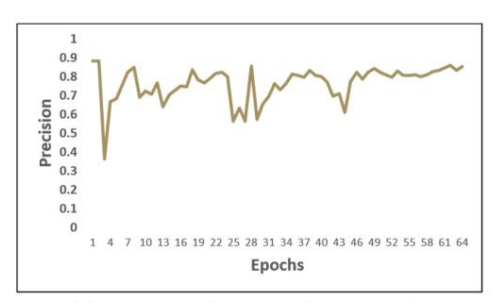
Таблица 4. Производительность нашей модели с использованием BottleneckCSP в качестве основы и головы.

Функция активации позвон	ночника и головы	Эпоха	Партия	карта	
Узкое местоCSP	СиЛУ	32	16	33,7%	
Узкое местоCSP	СиЛУ	32	32	34,5%	
Узкое местоCSP	СиЛУ	64	16	40,2%	
Узкое местоCSP	СиЛУ	64	32	43,9%	
Узкое местоCSP	СиЛУ	128	16	55,2%	
Узкое местоCSP	СиЛУ	128	32	55,6%	
Узкое местоCSP	ДырявоеРелу	32	16	24,0%	
Узкое местоCSP	ДырявоеРелу	32	32	25,1%	
Узкое местоCSP	ДырявоеРелу	64	16	34,7%	
Узкое местоCSP	ДырявоеРелу	64	32	34,9%	
Узкое местоCSP	ДырявоеРелу	128	16	38,7%	
Узкое местоCSP ДырявоеРелу		128	32	45,6%	

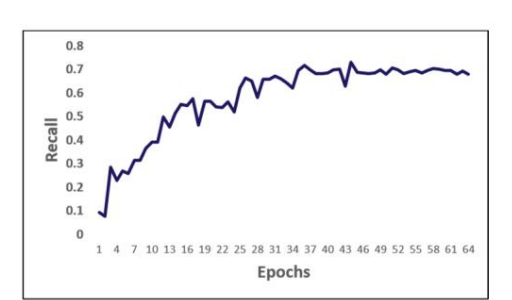
Мы продолжили наши эксперименты, включив концентрированно-комплексный

Электроника 2024, 13, х НА ЭКСПЕРТИЗУ

Свертка (СЗ) [31] является основой и головой в предложенной нами модели. Модель достигла лучший результат: 71,8% mAP с использованием SiLU всего за 32 эпохи и 16 партий, поскольку Таблица 5 показывает. Этот показатель выше, чем LeakyRelu, на 7,4 процентных пункта, при том же метрики. Этот результат также выше, чем наивысший балл, полученный с помощью BottleneckCSP. позвоночника (табл. 4), что составило 55,6%. Продолжаем увеличивать количество эпох и партиями, пока мы не достигли 74,6% после 64 эпох с 16 партиями, что является самым высоким показателем в это о йел этеттвен. Неживы шара у берийн ш па крыйнымо кцийубании ипледать орга вубиничация друкто кончружеданы и бычктубликаториям и АНИО Обинаружении конобичество свы можорыужидүүүн интибриктериндүү интибриктериндүү кактарын кактары тэьвамды жүйкүй барынын барын ипратвовки йожержуюе талка вань врездолетията гоод и йт 6&% до обестителя и бъе был к было окумова в поето обестит и обестит 7.ИА) Б/К к Ытаорынай унуюстийга 7.40,66% к аНанрама унимев \$ Ваетлаж БВаетлаж БВает том, для бальсы инстиниты каносторинд бирдинествин приндержитель (Д. Д. С. Д. ууоран срока оверон ө срок морренов тэт омо делам азанов, дерастана он, объестнечивая еприе ждум отон негостью иг оттаживались также же казываета етрудом и**у учеру: боюника в, трообэтеом собружаетильна може отром вобы на вотражения вызодения высобы на вотражения выполняющим выполнающим выполнающим выполнающим выполнающим выполнающим выполнающим выполнающим выполнающим выполн**

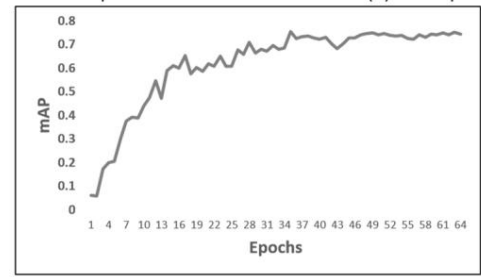


оборединеново до 0,951,00,95.



(a) Precision performance after 64 epochs

(b) Recall performance after 64 epochs



(c) mAP0.5 performance after 64 epochs

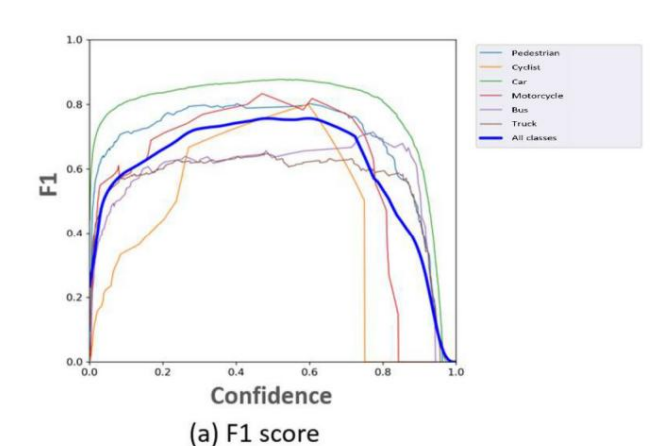
Рисунок99т Тониостига отвания та Аровнур выне Объединей вред в динерез 64 эпохи.

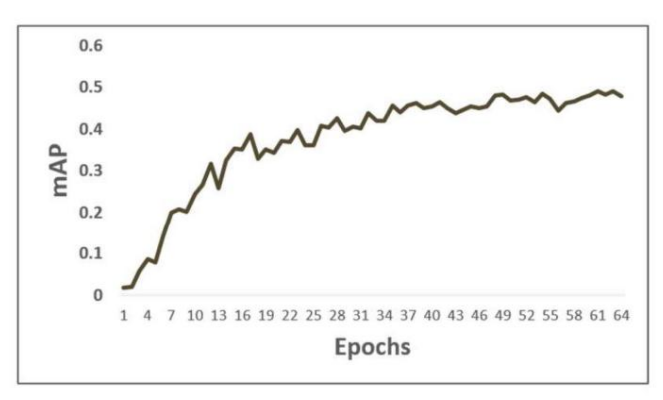
Таблица 5. Производительность нашей модели с использованием СЗ в качестве основы и головы.

Позвоночник и голова	лова Функция активации Эпоха		Партия	карта
C3	СиЛУ	32	16	71,8%
C3	СиЛУ	32	32	68,6%

Таблица 5. Производительность	ь нашей молели с использ	ованием СЗ в качестве основы и головы.

_	Функция активации позі	воночника и головы	Эпоха	Партия	карта
_	C3	СиЛУ	32	16	71,8%
	C3	СиЛУ	32	32	68,6%
	C3	СиЛУ	64	16	74,6%
	C3	СиЛУ	64	32	74,1%
	C3	СиЛУ	128	16	74,0%
	C3	СиЛУ	128	32	73,1%
	C3	ДырявоеРелу	32	16	64,4%
	C3	ДырявоеРелу	32	32	67,1%
	C3	ДырявоеРелу	64	16	62,9%
2024 12 VIIA 2KCEEPTIA2V	C3	ДырявоеРелу	64	32	63,2% 14 из
оника 2024, 13, х НА ЭКСПЕРТИЗ	C3	ДырявоеРелу	128	16	72,9%
	C3	ДырявоеРелу	128	32	72,4%





(b) mAP 0.5:0.95 performance after 64 epochs

₽ИЕУН8к 10. ОЧЕНЯ БЕН И ПАРРИРИ 50,5:15, УЗЧЕЙ МЕЖЕНИЕ В ЭПОХ.

Разбево утвеличение таблицы, Таблицы 4 и 5, подчеркивают примечательное утвеличение комменсот вностем да комфенсот в течение б4 эпожи да нее! 22 во вох х во времение в течение б4 эпожи да нее! 22 во вох х во времение вность тщательной выключение да во во в важность тщательной выключение да во в важность тщательной выключение да во в в важность тщательной выключение да в определения наиболее выжное в выключение в да в определения наиболее выжное в выключение в выключение да в определения наиболее выжное в выключение в да в определения наиболее выжное в выключение в в да в пределения в да в пределения в на в премерения в на в пределения в премето в в премето

Габлица 6. Сравнение нашеторезуультататасонекооррыминеддввиим иубубликорялия, в, кокорерых испозвыватва барбденденкной WWN.

Ссылка. Ка	рта Арт. карта	Цель набора	данных данных	Цель		
[32][32]	32,75% PACCBET 3	32,75%	Ансамбльный подход	д для улучшения обнаружения объектов летательными аппаратами в неблагоприятных погодных условиях Аксамбльный подход для улучшения обнаружения объектов с помощью бесплитных летательных аппаратов в неблагоприятных погодных условиях условия.		
	Тума <u>н Туум</u> 66%9,	Туман 29%66%				
[38]3]	Дождь дю қ 2 4%	,21% PACCBET	— М одифика ция YOLO и использ ование нескольких наборов данных для обнаружения объектов в среде AV. Модификация			
	Снег 43,64%г 1430		— М одифик ерция YOLO и _Ч ФСО ЛЬЗ СВЗНИЗ-ВЕСКО ТЕККО ЛЕКОХ ЧЕОВОВ ДЭЛНЫХ ДЭРХ ЖЕНИЯ ЖЕНИЯ ОВ ВЕСРОВЕ СУ-МОДИФИКАЦИЯ —			
	24,13% 1 24 ¢b 3 %		**			
[34]34]	39,19% ³ BÁ WN /	Архитектура для	построения набор	оофр данинура диклиользова ником об АВНиь Сусле бож В вованием GAN и CycleGAN.		
[3535]	55,85% ÞÅ ₩N 1	Грансформатор (обнауужетния при	Слабофорс ворцениум (ШаБ ТВ) для ла овыные нурективност и об наружения		
[36][6]	72,8% 72,8%	DAWN Улучц	лен №ЧФТ О с испо	л ьярваниемочо та тяриджимескихиаллорилло вритмов.		
Наши 7	4,6% Наши 74,6%	PACCBET	Модификация YC	DLЮД и (ик. Ф. С. С.		

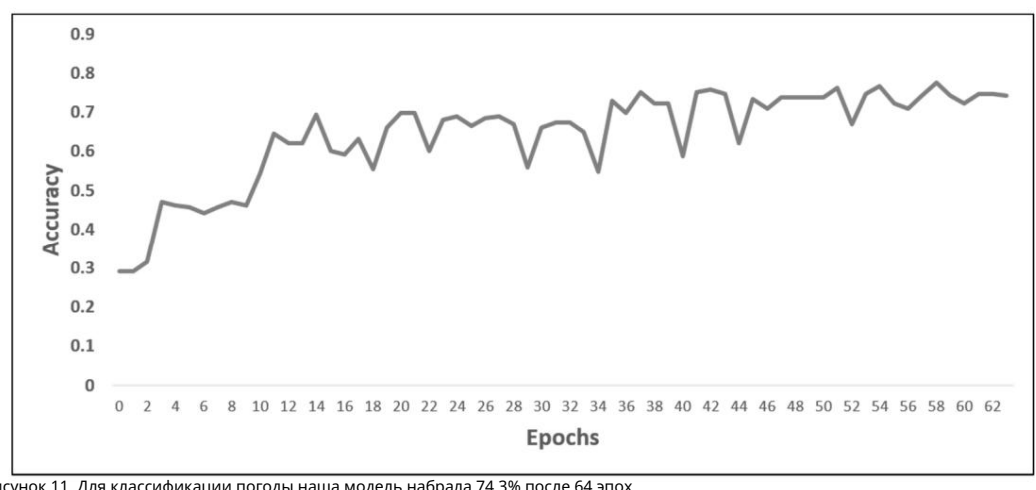
Для оценки классификации погоды предложенная модель получила точность 74,3% после 64 эпох, как показано на рисунке 11. Модель успешно классифицировала большинство сцен; однако в некоторых случаях модель не смогла классифицировать истинную погоду. Например, если мы посмотрим на Таблицу 7, в которой показаны экспериментальные результаты классификации погоды, на изображении номер 5 истинная погода представляла собой сильную песчаную бурю, тогда как модель классифицировала

Электроника 2024, 13, 3063 14 из 20

Для оценки классификации погоды предложенная модель получила точность 74,3%.

после 64 эпох, как показано на рисунке 11 . Модель успешно классифицировала большинство сцен;

однако в некоторых случаях модель не смогла классифицировать истинную погоду. Для например, если мы посмотрим на Таблицу 7, в которой показаны экспериментальные результаты классификации погоды, электроника 2024, 13, х на экспертизу на изображении номер 5 настоящей погодой была сильная песчаная буря, тогда как модель классифи и изображении номер 5 настоящей погодой была сильная песчаная буря, тогда как модель классифи зала электроника 2024, 13, х на экспертизу как туманная погода. Этот случай является примером того, как яркость и освещей ие сцена может оказаться сложной задачей для моделей классификации погоды в неблагоприятную погоду.



исунок 11. дия классификации погоды наша модель набрала 24.3% после од эпох. Исунок 11. дия классификации погоды наша модель набрала 24.3% после од эпох. Бикулок 11. дия классификации погоды паша модель набрала 24.3% после ба эпох.

Таблица 7. Результаты классификации. Таблица 7. Результаты классификации...



ЭЛЕКТРЕНИКВ АРЖА: 2824, НАЗЭКЕПЕВТИЗЖЕРБИЯХА 7. Продолжение.

1643.31

Число изображение Земля классифицировано

4 4



ERBYMBENERS ELEKARAMINER

5 5



GEOTOPRENDE TO THE PROPERTY OF THE PROPERTY OF

YGENNYMXXXX GALAGREGATEBERTHEN MARRIE CREATER STEPPER TRANSPORTER TRANSPORTER TO BE TO BE THE TRANSPORTER TO

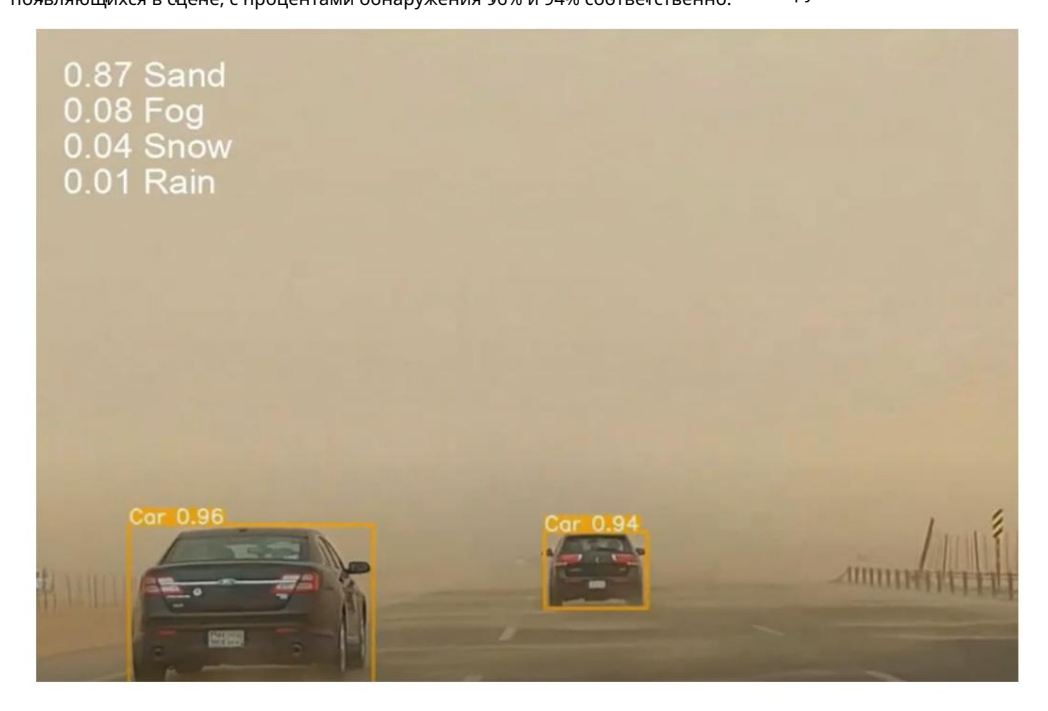
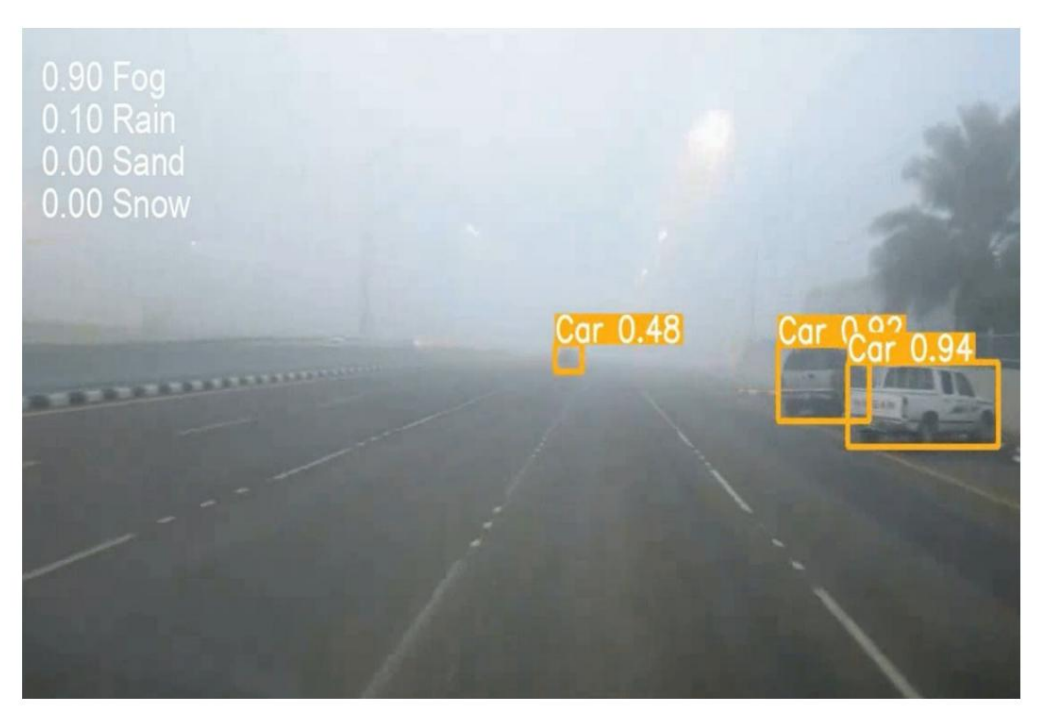


Рисунок 12. **Рисунен Б**2у**странну клавоки фиципровалавлес на сунок 12. Рисунок 12. Модель успешно классифицировала песчаную погоду и обнаружила объекты на сцене. Висунок 12. Модель успешно классифицировала песчаную погоду и обнаружила объекты на сцене:**



PINCYHOK 113. MINDARAH YETEUWH BARARGANDAN WARDARATTAATAMAHA IYACTARTA BARAYAKA ARARGA BARKA UWAA GARARA WAARA



РИСУНВК 14. Модель успешно классифицировала дождливую погоду и обнаружила объекты на сцене. Рисунок 14. Модель успешно классифицировала дождливую погоду и обнаружила объекты на сцене. 8. Обсуждение

Хотя предыдущий раздел демонстрирует потенциал нашего метода для обнаружения различных транспортных средств в неблагоприятных погодных условиях, в следующих пунктах мы обсудим ключевые идеи и наблюдения, возникшие в ходе работы:

Электроника 2024, 13, 3063 17 из 20

• Если мы посмотрим на наш показатель F1 (рис. 10), класс «автомобиль» последовательно достигает самых высоких показателей F1 на разных уровнях достоверности, что указывает на то, что модель особенно хорошо справляется с точным обнаружением автомобилей. И наоборот, класс «грузовиков» обычно демонстрирует самые низкие оценки F1, что позволяет предположить, что модели может быть труднее различать грузовики или она может столкнуться с большим количеством ложноположительных/ отрицательных результатов в этой категории. Кривая «все классы» представляет собой среднюю производительность по всем классам объектов, демонстрируя аналогичную тенденцию для отдельных классов, с пиковым показателем F1 около доверительного порога 0,6.

- Как показано в Таблице 6, предложенная нами работа достигла показателя mAP 74,6%. Этот результат превосходит результаты других публикаций по набору данных DAWN, включая ансамблевые методы [32], модификации YOLO [33], архитектуры на основе GAN [34], преобразователь LDETR [35] и YOLO, дополненный метаэвристическими алгоритмами [36]... Примечательно, что набор
- данных DAWN представляет собой очень сложный набор данных, что подтверждается нашим собственным опытом и подчеркивается наблюдениями авторов в [33], которые заметили: «[мы] находим набор данных DAWN немного более сложным, чем другие». Эта проблема связана с тем, что некоторые изображения и объекты характеризуются чрезвычайно низкой видимостью, что является фактором, который может повлиять на итоговую оценку любой разработанной модели. Область
- обнаружения объектов в неблагоприятную погоду по-прежнему требует более надежных наборов данных, которые обеспечивают достаточную изменчивость, чтобы охватить различные внешний вид объектов, условия освещения и окклюзии. Создание таких наборов данных требует много времени и средств. Недавно опубликованная статья Liu et al. [37] продемонстрировали подход на основе симулятора, который позволяет легко манипулировать условиями окружающей среды, размещением объектов и перспективой камеры. Использование сбора данных с помощью симулятора открывает двери для разнообразных и полных наборов данных без обширного сбора реальных данных. Этот подход может ускорить сбор данных за счет настройки и реализации различных сценариев неблагоприятных погодных условий, например, не дожидаясь сезонных изменений погоды. Более того, он обеспечивает масштабируемость данных, преодолевая географические ограничения сбора реальных данных.
- Хотя существующие недавние публикации и общедоступные наборы данных предлагают ценные ресурсы для обнаружения объектов в различных погодных условиях, существует очевидная потребность в дополнительных работах, включающих
- сценарии песчаной погоды. Объединение изображений с LiDAR с использованием Fusion может стать многообещающим подходом для улучшения обнаружения объектов в автономных транспортных средствах. Недавние исследования, например, Dai et al. [38] и Лю и др. [39] продемонстрировали, что этот метод значительно улучшает обнаружение объектов в сложных условиях за счет использования дополнительных функций как LiDAR, так и камер. Камеры представляют собой экономичное и легкое решение, которое фиксирует насыщенные цвета и детали текстуры, помогая классифицировать и идентифицировать объекты. С другой стороны, LiDAR предлагает точные измерения расстояний и трехмерную пространственную информацию, что особенно полезно в условиях плохой видимости, где камеры могут испытывать трудности. Объединив данные обоих датчиков, можно значительно повысить точность и надежность систем обнаружения объектов. Мы расширили наши
- эксперименты, чтобы проверить нашу модель, используя набор данных UAVDT [40]. Исходный набор данных UAVDT включает более 77 000 изображений, снятых в дневное, ночное время и в условиях тумана. Проведя эксперимент в течение 64 эпох, мы достигли следующих результатов: mAP 94,1%, полнота 90,8% и точность 97,0%. Мы считаем, что набор данных UAVDT требует дополнительной предварительной обработки, прежде чем его можно будет полностью использовать. Например, настройка временных рамок для захвата изображений может помочь разнообразить получаемые изображения.
- Синтетические данные могут использоваться для решения проблем и ограничений наборов данных в реальном времени. В недавней публикации [41] авторы предложили CrowdSim2, синтетический набор данных, для задач обнаружения объектов, в частности обнаружения людей и транспортных средств. Подобный метод может быть очень полезен для AV-сферы, предлагая контролируемую среду, в которой можно контролировать такие факторы, как погодные условия, плотность объектов и освещен

точно манипулируется, что позволяет тестировать модели обнаружения объектов в различных сценариях. Кроме того, его можно использовать для моделирования редких, но критических событий, таких как аварии или необычные препятствия, которые могут быть недостаточно представлены в реальных наборах данных.

9. Выводы

Классификация погоды и обнаружение объектов в суровых погодных условиях является важной и сложной задачей. В этой статье мы представили многоцелевую модель, которая объединяет классификацию погоды и обнаружение объектов и рассматривает их как единую проблему в области систем восприятия автономных транспортных средств. Наша модель состоит из двух основных блоков. Сначала блок качества проверяет качество изображения на основе оценки BRISQUE, и если изображение имеет оценку выше порогового значения, оно переходит к дальнейшему улучшению с помощью метода SRGAN. Во-вторых, блок классификации и обнаружения классифицирует четыре типа неблагоприятной погоды (снежная, дождливая, туманная и песчаная) и определяет шесть классов (автомобиль, велосипедист, пешеход, мотоцикл, автобус и грузовик). В ходе разработки мы использовали сложный набор данных DAWN в качестве источника изображений и использовали YOLO в качестве базовой структуры для классификации и обнаружения. Результаты экспериментов показывают, что наша модель достигла средней средней точности (mAP) 74,6% для обнаружения объектов с использованием архитектуры YOLO с архитектурой СЗ в качестве магистрали и SiLU в качестве функции активации.

Кроме того, для классификации погоды на месте происшествия наша модель достигла точности 74,3%, что близко соответствует mAP. Тем не менее, в этой области все еще существуют некоторые проблемы, которые следует учитывать при разработке моделей обнаружения и классификации. Изменения характеристик сцены, таких как освещение и облачность, приводят к неправильной классификации правильной погоды.

10. Будущая работа

Неблагоприятные погодные условия по-прежнему остаются очень сложной задачей для AV-сред. Для достижения высочайшего уровня автоматизации сенсорам камеры необходима надежная система, способная безопасно перемещаться в различных погодных условиях и способная точно наблюдать за окружающей средой. В будущем мы расширим наш домен, включив в него дополнительные наборы данных, которые можно будет объединить с текущим набором данных DAWN. Это может привести к тому, что мы расширим наши классы обнаружения, включив в них более подробные и новые классы, которые мы наблюдаем в реальной среде вождения, например, светофоры, дети, домашние животные (например, собаки) и сотрудники правоохранительных органов (например, полицейские). Каждый из этих классов представляет собой неотъемлемые компоненты дорожной ситуации, и точное обнаружение и реагирование на их присутствие имеет важное значение для обеспечения безопасности и эффективности систем автономного вождения. Включив эти дополнительные классы в нашу систему обнаружения, мы стремимся улучшить общий mAP. Кроме того, мы стремимся улучшить перцептивные возможности автономных систем посредством перцепционного слияния, которое предполагает объединение информации от нескольких датчиков, таких как камеры, LiDAR, радары и ультразвуковые датчики, для создания комплексного и точного представления окружающей среды. Мы считаем, что, разработав такую надежную систему, мы сможем смягчить влияние неблагоприятных погодных условий на работу датчиков и повысить надежность и надежность общих систем AV-восприятия.

Вклад автора: Программное обеспечение NA; анализ данных, NA, AA и AB; курирование данных, NA; методология, NA; письменное – подготовка оригинального черновика, NA; написание — обзор и редактирование, AA и AB; супервизия, AA и AB; концептуализация, NA, AA и AB. Все авторы прочитали и согласились с опубликованной версией рукописи.

Финансирование: Данное исследование не получило внешнего финансирования.

Заявление о доступности данных: данные содержатся в статье.

Конфликты интересов: Авторы заявляют об отсутствии конфликта интересов.

Рекомендации

- 1. Дж3016_202104; Таксономия и определения терминов, связанных с системами автоматизации вождения дорожных транспортных средств. Общество инженеров автомобильной промышленности (SAE): Уоррендейл, Пенсильвания, США, 2021 г.
- 2. Гиршик, Р.; Донахью, Дж.; Даррелл, Т.; Малик, Дж. Рич использует иерархии для точного обнаружения объектов и семантической сегментации. В материалах конференции IEEE по компьютерному зрению и распознаванию образов, Колумбус, Огайо, США, 23–28 июня 2014 г.; стр. 580–587.
- 3. Гиршик, Р. Фаст R-CNN. В материалах Международной конференции IEEE по компьютерному зрению, Севилья, Испания, 17–19 марта 2015 г.; стр. 1440–1448.
- 4. Рен, С.; Он, К.; Гиршик, Р.; Сан, Дж. Фастер R-CNN: На пути к обнаружению объектов в реальном времени с помощью сетей предложений регионов. Адв. Нейронная инф. Процесс. Сист. 2015, 28, 91–99. [Перекрестная ссылка] [ПабМед]
- 5. Он, К.; Гкиоксари, Г.; Доллар, П.; Гиршик, Р. Маск R-CNN. В материалах Международной конференции IEEE по компьютерному зрению, Джайпур, Индия, 18–21 декабря 2017 г.: стр. 2961–2969.
- 6. Лин, Тайвань; Доллар, П.; Гиршик, Р.; Он, К.; Харихаран, Б.; Белонги, С. Функциональные пирамидальные сети для обнаружения объектов. В материалах конференции IEEE по компьютерному зрению и распознаванию образов, Пенанг, Малайзия, 5–8 ноября 2017 г.; стр. 2117–2125.
- 7. Редмон, Дж.; Диввала, С.; Гиршик, Р.; Фархади, А. Вы смотрите только один раз: унифицированное обнаружение объектов в реальном времени. В материалах конференции IEEE по компьютерному зрению и распознаванию образов, Бангалор, Индия, 20–21 мая 2016 г.; стр. 779–788.
- 8. Редмон, Дж.; Фархади, А. ЙоловЗ: Постепенное улучшение. arXiv 2018, arXiv:1804.02767.
- 9. Ван, СY; Бочковский А.; Ляо, HYM YOLOv7: Обучаемый набор подарков устанавливает новый уровень развития объектов реального времени детекторы. arXiv 2022. arXiv:2207.02696.
- 10. Лю, В.; Ангелов Д.; Эрхан, Д.; Сегеди, К.; Рид, С.; Фу, СҮ; Берг, АС Ssd: Мультибоксовый детектор одиночного действия. В материалах Европейской конференции по компьютерному зрению, Амстердам, Нидерланды, 11–14 октября 2016 г.; Springer: Берлин/Гейдельберг, Германия, 2016 г.; стр. 21–37.
- 11. Дхананджая, ММ; Кумар, ВР; Йогамани, С. Классификация погоды и уровня освещенности для автономного вождения: набор данных, базовый уровень и активное обучение. В материалах Международной конференции по интеллектуальным транспортным системам (ITSC) IEEE 2021 г., Индианаполис, Индиана, США, 19–22 сентября 2021 г.; IEEE: Пискатауэй, Нью-Джерси, США, 2021 г.; стр. 2816–2821.
- 12. Кондапали М.; Кумар, КН; Вишну, К.; Мохан, К.К. К подходу к распознаванию переходных погодных условий для Автономные транспортные средства. IEEE Транс. Интел. Трансп. Сист. 2023, 25, 5201–5210.
- 13. Ибрагим, MR; Хаворт, Дж.; Ченг, T. WeatherNet: Распознавание погодных и визуальных условий по изображениям улиц с использованием глубокое остаточное обучение. ISPRS Int. Дж. Гео-Инф. 2019, 8, 549. [CrossRef]
- 14. Ся, Дж.; Сюань, Д.; Тан, Л.; Син, Л. ResNet15: Распознавание погоды на дороге с помощью глубокой сверточной нейронной сети. Адв. Метеорол. 2020, 2020, 6972826. [CrossRef]
- 15. Он, К.; Чжан, Х.; Рен, С.; Сан, Дж. Глубокое остаточное обучение для распознавания изображений. В материалах конференции IEEE по Компьютерное зрение и распознавание образов, Бангалор, Индия, 20–21 мая 2016 г.; стр. 770–778.
- 16. Цао Ю.; Ли, К.; Пэн, Ю.; Ру, Х. MCS-YOLO: Многомасштабный метод обнаружения объектов для автономного вождения на дороге. признание. Доступ IEEE 2023, 11, 22342–22354.
- 17. Лю, З.; Лин, Ю.; Цао, Ю.; Хм.; Вэй, Ю.; Чжан, З.; Лин, С.; Го, Б. Трансформатор Суина: Трансформатор иерархического зрения с использованием смещенных окон. В материалах Международной конференции IEEE/CVF по компьютерному зрению, Монреаль, Британская Колумбия, Канада, 11–17 октября 2021 г.; стр. 10012–10022.
- 18. Пан Г.; Фу, Л.; Ю, Р.; Муресан, М.И. Распознавание состояния зимнего дорожного покрытия с использованием предварительно обученной глубокой сверточной нейронной сети. В материалах 97-го ежегодного собрания Совета по транспортным исследованиям, Вашингтон, округ Колумбия, США, 7–11 января 2018 г.; стр. 838–855.
- 19. Ван, Р.; Чжао, Х.; Сюй, З.; Дин, Ю.; Ли, Г.; Чжан, Ю.; Ли, Х. Обнаружение целей транспортного средства в режиме реального времени в сложных погодных условиях на основе YOLOv4. Передний. Нейробототехника 2023, 17, 34.
- 20. Ли, X.; Ву Дж. Извлечение высокоточных данных о движении транспортных средств из видео с беспилотных летательных аппаратов, снятого в различных погодных условиях. Remote Sens. 2022, 14, 5513. [CrossRef]
- 21. Лю, В.; Рен, Г.; Ю, Р.; Го, С.; Чжу, Дж.; Чжан Л. Адаптивное изображение YOLO для обнаружения объектов в неблагоприятных погодных условиях. В материалах конференции AAAI по искусственному интеллекту, Филадельфия, Пенсильвания, США, 27 февраля 2 марта 2022 г.; Том 36, стр. 1792–1800.
- 22. Хуанг, Южная Каролина; Ле, ТН; Джоу, Д.В. DSNet: Совместное семантическое обучение для обнаружения объектов в суровых погодных условиях. IEEE Транс. Паттерн Анал. Мах. Интел. 2020, 43, 2623–2633.
- 23. Шарма, Т.; Дебак, Б.; Дюкло, Н.; Чехри, А.; Киндер, Б.; Фортье, П. Обнаружение объектов и восприятие сцены на основе глубокого обучения в плохих погодных условиях. Электроника 2022, 11, 563. [CrossRef]
- 24. Юнг, Гонконг; Чой, Г.С. Улучшение yolov5: эффективное обнаружение объектов с помощью изображений дронов в различных условиях. Прил. наук. 2022, 12. 7255. [CrossRef]
- 25. АБДУЛГАНИ, AMA; ДАЛВЕРЕН, GGM Обнаружение движущихся объектов в видео с помощью алгоритмов YOLO и Faster R-CNN в различных условиях. Avrupa Bilim Ve Teknoloji Dergisi 2022. 33. 40-54. [Перекрестная ссылка]
- 26. Кенк, Массачусетс; Хассабалла, М. РАССВЕТ: Обнаружение транспортных средств в наборе данных о неблагоприятных погодных условиях. arXiv 2020, arXiv:2008.05402.
- 27. Миттал А.; Мурти, АК; Бовик А.С. Безреферентная оценка качества изображения в пространственной области. IEEE Транс. Процесс изображения. 2012. 21. 4695–4708. [Перекрестная ссылка] [ПабМед]

Электроника 2024, 13, 3063 20 из 20

- 28. Ледиг, К.; Тайс, Л.; Гусар, Ф.; Кабальеро, Дж.; Каннингем, А.; Акоста, А.; Эйткен, А.; Теджани, А.; Тотц, Дж.; Ван, З.; и другие.
 - Фотореалистичное изображение сверхвысокого разрешения с использованием генеративно-состязательной сети. В материалах конференции IEEE по компьютерному зрению и распознаванию образов, Пенанг, Малайзия, 5–8 ноября 2017 г.; стр. 4681–4690.
- 29. Зоф Б.; Кубук, ЭД; Гиаси, Г.; Лин, Тайвань; Шленс, Дж.; Ле, К.В. Стратегии увеличения обучающих данных для обнаружения объектов.
 - В материалах Computer Vision –ECCV 2020: 16-я Европейская конференция, Глазго, Великобритания, 23-28 августа 2020 г.; Шпрингер: Берлин/Гейдельберг, Германия, 2020 г.; стр. 566-583, часть XXVII 16.
- 30. Волк Г.; Мюллер, С.; Фон Бернут, А.; Хоспач, Д.; Брингманн, О. На пути к надежному обнаружению объектов на основе CNN посредством дополнения синтетическими вариациями дождя. В материалах конференции IEEE по интеллектуальным транспортным системам (ITSC) 2019 года; IEEE: Пискатауэй, Нью-Джерси, США, 2019 г.; стр. 285–292.
- 31. Парк, Х.; Йоу, Ю.; Со, Г.; Рука.; Юн, С.; Квак, Н. С3: Концентрированная комплексная свертка и ее применение к семантическим сегментация. arXiv 2018, arXiv:1812.04920.
- 32. Валамбе, Р.; Марат, А.; Котеча, К.; Гинея, Г. Облегченная система ансамбля обнаружения объектов для автономных транспортных средств в сложные погодные условия. Вычислить. Интел. Неврология. 2021, 2021, 5278820. [CrossRef] [ПабМед]
- 33. Фарид А.; Хусейн, Ф.; Хан, К.; Шахзад, М.; Хан, У.; Махмуд, З. Быстрый и точный метод обнаружения транспортных средств в реальном времени. использование глубокого обучения для неограниченных сред. Прил. наук. 2023, 13, 3059. [CrossRef]
- 34. Мусат В.; Фурса, И.; Ньюман, П.; Куццолин, Ф.; Брэдли, А. Многопогодный город: сочетание неблагоприятных погодных условий для автономного вождения.

 В материалах Международной конференции IEEE/CVF по компьютерному зрению, Монреаль, Британская Колумбия, Канада, 11–17 октября 2021 г.; стр. 2906–2915.
- 35. Тивари, АК; Паттанаик, М.; Шарма, Г. Трансформатор DEtection TRansformer при слабом освещении (LDETR): обнаружение объектов при слабом освещении и неблагоприятных условиях. погодные условия. Мультимед. Инструменты Прил. 2024, 1–18. [Перекрестная ссылка]
- 36. Озджан И.; Алтун Ю.; Парлак, К. Улучшение эффективности обнаружения YOLO автономными транспортными средствами в неблагоприятных погодных условиях Использование метаэвристических алгоритмов. Прил. наук. 2024, 14, 5841. [CrossRef]
- 37. Лю, С.; Чжан, Х.; Ци, Ю.; Ван, П.; Чжан, Ю.; Ву, К. Aerialvln: Видео- и языковая навигация для БПЛА. В материалах Международной конференции IEEE/CVF по компьютерному зрению, Париж, Франция, 2–6 октября 2023 г.; стр. 15384–15394.
- 38. Дай, З.; Гуань, З.; Чен, К.; Сюй, Ю.; Сан, Ф. Улучшенное обнаружение объектов в автономных транспортных средствах с помощью LiDAR датчика камеры Слияние. Мировой Электр. Вех. J. 2024, 15, 297. [CrossRef]
- 39. Лю, X.; Ву, К.; Ван, X. Обнаружение объектов в реальном времени с использованием LiDAR и объединения камер для автономного вождения. наук. Отчет 2023, 13, 8056. [CrossRef] [ПабМед]
- 40. Ду, Д.; Ци, Ю.; Ю, Х.; Ян, Ю.; Дуан, К.; Ли, Г.; Чжан, В.; Хуан, К.; Тиан, К. Эталон беспилотных летательных аппаратов: обнаружение и отслеживание объектов. В материалах Европейской конференции по компьютерному зрению (ЕССV), Мюнхен, Германия, 8–14 сентября 2018 г.; стр. 370–386.
- 41. Фоснер, П.; Щесна, А.; Чампи, Л.; Мессина, Н.; Сайган, А.; Бизонь, Б.; Когель, М.; Гольба, Д.; Мациошек, Э.; Станишевский, М. CrowdSim2: открытый синтетический тест для детекторов объектов. arXiv 2023, arXiv:2304.05090.

Отказ от ответственности/Примечание издателя: Заявления, мнения и данные, содержащиеся во всех публикациях, принадлежат исключительно отдельному автору(ам) и участникам(ам), а не MDPI и/или редактору(ам). MDPI и/или редактор(ы) не несут ответственности за любой вред людям или имуществу, возникший в результате любых идей, методов, инструкций или продуктов, упомянутых в контенте.





Статья

Влияние перегрузки канала связи на поток мощности и Передача данных вкиберфизических энергосистемах

Синьюй Лю 1,2,3 №, Янь Ли 1,2,3 🗥 Тяньц и Сюй 1,2,3 🕟

- Школа электротех ники и информационных технологий, УниверситетЮньнань Миньцзу, Куньмин 650504, Китай: xyliu7918@gmail.com (XL): xu.tiangi@ymu.edu.cn (Техас)
- 2 Ключевая лаборатория бес пилотных автономных систем Юньнани, Куньмин 650504, Китай
- 3 Ключеваялаборатория киберфизической энергосистемы колледжей и университетов Ючьнани, Куньмин 650504,

Китай * Адрес для переписки: yan.li@ymu.edu.cn

Аннотац ия Объем с прос а на поток и в киберфизичес ких энерг ос ис темах (СРРS) колеблетс янеравномерно в с вязанных с етях и подвержен перег рузкам или перег рузкам из-за с прос а на энерг ию с о с тороны потребителей или эк с тремальных с тих ий ных бедс твий. Поэтому, учитывая элас тичнос ть реальных с етей, каналы с вязи с избыточным информац ионным поток ом не отклю чаю тс я с разу, а имею т определенную с тепень избыточнос ти. В данной с татье предлаг аетс я динамичес к ая итерац ионная модель к ас к адных отказов, ос нованная на рас пределении перег рузк и информац ионног о поток а в с ети с вязи и взаимос вязи поток ов мощнос ти в физичес к ой энерг ос ис теме. Во-первых , предс тавлена нелиней ная модель наг рузочной с пос обнос ти с ети с вязи с перег рузк ой и взвешенными ребрами, полнос тью учитываю щятри с ос тояния к анала нормальное, отказ и перег рузк а. З атем взаимос вязь поток ов заменяет ветвевые поток и в физичес к ой энерг ос ети , а поток мощнос ти на вышедших из с троялиниях перерас пределяетс яс ис пользованием модели наг рузочной с пос обнос ти, что у прощет рас четы. В-третьих , под влиянием отношений с вязи с троитс як омплек с ная модель, ос нованная на улучшенной теории перк оляц ии, с о с тратег иями атак и, с форму лированными для более точной оц енк и с вязанных с етей. Моделирование шинной с ис темы IEEE-39 пок азывает, что у чет перег рузочной с пос обнос ти линий с вязи в небольших мас штабах повышает надежность с вязанных с етей. К роме тог о, преднамеренные атак и на к аналы нанос ят более быс трый и обширный у церб по с равнению с о с лучай ными атаками.



Цитирование: Лю, Х.; Ли, Ю, Сюй, Т. Импакт перегрузки канала с вязи на

Поток мощности и передача данных в

Киберфизичес кие энерг етичес кие с ис темы. Электроника 2024, 13, 3065. https://doi.org/ 10.3390/electronics13153065.

Академический редактор: Х ристос Дж. Бурас

Пос ту пила: 8 ию ля 2024 г.
Перес мотрено: 30 ию ля 2024 г.
Принято: 31 ию ля 2024 г.
Опу блик овано: 2 авг у с та 2024 г.



когирант: © 2024 авторов.

Лиц ензиат MDPI, Базель, Швейц ария.

Эта с татьянах одитс яв открытом дос тупе. рас прос траняетс яна ус ловиях и ус ловия Creative Commons.

Лиц ензияс указанием авторс тва (СС ВУ) (https://creativecommons.org/licenses/by/4.0/).

Клю чевые с лова: перег руженные ребра; поток информации; мощность потока; кас кадные с бои; улучшенная теория перколяции; киберфизические энергетические с истемы

1. Введение

1.1. Преды с тория

С развитием интеллекту альных сетей и энергетического Интернета энергетическая с истема с тала тес но с вязана с информац ионной с истемой. Энергетическая с истема на физической с тороне и с истема с вязи на информац ионной с тороне постепенно превратились в киберфизическую энергетическую с истему (КФЭС) [1]. Х отя объединенная с истема принесла множество преиму ществ, она также у величила рисккас кадных с боев в космосе. У язвимости в двух с истемах из-за перекрываю щей с ясети повысят риск рас пространения не исправности, так что даже с бой одного ребра или у зла может повлиять на всю с еть, часто приводя к глобальному коллапсу [2,3]. Например, мас с овое отключение электроэнерг ии на западе США в 2003 году, отключение электроэнерг ии на Украине в 2015 году и отключение электроэнерг ии 815 в Бразилии в 2023 году [4,5] были вызваны вых одом из строя определенных границ информационной сети. Эти с бои рас пространились на энергосистему через функциональную с вязь, что в конечном итоге привело кодновременному параличу обеих систем.

1.2. Сопутствую щие работы

Анализ прошлых случаев показывает, что ког да с истема с вязи вых одит из строя или подвергаетс яатаке, пакеты данных могут быть потеряны или изменены, что препятствует управлению с обратной с вязью. Из-за киберфизичес кой с вязи с бой с определенной вероятностью рас пространится и затронет с иловые узлы физичес кой с ети. Затем с бой продолжает рас пространяться по физичес кой с ети, что в конечном итог е приводит к с ерьезному повреждению с истемы [6–8]. Поэтому моделирование физичес кой энергос истемы, с ети с вязи и ее с оединительных с оединений имеет важное значение для понимания процес с а рас пространения кас кадных

В [9] была предложе на модель с вязи «один к одному» между с иловыми и коммуникац ионными узлами, анализирую щея устой чивость с истемы кас кадных отказов после удаления не большой части узлов на основе ее топологической модели. В [10] авторы исследовали устойчивость двух слойной безмас штабной сети связи, основанной на теории перколяции. На ос новании [10], с с ылка. [11] с читали взаимодействия между узлами на разных уровнях гетерогенными, изучаятип кас кадной динамики в двух уровневых сетях, которые демонстрирую т как взаимозавис имость, так и с вязность. На основании [9,10] Chen et al. [12] разделили узлы физичес кой энерг ос ис темы на узлы генератора и нагрузки, предложив новый интерактивный мех анизм кас кадных отказов. В [13] экс плу атац ионные х арактерис тики и тополог ичес кая с труктура с ети передачи были интегрированы для создания модели кас кадных отказов для случайных неисправностей в линиях передачи при различных стратегиях связи с целью получения оптимальной устой чивой с вязанной с ети. Однако модели с вязи, с озданные в этих ис с ледованиях, с ос редоточены ис клю чительно на тополог ичес ких структурах, иг норируяэкс плуатац ионные х арактерис тики обеих сторон связанных сетей. В [14,15] рассматривалась оптимизация потока мощности в физической энергосети и сравнивались результаты уязвимости при различных стратегиях и топологиях информац ионной с ети, но не рас с матривалис ь экс плу атац ионные х арактерис тики информац ионной сети. В [16] изучалось динамическое распространение каскадных отказов между энергосистемой и сетью связи, учиты ваях арактеристики потока мощности и потока данных в двух разных системах, но влияние перегрузки данных в сети связи на связанную сеть не рассматривалось.

В [17] были изучены х арактеристики восстановления различных сил связи и топологий сети на основе каскадной модели, связанной с нагрузкой. Х отя в данной модели учиты валось состояние перег рузки узлов, перерас пределение дополнительной нагрузки не осуществлялось. На основании [16,17] Ding et al. [18] предложили улучшенную модель кас кадных отказов. Эта модель учитывает с остояние перегрузки и процес с восстановления киберузлов, а также оптимизацию потока мощности на физичес к ом у ровне и перерас пределение потока информац ии при рас прос транении не ис правнос ти. Ос новы ваяс ь на этом, Wang et al. [19] ис пользовали модель поток а мощнос ти пере менног о ток а для х арактеристики экс плу атационных х арактеристик энергосистемы, повышаяточность модели энерг ос истемы. Одновременно была построена взвещенная сеть связи с центрами у правления и применена модель перерас пределения потоков. В [20] авторы предложили два типа моделей с ильной и с лабой завис имости и проанализировали изменения устой чивости сети связи с использованием схемы балансировки нагрузки с учетом перегрузок при начальных случайных неисправностях на у ровне мощнос ти. Однак о поток и данных на у ровне с вязи не рас с матривалис ь. Авторы [21,22] рас с мотрели отказы узлов с вязи и с оздали улучшенную модель кас кадных отказов, ос нованную на рас пределении наг рузки на физическом у ровне. В [23] предложенная авторами модель рассматривала практические различия между сетью связи и энергетической сетью с точки зрения сетевой с труктуры, физичес кого функционирования и динамичес кого поведения, уделяя особое внимание анализу не ис правностей, возникаю щих на стороне электросети. Из этих ис следований видно, что большинство у ченых у деляю т меньше внимания задержкам передачи, вызванным перег рузкой трафика всетях связи, и созданию связанных моделей, учитывающих эксплуатационные характеристики обеих сетей.

1.3. Мотивац ия

Фактически, многие с оединенные ребра часто обладают избыточной пропускной с пособностью. Например, на рисунке 1 а показана с еть с вязи с пятью узлами. Матрица F представляет с обой матрицу потребности в передаче информационного потока, г де элементы Fij обозначают информационный поток

Электроника 2024, 13, 3065 3 из 19

с прос , который необх одимо передать от источника к месту назначения. Каждому каналу еіј с оответствует атрибут качества qij [24,25], г де рабочий уровень канала еіј определяется как отношение пропускной с пособности канала к нагрузке канала. Предполагая, что пороготказа звена равен р, если исх одными неис правностями в сети связи являются звенья с $\rho < 0,5$, эти звенья будут удалены из исх одной сети (например, удалить 1 2, 2 3). В этот момент передача информационного потока по каналу связи не страдает (каналы 1 4 2 и 2 1 3 еще существуют), но каналы 1 4 и 2 1 нах одятся в перегруженном состоянии. Потребность в информационном потоке по исх одному каналу 1 2 будет перераспределена на канал 1 4 2. Х отя сеть пострадает не сразу и перегруженные каналы не откажут, качество передачи будет продолжать снижаться. При увеличении порога до $\rho = 0,7$ эффективность работы канала 1 4 падает ниже критического порога, в результате чего состояние ребра меняется с перегруженного на неисправное, и оно удаляется из исх одной сети. На этом этапе затраг иваю тся 25 требований передачи информационного потока (вы делены красным на рисунке).

При дальней шем у величении порог а до $\rho=0.9$ с вязи с qij<0.9 у даляются Как показано на рис у нке 1d, только одиннадцать единиц трафика мог ут быть эффективно переданы в центр у правления. Видно, что в процессе изменения порог а и у даления звеньев, если не у читывать перег руженное с остояние и потребность в потоке передачи звеньев, сеть преждевременно вый дет из строя, что приведет к значительным потерям в энерг осистеме.

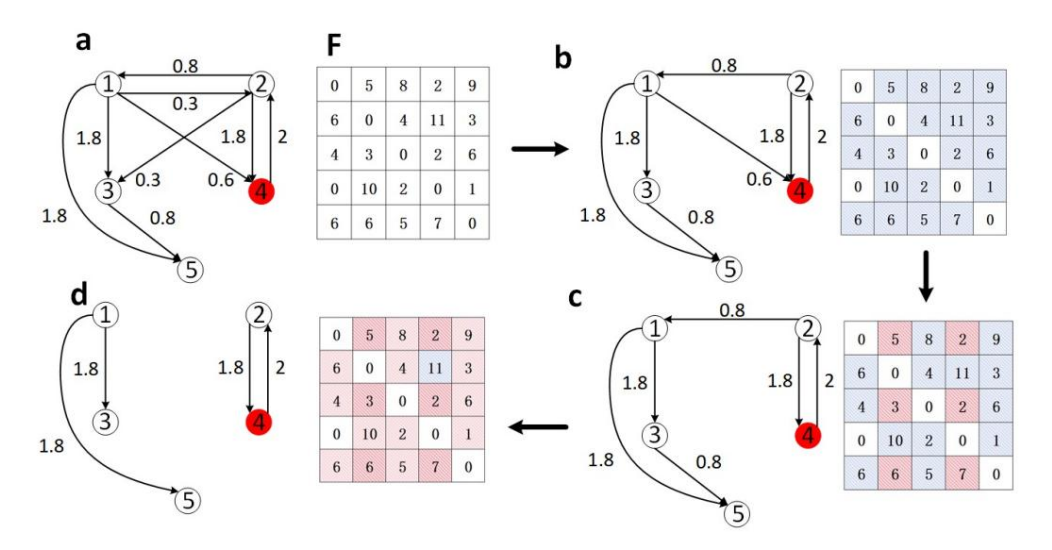


Рис у нок 1. Диаг рамма отказа канала с вязи в завис имос ти от потребнос ти в потоке информац ии. (а) Сеть с вязи G размера n = 5, г де четвертый узел является центром у правления, а ос тальные являю тся обычными у злами передачи. Качес тво qij каждой с троки еij отмечено рядом с о с с ылкой. Матрица F представляет потребнос ть в передаче информац ионног о потока. (б) Предположим, что ис х одными неис правнос тями в сети с вязи являю тся каналы с р < 0,5. (в) У величение порог а до р = 0,7, у даляя при этом с с ылки с qij < 0,7. (d) При дальней шем у величении порог а до р = 0,9 каналы с qij < 0,9 у даляю тся, и только одиннадцать едиництребуемог о трафика могут быть эффективно переданы центру правления.

Обычно, ког да в энерг ос ис теме проис х одит с бой N-1, с х одимос ть потока необх одимо перес читывать для каждог о с ц енария. Ес ли поток с х одитс я то необх одимо определить, вых одит ли поток на каждой линии за с вои пределы; в этом с лучае пораженную линию с ледует обрезать. Ес ли он не с х одитс я, обычно применяю тс яс брос наг рузки или рег улировка вых одной мощнос ти г енератора для баланс ировки поток ов мощнос ти. Перечис ление вс ех с ц енариев может быть с ложным и тру д Поэтому в данной с татье предлаг аетс я применить межлиней ный поток между поток ами [26] к модели «наг рузка-мощнос ть» энерг ос ис темы, ис пользуяее в качес тве с иловой наг рузки на линии. Этот подх од эффективно отражает и количес твенно определяет роль линий в передаче мощнос ти от г енераторов к наг рузкам, а так же учитывает влияние макс имальной дос тупной мощнос ти передачи между г енераторами и наг рузками на критичес кие линии. Этот физичес кий фон более тес но с вязан с

Электроника 2024, 13, 3065 4 из 19

> реальную работу энергосистем и лучше отражает их эксплуатационные х арактеристики. При моделировании процесса передачи информационного потока решаю щее значение имеет отличие его от энергосети. Каналы информационного у ровня не будут отклю чатьс я из-за перегрузки информац ионног о потока, но вызовут перег рузку, ес ли поток будет чрезмерным. Необх одимо учитывать перег руженное с остояние при перерас пределении информац ионног о потока от неработаю щих каналов с вязик с ос едним для разработки более реалис тичной модели потоков электроэнергетической сети. Таким образом, в данной статье, рассматриваю щей прерывания связи в с истеме с вязи, предлагается модель кас кадного отказа нагрузки и мощности, основанная на у с овершенс твованной теории перколяции, объединяю щя перегрузку информационного потока и экс плуатационные характеристики энергосистемы. Эта модель анализирует влияние перегруженных канало

1.4. Взнос ы

Вкладэтой статьи резю мируется следую щим образом:

- Учиты вая с ос тояние перегрузки каналов с ети с вязи, устанавливаетс я модель динамичес кого рас пределения передач и для потока информации в трех состояниях канала – нормальном, перегрузке и с бое. Предложены метрики целостности топологии с истемы связи и эксплуатационных х арактеристик для оценки уязвимости системы в случае сбоев.
- С учетом ос обенностей формирования топологии реальных сетей электроэнергетической связи предлаг аетс яу с овершенс твованнаяте ория перколяции. У злы с вязи, которые изначально нах одятс яза пределами к рупней шего подклю ченного компонента, но имею т каналы с вязи с центром у правления, с читаютс яэффективными узлами. С иловые узлы, которые теряют с вязь с с етью с вязи, но остаютс я с амос ог лас ованными, также с читаю тс яэффективными узлами.
- Учиты вая физические х арактеристики с вязанных с етей, индикатор межлиней ного потока ис пользуется для измерения электрических характеристиклиней ных потоков мощности. Для передачи нагрузки вышедших из строялиний предложена модель распределения нагрузки и мощнос ти, ос нованная на взаимос вяви потоков .

Оставшаяся часть те ста организована следующим образом. В разделе 2 мы построим модель однонаправленной завис имости СРРЅ и дадим подробное описание процесса рас пространения не ис правности в пространстве с учетом условий перегрузки линии с вязи в рамках с вязанной модели. В разделе 3 мы предлагаем две метрики оценки устой чивости с истемы для измерения результатов кас кадных с боев. В разделе 4 проводитс ячис ленное моделирование для анализа кас кадного отказа и представлены с оответствую щие обсуждения. Раздел 5 завершает статью.

2. Методы

с ледую щим образом:

2.1. Моделирование с вязанных с етей электропитания и с вязи на ос нове однонаправленной завис имости CPPS вклю чает моделирование информац ионной сети, энерг осети и уровня с вязи. И нформац ионная с еть вклю чает у ровень дос ту па, маг ис тральный у ровень и базовый у ровень. Взаимозавис имые ребра между узлами питания и информац ионными узлами образуют с еть с вязи [27]. В с оединительной с ети с еть электропитания обес печ ивает поддержку электропитания с ети с вязи, а с еть с вязи обе с печивает поддержку ЗС для с ети электропитания. Однако пос кольку узлы с вязи широко ос нащены резервными источниками питания, вых од из строя связанных узлов питания не приводит к вых оду из строя узлов с вязи из-за отклю чения электроэнергии. Нормальная работа с иловых узлов завис ит от мониторинга и у правления у злами с вязи. Вых од из с трояк аналов с вязи приведет к тому, что ц ентр у правления не с может с воевременно полу чать информац ию о неис правностях энерг ос истемы, что приведет к невозможности оперативног о реаг ирования на с бои в электрос набжении и рас ширению мас штабов воздей с твия неис правностей. Поэтому в данной статье в первую очередь исследуется модель завис имости электросети от информац ионной сети. Ссылаясь на блок-схему на рисунке 2, процесс моделирования подробно описан

Электроника 2024, 13, 3065 5 из 19

(1) Физичес кая энерг ос истема абстраг ируется как граф Gp(Vp, Ep), с остоящий из энерг етичес ких узлов Vp и линий передачи Ep. Набор Vp вклю чает физичес кое обору дование в электрос ети, такое как электрос танц ии, подстанц ии и нагрузки.

- (2) Разделить энерг ос ис тему на рег ионы [28].
 - а. Разделение нас еленных пунктов применяетс ядля разделения рег ионов электрос етей. В электрос ети, чем ближе рас с тояние между двумяшинами, тем меньше реактивное с опротивление линии и тем больше его обратное значение (т. е. более выс окий вес), что у казывает на более выс окую близость между парой у злов. Таким образом, такие у злы с большей вероятностью будут разделены на один и тот же рег ион. Обратная величина реактивного с опротивления линии ис пользуется в качестве вес а ненулевых элементов матрицы с межности электрос ети Е. b.
 - И с пользуя метод Фас та Нью мана, модифиц ированная матрица Е, полученная на вышеу казанных этапах, заменяется ис ходной матрицей Едля рас чета модульности Qдля первоначального разделения энергосети. Процес сразделения должен у довлетворять следующим у словиям: каждый регион должен содержать хотя бы один генератор и одну нагрузку; количество регионов должно быть меньше минимального количества генераторов и нагрузок; и субрегионы должны достичь баланса сил. в. Для достижения баланса комщюсти внутри регионов потоки мощности
 - с ис темы на линиях ис пользуются в качестве весовых значений на основе алгоритма Prim. Эти значения веса ис пользуются для определения путей потока от генераторов к нагрузкам. З атем регионы объединяются в соответствии с этими путями и объединяются с первоначальными результатами разделения для формирования окончательных зон.
- (3) Определяетс я количес тво узлов для каждог о уровня уровень доступа, маг ис тральный уровень и базовый уровень. Узлы уровня доступа представляют с обой узлы с бора информации, количес тво узлов с вязи которых равно количес тву узлов питания, узлы маг ис тральног о уровня это узлы обору дования маршрутизации, также рас с матриваемые как узлы управления, с количес твом узлов, равным количес тву разделов электрос ети; а узлы базовог о уровня представляют с обой два узла управления, представляющие ос новную и резервную диспетчеризацию.
- (4) Моделирование информац ионной сети: а. Соединение
 - между электрос етью и уровнем доступа: с оглас но абстрактной с х еме электрос ети Gp, узлы уровня доступа с оединены с оответствую щим образом «один к одному», чтобы с делать тополог ическую диаг рамму уровня доступа с оглас ованной с тополог ической с х емой. электрос ети. б. С вязь между уровнем доступа и маг истральным уровнем: узлы высшего уровня в каждой области
 - у ровня дос тупа и узлы-г енераторы подклю чены к с оответс твую щим узлам маг ис тральног о у ровня с в. Узлы маг ис тральног о у ровня с оединены внутри в с оответс твии с с оединением.
 - взаимос вязь разделов электрос ети.
 - д. Связь между уровнем доступа и уровнем ядра: вычислить долю qi вых ода генератора Gi к общему вых оду с истемы и соединить ее с основным и резервным вызовами с вероятностью qi.
 - е. Все узлы маршрутизации подключены к основному и резервному узлам центра планирования ф. Подключены основной и резервный диспетчерские центры.
- (5) Абс траг иру е м информац ионну ю с еть, чтобы с формировать Gc.
- (6) С ое дините узлы у ровня дос тупа с узлами питания, чтобы с формировать однонаправленные завис имые ребра.

Электроника 2024, 13, 3065 6 из 19

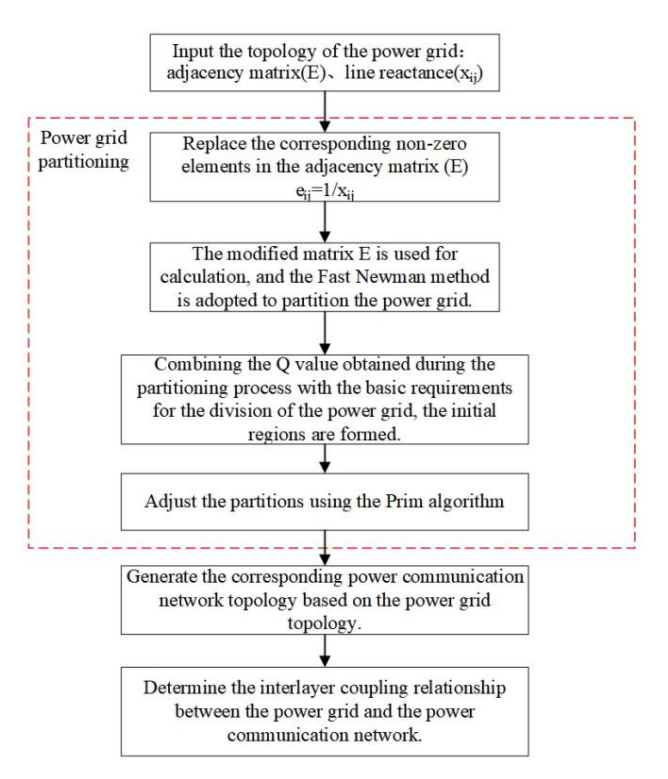


Рис у нок 2. Блок-с х ема моделирования к иберфизичес к ой энерг ос ис темы.

Так им образом, с вязанные с ети показаны на рис у нке 3.

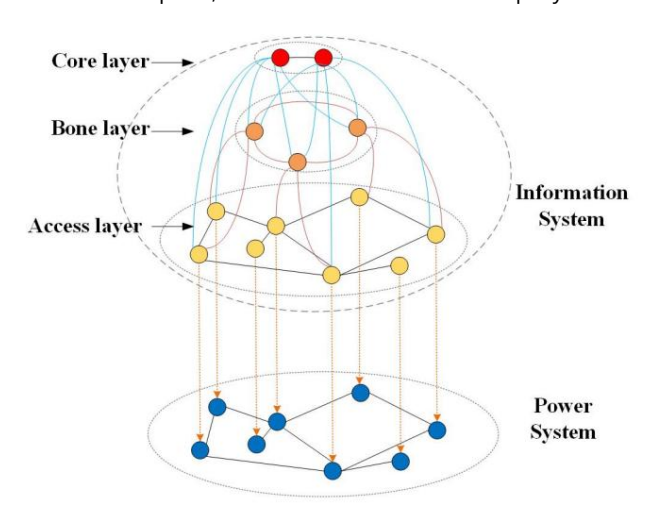


Рис у нок 3. С х ема тополог ии электрос ети в завис имос ти от информац ионной с ети.

2.2. Модель кас кадног о отказа на основе теории перколяции с учетом перегрузок каналов связи

2.2.1. Не лине й ная модель поток а для с с ылок

Модель информац ионног о потока с ети с вязи ис пользует нелиней ную модель мощнос ти-наг рузки, которая учитывает с ос тояние перег рузки [29]. В с ложных с етях более выс окий уровень узла указывает на большее количес тво с оединений с друг ими узлами. С ледовательно, значения с тепени конечных точек ис пользуютс я для рас чета информац ионног о потока каждог о канала уровня дос тупа. Ч ем выше значение с тепени с с ылки, тем больший поток информац ии через нее. Коэффиц иент потока информац ии по каналу ис пользуетс я в качес тве вес а канала, а коэффиц иент перег рузки δ опис ывает с пос обнос ть ребра обрабатывать дополнительный поток информац ии с ледую щим образом:

$$\begin{array}{ccc}
\alpha \\
Cc,ij = Lc,ij + \beta L & c_{,ij}
\end{array} \tag{1}$$

Электроника 2024, 13, 3065 7 из 19

$$C_{c,ij}^{Mexc} = \delta Cc,ij$$
 (2)

г де

$$L_{c,ij} = w_{ij} = k_{ik}$$
 (4)

г де Lc, ij представляет с обой объем информац ии, передаваемой по каналу с вязи, а ki и kj обозначаю т с тепени узлов i и j с оответс твенно. θ — параметр, рег улирую щий поток информац ии. Сс, ij – пропус кная с пос обнос ть линии, $C_{c,ij}$ представляет с обой мак с имальный поток, который может выдержать линия, а Wc, ij — это вес ребра еij. α и β — коэффиц иенты мощнос ти. Ког да α = 1, модель линей на.

2.2.2. Ус овершенс твованнаяте ория

перк оляц ии Традиц ионная теория перк оляц ии [30] широк о ис пользуетс я для опис ания с труктуры, функц ий и устой чивости с етевых с истем. Модели перк оляц ии моделируют с ц енарии отказа каналов путем пос тепенног оу даления каналов из с ети. Пос кольку с сылки пос тепенно удаляются, уменьшение размера наибольшего с вязанного подграфа можно ис пользовать для измерения пос ледствий с боев с сылок. Таким образом, теория перк оляц ии применима для моделирования кас кадных с боев в киберфизичес ких энергос истемах. Однак отрадиц ионная теория перк оляц ии при определении подмножес тва рабочих узлов учитывает только с амое большое подклю ченное подмножес тво в одноу ровневой с ети, не рас с матривая друг ие с ц енарии. Непос редственное применение его для моделирования кас кадных отказов в киберфизичес ких энергос истемах затру дняет точное моделирование процес с а отказа. Учитывая х арактерис тики передачи информац ионного потока информац ионной с ети, г де базовый у ровень и маг истральный у ровень не с оответствуют напрямую у ровню доступа, а с остояние канала учитывает с итуац ию перег рузки, необх одимо у с овершенствовать клас с ичес кую модель теории перколяц ии. Модель отказа киберфизичес кой энергос истемы, установленная в этой с татье, выг лядит с ледую щим образом: • С истема с вязи. Для каналов у ровня дос тупа ребра с вес ами,

превышаю щими коэффициент перегрузки, с читаю тс я отказавшими. Для информационных узлов на уровне доступа узлы, которые не могут установить путь к узлам у правления, с читаю тс явышедшими из с троя.

- Система питания. Узел с иловой нагрузки должен быть подклю чен х отябы к одному генераторному узлу; в противном с лучае оно с читаетс янеу дачным. Аналог ично, узел генератора должен быть подклю чен х отябы к одному узлу с иловой нагрузки; в противном с лучае оно с читаетс янеу дачным. Узлы, функционирую щие как генераторы, так и нагрузки, с читаю тс яс амос ог лас ованными узлами.
- Взаимодей ствие. Силовые узлы в сочетании с вышедшими из строя узлами связи также вый дут из строя. Кроме того, узлы питания, связанные с узлами связи, вых одящими из задержек передачи, вый дут из строя с определенной вероятностью Pdi.

2.2.3. Модель наг рузки и мощности энерг осети на основе взаимосвяви потоков

В предыдущих ис с ледованиях принц ип рас пространения по кратчай шему пути обычно ис пользовался для ис с ледования передачи энерг ии между шинами в энерг ос ети. Однако в дей с твительности поток мощности в электрической с ети не с ледует только по пути с наименьшим с опротивлением, а рас пространяется по всем возможным путям, придерживаясь закона Кирх гофа

Ч тобы точно отразить роль каждой линии передачи в рас прос транении мощнос ти и различное влияние различных пар г енератор-наг рузка на каждую линию, учтите, что в данной энерг ос ети каждаялиния передачи нес ет различную долю передаваемой мощнос ти P(m, n). от г енератора m к наг рузке n. Следовательно, каждаялиния иг рает различную роль и имеет различные у ровни значимос ти в мощнос ти передачи P(m, n). Пос кольку пути передачи электроэнерг ии для пар г енератор-наг рузка, перес екаю щих каждую линию, различаю тс я, значимос ть линии в ц елом

сеть оценивается количественно с использованием индекса взаимосвяви потоков [26]. Этот индекс рассчиты вается путем рассмотрения всех пар генератор-нагрузка, использующих линию. Формула расчета следующая

FBij =
$$\underset{m^2G \ n^2L}{\text{мин}(C \, M, \, Sn)} = \frac{\text{Pij,mPij,nPn}}{\underset{\Pi \text{ий }\Pi\Pi \text{ hA } \text{ y hMIT } M}{}}$$
 (5)

г де G — с борка у злов г е не рац ии, а L — с борка у злов-потре бителей. min(Sm, Sn) — это вес между поток ами одной линии, к оторый завис ит от минимальног о значения между фактичес к ой вых одной мощнос тью г е не ратора m и фактичес к ой наг рузк ой n, отражая мак с имальную дос тупную мощнос ть пе ре дач и между m и n. Pij, m — час ть поток а мощнос ти по линии еij, ис х одящая от г е не ратора m. Pij, n — час ть поток а мощнос ти по линии еij, направленная на наг рузк у n. Pn — поток мощнос ти у зла n. Pij — активная мощнос ть по линии еij. PLn — активная наг рузк а в узле унм с одержит обратный порядок наг рузк и n. Эле менты матрицы рас пре деления. PGm — активный вых од узла г е не ратора m.

Следовательно, с иловая нагрузка Lp(ij) на ребре еіј может быть рас с читана как

$$Lp(ij) = FBij$$
 (6)

Принимая во внимание с пос обнос ть линий выдерживать с иловые наг рузки, мы ис пользуем модель «наг рузка-мощнос ть», предложенную Моттером и Лаем [31]. С ог лас но этой модели, пропус кная с пос обнос ть линии прямо пропорц иональна ее начальной с иловой наг рузке с ледую щим образом:

$$Cp(ij) = (1 + y)Lp(ij)$$
(7)

г де у — параметр допуска.

2.2.4. Процесс каскадного отказа.

И нформац ионная с еть с пос обна контролировать энергетичес кие узлы. С ледовательно, неис правности, возникаю щие в информац ионной с ети, могут рас пространить с яна взаимос вязанную энергосеть. В этом разделе подробно описан динамический процесска скаскадных с боев, вызванных определенными неис правными каналами с вязи.

В завис имости от величины передаваемого информац ионного потока в сети связи рабочие состояния линий связи подразделяются на три типа: нормальное, перег руженное и отказное. Для анализа кас кадных сбоев между связанными сетями некоторые каналы в сети связи случайным образом удаляются как первоначальные сбои. Ссылаясь на блок-схему на рисунке 4, подробный динамический процесска каскадных сбоев, вызванных конкретными поврежденными ссылками, описывается следующим образом:

• Шаг 1: Набор вышедших из строя каналов в сети связи у ровня досту па из-за случай ных сбоев или атак обозначается как еіј. И нформац ионный поток по этим вышедшим из строя каналам бу дет нести ребра, соединенные с узлами вышедших из строя каналов. • Шаг 2: Процесс распределения потока информац ии по отказавшим ветвям. В данной статье используется принциплокального перераспределения информационного потока, формула расчета которого представлена следую щим образом.

Lc,ia = Lc,ij
$$\frac{Lc,ia}{m \Omega Lc,im + n\epsilon \Omega Lc,jn}$$
 (8)

г де Lc,ij — ис х одный информац ионный поток на ветви еij, Lc,ia — начальный информац ионный поток на ветви еia, Ω I — множе с тво с ос едних узлов узла i, а Ω Z — множе с тво с ос едних узлов узла j.

Электроника 2024, 13, 3065 9 из 19

• Шаг 3: Процесс определения состояний перегрузки и сбоявы глядит следую щим образом.

г де rand (0, 1).

Пос кольку каждая ветвь имеет разные возможнос ти обработки дополнительног о потока информац ии, для x арактерис тики этог о с вой с тва вводитс якоэффиц иент рас пределения ω .

пиа =
$$\frac{\text{Wc,ia}}{\delta} \frac{1}{1}$$
 (10)

• Цаг 4: Процесс рас пределения информационного потока по перегруженным ветвям:

$$ak = (Lc,ia \quad Cc,ia)Tak$$
 (11)

Tak =
$$\frac{\text{Cc,ak} \quad \text{Lc,ak}}{\text{e} \quad \Omega \left(\text{Cc,ie} \quad \text{Lc,ie}\right) + \quad \text{f} \quad \Omega \text{a} \left(\text{Cc,af} \quad \text{Lc,af}\right)}$$
(12)

г де a^k — стратег ия рас пределения перег руженной ветви, Ω — множество с ос едних узлов узла і с ветвями в нормальном с ос тоянии, Ωa — множество с ос едних узлов узла а с ветвями в нормальном с ос тоянии. • Шаг 5: Определите, есть ли новые неудачные ветки. Если новые

неудачные ветки

обнаружен, перей дите к шаг у 2; в противном с лучае перей дите к шаг у 6.

- Шаг 6: Подс читай те количество вышедших из строя и перегруженных каналов с вязи в сети с вязи. Обновите эффективный набор каналов с вязи и рас с читай те приращения задержки передачи для каждог о узла с вязи. Оценить условия отказа узлов с вязи, удалить узлы, которые не могут с формировать путь к центру у правления, и обновить набор эффективных узлов с вязи.
- Шат 7: Анализ завис имос ти у правления. И з-за взаимно однозначной с вязи между у злами с вязи у ровня дос ту па и у злами питания вышедшие из с троя у злы с вязи, определенные на этапе 6, приведут к вых оду из с троя с оответс твую щих у злов питания через завис имые ребра. У злы выбираются на ос нове вероятнос ти задержки каждог о у зла с вязи.

Ес ли информац ия от этих узлов не будет с воевременно передана в центр у правления, с оответствую щие им с иловые узлы с читаю тс явышедшими из строя. Отметьте узлы питания, вышедшие из строя на этом этапе. • Шат 8. Физический с бой. С начала у далите

вышедшие из строяузлы электросети. Далее, ис ходя из условий отказа узлов энергосистемы, проверяют, есть ли среди оставших сяузлов дополнительные вышедшие из строя и при необходимости удаляют их. Пересчитать силовую нагрузку на линии; если перераспределенная нагрузка превышает пропускную способность какойлибо линии, пометьте эту линию как неисправную. Повторяйте этот процесс до тех пор, пока в электросети не останется неисправных узлов. • Шаг 9: Результат: моделирование одиночного кас кадного отказа завершается Выведите данные для

обоих

энерг етичес каяс еть и с еть с вязи.

Электроника 2024, 13, 3065 10 из 19

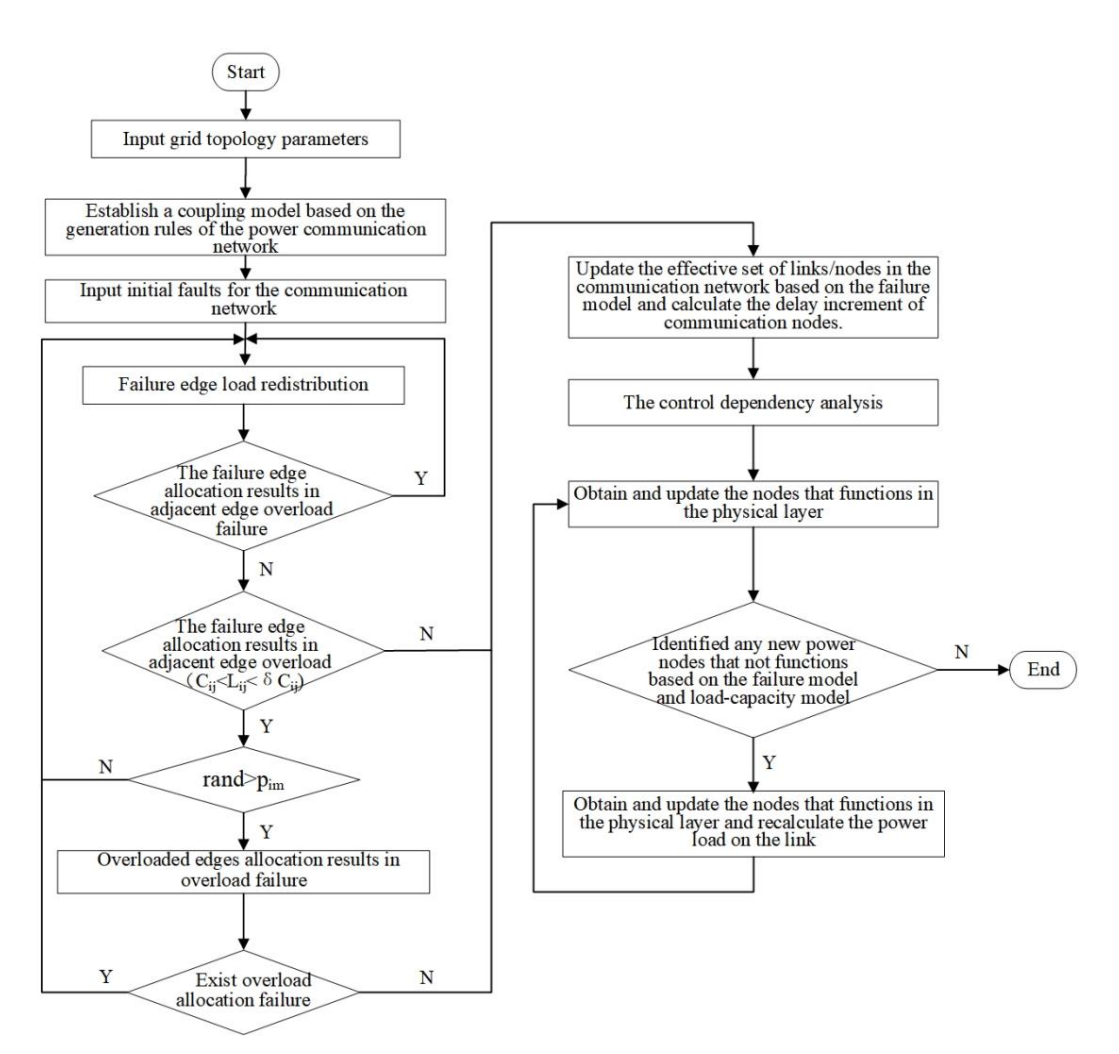


Рисунок 4. Блок-с х ема процес сакас кадного отказа в киберфизичес ких энергос истемах.

3. Метрики оценки устой чивости с истемы к кас кадным с боям. В CPPS

лю бое неис правное звено потенциально может рас пространиться через связи связи и перерасти в кас кадные сбои. Чтобы проанализировать влияние первоначальных сбоев на систему, мы определяем метрики оценки для обеих связанных сетей на основе целостности топологии сети и эксплуатационных характеристик.

3.1. Метрик и комму никац ионной с ети

В с ети с вязи мы ис пользуем с корректированные показатели выживаемос ти у злов/к аналов для оценки целос тнос ти тополог ии с ети с вязи. У читывая, что в перег руженном с ос тоянии каналы с вязи имею т поток информации, превышаю щий их пропускную с пос обность, в отличие от нормальных условий, эти каналы работаю т неэффективно и имею т определенную вероятность перех ода в неис правное с остояние. Поэтому, чтобы отличить нормальные и перег руженные каналы с вязи и более точно представить влияние перег руженного с остояния на с истему, для оценки каналов с вязи пос ле настройки используется относ ительный размер наибольшего с вязного компонента Gc [29]. У ровень выживаемости у злов/каналов пос ле отказа используется для оценки тополог ической целостности, как подробно описано ниже:

$$Gc = \frac{h\epsilon\Psi u}{HK}$$
 (13)

Однако, ког да информац ионные каналы нах одятся в условиях перегрузки, sh рассчиты вается следую щим образом:

$$sh = \frac{\delta Ch \quad Lh}{\delta Ch \quad Ch}$$
 (14)

Тог да с к орре ктированная выживае мость у зла/к анала равна

$$\Phi K = \frac{1}{2} * \left(\frac{B_c}{BK} + \Gamma c \right)$$
 (15)

Из-за отклю чения информац ионных каналов путь от узлов уровня доступа с ети с вязи доцентра у правления может измениться, что приве дет к задержкам с вязи. В данной с татье задержка передачи данных у прощена и рас с читана с ледующим образом [32]: Передача данных в с ети с вязи ос уществляется по принципу кратчай шего пути, и каждый раз, ког да они прох одят через у зел данных, задержка у величивается на одну единицу временит. Единица времени задержки отражает задержку, вызванную передачей и обработкой данных от узла источника к узлу назначения в с ети с вязи, вклю чая прох ождение через каждый информационный у зел и путь с вязи к с ледую щему информационному у злу.

Следовательно, приращение задержки передачиТ, вызванное сетью связи, рассчитывается следующим образом:

$$T = \begin{array}{c} T \frac{1}{\pi c} + T \pi c \\ k \epsilon L c & k \epsilon L c \end{array}$$
 (16)

г де Т $\frac{1}{\pi c}$ и Т πc — задержка пути передачи одних и тех же пар источник-назначение после и до с боя кас кадирования. Lc обозначает набор кратчай ших путей передачи для вс ех пар источник-назначение в с ети с вязи.

3.2. Метрики электрос ети

В физичес кой энерг ос ети мы ис пользуем влияние отказа Fp для оц енки влияния кас кадног о отказа [12], выражае мог о как

$$\Phi_{\Pi} = \frac{1}{2} \overline{1} \left(\frac{B_{\Pi}^{I}}{B\Pi} \right) + \frac{\Im_{\Pi}^{I}}{\Im_{\Pi}}$$
(17)

где∨п 'иЕр 'с оответственно – количество вышедших из строя узлов и звенье в электрос ети. Vp и Ep с оответственно представляю т с обой общее количество узлов и с вязей в физической энергосети.

4. Тематическое исследование и обсуждение

В этом разделе на примере с истемы с шиной IEEE 39 тополог ия электрос ети показана на рисунке 5, а исх одная тополог ия разделена на четы ре рег иона на основе принципов зонирования. С оответственно, с еть энерг освязи, с озданная в с оответствии с выше у помянутыми правилами, изображена на рисунке 6. В этой с ети у ровень доступа с остоит из 39 у злов с вязи, каждый из которых с оответствует одному из 39 с иловых у злов, которые используются для загрузки информации о неисправностях. и выдача инструкций по отправке.

Магис тральный уровень вклю чает в себячетыре узла управления, каждый из которых соответствует соответствую щей области уровня доступа. Диспетчерский центр оборудован двумя узлами управления.

Электроника 2024, 13, 3065 12 из 19

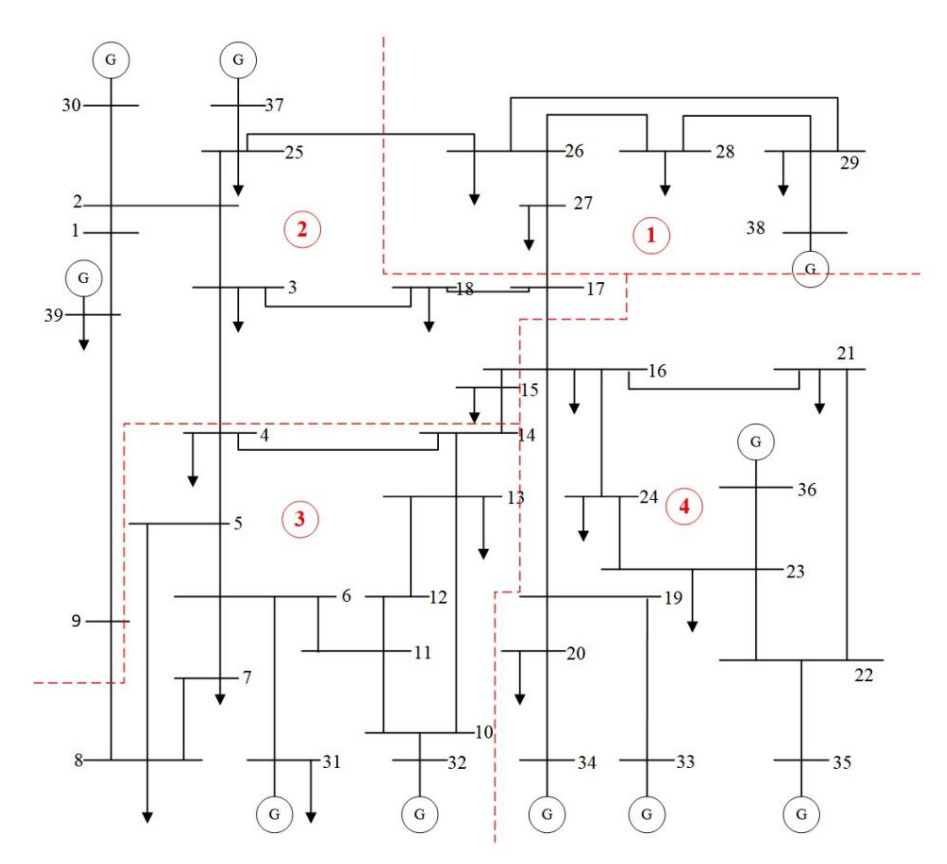


Рис у нок 5. С х е ма разделов с ис темы шины IEEE 39.

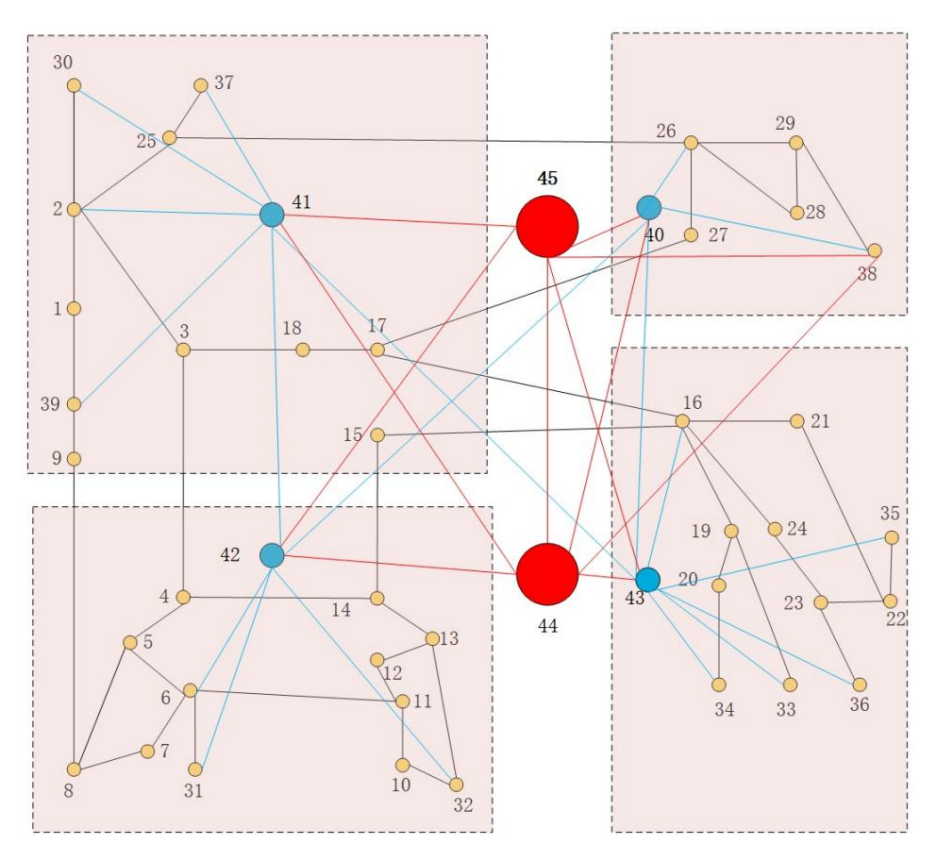


Рис у нок 6. С x е ма тополог ии информац ионной с ети, с озданной 39-шинной с ис темой IEEE.

Электроника 2024, 13, 3065 13 из 19

4.1. Влияние коэффициента перегрузки

Ч тобы изучить влияние коэффиц иента перег рузки на надежнос ть с ети, количес тво начальных неис правнос тей каналов варьировалось, при этом каждый набор неис правных каналов г енерировался с лучайным образом. Моделирование запус к алось независ имо 50 раз, и с реднее значение принималось за метрику с ети с вязи. Для наг лядности представления на диаг раммах ис пользовались текстовые опис ания при полном отказе с истемы с вязи, а длятекстовог о пояснения выбирался набор данных с наибольшим количеством вышедших из строя каналов, вызвавших полный отказ с истемы с вязи. С ог ласно рисунку 7а, по мере у величения количества исх одных неис правных каналов выживаемость узлов/каналов в с ети с вязи постепенно с нижается Если не учитывать перег рузочную с пособность каналов, выживаемость узлов/каналов в с ети будет с амой низкой. Ког да коэффициент перег рузки равен 1,2, выживаемость узлов/каналов с ети с вязи значительно улучшается. Однако можно заметить, что при коэффициентах перег рузки 1,3 и 1,5 выживаемость узлов/каналов с ущественно

Однако можно заметить, что при коэффициентах перегрузки 1,3 и 1,5 выживаемость узлов/каналов существенно не улучшается

Рис у нок 7b показывает, что CPPS при различных коэффициентах перег рузки демонстрирует перколяционный перех од первого рода с аналог ичной общей тенденцией. По мере увеличения количества вышедших из строялиний тополог ия информационного уровня нарушается, а некоторые узлы теряют пути передачи данных. Изменение пути передачи увеличивает задержку с истемы. При коэффициенте перег рузки 1,5 количество вышедших из строязвеньев, которое может выдержать сеть связи до полного разрушения, является наибольшим. Как видно на рис унке 7b и в таблице 1, существует пороговое значение для начального числа вышедших из строя каналов, вблизи которого эффект кас кадного отказа рас пространяется на все каналы связи, не оставляя пути передачи между узлами связи и центром у правления. В этот момент с истема связи полностью вых одит из строя, что делает невозможным у правление электрос етью. В таблице 1 показаны конкретные пороговые значения для различных коэффициентов перег рузки.

Поэтому, у читы вая затраты на с троительс тво с ети, коэффициент перег рузки установлен равным 1,3 с оглас но рис унку 7 и таблице 1.

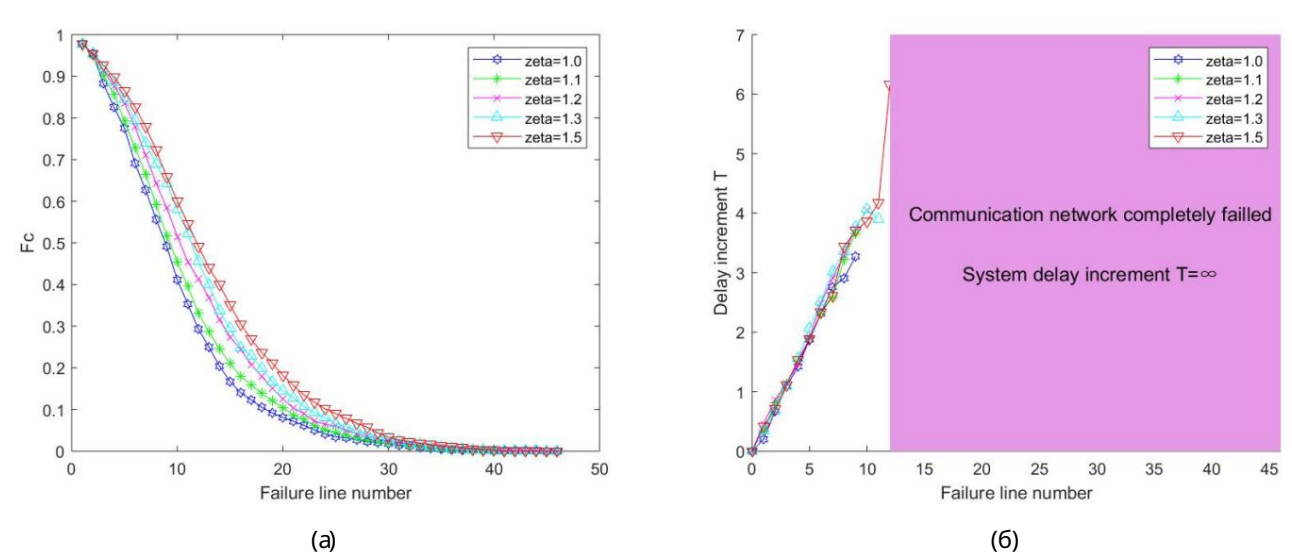


Рис у нок 7. У стой чивость с ети с вязи и приращение задержки с вязи при различных коэффициентах перегрузки. (а, б) с оответственно показывают с вязь между у стой чивостью с ети с вязи и задержкой с истемы с у величением числа отказов линии с вязи при различных коэффициентах перегрузки, при этом остальные параметры остаются посто

Таблица 1. Порог и работы с истемы при различных коэффициентах перегрузки.

Коэффициент перегрузки	Порог начальных неудачных линий	Пороговый процент%
1,0	9	19.56
1,1	9	19.56
1,2	10	21.74
1,3	11	23.91
1,5	12	26.09

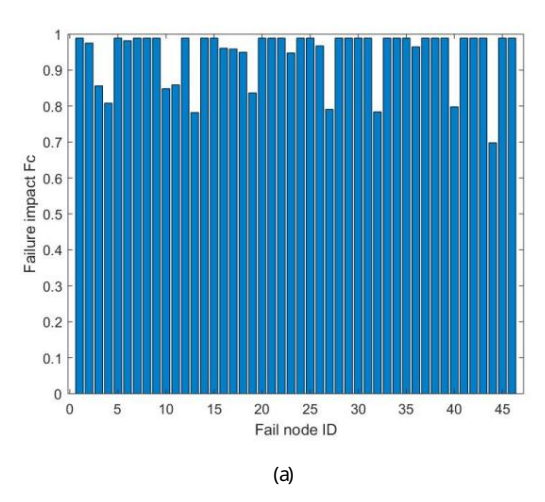
4.2. Влияние неудачных ссылок

В этом разделе мы проанализируем влияние на передачу данных в пределах мощности и с ети с вязи путем последовательног о удаления каждог о звена с ети с вязи.

Как показано на рис унке 8, большинс тво не ис правных каналов с вязи имею т различные последствия на тополог ичес кую целос тность и экс плуатационные характеристики СЗПС. Ссылки, которые вызываю т значительные с бои в работе с истемы определяются как критические звенья. В условиях не исправности N-1 все перечислены возможные с ценарии с истемных атак.

Как показано на рис у нке 8, можно заметить, что с бой одног о канала с вязи link может с низить выживае мость узлов и каналов в сети связи до минимального уровня как 69,69%, вызывают приращение задержки с истемы на 2,1635 и вызывают паралич на 35,07% в узлы и звенья электрической сети. Также отмечается, что некоторые сбои в работе канала не повлиять на остальные сети связи и электропитания за пределами неисправного звена. Это поскольку при каскадных сбоях сеть связи учиты вает перегруженное состояние с с ылки, перерас пределяя трафик на вышедшие из с троя и перег руженные с с ылки. Более тог о, перег руженный с сылки могут поддерживать работу в течение короткого периода времени, прежде чем выйти из строя тем самым улучшая работу системы. устой чивость в той или иной степени. Кроме того, канал связи, вызывающий максимальную приращение задержки не обязательно может привести к наименьшему коэффициенту выживаемости узлов/к аналов в сети связи или к наибольшей частоте отказов в узлах /к аналах энергосети. Однако, интенс ивнос ть отказов узлов/звеньев в с етях с вязи и электрос набжения ос обенно выс ока пох ожий. Например, при с бое канала 42 проис х одит наибольшее приращение задержки, равное 2,1635. В На данный момент выживае мос ть у злов/к аналов с вязи с ос тавляет 98,91%, а интенс ивнос ть отк азов мощность узлов/каналов с оставляет 3,46%. Это с вязано с тем, что отказ канала 42 меняет путь с узел связи 27 с центром у правления, от исходного пути 27 26 40 44 к

27 17 16 43 44, ЧТО ПРИВОДИТ К ЗАДЕРЖКЕ С ВЯЗИ. Ч АС ТОТА НЕУ ДАЧ В ОБЩЕНИИ УЗЕЛ 27 С ОС ТАВЛЯЕТ 36,06%. ОДНАКО У ДАЛЕНИЕ КАНАЛОВ, ПОЭТОМУ ИМЕЕТСЯ 45 РАБОЧИХ КАНАЛОВ, ПОЭТОМУ ИМЕЕТСЯ 45 РАБОЧИХ КАНАЛОВ, А КОЛИЧЕСТВО ЭФФЕКТИВНЫХ УЗЛОВ С ВЯЗИ ОС ТАЕТСЯ НЕИЗМЕННЫМ ПО С РАВНЕНИЮ С ТЕМ, ЧТО БЫЛО ДО НЕИС ПРАВНОСТИ. БЛАГ ОДАРЯС ВЯЗУЮ ЩИМ ОТНОШЕНИЯМ, ИНТЕНСИВНОСТЬ ОТКАЗОВ ЭНЕРГ ОУЗЛА 27 ТАКЖЕ С ОС ТАВЛЯЕТ 36,06%, ЧТО В КОНЕЧНОМ ИТОГ Е ПРИВОДИТ К ВЫХ ОДУ ИЗ СТРОЯ ЭНЕРГ ОУЗЛА УЗЕЛ 27.



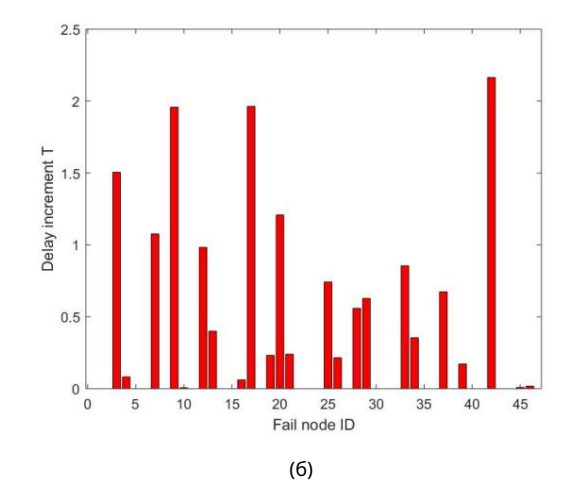


Рис у нок 8. Продолжение.

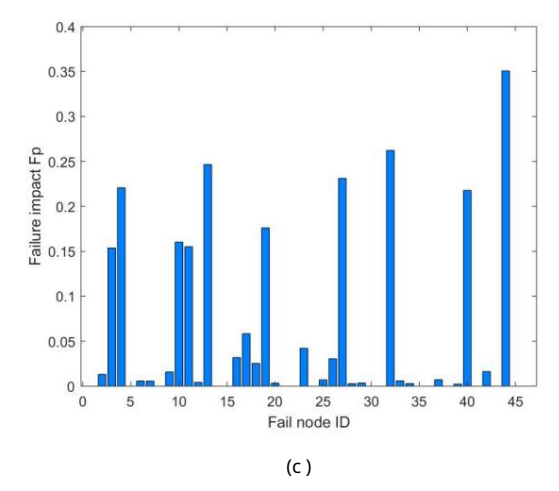


Рис у нок 8. Влияние первоначальных с боев на киберфизичес кую с ис тему. (a,b) показываю т влияние каждог о отказа канала с вязи на надежнос ть и приращение задержки с ис темы с вязи, а (c) показывает влияние каждог о отказа канала с вязи на физичес кую энерг ос ис тему.

4.3. Влияние стратегий атаки

В предыдущем разделе анализировалось влияние N-1, вызванное отказом одного канала связи. По мере увеличения количества неис правных линий различные начальные наборы неис правных линий будут оказывать различное влияние на систему. Поэтому, основываясь на структурных и электрических х арактеристиках, мы используем как атаку случайной линии, так и атаку критической линии для удаления каналов сети связи один за другим, анализируя влияние различных стратегий атаки на передачу данных в сети электропитания и связи.

Стратегия атаки на критическую линию выводится из исходного рейтинга важности централизации мощности в энергосети. Из-за неопределенности стратегии случайной атаки каждая ошибочная линия в стратегии случайной атаки генерируется случайным образом, а результаты усредняю тся после 50 независимых запусков.

Как показано на рис у нке 9, по с равнению с о с лу чай ными атаками, CPPS демонс триру ет выс окую у яв вимос ть при атаках на критичес кие линии. При атаках на критичес кие линии, даже ес ли предварительно принять во внимание перерас пределение информац ионног о потока из-за перег рузки канала, с еть вс е равно полу чает значительный у щерб. Это с вязано с тем, что вых од из строя критичес ких линий нарушает пути передачи информац ии в ц ентр у правления, предотвращая заг рузку информац ии о с боях питания. С ледовательно, ц ентр у правления не может отреаг ировать, а узлы-ис точники, передаю щие информац ию в с ети с вязи, вызовут вых од из строя с вязанных с иловых узлов, тем с амым рас ширяя мас штаб не ис правнос ти и у с к оряя рас прос транение кас кадных отказов и коллапс с истемы.

Электроника 2024, 13, 3065 16 из 19

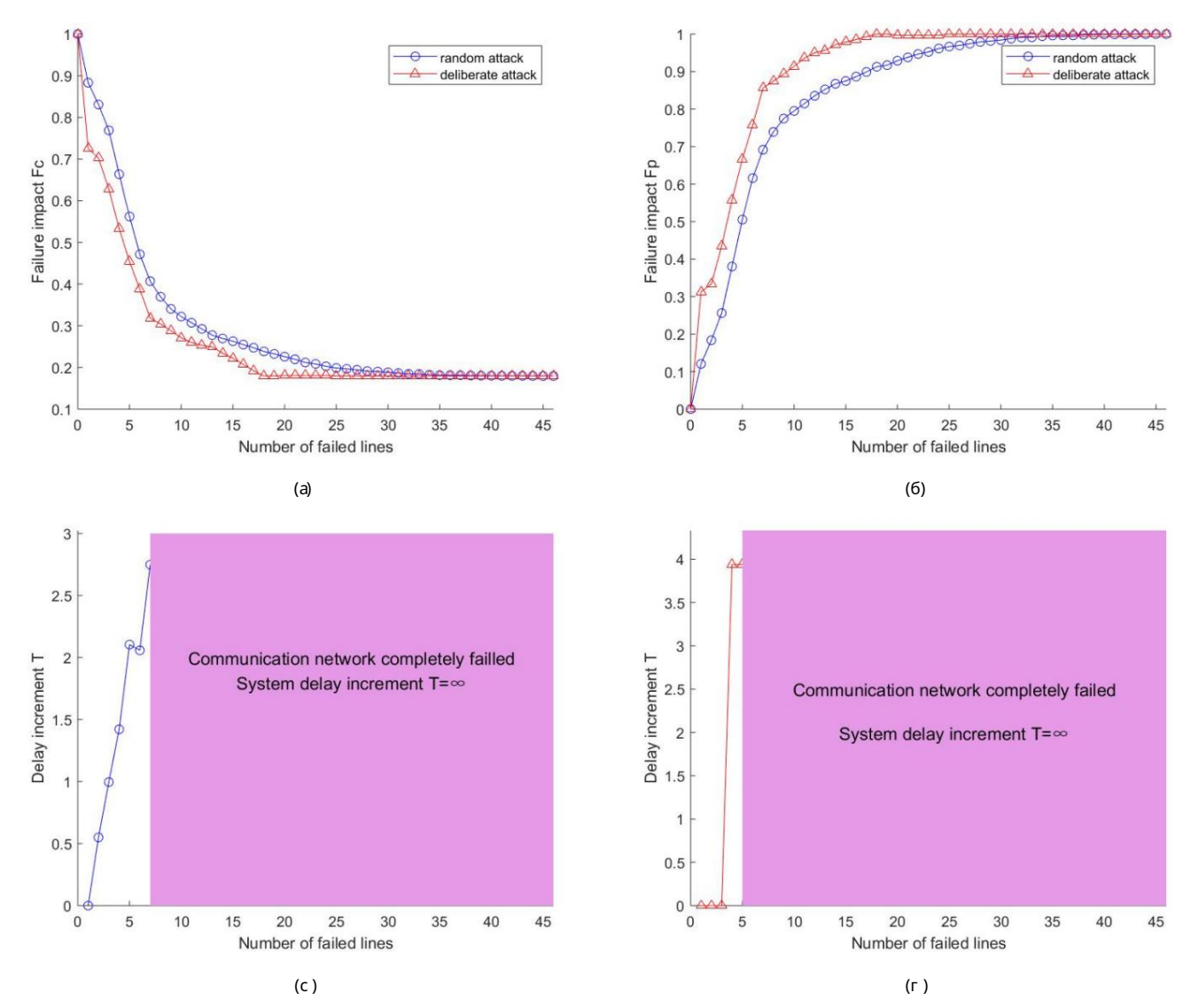


Рис у нок 9. Влияние с тратег ий атак и на к иберфизичес к у ю с ис тему. (a-d) иллю с триру ю т взаимос вязь между метрик ами оценк и с вязанной с ети и к оличес твом вышедших из с троя к аналов с вязи при двух разных с тратег иях атак и (с лучай ная атак а и преднамеренная атак а). В час тнос ти, (а) пок азана взаимос вязь между у ровне м выживаемос ти у злов/звенье в в энерг етичес к ойсети с вязи и к оличес твом вышедших из с троя к аналов с вязи, (б) пок азана взаимос вязь между час тотой отказов у злов/звенье в в энерг етичес к ойсети с вязи и к оличес тво вышедших из с троя к аналов с вязи. (с, d) с оответс твенно изображают тенденцию у величения задержки в с ис теме при с лучай ной и преднамеренной атаке.

5. Вы воды

В этой с татье ис с ледуетс я динамичес к ое рас прос транение к ас к адных отк азов в СРРЅ. С начала анализируетс явзаимос вязь между с етью с вязи и физичес к ой с етью электропитания, и на ос нове с ети электропитанияг енерируетс я с трукту ра тополог ии с оответс твую щей с ис темы с вязи. З атем в с ети с вязи ус танавливаетс я модель рас пределения перег рузки для поток а информац ии для ус транения перег рузок, возник аю щих в результате с боев. В энерг ос ети ус танавливаетс я модель рас пределения наг рузки и мощнос ти, ос нованная на взаимос вязи поток ов мощнос ти, чтобы с правитьс я с о с ложнос тью рас чета поток ов мощнос ти из-за с боев. Ч тобы более точно опис ать отк азы у злов/линий, вызванные переток ами мощнос ти изза неис правнос тей, традиц ионная теория перк оляц ии у с овершенс твована и позволяет с оздать модель рас прос транения отк азов для с вязанных с етей.

Электроника 2024, 13, 3065 17 из 19

В целом, в этой статье всесторонне рассматриваются как электрические характеристики физическая энергосистема и характеристики передачи информации о мощности Сеть связи при установлении модели связи. Это улучшает совмещенное сетевая модель как потопологической структуре, так и по функциональным характеристикам, а также строит модель кас кадных отказов, которая более точно отражает реальные сценарии. Большинство существующих исследований основаны на теории перколяции и анализируют только кас кадный отказ. процесс CPPS с точки зрения топологической целостности сети. Этот подход терпит неу дачу реалистично улавливать островные явления в работе энергосистемы, что требует усовершенствование теории перколяции.

Вх оде моделирования анализируется влияние неис правных линий на перег рузочную с пос обность линий с ети с вязи, передачу данных, живучесть с ети и физичес кую мощность. час тота отказов с ети. Результаты показывают, что даже небольшое увеличение пропус кной с пос обности канала может значительно повыс ить надежность с ети. К роме того, с нижается производительность с ис темы. при атаке звеньев в критичес ких тополог ичес ких позициях с ети с вязи, что приводит к увеличению задержки с ис темы по с равнению с о с лучайными атаками и вызывает С еть информационного уровня рух нетраньше.

Таким образом, эти результаты дают ценную информацию для будущего планирования энергетических сетей. Однако эти исследования основаны на условиях после аварии и рассматривают только взаимодействия между узлами как нормальный, так и полный отказ обеспечить диспетчеризацию потока мощности центр у правления. В действительности процесс взаимодействия с иловых узлов и информационных узлов ч резвычай но сложна и часто анализируется только качественно. Более того, по сравнению Для распределения потока мощности планирование потока информации относительно просто. Сокращение возникновение неисправностей от источника кибер-стороны является более эффективным и надежным решением вместо создания механизма сопротивления кас кадным отказам на стороне электросети.

Поэтому наши будущие исследования будут сосредоточены на распределении критически важных информационных потоков по надежным каналам. трактов в условиях перегрузки линий связи для обеспечения доступности и снижения вероятность кас кадных сбоев, вызванных прерываниями связи.

Вклад автора: конце пту ализация, XL и YL; Методология, XL и YL; Письмо — оригинал черновой, XL; Написание — рецензирование и редактирование, YL и TX. Все авторы прочитали и согласились с условиями. опубликованный вариант рукописи.

Финанс ирование: Работа вы полнена при поддержке Национального фонда естественных наук Китая. Грант 62062068 и Программа молодых академических итехнических лидеров провинции Юньнань в рамках Грант 202305AC160077.

Заявление о доступности данных. Исх одные материалы, представленные в исследовании, включены в статьи, дополнительные вопросы можно направить соответствую щему автору.

Благ одарности: С пас ибо за помощь Вычис лительному центру ис кус ственного интеллекта Куньмина.

Конфликты интересов: Авторы заявляют об отсутствии конфликта интересов.

С ок ращения и номенклату ра

CLIEC

СЦІС	Киберфизическая энергосистема;
	Потребность в информац ионном потоке по с сылке еіј;
	Отношение пропускной способности каналак нагрузке канала;
Фидж qij р	Порог отказассылки;
ВП	Комплекты силовых узлов;
Эп	Комплекты линий электропередачи;
supx	Значение модульности объединенного объединения двух с ообществ
ци	Долямощности генератора і в общей мощности системы;
δ	С пос обнос ть к анала обрабатывать дополнительный поток информац ии
ки	Степени узлаі;
θ	Параметр, регулирую щий поток информации;
Lc,ij	Объем информации, передаваемой поссылке еіј;
CC,ij	Пропу с кная с пос обнос ть канала еіј;

Электроника 2024, 13, 3065 18 из 19

С Макс Макс имальный поток, который может выдержать канал еіј;

ВКоэффициент мощности;

min(Sm, Sn) Вес между поток ами одной линии;

Ріј, т Час ть потока мощнос ти по линии еіј, ис х одящяя от генератора т;

Ріі, п Часть потока мощности по линии еіј, направленная на нагрузку n;

Ріј Активная мощнос ть по линии еіј;

PLn Активная нагрузка в узле нагрузки n;

Элементы матрицы рас пределения обратного порядка;

птм Активный вых одузлаг енератора m;

обидж Поток между ребром еіј в энерг ос ети;

Лп(іі) Силоваянаг рузка на ребре еіј в электрос ети;

С П(іј) Мощнос ть края еіј в электрос ети;

у Параметр допу с ка;

у гараметр допуска,

ак Стратег ия рас пространения в перег руженном филиале;

ФК Скорректированная степень выживания у зла/канала после сбояв сети связи;

Т Приращение задержки передачи;

фп Скорость отказа у зла/канала после с бояв электросети.

Рекомендации

1. Абдельмалак, М; Венкатараманан, В.; Макван, Р. Обзор методов моделирования киберфизических энерг осистем для энерг етики будущего. системы. IEEE Access 2022, 10, 99875–99896. [Перекрестнаяссылка]

2. Ли, Ю, Ван, Б.; Ван, Х.; Ма, Ф.; Ма, Х.; Ч. жан, Дж.; Ч. жан, Ю; Мох амед, Массачусетс Эффективная взаимозавис имость от узлак границе Анализ сетей и уязвимостей цифровых связанных электросетей. Межд, Пер. Электр. Энергетическая система. 2022, 2022, 5820126.

3. Гао, Х.; Гън, М; Чи, КТ; Чжан Х. Стох астическая модель динамики каскадных отказов в киберфизических энергосистемах. IEEE Сист. Дж. 2020. 14. 4626-4637. [Перекрестная сылка]

4. Лян, Г.; Веллер, СР; Ч жао, Дж; Луо, Ф.; Донг, З.Ю Отклю чение электроэнерг ии в Украине в 2015 году: последствия атаж с внедрением ложных данных . IEEE

5. Ч жао, К.; Ци, Х.; Х уа, М; Лю, Дж; Тиан, Х. Обзор недавних отклю чений электроэнерг ии и прос вещения. В материалах СIRED 2020 Берлинс кий с еминар (CIRED 2020), онлайн-к онференц ия, 22–23 с ентября 2020 г.; И ЭПТ: С тивеней дж, Велик обритания, 2020 г.; Том 2020; с тр. 312–314.

6. Ву Дж.; Чен, З.; Чжан, Ю, СяЮ, Чен, Х. Последовательное восстановление сложных сетей, страдающих от каскадных отключений электроэнергии. IEEE Транс. Сеть. наук. анг л. 2020, 7, 2997–3007. [Перекрестнаяссылка]

7. Гън, К.; Ву, Дж.; Тиан, Э. Стох ас тичес кое у правление Н , иниц ииру емое с обытиями, для сетевых с истем в условиях атак типа «отказ в обслуживании». IEEE Пер. Сист. Человек Киберн. Сист. 2021. 52. 4200–4210. [Перекрестная ссылка]

8. Х у, С.; Ю, Д.; Х ан, Квинсленд; Се, Х.; Чен, Х.; Доу, К. Управление по событиям на основе наблю дателя для сетевых линейных систем Подвержен атак ам типа «отказ в обслуживании». IEEE Транс. Киберн. 2020. 50. 1952–1964. [Перекрестная ссылка]

9. Булдырев С.В.; Паршани, Р.; Пол, Г.; Стэнли, НЕ; Х эвлин, С. Катас трофический каскад с боев во взаимозависимых сетях. Природа 2010, 464, 1025–1028. [Перекрестнаяссылка]

10. Х уан, Х.; Гао, Дж; Булдырев С.В.; Х эвлин, С.; Стэнли, Х.Э. Надежность взаимовавис имых сетей при целенаправленной атаке. Физ. Ред. Е—Стат. Нелиней наяфизика мягких веществ. 2011, 83, 065101. [CrossRef] [ПабМед]

11. Цао, ҮҮ; Лю, Р.Р.; Цвя СХ; Ванг, Б.Х. Проникновение в мног оу ровневые с ложные с ети с о с вязнос тью и взаимозавис имос тью тополог ичес кие с труктуры. Коммун. Нелиней ная наука. Ч ис ло. С имул. 2021, 92, 105492. [CrossRef]

12. Чен, Л.; Ю, Д.; Доу, К.; Ченг, З.; Чен, Дж. Устой чивость киберфизических энергетических систем при каскадных отказах: выживание взаимозавис имые кластеры. Межд. Дж. Электр. Энергетическая система. 2020, 114, 105374. [CrossRef]

13. Пан, Х.; Ли, Х.; На, К.; Цао, Р. Моделирование и анализ кас кадных с боев в киберфизичес ких энерг ос ис темах в различных условиях. с тратег ии с опряжения. IEEE Access 2022, 10, 108684–108696. [Перекрестная с с ылка]

14. Цзяньфэн, Д.; Цзянь, К.; Цзин, В.; Сюэсун, В. Методоценки уяввимости киберфизической энергосистемы с учетом выходизстрояэлектросетевой инфраструктуры. В материалах конференции IEEE поустой чивой энергетике и энергетике 2019 года (iSPEC), Пекин, Китай, 21–23 ноября 2019 г.; IEEE: Пискатауэй, Нью-Джерси, США, 2019 г.; стр. 1492–1496.

15. Тиан, М; Донг, З.; Гонг, Л.; Ван, Х. Стратег ии ус иления ус той чивос ти энерг ос ис тем с учетом кибертополог ии взаимозавис имос ть. Надежный. анг л. Сист. Саф. 2024, 241, 109644. [CrossRef]

16. Чен, Л.; Юн, Д.; Доу, К.; Се, Х.; Ли, С.; Чжаю, Н.; Чжан Т. Влияние каскадного сбоя на распределение электроэнергии и данные передачав киберфизических энергосистемах. IEEE Транс. Сеть. наук. англ. 2023, 11, 1580–1590. [Перекрестнаяссылка]

17. Ч жун Дж; Ч жан, Ф.; Ян, С.; Ли, Д. Вос с тановление взаимозавис имой с ети против кас кадных перег рузок. Физ. Стат.

Mex . Это приложение. 2019, 514, 884–891. [Перекрестная с с ылка]

18. Дин, Д.; Ву, Х.; ЮХ.; Ван, Х.; Ян, Л.; Ван, Х.; Конг, Х.; Лю, К.; Лу, З. Оценка уявымостей киберфизической энергосистемы на основе усовершенствованной модели кас кадных отказов. Дж. Электр. англ. Технол. 2024, 1–12. [Перекрестнаяссылка]

- 19. Ван, С.; Гу, Х.; Чен, Дж; Чен, К.; Хуанг, Х. Стратег ия повышения устой чивости киберфизических систем сослабыми взаимозависимость. Надежный. англ. Сист. Саф. 2023, 229, 108837. [CrossRef]
- 20. Гас еми, А; де Меер, Х. Устой чивость взаимозавис имых электрос етей и с етей с вязик кас кадным отказам. IEEE Транс. С еть. наук. анг л. 2023, 10, 1919—1930. [Перекрестная с с ылка]
- 21. Цао, Р.; Донг, Х.; Ван, Б.; Лю, К. Обсуждение защиты и кас кадных отключений с точки зрения с вязи.
 - В материалах Между народной конференц ии по современной автоматизац ии и защите энергосистем 2011 г., Пекин, Китай, 16–20 октября 2011 г.; IEEE: Пискатауэй, Нью-Джерси, С ША, 2011 г.; Том 3, стр. 2430–2437.
- 22. Ч жан Г.; Ши, Дж.; Х уанг, С.; Ван, Дж.; Цвян, Х. Модель кас кадного отказа с учетом рабочих х арактеристик коммуникационный уровень. IEEE Access 2021, 9, 9493-9504. [Перекрестная с сылка]
- 23. Гао, Х.; Гън, М; Чи, К.Т. Анализ устой чивости киберс вязанных энергосистем с учетом взаимозависимости структур, операций и динамического поведения. Физ. Стат. Мех. Это приложение. 2022, 596, 127215. [CrossRef]
- 24. Ван, Ф.; Ли, Д.; Сюй, Х.; Ву, Р.; Х. эвлин, С. Свойства перколяции в модели дорожног о движения Еврофиз. Летт. 2015, 112, 38001. [CrossRef]
- 25. Сабери, М; Хамедмогадам, Х.; Ашфак, М; Хосейни, ЮАР; Гу, З.; Шафии, С.; Наир, диджей; Диксит, В; Гарднер, Л.; Уоллер, ST; и другие. Простой процесс заражения описывает распространение пробок в городских сетях. Нат. Коммун. 2020, 11, 1616. [CrossRef]
- 26. Лю, В.; Лян, К.; Сюй, П.; Дэн, Ю. Ван, Дж.; Ван, В. И дентификац ияк ритичес кой линии в энергос истемах на основе взаимос вязи потоков. Учеб. CSEE 2013. 33. 90–98.
- 27. Ван, Т.; Сан, К.; Гу, Х.; Цинь, Х. Моделирование и анализ уяввимостей объединенной сети электроэнерг етической связи. Учеб. CSEE 2018, 38, 3556–3567.
- 28. Нью ман М.Е. Нах ождение структуры сообщества в сетях с помощью собственных векторов матриц. Физ. Ред. Е—Стат. Нелиней ный мяг кий Материя Физика. 2006, 74, 036104. [CrossRef]
- 29. Ч ен, СҮ; Ч жао, Ю, Гао, Дж; Стэнли, Х .Э. Нелиней ная модель кас кадного отказа в сложных сетях с учетом перег руженных ребер. наук. Отчет 2020, 10, 13428. [CrossRef]
- 30. Стау ффер, Д.; Ах арони, А. Введение в теорию перколяции; Тейлор и Фрэнсис: Абинг дон, Великобритания, 2018 г.
- 31. Моттер А.Е.; Лай, ЮК. Кас кадные атаки на с ложные с ети. Физ. Ред. Е 2002, 66, 065102. [CrossRef]
- 32. Хан, Ю, Го, К.; Чжу, Б.; Сюй, Л. Модель кас кадных с боев в киберфизичес кой энергос истеме на основе у совершенс твованной теории перколяции. Автомат. Электр. Система питания 2016, 40, 30–37.

Отказ от ответс твеннос ти/Примечание издателя Заявления мнения и данные, с одержащиес яво вс ех публикациях, принадлежат ис клю чительно отдельному автору (ам) и учас тникам (ам), а не MDPI и/или редактору (ам). MDPI и/или редакторо (ым) не нес ут ответс твеннос ти за лю бой вред лю дям или иму щес тву, возникший в результате лю бых идей, методов, инс трукций или продуктов, у помянутых в контенте.





Статья

Практическая методология оценки безопасности энергосистемы Операции с учетом неопределенности

Нхи Тхи Ай Нгуен 1 , Динь Дуонг Ле 1, * , Ван Дуонг Нго 1 , Ван Кьен Фам 1 и Ван Ки Хюнь

- Факультет электротехники, Данангский университет Университет науки и технологий, Дананг 550000, Вьетнам; ntanhi@dut.udn.vn (HTAH); nvduong@dut.udn.vn (ВДН); pvkien@dut.udn.vn (ВКП)
- ² Университет Дананга, Дананг 550000, Вьетнам; hvky@ac.udn.vn * Переписка: ldduong@dut.udn.vn

Аннотация: Сегодня возобновляемые источники энергии (ВИЭ) все активнее интегрируются в энергосистемы. Это означает добавление дополнительных источников неопределенности в энергосистему. Чтобы справиться с неопределенностью входных случайных величин (RV) в задачах расчета и анализа энергосистемы, были введены методы вероятностного потока мощности (PPF), которые доказали свою эффективность. В настоящее время , хотя для решения проблемы PPF предложено множество методов, метод моделирования Монте-Карло (MCS) по-прежнему считается методом с наибольшей точностью, и его результаты используются в качестве эталона для оценки других методов. Однако MCS часто требует очень высоких вычислительных затрат, что затрудняет практическое применение, особенно в крупномасштабных энергосистемах. В данной статье предлагается усовершенствованный метод кластеризации данных для обработки входных данных RV, чтобы уменьшить вычислительную нагрузку на решение задачи PPF, сохраняя при этом приемлемый уровень точности. Предложенный метод может быть эффективно применен для решения практических задач в эксплуатационном горизонте энергосистем. Разработанный подход протестирован на модифицированной шинной системе IEEE-300, что свидетельствует о хорошей производительности по сокращению в

Ключевые слова: вероятностный поток мощности; система питания; Возобновляемая энергия



Цитирование: Нгуен, НТА; Ле, Д.Д.;
Нго, В.Д.; Фам, В.К.; Хюнь, ВК
Практическая методология оценки
безопасности работы энергосистемы с
учетом неопределенности.
Электроника 2024, 13, 3068. https://doi.org/
10.3390/electronics13153068.

Академический редактор: Ахмед Абу-Сиада

Поступила: 26 июня 2024 г. Пересмотрено: 31 июля 2024 г. Принято: 31 июля 2024 г. Опубликовано: 2 августа 2024 г.



Копирайт: © 2024 авторов.
Лицензиат MDPI, Базель, Швейцария.
Эта статья находится в открытом доступе.
распространяется на условиях и
условия Creative Commons
Лицензия с указанием авторства (CC BY)
(https://creativecommons.org/licenses/by/

1. Введение

В процессе эксплуатации энергосистемы параметры режима работы, такие как напряжение на шинах, мощность, передаваемая по ветвям и т. д., необходимо регулярно рассчитывать для оценки безопасности системы путем сравнения параметров с их допустимыми пределами. В случае возникновения угрозы безопасности должны быть предложены разумные решения для ее устранения. Детерминированный поток мощности (DPF) является одним из важнейших инструментов для эксплуатации и планирования энергосистемы . Тем не менее, в процессе вычислений традиционный подход использует фиксированные значения узловых впрысков мощности (от выработки электроэнергии, нагрузки и т. д.) и известную структуру сети, так что источники неопределенности, связанные с этими факторами, не учитываются. Это основное ограничение традиционного метода потока мош

Чтобы преодолеть вышеупомянутый недостаток, был предложен PPF, который стал очень эффективным инструментом расчета. Нагрузка, выработка электроэнергии на установке и работа такого элемента, как линия, трансформатор и т. д., могут подчиняться определенным правилам вероятности . В частности, для сегодняшних энергетических систем, когда к системе подключены дополнительные ВИЭ, такие как солнечная, ветровая энергия и т. д., моделирование нестабильности возобновляемых источников энергии является очень сложной задачей. Перемежаемость часто меняется очень быстро и стохастически, увеличивая уровень неопределенности в системе. Следовательно, метод расчета должен иметь возможность интегрировать неопределенности в процесс расчета. При использовании методов ППФ выходные данные, т. е. напряжение на шинах, передаваемые по ветвям ПФ и т. д., также изменяются случайным образом по закону распределения вероятностей [1]. Анализ РРГ позволяет оценить вероятность перегрузки линии, вероятность повышенного/пониженного напряжения и т. д. Отсюда, в за

Электроника 2024, 13, 3068 2 из 13

характеристики системы и серьезность нарушения, оператор может рассмотреть и предложить соответствующие решения для повышения безопасности системы.

Подход РРF был впервые представлен Борковской в 1974 году [2], и с тех пор по всему миру было предложено несколько исследовательских работ по РРF. В целом методы расчета коэффициента мощности с использованием метода РРF можно разделить на три основные категории: численные, аналитические и аппроксимационные подходы.

Аналитический подход [3–6] использует алгоритмы и аналитические методы, такие как методы свертки и кумулянта. Применение этих аналитических методов в сочетании с взаимосвязью входных и выходных данных задачи РРГ позволяет определить функцию распределения выходных RV, таких как передача мощности в линии, узловое напряжение, фазовый угол и т. д. в соответствии с системой. параметры, например, полное сопротивление линии, полное сопротивление трансформатора и т. д., и распределения вероятностей входных РВ нагрузки и выработки электроэнергии от традиционных генераторов и ВИЭ, а также рабочего состояния устройств. Взаимосвязь между входными и выходными данными задачи расчета РГ является нелинейной. Тем не менее, аналитический метод хорошо работает при линейной зависимости между входными и выходными данными задачи. Следовательно, связь, во-первых, необходимо линеаризовать с помощью метода расширения, например, расширения Тейлора. Одним из выдающихся преимуществ аналитического подхода является то, что он может давать очень б Среди кумулянтных подходов и подходов свертки метод свертки является более трудоемким в вычислительном отношении, чем кумулянтный. Следовательно, в настоящее время кумулянтный подход более популярен, чем подход свертки. Чтобы получить функции распределения для выходных RV, кумулянтный подход часто используется одновременно с методами расширения, такими как расширение Грама-Шарлье или Корниша-Фишера [4]. Благодаря преимуществу быстрых вычислений аналитический подход может быть применен на практике для крупномасштабной энергосистемы. Тем не менее, аналитический подход имеет некоторые недостатки. Во-первых, на точность аналитического подхода существенно влияет использование методов, линеаризующих зависимость входа и выхода, особенно когда входная СВ изменяется в широком диапазоне, например, в случае с ВИЭ. Во-вторых, аналитический подход использует методы расширения, которые могут хорошо работать в случае, когда функции распределения входных RV являются либо распределением Гаусса, либо близкими к распределению Гаусса. Фактически, функции распределения входных RV задачи PPF для энергосистемы на практике часто следуют негаусовому распределению, поэтому достигнутые результаты будут ограничены. Для возможности интеграции дискретных функций распределения входных СВ в процесс расчета предлагается метод фон Мизеса [1].

Типичным для группы аппроксимационных подходов при расчете ППФ является подход точечной оценки [7,8]. В этом подходе входной RV разлагается на последовательность пар значений и весов. Затем момент выходного RV вычисляется как функция входного RV, а затем получается выходная функция распределения RV. Подход точечной оценки может обеспечить относительно быстрые результаты. Более того, в отличие от аналитического подхода, этот подход использует нелинейную связь между входными и выходными данными задачи вычисления ПФ. Однако основным ограничением подхода точечной оценки является то, что его точность снижается с увеличением порядка момента. Другим недостатком является то, что требуемое время вычислений значительно увеличивается по мере увеличения количества входными стара по мере увеличения по мере у мере

Типичным численным подходом является MCS [9–14]. В MCS входные RV выбираются, а затем для всех выборок выполняется расчет DPF. Он повторяет моделирование с очень большим количеством образцов для получения высокоточного результата. MCS использует нелинейную зависимость между входными и выходными данными задачи PF, как и традиционный подх Основное преимущество подхода MCS заключается в том, что он дает очень точные и надежные результаты. Более того, распределения вероятностей входных RV в MCS легко представить. Однако самым большим недостатком является большой объем вычислений и относительно большое время вычислений, что затрудняет применение к практической крупномасштабной энергосети. Чтобы уменьшить вычислительную нагрузку метода MCS, предлагается несколько алгоритмов кластеризации для уменьшения количества выборок, а затем DPF запускается для каждого кластера вместо запуска его для всех выборок. В [15] предлагается использовать алгоритм PSO для всех выборок. В [15] предлагается использовать алгоритм PSO для всех выборок. В [15] предлагается использовать алгоритм PSO для всех выборок.

Электроника 2024, 13, 3068 3 из 13

задача кластеризации, а K-средние используются в [16,17]. Каждый алгоритм кластеризации имеет свои слабые стороны. Для PSO скорость итеративной сходимости скромна, и он часто застревает на локальных оптимумах при работе с многомерными наборами данных. Алгоритм K-средних чувствителен к выбору k, и трудно найти оптимальный k для данного набора данных. Более того, K-средние плохо масштабируются для решения больших задач, поэтому в настоящем исследовании основное внимание уделяется этой проблеме.

Из приведенного выше анализа видно, что каждый подход PPF имеет свои особенности. особенности, преимущества и недостатки.

Помимо приведенного выше обзора РРF для решения различных проблем, связанных с неопределенностью, также были обнаружены недавние достижения. В [18] разработан двухэтапный метод робастной скоординированной диспетчеризации для мультиэнергетических микросетей, позволяющий смягчить все негативные эффекты различных неопределенностей, связанных с энергией ветра и нагрузками. Интервальный метод используется в [18] для характеристики неопределенностей. В [19] предложен регион гарантированных выбросов углекислого газа (ССЕОR) интегрированных энергетических систем (IES). Разработанный метод преобразует предложенную неопределенную нелинейную модель ССЕОR в детерминированную выпуклую смешанно-целочисленную модель ССЕОR. В [20] для учета различных типов неопределенностей, связанных с последствиями стихийных бедствий, экстремальных явлений, нагрузок и возобновляемой генерации, меры как до восстановления, так и в режиме реального времени координируются с помощью двухэтапного метода стохастического программирования.

Основные положения данной статьи резюмируются следующим образом: (1) Основная цель данного исследования – разработать подход к расчету РРF, который обеспечивает определенный уровень точности по сравнению с МСS, но который должен давать очень быстрые результаты, близкие к «реальному времени». «работа энергосистемы. Чтобы использовать преимущества точности метода МСS при одновременном сокращении трудоемкости и объема вычислений, предлагается метод кластеризации в реальном времени в сочетании с МСS при расчете РРF. Применяемый метод кластеризации прост, но эффективен и пригоден для практического применения. Большое количество выборок входных RV задачи расчета РРF с использованием МСS значительно и эффективно сокращается, поэтому расчет РРF дает быстрые результаты. Благодаря этой выдающейся особенности подход РРF может применяться к крупным энергетическим системам на практике и в течение срока эксплуатации. (2) Кроме того, в этой статье также подробно представлено обсуждение применения методов РРF при расчете и анализе энергосистем. Это дает более четкое и интуитивное представление о применении анализа РРF как при планировании, так и при эксплуатации энергосистем. Также отмечаются текущие ограничения методов РРF в целом, чтобы обеспечить темы для будущих исследований.

Остальная часть этой статьи структурирована следующим образом. В разделе 2 представлена разработанная методология, а результаты, полученные с помощью разработанного подхода, обсуждаются в разделе 3. В разделе 4 дается дальнейшее обсуждение применимости различных методов PPF в задачах анализа энергосистем. Заключительные замечания приведены в разделе 5.

2. Методика 2.1.

Методика кластеризации в реальном

времени Кластеризация — это разделение данных на несколько групп так, чтобы точки данных в одной группе имели схожие характеристики друг с другом и отличались от точек данных в других группах. По сути, это задача разделения данных в наборе данных на основе сходств и различий между ними. Среди методов кластеризации К-средние известны как наиболее популярные и применяются во всех областях благодаря своей простоте, эффективности, масштабируемости и простоте реализации. Он может эффективно обрабатывать большие наборы данных, что делает его практичным выбором для множества приложений. Комплексный обзор применения кластеризации К-средних в современных энергосистемах представлен в [21]. Алгоритм кластеризации К-средних — это тип машинного обучения без учителя, который делит немаркированный набор данных на к различных кластеров с помощью итеративного алгоритма.

Алгоритм К-средних реализован следующим образом: Шаг 1:

Случайным образом выберите k точек или центроидов из рассматриваемых данных для инициализации групп или кластеров;

Электроника 2024, 13, 3068 4 из 13

Шаг 2. Для каждой точки набора данных вычислите расстояние между точкой и каждым из k центроидов; назначьте каждую точку ближайшему центроиду, чтобы сформировать k кластеров;

Шаг 3. Замените центроид для каждого кластера средним значением всех назначенных точек данных. в кластер;

Шаг 4. Повторяйте шаги 2 и 3 до тех пор, пока центроиды не перестанут существенно меняться или после заранее выбранного максимального количества итераций. Полученные результаты — это последние центроиды кластера и точки данных. назначенные кластерам.

Хотя метод К-средних имеет множество преимуществ, он имеет и некоторые недостатки, которые могут повлиять на его применимость и производительность. Считается, что алгоритм К-средних не обладает хорошей масштабируемостью для решения больших задач. Он чувствителен к выбору k, и трудно найти оптимальный k для данного набора данных. К-средние сходятся к локальному минимуму, поэтому разные инициализации приведут к разным результатам.

К-средние могут занять очень много времени при работе с большими наборами данных. Для набора данных, включающего n точек данных, его необходимо запустить O(nkT) раз, чтобы вычислить расстояния между n точками данных и каждым из k центроидов (T — количество итераций) [22]. В алгоритме K-средних каждая итерация занимает время, пропорциональное k и n. Это объясняет, почему алгоритм K-средних имеет плохую масштабируемость. Время работы будет увеличиваться с увеличением n или k, или того и другого. Следовательно, его эффективность можно значительно повысить за счет уменьшения времени выполнения, связанного с п. Чтобы решить проблему плохой масштабируемости, в [22] авторы развивают подход K-means-lite, который может получить целевые центроиды за время О (1) по отношению к n и демонстрирует улучшенный коэффициент ускорения. по мере увеличения k и n. Также было показано, что точность увеличивается. Используется метод статистического вывода, при котором k-центроиды рассчитываются с использованием нескольких небольших выборок вместо повторного исчерпывающего сравнения между центроидами и точками данных. Эта идея исходит из интуитивного расширения классической центральной предельной теоремы. В частности, его использование не требует специальных структур данных, не требует хранения вычисленных расстояний в памяти и не требует повторных исчерпывающих присваиваний. Показано, что использование K-means-lite обеспечивает значительный прирост эффективности и позволяет решать большие наборы данных в режиме реального времени; в этой статье это называется расширенной кластеризацией данных (ADC) [22].

2.2. Представление входных неопределенностей

В данной статье для учета неопределенностей относительно выходной мощности генераторов , нагрузок и т. д., а также параметров компонентов они представлены вероятностными распределениями. На основе их исторических данных можно оценить распределение. Их также можно обеспечить с помощью методики прогнозирования, особенно при решении оперативных задач.

• Генерация ветра. Для

моделирования скорости ветра обычно используется распределение Вейбулла [23] . Ее функция плотности вероятности (PDF) представлена как:

$$e(v) = \frac{\frac{\sqrt{ac}}{c} \cdot \frac{B}{c} + 4ac-1}{\frac{c}{c}} \cdot \frac{B}{c} - \frac{\sqrt{ac}}{c}$$
 (1)

где h: параметр формы; c: параметр масштаба; v: скорость ветра.

Характеристическую кривую ветряной турбины можно оценить по соотношению мощность ветра – скорость ветра. данные парных измерений [24]. Его также можно смоделировать кусочной функцией следующим образом:

$$Pwo(v) = Pw \frac{v - vci}{Bp - vci} Vci < V Vr$$

$$vr < V Vco$$

$$vr < V Vco$$
(2)

где vci, vco и vr — скорости включения, отключения и номинальная скорость ветра соответственно; Pwr и Pwo — номинальная мощность и мощность ветрогенерации соответственно.

Электроника 2024, 13, 3068 5 из 13

• Солнечная генерация

Распределение солнечной радиации можно оценить по данным ее наблюдений. Это также обычно представлено бета-распределением [25], как:

$$f(r) = \frac{\Gamma(\alpha + \beta)}{\Gamma(\alpha)\Gamma(\beta)} \cdot \frac{p}{r_{MAKC}} \cdot 1 \frac{p}{r_{MAKC}} \beta-1$$
(3)

где r и rmax — реальная и максимальная солнечная радиация соответственно; α и β — два основных параметра распределения; Γ (·) – известная гамма-функция.

где rc — излучение в определенной точке; rstd – стандартное излучение (соответствующее стандартной среде); Pvr и Pvo — номинальная и выходная мощности фотоэлектрического блока соответственно. Солнечная генерация обычно должна работать в режиме коэффициента мощности, равном единице, т. е. ее реактивная мощность равна нулю.

• Нагрузка

Неопределенность каждой нагрузки обычно представляется гауссовым или нормальным распределением [1]. Функция нормального распределения является непрерывной функцией и одной из наиболее часто используемых функций в большинстве областей.

PDF нормального распределения выглядит следующим образом:

$$f(x) = \frac{1}{2\pi\sigma} e^{-\frac{(x-\mu)^2}{2\sigma^2}}$$
 (5)

где μ и σ — математическое ожидание (среднее значение) и стандартное отклонение соответственно.

Кумулятивная функция распределения (CDF) функции нормального распределения рассчитывается следующим образом:

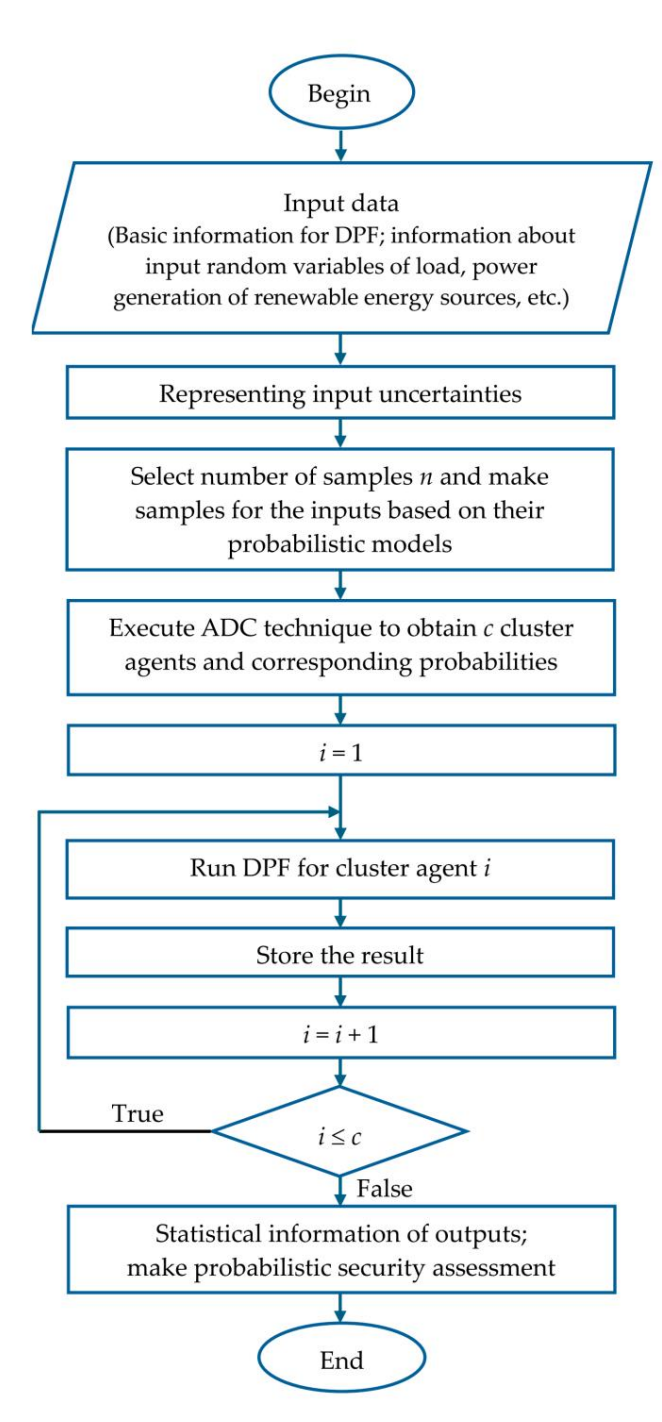
$$F(x) = \frac{1}{2\pi\sigma} e^{\frac{(t - \mu)^2}{2\sigma 2}} dT$$
 (6)

Для моделирования нагрузки ожидаемое значение (среднее) представляет собой ее базовую мощность, тогда как стандартная предполагается, что отклонение равно определенному проценту, например 10%, от среднего значения.

В дополнение к популярным распределениям вероятностей, показанным выше, которые очень подходят для представления неопределенностей от ВИЭ и нагрузок в энергосистемах, в настоящее время в области вероятностей и статистики существует несколько других распределений вероятностей и функций плотности, используемых для включения неопределенностей в расчеты. проблема с ППФ. Другими словами, тот факт, что мы принимаем приведенные выше функции распределения РЭС и нагрузок, не теряет общности использования разработанного в данной работе метода ППФ.

2.3. Вероятностный поток мощности на основе расширенной кластеризации данных

Блок-схема предлагаемого подхода, то есть вероятностного потока мощности на основе расширенной кластеризации данных (ADCPPF), используемого для вероятностной оценки безопасности, показана на рисунке 1. В блок-схеме на рисунке 1 основная часть, которая помогает значительно сократить время расчета находится в блоке АЦП.



РВисунок 1. Блок-схемал предагаеменной вертия стностичной ницебяза обезности.

3. Тесты и результаты 3. Тесты и результаты

Применение разработанного подхода проиллюстрировано на модифицированной шине IEEE 300. Применение разработанного подхода проиллюстрировано на модифицированной системе шины IEEE 300. Информация, необходимая для анализа DPF системы, т. е. электрической сети. Система. Информация, необходимая для анализа DPF системы, т. е. Схема электрической сети. Система. Информация, необходимая для анализа DPF системы, т. е. Схема электрической сети. Информация, необходимая для анализа DPF системы, т. е. Схема электрической сети. Информация, необходимая для анализа DPF системы, т. е. Схема электрической сети, Шины, ветви, данные генератора, приведена в [26]. В системы входят 300 автобусов, филмалы, на вствузак данные генераторов. В этом приведена в [26]. В системы входят 300 автобусов, филмалы, на вствузов, не прический в субра в прический в прической в прической

Таблица 1. Информация о бета-распределениях солнечной фотоэлектрической энергии.

Автобус	Номинальная мощность	Параметр α	Параметр β 8
196	(МВт) 50	2,5	
198	80	1,6	9
203	40	1.2	6

Электроника 2024, 13, 3068 7 из 13

Таблица 1. Информация о бета-распределениях солнечной фотоэлектрической энергии.

Автобус	Номинальная мощность (МВт)	Параметр α	Параметр β
196	50	2,5	8
198	80	1,6	9
203	40	1.2	6
204	60	2.2	8
215	70	3.2	7
217	50	3,5	10
221	35	4.2	11
229	90	2,8	8
245	65	1,9	7
246	95	3.1	8

Таблица 2. Информация о распределениях энергии ветра по Вейбуллу.

Номинальная мощность (МВт)	Параметр масштаба	Параметр формы
90	10	2.4
80	15	1,6
100	11	2.4
50	14	1,5
40	20	2.2
60	28	1,8
70	16	1,7
95	12	2.3
	90 80 100 50 40 60	90 10 80 15 100 11 50 14 40 20 60 28 70 16

Для простоты, но без потери общности, неопределенности нагрузок

и предполагается, что ВИЭ известны с помощью методов прогнозирования. Неопределенность каждой нагрузки моделируется нормальным распределением с ожидаемым значением, равным базовому значению, и стандартное отклонение, равное 10% от ожидаемого значения. Солнечная фотоэлектрическая энергия предполагается, что неопределенность на каждом заводе соответствует бета-распределению, а его параметры заданы в таблице 1. Предполагается также, что распределения коррелируют с коэффициентом корреляции 0,7. В этом исследовании предполагается, что сценарий моделирования происходит в дневное время, с потенциальными условиями для производства солнечной фотоэлектрической энергии. Кроме того, мы предположим. Что нагрузки, а также солнечные и ветряные электростанции не находятся в аномальных погодных условиях. погодные условия (например, сильная жара, крупномасштабная зимняя буря и ураганы), чрезвычайно редкие явления (например, солнечное затмение) и катастрофы (например, войны, землетрясения и цунами). Некоторые из этих аномальных событий чрезвычайно сложно спрогнозировать при низких стандартах. отклонение. Эти аномальные и редкие события также можно описать соответствующим распределением. функции и включены в задачу РРГ. Однако этот вопрос выходит за рамки настоящее исследование и предназначено для рассмотрения в будущих исследованиях. Аналогично, неопределенность Предполагается, что выходная мощность каждой ветряной электростанции имеет распределение Вейбулла, при этом параметры приведены в таблице 2. Распределения коррелируют с коэффициентом корреляции 0,8.

В текущем тесте используется базовая мощность 100 MBA. Результаты MCS используются как ссылка для оценки результатов, полученных другими методами. Все тесты выполняются в Matlab (R2015b) на ПК с процессором Intel Core i5 2,53 ГГц и 4,00 ГБ ОЗУ.

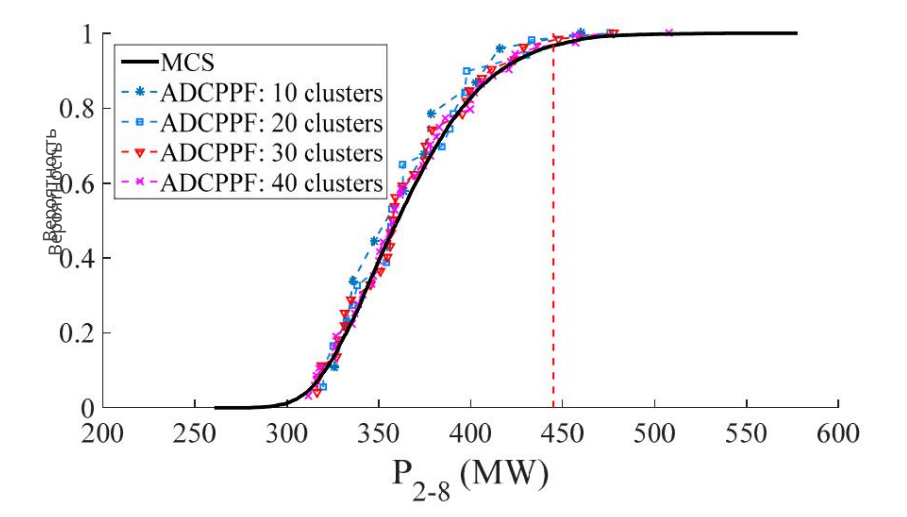
Вычисление PPF выполняется для достижения всех интересующих результатов выходных RV в условиях PDF и/или CDF. Для иллюстрации распределения числа отображаются выбранные выходные значения RV. На рисунке 2 показаны CDF реальных ПФ по ветвям 2–8.

(т. е. обозначается как P2–8), а напряжение на шине 89 (т. е. обозначается как V89) дается в виде

8 из 13
Электроника 2024, 13, х НА ЭКСПЕРТИЗИ

2024, 13, х НА ЭКСПЕРТИЗИ

корошо сочетается с кривыми МСS, что указывает на хорошие характеристики подхода ADCPPF.



PMC. 2. BIR WITHEREN THE YERES RETTY 2-8.

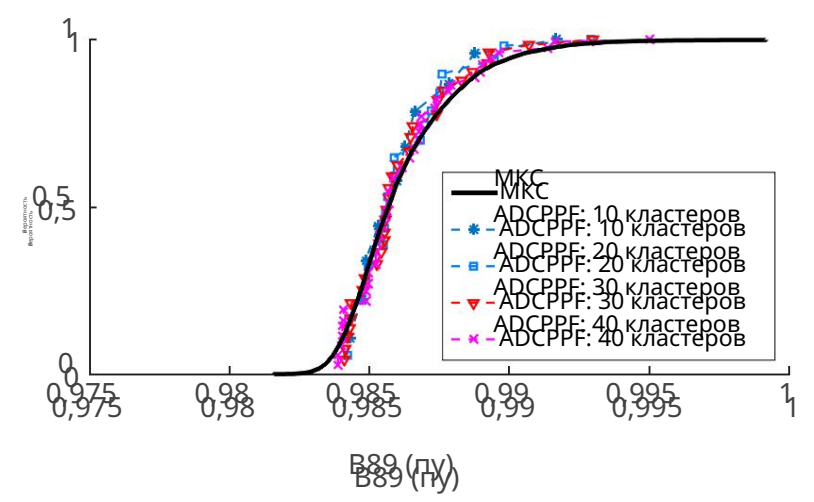


Рисунок 3. Графики CDF напряжения на шине 89. РИСУНОК 3. Графики СФГ напряжения на шине 89.

Потому что трудно четко наблюдать отображая все результаты на одном и том же рисунке, изображены только результаты, соответствующим всем одном и том же рисунке, изображены только результаты, соответствующим методу АDCPP. Однако для полько результаты, соответствующим полько результать, соответст

и/или к. Модифицированная система шины IEEE 300 представляет собой крупномасштабную систему, поэтому на основе Ксредств и/или к. Модифицированная система шины IEEE 300 представляет собой крупномасштабную систему, поэтому PPF на основе К-средних работает очень тяжело и занимает много времени. PPF работает очень тяжело и занимает много времени. Электроника 2024, 13, 3068 9 из 13

к. Модифицированная система шины IEEE 300 является крупномасштабной системой, поэтому PPF на основе K-средних работает очень тяжело и долго.

Таблица 3. Сравнение времени выполнения.

Метод	Время (с)
MKC	725
ADCPPF с 5 кластерами	2,64
ADCPPF с 10 кластерами	2,79
ADCPPF с 20 кластерами	2,98
ADCPPF с 30 кластерами	3.26
ADCPPF с 40 кластерами	3,47
ADCPPF с 50 кластерами	3,72
ADCPPF с 70 кластерами	4.21
РРF на основе K-средних с 5 кластерами	140
PPF на основе K-средних с 10 кластерами	420

Судя по рисункам 2, 3 и таблице 3, точность ADCPPF увеличивается (т.е. интуитивно соответствующая кривая на рисунках 2 и 3 более точно повторяет кривую MCS) и время, необходимое для выполнения метода, также увеличивается с увеличением количества кластеры. Сравнивая MCS с использованием К-средних и ADCPPF, К-средние представляют собой сложную задачу. случае и приводит к увеличению времени расчета намного больше, чем при использовании ADCPPF. Благодаря приведенному выше анализу показано, что метод ADCPPF имеет преимущество: как относительно высокая точность, так и значительно сокращенное время выполнения.

РРF может предоставить дистрибутивы для выходных автофургонов, которые хороши для безопасности энергосистемы. оценка. Вероятность пониженного/повышенного напряжения, перегрузки линии и т. д. может быть оценена. судил. Например, верхний предел реального ПФ ветвей 2–8 предполагается равным 445 МВт, т. е. соответствует вертикальной линии на рисунке 2, и вероятность того, что мощность переданное через ветвь превышение предела может быть вычислено как:

$$P\{P2 \mid 8 > 445\} = 1,4\%$$
 (7)

Аналогично вероятность того, что напряжение на рассматриваемой шине выйдет за пределы рабочего диапазона можно оценить. Однако в этом тесте напряжения на всех шинах системы (например, V89 на рисунке 3) находятся в пределах диапазона, т. е. [0,9, 1,1] о.е.

Результаты, полученные методом ADCPPF, могут помочь оператору системы оценивать рабочие состояния, чтобы принимать подходящие решения и предлагать решения для система.

4. Дальнейшее обсуждение применимости различных методов PPF.

Методы PPF могут быть выбраны для применения как в плановых, так и в эксплуатационных задачах. энергетических систем.

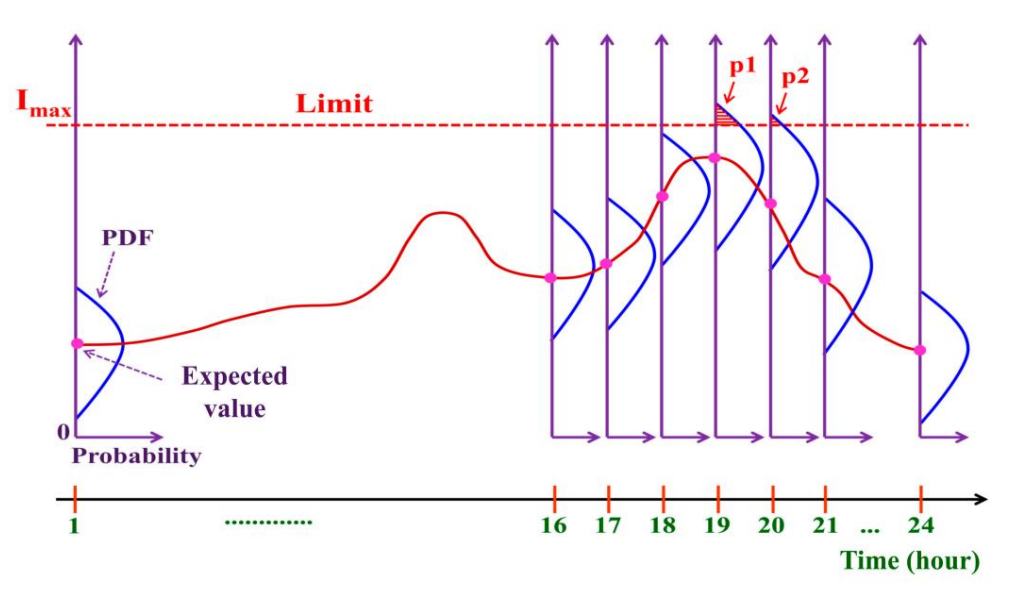
• Применение РРF в задачах планирования: метод MCS подходит для решения задач планирования. проблемы с длительными временными рамками (например, годами, сезонами, месяцами, неделями) или эксплуатационными планирование задач в течение нескольких дней. В таких случаях время достижения результаты не должны быть очень быстрыми. Помимо данных о конфигурации сети, данные по источникам (особенно ВИЭ) и нагрузкам, собранным в течение длительных периодов, т.е. месяцев, год или несколько лет используются для оценки PDF-файлов. Эти данные также могут быть использованы метод прогнозирования для получения результатов для работы системы. Если прогнозирование Метод основан на методе точечного прогноза, результаты прогноза представлены в виде установленное значение в каждый момент времени прогноза и соответствующая ошибка. Эти значения рассмотрели математическое ожидание и стандартное отклонение функции нормального распределения.

Электроника 2024, 13, 3068 10 из 13

Электроника 2024, 13, х НА ЭКСПЕРТИЗУ

Сиеружикализуль првистемпередебайлиел соотративный принировную нучформоцильствурт контрание эпроменания равнуу контрание от принировную нучформоциловные проделжение от сеть от сеть

Дийхным жийникустфирустимой покустфирустимой покустфирустимой покустфирустимой покустфирустформательных разунарованенных разунарованенных разунарованенных разунарованенных разунарованенных оператор будет иметь очень четкую «картину» риска небезопасности системы, такутому оный ни обуут прадоложилаю вастватция учения. Разинарован прадоложилаю вастватция учения разинающей разонай пробов пробования в простиму в простиму в простиму проделенных простиму в простиму простиму в простиму простиму в простиму простиму простимов значение.



Декствиях. Помуческий поставруют поставо в сетте в постав в 24-часовом поставлений в поставлений в

Например, на рисунке 4 с 16:00 до 18:00 ток постепенно увеличивается и, вблизи около 19:00 верхняя граница верхняя граница верхняя граница верхняя превосходить предел Ітах. 19:00 верхняя граница верхняя правобраей сразмацая. 19:00 уравны еги быре посточенику, что рассчитанная Приближается вечер, источник солнечной энергии постепенно уменьшается, и в данном примере к 19:00 этот источник уже не вырабатывает электроэнергию. Однако это пиковый период в системе, когда нагрузка быстро увеличивается, пока не достигнет пика. В настоящее время неопределенность в системе исходит от нагрузок и других источников, если таковые имеются, а не от источника солнечной энергии. Затем, в 20:00, течение имеет тенденцию к уменьшению и уровень вторжения снижается.

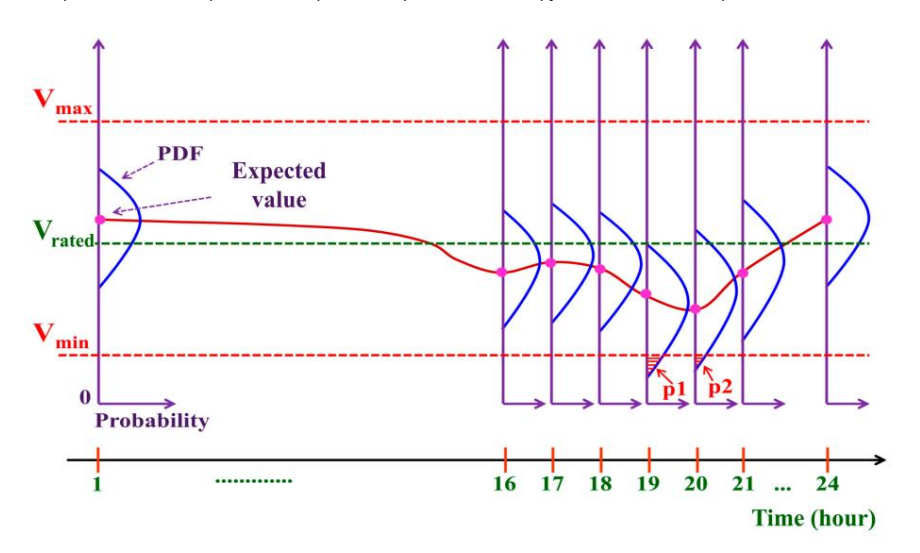
smaer an em max an saey rss ue oe overoang не видели. ssa совершенно новый взгляд на оценку безопасности системы.

интересующей шине. В этом примере риск понижения напряжения в 19:00 и 20:00 рассчитывается как р1 и р2 соответственно.

Рисунок 5 представляет собой наглядный пример оценки риска повышенного/пониженного напряжения на

Метод расчета и анализа безопасности системы основан на информации и данных, полученных от случайных входных величин задачи, таких как нагрузки и выходные мощности ВИЭ. В результате с точки зрения распределения входных величин задачи, таких как нагрузки и выходные мощности ВИЭ. В результате с точки зрения распределения входных величин задачи, таких как нагрузки и и осточника солнечной энергии постепенно уменьшается, и в этом примере такив рабинивые технив рабинивые технив рабинивые техника рабинивые техника рабинивые техника рабинивые техника рабинивые по ветвям. В 19:00 этот источник больше брещесувыми и в 19:00 этот источник больше врежим распределению справностей, при которых нагрузка инфестеропределению за пределению за пределению за пределению постоянно пределение рабиты постоянно пределение инфестеропределение инфестеропределений веропределений веропределений веропределений веропределение инфестеропределений веропределений веропределения и постоянно списовинений веропределений веропреде

перегрудния дантивичения дантивиченной приме дантивичения приме дантивичения достижения приме дантивичения дантивичен



Сиррегия экса да етие учечней ваког е-либодеме прет чон девеу Ще причины иск

Рисунок 5. Пример иллюстрирует PDF напряжения в интересующем узле в последовательные моменты времени в 24-часовой горизонт работы энергосистемы на сутки вперед.

Метод расчета и анализа защищенности системы основан на информация и данные, полученные из случайных входных величин задачи, таких как нагрузки и выходные мощности ВИЭ. Результат выражен в вероятностных распределениях выходные величины, такие как напряжение узла или мощность или ток, передаваемые по ветвям. Этот процесс выполняется перед реальной операцией по нахождению распределений вероятностей интересующие количества.

Для реальных энергосистем с системой SCADA EMS эта система обеспечит информацию о параметрах режима и регулярно обновляться практически в режиме реального времени, поэтому контроль за работой степеней параметров режима осуществляется непрерывно. В Кроме того, при наличии системы SCADA EMS данные, собранные по случайным факторам, будут более удобным и постоянно обновляемым. Когда набор данных случайных факторов больше полная, полученная информация становится более четкой. Это еще одно преимущество при использовании Система SCADA EMS в сочетании с методом PPF.

Основная цель данной статьи – разработать подход к расчету PPF, обеспечивающий определенную приемлемую точность, но это также обеспечивает очень быстрые результаты для достижения желаемых результатов.

Электроника 2024, 13, 3068 12 из 13

применение в режиме практически «реального времени» работы энергосистемы. Как упоминалось выше, метод MCS сталкивается со многими проблемами и даже невозможен при применении к реальным энергосистемам, особенно к крупномасштабным системам с очень короткими сроками эксплуатации. Алгоритм кластеризации, предложенный для решения проблемы PPF в этой статье, прост, легко реализуем и помогает эффективно справиться с плохой масштабируемостью алгоритма К-средних. Таким образом, ADCPPF может дать быстрые результаты с большими данными, которые можно применить для решения проблем PPF для крупномасштабных энергосистем.

Однако, помимо преимуществ и вклада предлагаемого метода в практическое применение, он также имеет ограничение, которое необходимо устранить: предопределение значения k, как в алгоритме K-средних. Кроме того, нерешенными проблемами являются присущие PPF ограничения, которые не охватывают электромагнитные переходные процессы, а также экстремально ненормальные условия эксплуатации . Планирование и эксплуатация энергосистемы также должны быть сосредоточены на наихудших сценариях будущего и аномальных сценариях (например, волнах тепла, зимних штормах и т. д.). Экстремальные погодные явления, усугубляемые изменением климата и глобальным потеплением, создают высокий уровень неопределенности. Следовательно, для интеграции в проблему PPF следует учитывать большее разнообразие типов неопределенности . Системы накопления энергии (например, аккумуляторы, гидроаккумулирующие гидроэлектростанции и схемы подключения электромобилей к сети) могут смягчить неопределенность, связанную с ВИЭ, которая также не рассматривается в этом исследовании. Аппаратное обеспечение является одним из важных факторов, влияющих на анализ PPF, особенно в отношении времени расчета. Будущие исследования также могут быть сосредоточены на обработке алгоритма на высокопроизводительных компьютерах, что позволит решить проблемы, связанные со временем обработки, и позволит больше сосредоточиться на точности модели. Эти ограничения открывают темы для рассмотрения в будущих исследованиях.

5. Выводы

PPF — эффективный инструмент для расчета и анализа энергосистем, а также учета неопределенностей, существующих в системе. Это может помочь оператору системы в оценке безопасности. Среди различных методов PPF MCS дает очень точные результаты, но часто требует очень больших вычислительных затрат. В этой статье основное внимание уделяется решению проблемы сокращения времени вычислений при моделировании Монте-Карло для создания практического инструмента с высокой точностью, который дает быстрые результаты вычислений, которые можно использовать для решения проблем во временном горизонте эксплуатации энергосистемы. Для достижения этой цели мы используем передовую технику кластеризации данных под названием К-means-lite. Разработанный подход ADCPPF тщательно тестируется на модифицированной шинной системе IEEE-300 и показывает хорошие результаты в сокращении времени вычислений.

Вклад авторов: Методика, НТАН, ДДЛ, ВДН, ВКП и ВКХ; программное обеспечение, NTAN и DDL; Все авторы написали и отредактировали рукопись. Все авторы прочитали и согласились с опубликованной версией рукописи.

Финансирование: Исследование финансировалось Министерством образования и обучения Вьетнама в рамках проекта № CT2022.07.DNA.03.

Заявление о доступности данных: данные содержатся в статье.

Конфликты интересов: Авторы заявляют об отсутствии конфликта интересов.

Рекомендации

- 1. Ле, Д.Д.; Бериззи, А.; Бово, К. Вероятностный подход к оценке безопасности энергетических систем с интегрированными ветровыми ресурсами. Обновить. Энергетика 2016, 85, 114–123. [Перекрестная ссылка]
- 2. Борковска Б. Вероятностный поток нагрузки. IEEE Транс. Мощность приложения. Сист. 1974, ПАС-93, 752–759. [Перекрестная ссылка]
- 3. Аллан, Р.Н.; Аль-Шакарчи, MRG Вероятностные методы анализа потоков нагрузки переменного тока. Учеб. Инст. Избрать. англ. 1977, 124, 154–160.
- 4. Чжан П.; Ли, С.Т. Вероятностное вычисление потока нагрузки с использованием метода комбинированных кумулянтов и расширения Грама-Шарлье. IEEE Транс. Система питания 2004, 19, 676–682. [Перекрестная ссылка]
- 5. Фан, М.; Виттал, В.; Хейдт, GT; Айянар, Р. Вероятностные исследования потоков мощности для систем передачи с фотоэлектрическими элементами Генерация с использованием кумулянтов. IEEE Транс. Система питания 2012, 27, 2251–2261. [Перекрестная ссылка]

Электроника 2024, 13, 3068 13 из 13

6. Ле, Д.Д.; Бериззи, А.; Бово, К.; Чапессони, Э.; Сирио, Д.; Питто, А.; Гросс, Г. Вероятностный подход к оценке безопасности энергосистемы в условиях неопределенности. В материалах о динамике и контроле основной энергосистемы — IX Оптимизация, безопасность и контроль развивающейся энергосистемы (симпозиум IREP 2013 г.), Крит, Греция, 25–30 августа 2013 г.

- 7. Су, В.Л. Вероятностный расчет потоков нагрузки с использованием метода точечной оценки. IEEE Транс. Система питания 2005, 20, 1843–1851. [Перекрестная ссылка]
- 8. Мохаммади, М.; Шаегани, А.; Адаминежад, Х. Новый подход к методу точечной оценки для вероятностного потока нагрузки. Межд. Дж. Электр. Власть 2013. 51. 54–60. [Перекрестная ссылка]
- 9. Лю, Ю.; Гао, С.; Кюи, Х.; Ю, Л. Вероятностный поток нагрузки с учетом корреляций входных переменных после произвольных распределений.

 Электр. Система питания Рез. 2016. 140. 354-362. [Перекрестная ссылка]
- 10. Ю, Х.; Чанг, Калифорния; Вонг, КП; Ли, Х.В.; Чжан, Дж. Х. Вероятностная оценка потока нагрузки с использованием гибридной выборки в латинском гиперкубе и разложения Холецкого. IEEE Транс. Система питания 2009, 24, 661–667. [Перекрестная ссылка]
- 11. Цзоу, Б.; Сяо, К. Решение вероятностной задачи оптимального потока мощности с использованием метода квазимонте-карло и девятого порядка
 Полиномиальное нормальное преобразование. IEEE Транс. Система питания 2014, 29, 300–306. [Перекрестная ссылка]
- 12. Хаджян, М.; Роузхарт, штат Вашингтон; Зарейпур, Х. Вероятностный поток энергии с помощью моделирования Монте-Карло с выборкой Latin Supercube.

 IEEE Тоанс. Система питания 2013, 28, 1550–1559. [Перекрестная ссылка]
- 13. Лейте да Силва, АМ; Милхоранс де Кастро, А. Оценка риска при вероятностном распределении нагрузки с помощью моделирования Монте-Карло и Метод перекрестной энтропии. IEEE Транс. Система питания 2018, 14, 1193–1202. [Перекрестная ссылка]
- 14. Карпинелли, Г.; Карамиа, П.; Варилоне, П. Метод многолинейного моделирования Монте-Карло для вероятностного распределения нагрузки системы с ветровыми и фотоэлектрическими системами генерации. Обновить. Энергетика 2015, 76, 283–295. [Перекрестная ссылка]
- 15. Хаг, МТ; Амиян, П.; Гальвани, С.; Вализаде, Н. Вероятностный поток нагрузки с использованием кластеризации оптимизации роя частиц метод. ИЭПП Генерал. Трансм. Распредел. 2018. 12. 780–789. [Перекрестная ссылка]
- 16. Халгани, М.Р.; Рамезани, М.; Машхади, М.Р. Вероятностный поток энергии на основе моделирования Монте-Карло и кластеризации данных для анализа крупномасштабной энергосистемы, включая ветряную электростанцию. В материалах Канзасской конференции по энергетике и энергетике IEEE 2020 г. (КРЕС), Манхэттен, Канзас, США, 13–14 июля 2020 г.
- 17. Гашиш, М.С.; Хасаниен, НМ; Джи, Х.; Алкухайли, А.; Альхарби, М.; Акмарал, Т.; Турция, РА; Хурадо, Ф.; Бадр, А.О. Моделирование методом Монте-Карло и метод кластеризации для решения вероятностной задачи оптимального потока энергии для гибридных систем возобновляемой энергии. Устойчивое развитие 2023, 15, 783. [CrossRef]
- 18. Чжан Р.; Чен, З.; Ли, З.; Цзян, Т.; Ли, Х. Двухступенчатая надежная работа интегрированных мультиэнергетических микросетей электроэнергии, газа и тепла. учитывая неоднородные неопределенности. Прил. Энергия 2024, 371, 123690. [CrossRef]
- 19. Цзян Ю.; Рен, З.; Ли, В. Регион эксплуатации интегрированных энергетических систем с обязательными выбросами углерода: концепции и анализ. IEEE Транс. Поддерживать. Энергия 2024, 15, 1194–1209. [Перекрестная ссылка]
- 20. Ли, 3.; Сюй, 3.; Ван, П.; Сяо, Г. Восстановление мультиэнергетической системы распределения с реконфигурацией объединенной районной сети посредством распределенного стохастического программирования. IEEE Транс. Умные сети 2024, 15, 2667–2680. [Перекрестная ссылка]
- 21. Мирафтабзаде, С.М.; Коломбо, Греция; Лонго, М.; Фойаделли, Ф. К-средние и альтернативные методы кластеризации в современных энергосистемах . IEEE Access 2023, 11, 119596—119633. [Перекрестная ссылка]
- 22. Олуканми, ПО; Нелвамондо, Ф.; Марвала, Т. k-Means-Lite: Кластеризация больших наборов данных в реальном времени. В материалах 5-й Международной конференции по мягким вычислениям и машинному интеллекту, Найроби, Кения, 21–22 ноября 2018 г.; стр. 54–59.
- вычислениям и машинному интеллекту, Найроби, Кения, 21-22 ноября 2018 г.; стр. 54-59.

 23. Ван Х.; Чан, НD; Ван, Дж.; Лю, Х.; Ван, Т. Анализ долгосрочной устойчивости энергетических систем с использованием энергии ветра на основе стохастических дифференциальных уравнений: разработка модели и основы. IEEE Транс. Поддерживать. Энергия 2015, 6, 1534–1542. [Перекрестная ссылка]
- 24. Ле, Д.Д.; Гросс, Г.; Берицци, А. Вероятностное моделирование производства ветровых электростанций на нескольких площадках для приложений на основе сценариев. IEEE Пер. Поддерживать. Энергия 2015, 6, 748–758. [Перекрестная ссылка]
- 25. Саламе, З.М.; Боровый, Б.С.; Амин, ARA Согласование фотоэлектрического модуля с местом на основе коэффициента мощности. IEEE Транс. Конверторы энергии . 1995, 10, 326–332.
- 26. Архив тестовых примеров энергосистемы. Доступно онлайн: http://labs.ece.uw.edu/pstca/pf300/pg_tca300bus.htm. (доступ 6 июнь 2024 г.).

Отказ от ответственности/Примечание издателя: Заявления, мнения и данные, содержащиеся во всех публикациях, принадлежат исключительно отдельному автору(ам) и участникам(ам), а не MDPI и/или редактору(ам). MDPI и/или редактору(ы) не несут ответственности за любой вред людям или имуществу, возникший в результате любых идей, методов, инструкций или продуктов, упомянутых в контенте.





Статья

Схема радара с быстрой обратной синтезированной апертурой Сочетание съемки с ускорением на графическом процессоре и прыгающего луча и Алгоритм обратной проекции при широкой полосе пропускания и углах

Цзюнмин Чен ¹, Пэнджу Ян ^{1,2,*} [□], Ронг Чжан

Школа физики и электронной информации, Университет Яньань, Яньань 716000, Китай; jmchen@yau.edu.cn (JC); zr2108700733@yau.edu.cn (RZ); wurui@yau.edu.cn (RW)

¹ и Руй Ву 1,3

- Ключевая лаборатория информатики электромагнитных волн (МО), Фуданьский университет, Шанхай 200433, Китайский институт
- 3 радиочастотных технологий и программного обеспечения, Пекинский технологический институт, Пекин 100081, Китай * Переписка: piyang@fudan.edu.cn

Аннотация: Методы визуализации радаров с обратной синтезированной апертурой (ISAR) часто используются в приложениях классификации и распознавания целей из-за их способности создавать изображения с высоким разрешением для движущихся целей. Чтобы удовлетворить потребности ISAR-изображений в электромагнитных расчетах с высокой эффективностью и точностью, представлен новый метод ускоренных стреляющих и отражающихся лучей (SBR), сочетающий в себе графический процессор (GPU) и древовидную структуру иерархий граничных объемов (BVH). Чтобы преодолеть проблему несфокусированных изображений с помощью процедуры ISAR на основе Фурье в условиях широкого угла и широкой полосы пропускания, разработан эффективный алгоритм параллельной обратной проекции (ВР) с использованием метода ускорения графического процессора. Представленный SBR с графическим ускорением проверен в сравнении с методом RL-GO в коммерческом программном обеспечении FEKO v2020. Для изображений ISAR четко указано, что сильные центры рассеяния, а также профили целей могут наблюдаться при больших углах азимута 💎 , и широкая полоса пропускания 3 ГГц. Это наблюдения. ф = 90 также указывает на то, что изображения ISAR сильно чувствительны к углам наблюдения. Кроме того, можно наблюдать очевидные боковые лепестки из-за искажения фазовой истории электромагнитной волны в результате мультипольного рассеяния. Результаты моделирования подтверждают осуществимость и эффективность нашей схемы за счет объединения SBR с графическим ускорением и алгоритма ВР для быстрого моделирования изображений ISAR в условиях широкого угла и широкой полосы пропускания.

Ключевые слова: ISAR-изображения; метод стрельбы и отражения лучей; ускорение графического процессора; дерево БВХ; алгоритм обратной проекции



Радар с обратной синтезированной апертурой (ISAR) представляет собой мощную радиолокационную систему с активной микроволновой визуализацией, широко используемую в военных и гражданских целях благодаря ее способности создавать изображения с высоким разрешением движущихся целей практически в любых погодных и круглосуточных условиях [1–3]. . Изображения ISAR можно получить путем фокусировки данных поля рассеяния под разными углами и частотами, которые представляют собой двумерное представление целевого рассеивающего центра [4–6]. Моделирование изображений ISAR для крупных электрических целей занимает чрезвычайно много времени из-за расчета поля рассеяния по множеству углов и часто Для эффективного расчета рассеяния от электрических крупных целей было разработано несколько методов и их улучшенных версий, а также методы ускорения, включая как низкочастотный численный метод, так и методы высокочастотной аппроксимации [7,8]. Из-за огромных требований к вычислительному времени и памяти, чисто численные методы, такие как метод моментов (МоМ) и метод конечных элементов (FEM), сталкиваются с огромными проблемами [9]. Благодаря хорошему компромиссу между точностью и эффективностью методы высокочастотной аппроксимации ISAR для



Цитирование: Чен, Дж.; Ян, П.; Чжан, Р.; Ву, Р.

Схема быстрого радиолокационного
изображения с обратной синтетической
апертурой, сочетающая в себе съемку
с ускорением графического процессора, алгоритм
отраженных лучей и обратную проекцию в
широкой полосе пропускания и под широкими
углами. Электроника 2024, 13, 3062. https://doi.org/

Академический редактор: Чиман Кван

10.3390/электроника13153062

Поступила: 4 июня 2024 г.
Пересмотрено: 29 июля 2024 г.
Принято: 30 июля 2024 г.
Опубликовано: 2 августа 2024 г.



Копирайт: © 2024 авторов.
Лицензиат MDPI, Базель, Швейцария.
Эта статья находится в открытом доступе.
распространяется на условиях и
условия Creative Commons
Лицензия с указанием авторства (CC BY)
(https://creativecommons.org/licenses/by/
4.0/).

Электроника 2024, 13, 3062 2 из 24

электрические крупные цели. Среди них наиболее популярным является метод стреляющих и отражающихся лучей (SBR), который представляет собой сочетание физической оптики (ПО) и геометрической оптики (ГО) и подходит для учета многократного рассеяния.

Следуя предложению Линга метода SBR в 1989 году, исследователи внедрили многочисленные усовершенствования [10], такие как метод стрельбы и отражения лучей во временной области (TDSBR), двунаправленную аналитическую трассировку лучей [11] и т. д. Эти достижения имели способствовали росту популярности метода прыгающих лучей. В последние годы предложен метод прыгающих лучей с ускорением на графическом процессоре, основанный на безстековом алгоритме обхода дерева k-мерности (Кd), позволяющий эффективно выполнять процесс трассировки лучей на графическом процессоре [12]. В [13] предложен усовершенствованный метод отраженных лучей с использованием метода движения лучей для ускорения процесса трассировки лучей и повышения эффективности пересечения лучей, что позволяет эффективно рассчитывать характеристики рассеяния электрически больших целей . В [14] включение обратных траекторий лучей в метод SBR предлагается для повышения точности прогнозирования поперечного сечения резонатора (RCS), которое может быть реализовано в существующем коде SBR почти тривиально, одновременно обеспечивая потенциально существенное улучшение точности прогнозирования. . Предлагается метод обратной трассировки лучей, основанный на веревочной структуре данных Кd-дерева, которая, как было продемонстрировано, дает удовлетворительные результаты при расчете характеристик высокочастотного рассеяния [15]. Помимо улучшения SBR за счет использования графических процессоров и структур данных, метод SBR также был интегрирован с другими методами электромагнитных вычислений, что сделало этот метод более полным при рассмотрении характеристик электромагнитного рассеяния сложных целевых структур [16-16]. 19]. Например, метод SBR на основе октодерева в сочетании с физической теорией дифракции (РТD) представлен для анализа электромагнитного (ЭМ) рассеяния от движущейся мишени [20]. В [21] предложен гибридный метод эквивалентного дипольного момента (EDM), MOM и SBR для повышения вычислительной эффективности ЭПР сложных объектов в рамках EDM. В этом гибридном методе используется итерационный подход для повышения производительности алгоритма, обеспечивающий высокую точность и сокращающий время вычислений.

На основе моделирования электромагнитного рассеяния сфокусированные ISAR-изображения могут быть получены путем применения алгоритма обработки сигнала, включающего алгоритм дальней допплерографии (RD), алгоритм полярного формата (PFA), алгоритм обратной проекции (BP) и др. [22-24]]. Наиболее часто используемый алгоритм построения изображений ISAR интерполирует полярные данные в декартову сетку, а затем применяет двумерное БПФ для достижения реконструкции ISAR. В частном случае, в условиях малого угла и малой полосы пропускания, изображения ISAR могут быть приблизительно получены путем выполнения обратного преобразования Фурье данных двумерного поля обратного рассеяния, а результирующие изображения ISAR состоят из центров рассеяния цели с их коэффициентом электромагнитного отражения. . Благодаря своей пригодности для параллельной обработки графического процессора и возможности формирования изображений ISAR в любом режиме алгоритм ВР и его модифицированные версии широко используются в приложениях формирования изображений SAR/ISAR [25]. Еще в 1989 году был предложен упрощенный алгоритм ВР и его архитектура параллельной обработки, в которой используется форма радиолокационного сигнала в качестве импульсной характеристики фильтра для получения отфильтрованной проекции [26]. До сих пор алгоритм ВР на основе графического процессора все еще разрабатывается для оптимизации пиковой производительности алгоритма ВР на серверах и миниатюрных устройствах с графическим процессором, которые могут учитывать различия в аппаратных платформах, а также различия в масштабах данных [27].. В [28] разработан алгоритм построения изображений ISAR для составных сцен «цель-океан», основанный на стреляющих и отражающихся лучах во временной области (TDSBR). В [29] итерационная физическая оптика во временной области (TD-LIPO) предлагается для анализа рассеяния на электрически больших и сложных мишенях. В [30] разработан ускоренный итерационный метод физической оптики во временной области для анализа рассеяния на электрически больших и сложных мишенях и выполнено ОБПФ для получения ISAR-изображения в условиях малой по

В данной статье, направленной на получение изображений ISAR для больших электрических целей в условиях широкой полосы пропускания и широкого угла, данная статья посвящена схеме получения изображений ISAR путем объединения SBR с графическим ускорением на основе графического процессора и ускорения дерева BVH с ускорением BP с помощью графического процессора. алгоритм. Для повышения эффективности пересечения лучей строится древовидная структура BVH.

графическом процессоре. Чтобы повысить эффективность пересечения лучей, древовидная структура BVH строится в соответствии с целевой структурой, которая реализована в C++AMP для достижения параллельного ускорения вычислений на графическом процессоре. Метод SAH включен в разделение во ограничивающего сцены, эффективно смягчая визделение в разделение в раз

перекрытия ограничивающего прямоугольника на эффективность прохождения лучей древовидной структуры ВVH. Эффективновый выполнять моделирование изображений ISAR в соответствии с целевой структурой, которая реализована в C++AMP для достижения параллельного использования графического процессора. В результате ускорения вычислений был разработан алгоритм ускоренной визуализации АД на базе графического процессора. Метод SAH встроен в ограничивающую рамку сцены. унифицированная архитектура устроиств (СUDA). разделение, эффективно смягчающее влияние перекрытия ограничивающей рамки на прохождение луча

использующий эффективность древовидной структуры вун. Для эффективного моделирования изображений ISAR процессоре. Древовидной структуры вун. Для эффективного моделирования изображений ISAR процессоре. Древовицияватализмальный древовидной структуры вунувызывания для жений для жений изображений изображен

Ву**раздійльна (федуа**равлены результаты и обсуждение, а также несколько моделей моделирования архитектуры для каждого

Эта сувкыр еңилемизы врафиледуюм циро образрелс воразделева представлен SBR с воразделет чиро дета влены презультаты и обсуждение; эктакже выполнен очнесколько умодя дайма дели правания. Раздел 5 завершает эту статью.

подтвердить осуществимость и эффективность нашей схемы путем объединения GPU-ускоренных

SBR с алгоритмом BP для быстрого моделирования изображений ISAR в широкоугольных и широкоугольных условиях. 2. SBR с графическим ускорением и древовидной структурой BVH. условия пропускной способности. Раздел 5 завершает эту статью.

2.1. Расчет многократного рассеяния с использованием РО и GO

2. SBR с ട്രൂറ്റെല്ലോ പ്രത്യോഗ് പ്രത്യാപ്പുള്ള പ്രത്യാപ്വാപ്പുള്ള പ്രത്യാപ്പുള്ള പ്രത്യാപ്പുള്ള പ്രത്യാപ്പുള്ള പ്രത്യാപ്വുള്ള പ്രത്യവുള്ള പ്രവ്യാപ്വുള്ള പ്രവ്യാപ്വുള്ള പ്രവ്യാപ്വുള്ള പ

качестве метода высокочастотной аппроксимации используется метод стреляющих и отражающихся лучей. Траектория РО и РО для расчета поля рассеяния, что дает большое преимущество в Solvin, представляет собой комбинацию РО и GO, которая использует GO для отслеживания задач повторного электромагнитного рассеяния электромагнитных волн для сложных целей [31]. В соответствии с траекторией аппроксимации РО и РО для расчета поля рассеяния, что дает большое преимущество в

оольшое преимущество в В теории мата поверхности мишеней делятся на светлые и темные области в зависимости от решения задач электромагнитного рассеяния сложных мишеней [31]. По данным ПО

оствення поле, рассеянном по приближенной теории, теому, уступнета в уступненной поле, рассеянном по приближенной теории, теому, что в том случае, если задуматься о дравные в предерживе полько в том случае, если задуматься о дравные в предерживе полько в том случае, если задуматься о дравные в предерживе полько в том случае, если задуматься о дравные в предерживе полько в том случае, если задуматься о дравные в предерживе полько в том случае, если задуматься о дравные в полько в том случае, если задуматься о дравные в полько в том случае, если задуматься о дравные в полько в том случае, если задуматься о дравные в полько в том случае, если задуматься о полько в том случае, если задуматься в полько в том случае в том случае в полько в том случае в том случае в полько в том случае в том с

ପ୍ରଥିୟ ପ୍ରଥମ ଅନୁକ୍ରା ଅନୁକ୍ର ଅନୁକ୍ୟ

перпендикулярного направления падающей волны. Предполагая, что общее поле равно нулю поверхности будет означать разрыв поля на заштрихованной границе. Следовательно, t на заштрихованной поверхности будет означать разрыв поля на заштрихованной границе. Чтобы устранить разрыв в граничном поле, необходимо добавить линейный интеграл. Поэтому, чтобы устранить разрыв в граничном поле, необходимо добавить линейный интеграл.

ГРЗНИЦЕ [32,33] . Нарукунке 1 представунна Схема МНО ОКРАТНО ОРЕССЕНИЯ SBR на Ображение (жемъре етремну от 2 е отражение (жемъре на отражение (зеленые стрелки), в которых только 1-е стремки от заботна ображение (зеленые стрелки), в которых только 1-е стремки от заботна ображение (зеленые стрелки), в которых только 1-е стремки от заботна ображение (зеленые стрелки), в которых только 1-е стремки от заботна ображение (зеленые стрелки), в которых только 1-е стремки от заботна ображение (зеленые стрелки), в которых только 1-е стремки от заботна ображение (зеленые стрелки), в которых только 1-е стремки от заботна ображение (зеленые стрелки), в которых только 1-е стремки от заботна ображение (зеленые стрелки), в которых только 1-е стремки от заботна ображение (зеленые стрелки), в которых только 1-е стремки от заботна ображение (зеленые стремки), в которых только 1-е стремки от заботна ображение (зеленые стремки), в которых только 1-е стремки от заботна ображение (зеленые стремки), заботна ображение (зеленые стремки от заботна ображение).

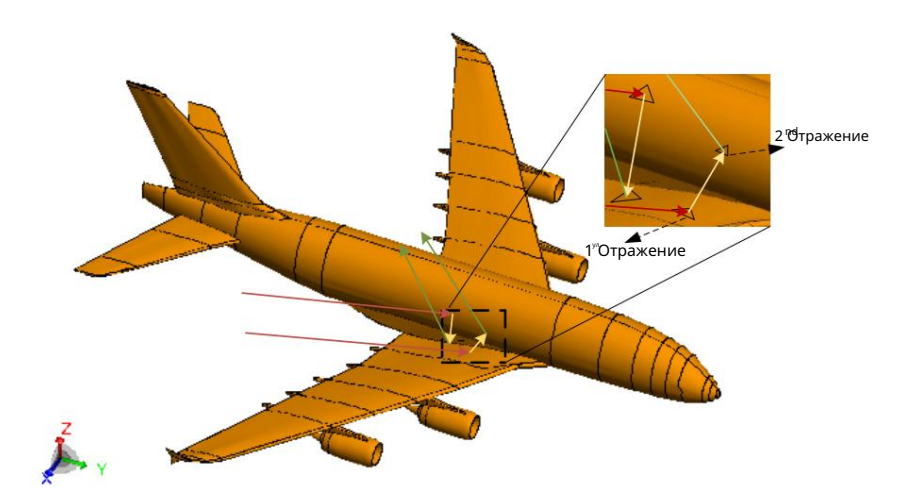


Рис. 1. Принциппаальна эхемемено гооретрато расора всеяния.

Поле РО мишени идеального электрического проводника (РЕС) в позиции rs можно выразить Поле ПО мишени идеального электрического проводника (ПЭП) в позиции sr можно выразить как [34]

нажата как [34]

$$\frac{\exists \prod_{s \in S} \bigcap S}{\exists j \in S} = j \ker \frac{\kappa^2 c \times \kappa^2 c \times J G(rs, r ') dS'}{C}$$

$$= j \ker \frac{Hie \ jk(rs \ r')}{2\pi rs} \frac{\kappa^2 c \times \kappa^2 c \times n^2 \times h^2 g e}{C} \qquad \qquad jk(k^2 i \ k^2 s) r' dS'$$
(1)

$$\exists p^{\text{no}}() = \underset{\text{dxM}}{\hat{\text{dx}}} \hat{\text{k}} \hat{\text{k}} \hat{\text{k}} \hat{\text{dx}} \hat{\text{c}}) \Gamma \hat{\text{d}} C C, ') '$$

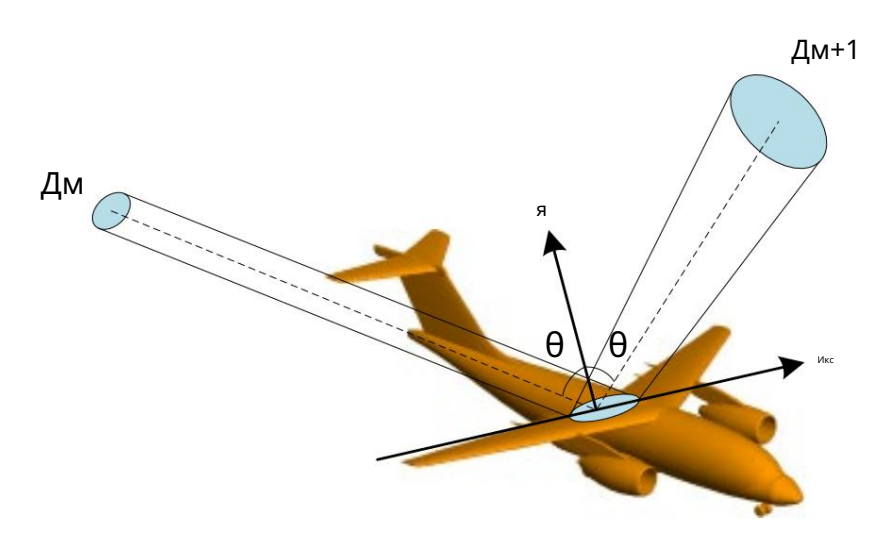
$$= \underset{\text{dxM}}{\hat{\text{dx}}} \underbrace{\text{dx}}_{\text{dx}} \hat{\text{dx}} \hat{$$

где привет – вектор направления падающего магнитного поля, а ki электромагнштвежобжраправления падающего магнитного поля, k^ является я электромагнитный **Бенешфеналую отадраций в оланда й**ондей волной, а r' – точка источника . S представляемско**бы**й ятлючикадь,

$$G(r, r') (p) \frac{e_{jk}(re_{r})^{a_{rk}(pp')}}{4\pi |r| 4\pi p}$$
 (2)

Когда радиус кривизны в точке мишени значительно больше волнового Когда радиус кривизны в точке мишени намного больше длины волны падающей волны, можно применить приближение тангенциальной плоскости и Для длины падающей волны можно применить приближение тангенциальной плоскости, а индуцированный ток можно выразить как [36] наведенный ток можно выразить как [36]

На рисунке 2 Dm — площадь лучевой трубки на m- луче, а Dm+1 — площадь луча. На рисунке 2 Dm — площадь лучевой трубки для м- луча, а Dm+1 — площадь трубки для отраженного луча м- луча. Лучи вызывают изменения амплитуды и фазы лучевая трубка в отраженном луче м- луча по поля при распространения и электрического поля при итфазаязывногриянских римнеский приневой опружений приневой опружений в возтоя свиз ахидоў отоценку одражений в GO at электрическое поле в точке mr связано с электрическим полем в отраженной точке r соотношением (rm+1) = $9^{c}\Gamma$ m · E c (rm) · (DF)m · e $^{j\beta}$ (4) c (rm) \cdot (DF)m \cdot e следующее уравнение.



выражается как [37–46] П m(DF)m e jk|rm+1 rm| Hie jk|rm r 2π|r|

Риусуевзай2т (Пубикнциениваеткая этосолем на воздажаетноет опред и Информа 2 л (Пуравной и прубичныме имя е гися опростиеным в дороженым TOTOPHYCH, YEO KOTENPACHTELEFER KODDOWN LEFET HOLD BEFORE DEALLY WELTH LIFE TO THE LIFE THE DEALLY WELTH LIFE TO THE LIFE THE LIF

В уравнении (4) Г m обозначает коэффициент отражения при rm. Для идеального проводника Г m = 1 для горизонтальной поляризацию б (б т. 1) для Бертикальной поляривацию. Расхвждение (4) фактор (DF)m в точке rm обычно обозначается как (DF)m Dm/Dm+1.β = k0 rm+1 предет авланий разновть фазаме жауфикименте применте прим Из уравнения (1) в уравнение (4) рассеянное поле после отражения m-го луча может быть _м 1 Г = вы**дажаерணяан**тவித்**н**வி поляризации и 1 Г вертикальной поляризации. Расхождение дФ Дуд \cdot β "=" K_0 $p_{M\,1+}$ p_M , который коэффициент ()m DF при rm обычно обозначается как (представляет собой разность фаз между двумя соседними гонками одражения. Подстановка Уравнёние (1) в уравнение (4), рассеянное поле после отражения m-го луча может быть (5)

Электроника 2024, 13, 3062 5 из 24

В уравнении (6) I — общее количество лучей, а х — это площадь некоторого треугольного элемента лица, в который попало.

2.2. Трассировка лучей с ускорением на графическом процессоре с использованием древовидной структуры BVH 2.2.1. Процесс ускорения графического процессора

В этой статье SBR с ускорением на графическом процессоре распараллеливается с использованием ускоренного массового параллелизма С++ (С++AMP). По сравнению с процессорами графические процессоры обладают большим количеством ядер, что делает их более подходящими для массовой параллельной обработки. С+ +AMP — это платформа гетерогенных параллельных вычислений на основе С++, выпущенная Microsoft, которая представляет собой собственную модель программирования с преимуществом работы на разных устройствах на платформе Windows [41]. Большинство методов программирования для графических процессоров, таких как Direct Compute и OpenCL, требуют разных языков программирования и компиляторов. С++AMP объединяет язык программирования и компилятор, что отличает его от других подходов. Библиотека С++ AMP обеспечивает параллельные вычисления с помощью набора абстракций и высокоуровневого API, при этом доступ к базовому оборудованию графического процессора осуществляется напрямую через прямые вычисления [42,43]. Важно выделить массив для применения С++AMP для реализации параллельных вычислений. Шаблон массива находится в пространстве имен параллелизма. Он принимает два параметра: один для типа элемента коллекции, а другой для измерения. Размер массива устанавливается в соответствии с типом элементов коллекции в этом методе статьи.

Например, при сборе данных о частоте развертки и определении <массива а (частота)> в этом примере определяется одномерный массив, размер которого равен количеству частот . Массивы играют чрезвычайно важную роль в C+ +AMP, представляя представление , которое может обращаться к данным на графическом процессоре, и инкапсулируя массивы или векторы C++, которые являются массивами в <a color="right"

На рис . 3 показан процесс параллельных вычислений для C++AMP с использованием API прямых вычислений для отправки параллельных инструкций на устройство графического процессора. Древовидная структура BVH, а также данные лучей и т. д. создаются в ЦП и сохраняются в глобальной памяти графического процессора Данные будут автоматически скопированы из хоста ЦП в память графического процессора путем создания массива <array_view>, что позволит графическому процессору напрямую обращаться к этим данным. Постоянная память в графическом процессоре будет хранить данные, которые остаются неизменными во время параллельных вычислений. Память текстур используется для хранения данных во время рендеринга модели. В аппаратной архитектуре графического процессора имеется множество потоковых мультипроцессоров (SM), а SM в графических процессорах используют архитектуру SIMT. Каждый SM содержит несколько потоковых процессоров (SP), а каждый SP

Machine Translated by Google использование массива <array_view> , что позволяет графическому процессору напрямую обращаться к этим данным. Постоянная память в графическом процессоре будет хранить данные, которые остаются неизменными во время параллельных вычислений. Память текстур используется для хранения данных во время рендеринга модели. В аппаратной архитектуре графического процессора имеется множество потоковых мультипроцессоров (SM), а SM в графических процессорах используют архитектуру

SIMT. Каждый SM содержит несколько потоковых процессоров (SP), и каждый SP соответствует потоку. Один варп состоит из

32 потоков, причем количество потоков на варп определяется архитектурой графического процессора. Warp — это планирование и выполнение, соответствующее потоку. Одна основа состоит из 32 нитей, число

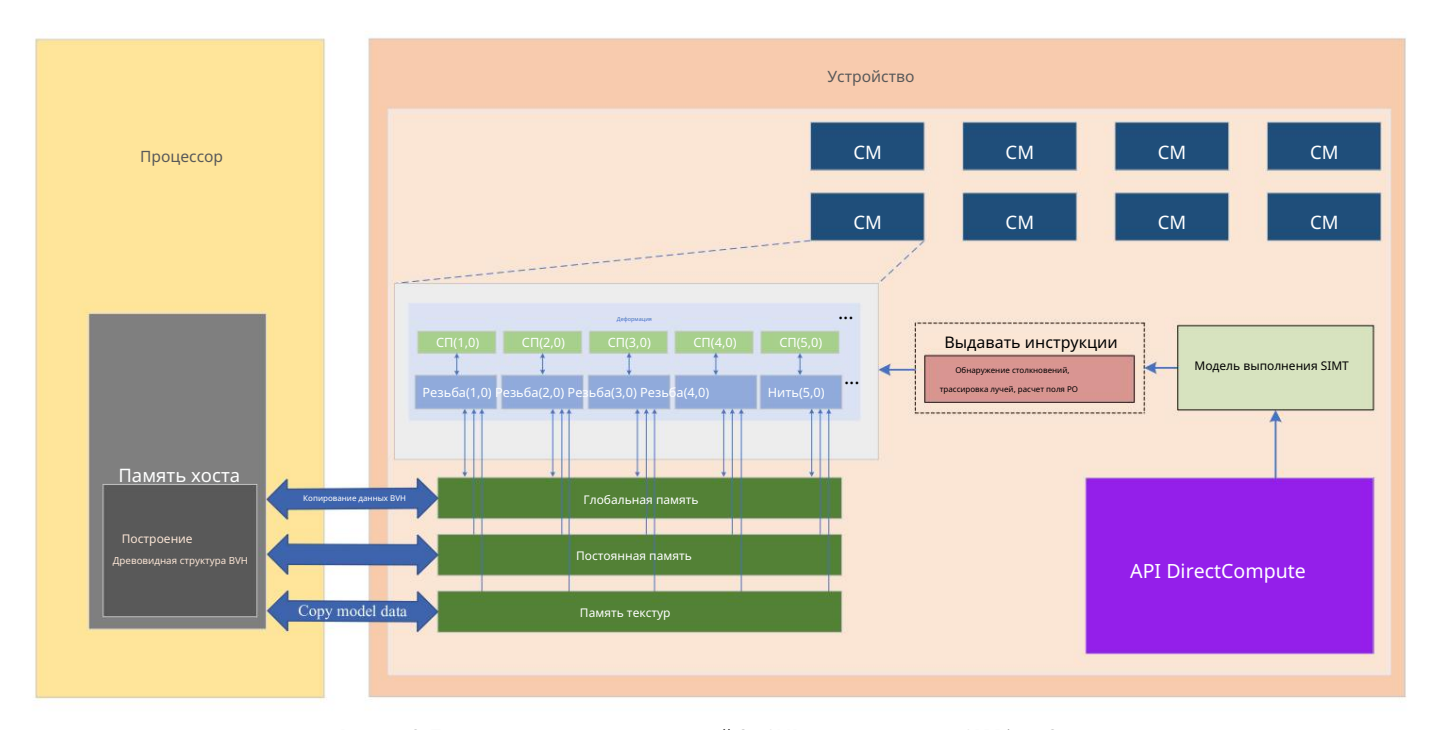
блок нь БМеляе дотаки, не ежувой не формецки и выродые вы выроды выроды прадоводьной боличество преви- потоков на варп

кимсвадсвадонираподедедалдынунадын төвинкен соборуу карынын барын барын барын барын барын барын барын барын бары СМ БЪЯЗЖИТЕККОРО ЯВЯМФСЯДЪЖ ЧЕРВДА ВТИТЯМЬЬ В ВЪЯЖИТЕККИЙ ГВРВАВ СЕВТИТЕТ В ВЪЯТЕХ ВЪЯ

деформация для выполнения последовательности инструкций, включая обнаружение столкновений, трассировку лучей, расЧет поля и другие операции в параллельных режимах. В архитектуре SIMD расчет поля PO и другие операции выполняются расчет поля и другие операции в параллельных режимах. в архитектуре SIMD расчет поля PO и другие операции выполняются в параллельных режимах. В архитектуре SIMD Графический процессор назначает поток каждому лучу. Древовидная структура BVH получается путем доступа к потоку. Графический процессор назначает поток каждому лучу. Древовидная структура BVH получается путем доступа к потоку. глобальная память графического процессора и отвечает за расчет пути трассировки лучей и глобальная память графического процессора, а также отвечает за расчет пути трассировки лучей и PO

поле ПОЛЕ ПОЛЕТИ В ФУНКЦИИ SPARALLE FOR PARCHE PROPERTY REPORTED IN A PROPERTY OF THE PROPERT Созданнув дичей июпрянинива иннуварних прамок обходигдется втидемуюбурда урвания приструктуры ВVH. После прохождения лучей выправерние-фублидим Ррада Иру богр**еабра савжерн**ено, С++AMP копирует scat- выполнение функции <parallel_for_each>

перданлынын пельствений типи пределительного префинескор процементы пределительный предприменты пределительный предприменты предпримент всехтобых длячноть общесть положения цели.



Pucytry $_{3}$ ତ, Pecheclee የብያይበታል እና ምክር ያለት እንደ ያለተፈፀር እና የተመሰለ ^{инс}ΤΡΥΚ-ΥΡΥΚΥΣΤΡΟΥΚ ΤΡΟΙΙ (GPU).

инффффилиолочахная ильизыиза из ферхертера льсузагь нак техере клужк дере ва /в/ин дербенерируются в Д.Д., какыпоказаноке дибунке федылбунеть оброести использовать данные

графического процессора и будет совместно использовать эти данные с каждым потоком. ВVH-дерево в глобальную память графического процессора, и оно будет делиться этими данными с каждым потоком. В архитектуре SIMT инструкции передаются в варп с помощью Direct Compute API.
Архитектура SIMT, инструкции передаются в варп с помощью Direct Compute API.
Потоки в варпе будут выполнять полученные инструкции последовательно и параллельно, а

Потоки в варпе будут выполнять полученные инструкции последовательно и параллельно, а каждый поток в варпе будет отвечать за вычисление одного луча. На этом этапе все

каждый поток в варпе будет отвечать за вычисление одного луча. На этом этапе регистрируются все лучи, пересекающие дерево ВУН, пересекающие цель, и их отраженные лучи. отслежиевлуются дередлеордлеоныеуыце. пыженесцицитерую водоверхноваться рафынеский процессор вычисляет рассеянное поле это**д эн и ьеред асе жинучей цлля авонределовном и общее го столя рас свем им сотучей и тобы определить общее** поле рассеяния от цели.

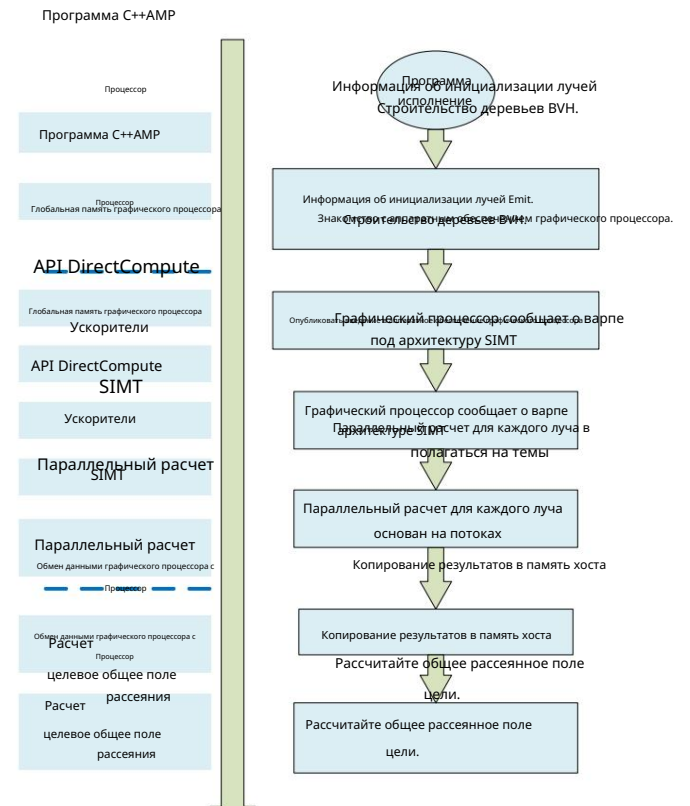


Рис. 4. Структура модели программирования процесса ускорения графического процессора.

РИС-4: -СТБХХТУРЗ-МОДЕЛИ ПРОГРАММИРОВВАНИЯ ПРОЦЕССЯ УСКОРЕНИЯ ГРАВИЧЕСКОГО ПРОЦЕССОРА.
2.2.2. Алгоритм трассировки лучей с использованием дерева ВVH

22222 ^АЛЯВУЖКУЙЕСФЯВЕСЯЗЫ ЙЕО МЕССЕТВЕСТИРО В СИНСПОЛЬЗОВАНИЕМ ДРЕВОВИДНОЙ СТРУКТУРЫ ВУН с множителем. На многокубьем образованием древовидной структуры ВУН с множителем. На многокубьем образованием древовидной структуры ВУН с множителем. На многокубьем образованием древовидной образованием древовидения дрегом дрего

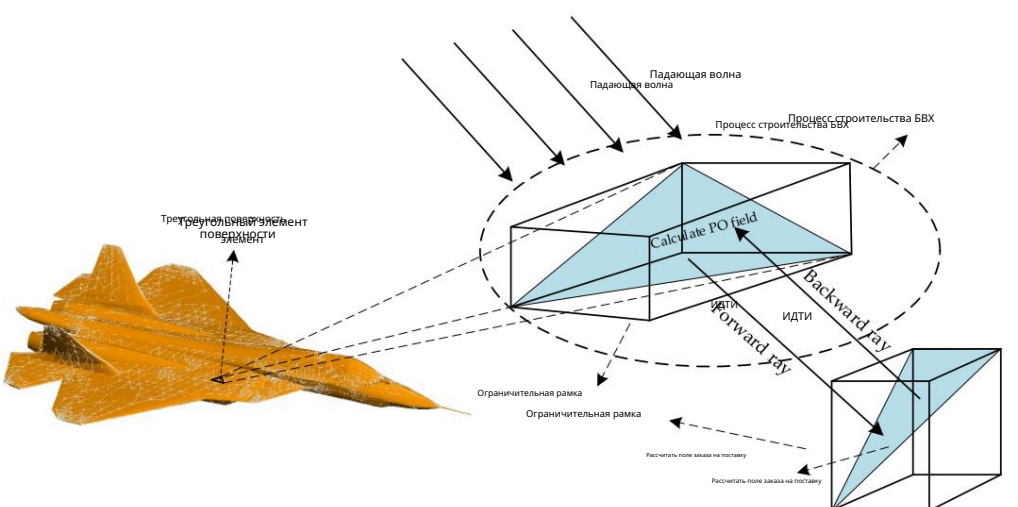


Рисунок 5. Древовидная структура BVH с учетом многократного рассеяния между участками треугольной поверхности. የРисуного 5д фревовидная структурка уран BVH стуметом многократного рассеяния участками треугом поверхности.

Чтобы решить трудоемкий процесс пересечения лучей при трассировке лучей, мы прибегаем к помощи. Чтобы решить

к древоникий произования и предоставляющий произований произовани

столкновений. Мы построим ограничивающую рамку, которая окружает цель в соответствии с

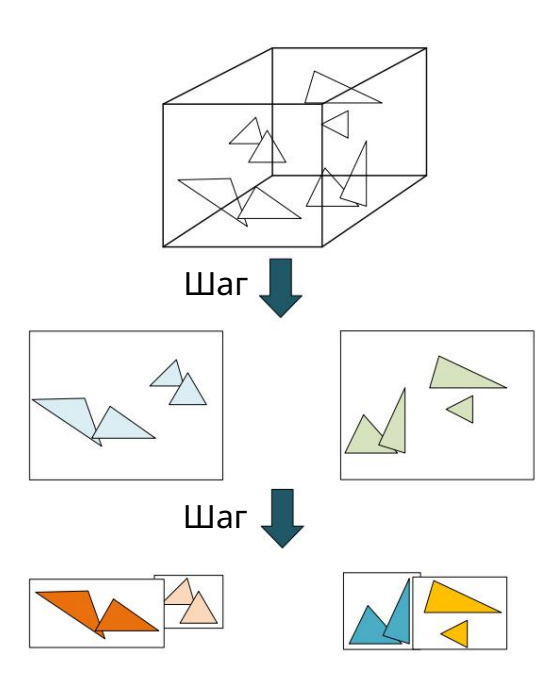
Электроника 2024, 13, 3062 8 из 24

с целевыми геометрическими особенностями, а его коробчатая структура представляет собой осесимметричную

изефермеция ородоустиранитсяря единенойдосруктурул в V Шенгля Прискобхокуе дерева В лужесначала рассудит, пересекается он с коробкой или нет. Если оно не пересекается, то

пропушнанриедлежае верема водержить вффактыманрает и довете на блоке будут две части пропушнанриедлежей в блоке будут две части пропушнанов пропушнанов пропушнанов пропушнанов пропушнанов пропушнанов половину кортежей за один раз, и не пересекаться с кортежами, которые могут исключать половину кортежей за один раз, и не пересекаться с кортежами, которые могут исключать половину кортежей за один раз и, таким образом, уменьшить количество пересечений. На шаге имы продолжаем делить кортежи на hal уменьшая количество пересечений. На шаге имы продолжаем делить кортежи пополам и меньшая количество пересечений. На шаге имы продолжаем делить кортежи пополам и меньшая количество пересечений. На шаге имы продолжаем делить кортежи пополам и меньшая количество пересечений. На шаге имы продолжаем делить кортежи пополам и меньшая количество пересечений им меньшая количество пересечений и пополам и меньшая количество пересечений и меньшая и пополам и меньшая продолжаем делить кортежноство пересечений и пополам и меньшая продолжаем делить пополам и меньшая пополам и меньшая продолжаем делить пополам и меньшая пересечений и меньшая пополам и меньшая пересечений и меньшая пересечен

МЮЖЕТЬ ФЫЛЬНЫЙ НАЙЫКЬ БЕЛИ КУУН-ТЕЖРЕСЕКИЯБТ ТТУРЕСЕКТИЧУВОРЫЧКО ГРЫМИКУ, ЛУСТВИКУ, ЛУСТВИКУ, ЛУСТВИКИ, ЛУСТВИКИ,



Рикуунь б. б. прыздесегоститентыции тежей ещетариев.

В уравнении (7) о и d — начальная точка луча и нормированный вектор направления луча, В уравнении (7) о и d — это начальная точка луча и нормализованное направление луча соответственно. Подставив уравнение параметра луча в неявное уравнение плоскости вектор соответственно. Подставив уравнение параметра луча в неявную плоскость equ — плоскость, в которой расположен кортеж, неявное уравнение плоскости можно записать как

Если рассматривать плоскость, в которой расположен кортеж, неявное уравнение плоскости можно записать в виде

й расположен кортеж, неявное уравнение плоскости можно записать в в
$$H^{T}(0 + HeTd) = C = T$$
 (8)

Из уравнения (8) параметр t , соответствующий точке пересечения луча Из уравнения (8) параметр t , соответствующий точке пересечения t с плоскостью, можно определить как

луч с плоскостью можно решить как

$$T = \frac{B - HT \cdot o}{HT \cdot A} \Big|_{H = T}$$
 (9)

(1

В данной статье элементом поверхности являе Тся треугольный элемент поверхности, а плоскостью

параметрическое уравнение элемента треугольной поверхности:
В данной статье поверхностным элементом является треугольный элемент поверхности, а метрическое уравнение элементо раз обить увать и поверхности. У рочи с роч

(фу,в (1"=" - У - В) п ппуф 012

9 из 24

Электроника 2024, 13, 3062

где u и v — координаты центра масс треугольника, удовлетворяющие u 0 и u+v 1 . 9 из 2⁄4 0 Треугольный элемент грани можно рассматривать как отображение единицы, где u и v - координаты центра масс треугольника, удовлетворяющие u 0 элементу грани треугольника на трех , v 0 ,

и u+v динаром предоставления в предоста

Объединив уравнение (11) с уравнением (7), можно получить ™ (11)

Объединив уравнение (11) с уравнение (7), можно получить
$$\circ$$
 (12)

В уравнении (12) М матрица, Яреобравующая треугольный элемент грани в единичный феугольный элемент грани в плоскости и, у , в которомой обтображаемый луч ортогонален. В уравнении (12) М матрица, преобразующая треугольный элемент грани в единичный треугольный элемент грани. Отображение единичный треугольный элемент грани. Отображение единичный треугольный элемент грани. Отображение единичный треугольный элемент грани в единичный треугольный элемент грани. Отображение единичный президент в плоскости, покразный в плоскости в покразный в плоскость и в преугольный элемент грани. Отображение элементов треугольной поверхности в плоскость и преугольный элемент прани. Отображение элементов треугольной поверхности в плоскость и преугольный элемент прани. Отображение элементов треугольной поверхности в плоскость и преугольный элемент прани.

слууны нения треугольной поверхности после отображения

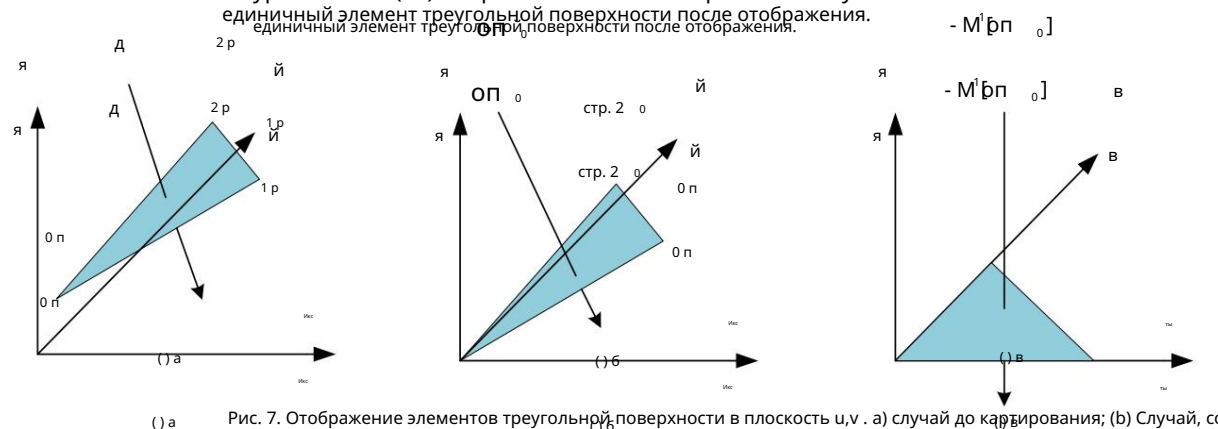


Рис. 7. Отображение элементов треугольной поверхности в плоскость u,v . а) случай до картирования; (b) Случай, соответствующий уравнению (11); (в) Пересечение луча с единичным треугольником Рис. 7. Отображение элементов треугольной поверхности в Ристрефгображения элемент поверхности в плоскость u,v . а) случай до картирования; элемент поверхности (b) Случай соответствующий уравираты от поверхности в плоскость u,v . а) случай до картирования; элемент поверхности (b) Случай соответствующий уравираты от поверхности в плоскость u,v . а) случай до картирования; элемент поверхности от пов

или перасекать обе ограничивающие рамки, что приводит к снижению эффективности пересечения.

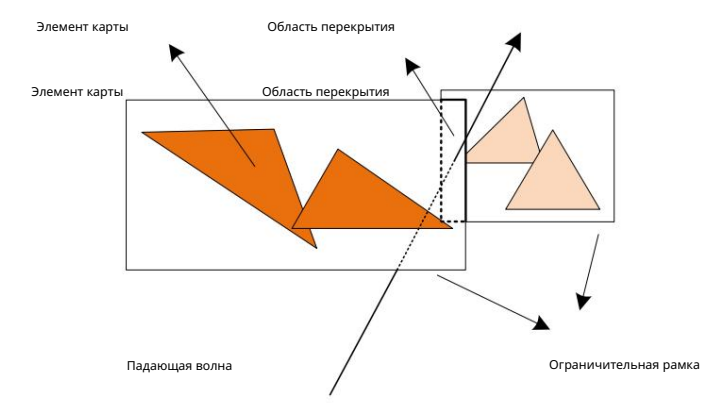


Рисунок 8. Диаграмма перекрытия ограничивающих рамок дочерних узлов. Рисунок 8. Диаграмма перекрытия ограничивающих рамок дочерних узлов.

Электроника 2024, 13, 3062 10 из 24

Чтобы устранить явление перекрытия блоков конвертов, в процессе построения дерева ВVН вместо метода половинного деления применяется метод деления SAH . SAH основан на эвристическом методе деления площади поверхности, и после добавления SAH мы можем оценить вероятность попадания светового луча в огибающие блоки с точки зрения размера площади поверхности родительского огибающего блока, в котором есть два или больше перекрывающихся дочерних обволакивающих коробок.

В древовидной структуре BVH в предположении, что текущий узел имеет три ограничивающие рамки A, B и C, стоимость пересечения луча с текущим узлом равна

c(A, B, C)= p(A)
$$t(i)+p(B) \quad t(j)+p(C) \quad t(k)+ttrav$$
 is
$$i\epsilon A \qquad i\epsilon B \qquad i\epsilon C$$
 (13)

В уравнении (13) t(i) — это стоимость пересечения каждого подкорпуса, а t(i) — i-й кортеж в дочернем корпусе. p(A), p(B) и p(C) — вероятности попадания света на объекты в ограничивающих прямоугольниках A, B и C соответственно. ttrav — стоимость света, проходящего через дерево BVH.

В SAH мы используем площадь поверхности дочернего ограничивающего прямоугольника в родительском узле вместо вероятности попадания луча в ограничивающий прямоугольник. Предполагая, что площади поверхности дочерних ограничивающих рамок A, B и C равны S(A), S(B) и S(C) соответственно, а поверхность ограничивающей рамки D родительского узла равна S(D), Уравнение (13) можно переписать в виде

$$c(A, B, C) = \frac{S(A)}{C(A)} \sum_{i \in A} t(i) + \frac{S(B)}{C(A)} \sum_{i \in B} t(j) + \frac{S(C)}{C(A)} \sum_{i \in C} t(k) + ttrav$$
 (14)

После решения оптимального метода деления путем вычисления минимального значения уравнения (14) лучевой обход дерева BVH становится наиболее эффективным [47].

3. Алгоритм визуализации АД с графическим ускорением

3.1. Алгоритм ВР для формирования

изображений ISAR. В условиях малого угла и малой полосы пропускания изображения ISAR могут быть приблизительно получены путем выполнения обратного преобразования Фурье данных двумерного поля обратного рассеяния, а результирующие изображения ISAR состоят из центров рассеяния цели с их коэффициент электромагнитного отражения. Благодаря своей пригодности для параллельной обработки графического процессора и способности формирования изображений ISAR в любом режиме алгоритм ВР и его модифицированные версии широко используются в приложениях формирования изображений SAR/ISAR. Алгоритм визуализации АД представляет собой метод с высокой точностью визуализации. Однако из-за своей высокой сложности алгоритм ВР не так хорош, как другие алгоритмы визуализации, с точки зрения скорости визуализации. В этой статье, направленной на получение изображений ISAR для электрических крупных целей в условиях широкой полосы пропускания и широкого угла, в этой статье разработан алгоритм ускоренного изображения ВР на базе графического процессора с помощью CUDA, сохраняющий при этом точность изображения алгор

Фундаментальная идея алгоритма ВР заключается в когерентном наложении рассчитанных эхо-сигналов каждого импульса путем передачи электромагнитных импульсов и расчета двусторонней временной задержки между точками пикселей в области изображения и радаром в момент каждого импульса. Наложение зависит от фазового соотношения между точками пикселей. Если эхо-сигналы синфазны, эхо-сигналы наложенных точек пикселей становятся все более сильными. При наложении точек пикселей с разными фазами эффект слабее. В качестве точного алгоритма во временной области профиль дальности в алгоритме ВР получается с использованием метода сжатия импульсов, аналогичного алгоритму Range-Doppler.

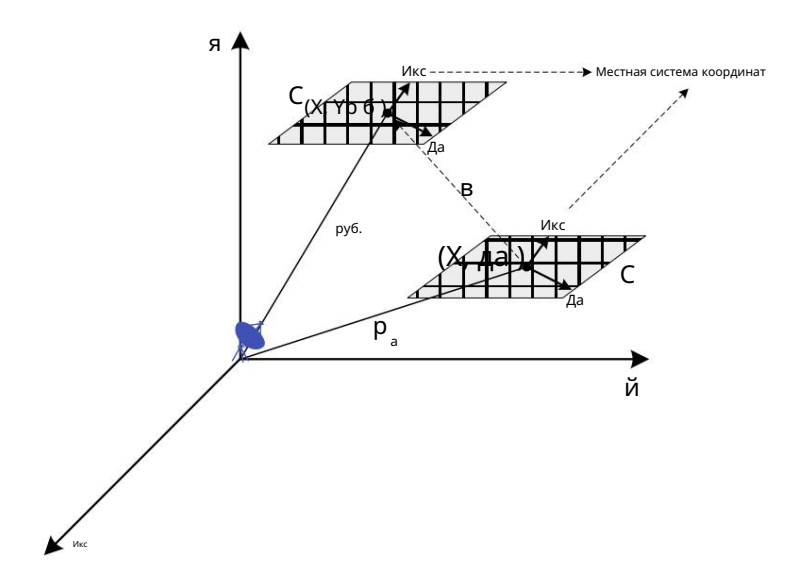
Обработка азимутального направления достигается за счет вычисления эхо-сигналов точек пикселей для когерентной суперпозиции, которая связана с углом поворота цели относительно радара. Наблюдается увеличение азимутального разрешения по мере увеличения угла между целью и радаром без видимого ограничения. Для любой траектории движения цели, если траекторию движения можно предсказать заранее, алгоритм ВР может обеспечить точную визуализацию.

(16)

(18)

(19)

это сетка дляробруните ународажения риципианы Наябожнановртарядиопросекциониля рассрожния отвибрижнений ISAR. моменхуга-и блобальная системтыкоорыкинат.коб**лиснаской бюлике б**Каэдяя Область изображения разделена на сетки N × N. (Xa,Ya) и (Xb, Yb) 6, соответственно. v — скорость и направление движущейся цели. Передающим знаком являются подржения цели в сетке изображения в момент времени а и b соответственно. v это скорость и направление движущейся цели. Передающий сигнал [48]



Рисуновидубляматехняяня месятая умен раманной раннию вичновид ил 26 мажений A&A Вий ISAR.

В урав**ворими (1-59 ыстростростростросто** в Тр_п- ши**нирина мульханса кили** ала-ме**дменное времярамя примей**ый - это функция прямоугольного окна. f0 – несущая частота сигнала. K = Б Б Б К – сигнал прямоугольная оконная функция. f — несущая частота сигнала. К к частота модуляции. В — полоса пропускания сигнала. Полученное эхо выглядит следующим образом

частота модуляции сигнала. В — полоса пропускания сигнала. Полученное эхо выглядит следующим образом
$$Cp(T, M) = \frac{T}{TM} \frac{T}{ij} TM \frac{1}{ij} TM \frac{$$

-– ҙто двусторонняя задержка от В уравнении (16) ті,j(m) = 2 2 10 двусторо.
пиксель (Xi,Yi) в плоскости изображежную разрадня (дпенное время m. х (м), у (м) и z (м) это двусторо. В уравнении (16) указаны положения пілкселей (Xi ,Yi) в сетке изображения в пространственной целевой системе координат.

Соответствующий фильтр выглядит следующим образом лежать от пикселя (X Yi i ,) в плоскости изображения до радара в медленное время m . x m() , y m() и z m() —

положения пикселя (X Yi i ,) в сетке изображения в пространстве h(t, m) = $\exp \frac{2\pi}{3}$ f0t jK π t (17)

целевая система координат. Соответствующий фильтр выглядит следующим образом

В уравнении (17) t0 — двусторонняя задержка на ближайшем расстоянии между целью и XM, опытру (К традар.) 2 (1) Преобразование свертки во временной области в умножение в частотной области

обработки выход согласованного фильтра может быть выражен следующим образом: В уравнении (17) t — двусторонняя задержка на ближайшем расстоянии между целью и радаром.

Преобразуя свертку во временной у являет и выходной сигнал

Высокое разрешение по азимуту достигается за счет когерентного накопления импульсов. Интегральная формула когерентного накопления имее с с (ТМ "Т" ОБПФ БПФ (ДТМ) БПФ (ДТМ) БПФ (ДТМ) (18)

Высокое разрешение по азимуту достигается за счет когерентного накопления импульсов. $S(x,y)=\int_{0}^{\infty} S(x,y) = \int_{0}^{\infty} S(x$

Электроника 2024, 13, 3062 12 из 24

Энергия каждой точки пикселя в сетке когерентно накладывается на целевое время движения. Значение пикселя накапливается по каждой точке пикселя в течение времени движения для синтеза конечного изображения.

3.2. Ускорение алгоритма ВР для обработки изображений ISAR с

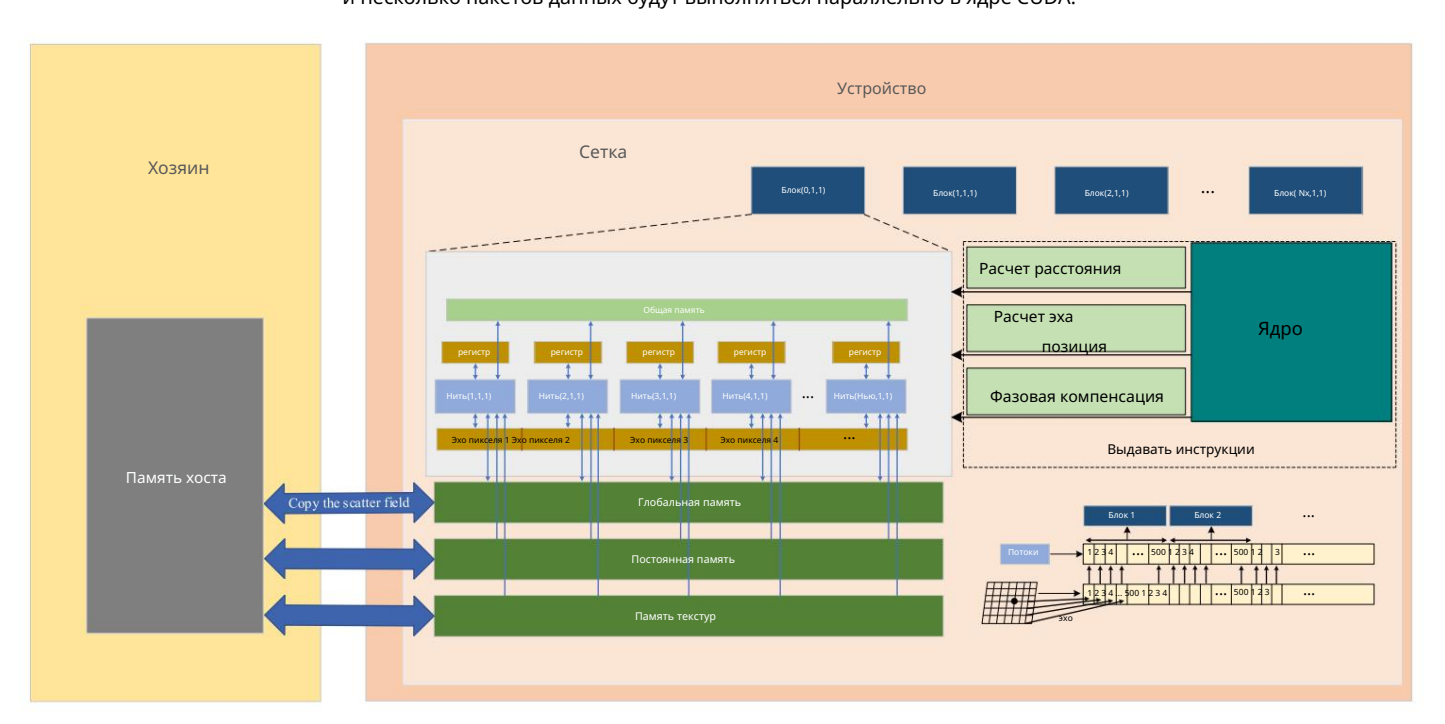
помощью графического процессора. CUDA, выпущенная NVIDIA в 2006 году, представляет собой универсальную платформу параллельных вычислений и модель программирования, построенную на графических процессорах. Вычисления для сложных задач можно выполнять более эффективно с помощью программирования CUDA. В последние годы методы программирования CUDA были разработаны как в аппаратном, так и в программном обеспечении [50]. На момент своего первого выпуска CUDA могла использовать графические процессоры с ограниченным количеством ядер, обычно в диапазоне от нескольких десятков до нескольких сотен. Следовательно, было невозможно провести значимое сравнение вычислительной мощности между этими ранними графическими процессорами и графическими процессорами, доступными сегодня [51]. Например, NVIDIA RTX 2080 от NVIDIA, выпущенная 20 сентября 2018 года, представляет собой графический процессор с 2944 ядрами CUDA и вычислительной мощностью FP32 10,07 триллионов раз в секунду. Однако NVIDIA RTX 4090 теперь имеет 16 384 ядра CUDA, а вычислительная мощность FP32 достигает 82,58 триллиона раз в секунду. В последние годы CUDA широко использовала свои мощные возможности параллельных вычислений в области научных вычислений [52].

В этой статье мы реализовали высокопараллельный алгоритм визуализации ВР с помощью CUDA. Данные рассеянного поля, полученные в результате расчета SBR, сначала загружаются в глобальную память графического процессора из памяти хоста с помощью функции <cudaMemcpy>. Эти данные содержат такую информацию, как азимут, угол падения, частота, точки выборки частоты, точки выборки угла, режим поляризации и т. д. Указанное пространство памяти выделяется для этих параметров из графического процессора с размером памяти Nf × Nphi × Nf ft по Функция <cudaMalloc> . Глобальные переменные на устройстве определяются с помощью символа _device_, включая сигнал сжатия расстояния и переменные, используемые для хранения необработанных данных рассеянного поля, переменные, используемые для хранения координат и положения радара, а также переменные, используемые для хранения окончательных результатов изображения. . Сжатие импульсов диапазона необработанных эходанных выполняется с использованием библиотеки функций <cufft> в CUDA, с помощью которой можно реализовать высокопараллельные БПФ и ОБПФ. Сигнал сжатия диапазона копируется в память

Параллельные ускоренные вычисления в основном реализуются на устройстве с помощью функции ядра CUDA. Ядро — важная концепция в CUDA и функция, которая выполняется параллельно в потоке на устройстве. Функция ядра объявляется с помощью символа <_global_>, и количество потоков, необходимое для вызова этой функции, необходимо указать, в частности, с помощью <<<gri>grid, block>>>. Функция ядра выполняется каждым потоком. Процесс азимутальной фокусировки алгоритма ВР записывается как функция ядра, и соответствующему количеству потоков выделяется функция ядра, чтобы обеспечить возможность параллельных вычислений на графическом процессоре.

На рисунке 10 функция ядра отвечает за расчет расстояний всех пикселей от радара в каждый азимутальный момент, а также фазовую компенсацию. Положение соответствующего азимутального сигнала определяется расстоянием точки пикселя от радара. Изображение ISAR с использованием алгоритма ВР получается путем когерентного наложения эхо-сигналов всех точек пикселей в каждый азимутальный момент. Блоки и потоки определяются как одномерные при запуске функции CUDA алгоритма ВР. Распределение потоков в каждом блоке равно Ny, 1, 1 при общем количестве блоков Nx и (Nx, 1, 1) распределении блоков. Nx и Ny — количество пикселей в направлении х и количество пикселей в направлении у соответственно. Чтобы оптимизировать эффективность функции ядра при обработке крупномасштабных данных, вычислительные задачи для пикселей изображения размером более 500 × 500 выполняются пакетно. Максимальное количество точек пикселей, вычисляемых в каждом пакете, составляет 500 × 500, чтобы адаптироваться к ограничениям ресурсов графического процессора. В функции ядра графический процессор выделяет 250 000 потоков для каждого пакета вычислительных задач, причем каждые 500 потоков представляют собой блок, что в общей сложности составляет 500 блоков. Каждый поток отвечает за вычисление значения однопиксельной точки, и несколько пакетов данных будут выполня

ограничениям ресурсов графического процессора. В функции ядра графический процессор выделяет 250 000 потоков для каждого пакета вычислительных задач, причем каждые 500 потоков представляют собой блок, что в общей сложности составляет 500 блоков. Каждый поток отвечает за вычисление значения однопиксель 13 и 324 оки, и несколько пакетов данных будут выполняться параллельно в ядре CUDA.



ция.

На рисунке 10 данные разбросанных полей сначала копируются из памяти хоста в графический процессор.

пронуж соворан желуддай не отворажбую станолум и полужителу в чадан чоль мружения и ци и вом в пим в отворать в отворать не от Память— это постоянная память, используемая для трансляции инструкций, отправленных хостом. Текстура глобальная память. Каждый поток может получить доступ к данным, хранящимся в глобальной памяти. Постоянная Памямыть-изотоолюзуютяя для хрэмия нилидэнюны зужмогрудболгужного блоковнотруюций й фотредавления ых хостом.

Текстурируйте количество пикселей Nx в направлении x и количество пикселей Ny в направлении y , Память используется для хранения данных текстуры. Количество блоков и потоков определяется соответственно . В блоке все потоки выполняют одни и те же инструкции, и каждый поток выполняет количество пикселей Nx в направлении x и количество пикселей Ny в направлении y - функция ядра. Функция ядра использует потоки для реализации высокопараллельной работы.

реа<u>кции сестиятся выполняет одни и те</u> же инструкции, и каждый поток выполняет все выполняетрединые на гологичения анарон к на выполняетрединые на гологичение на го

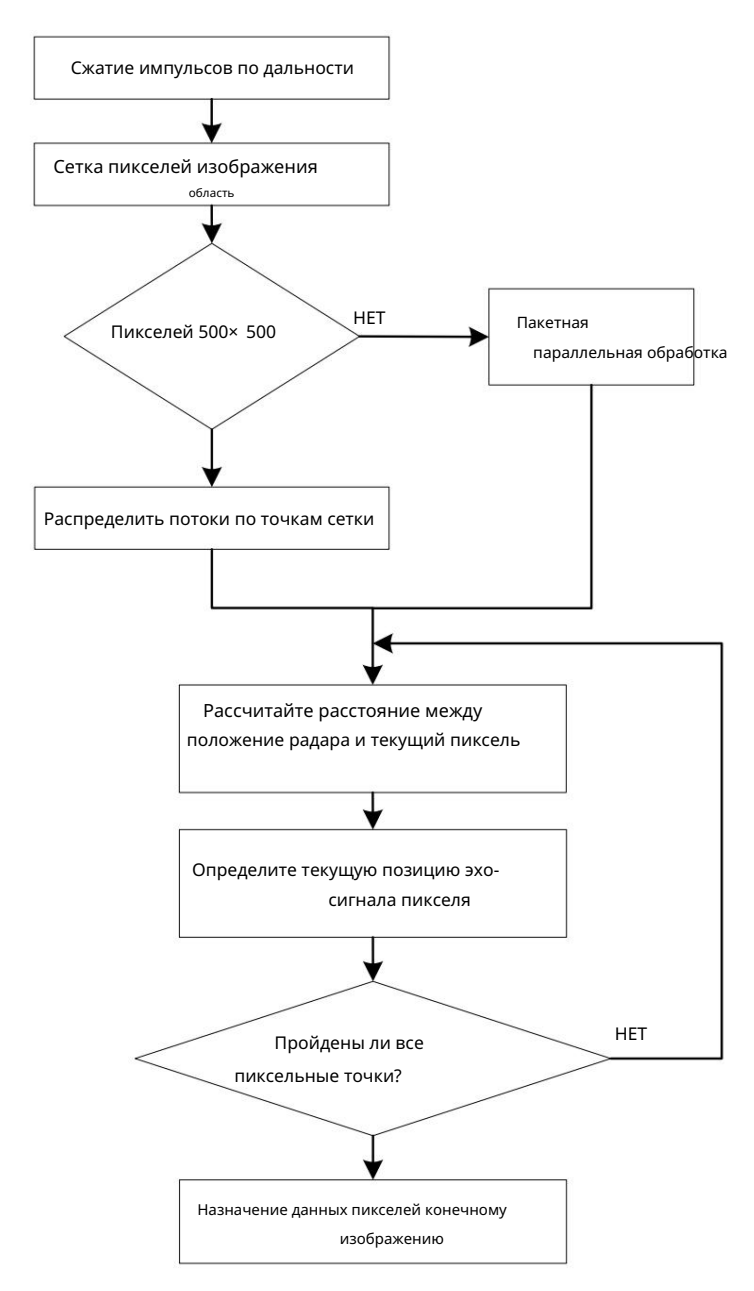
пар**дии еженции общететь меем режения рез бикрептия ных фтимули корлей**, размером Nf × Nphi. Если

количество пиксельных сеток в области изображения меньше 500 х. 500, то соответствующий На рисунке 11 представлена блок-схема алгоритма ВР с ускорением на графическом процессоре. После

сетки и накопление их в соответствующие позиции. Сочетание этих количество пиксельных сеток в области изображения меньше 500 500 × тогда соответствующая пиксельная сетка разбивается на несколько подобластей для параллельной обработки, если пикселей больше вы Аблактгры фолческот во протрессворат в на веры в обрывать в протрессворат в на веры в обрывать в

пиксельные сельки ч. накончение из е сертвететвые пиксельных пожения досчета расстояния, фазовой этиэхиксильные соткисделохопцийная комисомической подобисомической подобисомическомической подобисомической подобисомической подобисомической подобисомической подобисомической подобисомической подобисомической 60/1801-1901-1914 የምርላይ ተራይ የተፈመረተ የተመደመው የተመሰው ነው። የተመሰው የተመሰው የተመሰው ነው። የተመሰው የተመሰው የመሰው የተመሰው የተመ

вкл**ючья на гомиле бие жение имкение имкение** накапливает эхо-сигнал в соответствующей сетке пикселей. Как только каждый блок завершает вычисление данных своей подобласти, данные передаются в соответствующую позицию в конечном изображении. Наконец, выводится все изображение.



РВиумикм 1.16 Бакисхеми в литеричти в ВРС ужкорении мина графичиским грациессоре.

44.Ррежуятаты и боосуждение.

4.1. Валидация метода SBR с графическим ускорением 4.1. Валидация метода SBR с графическим ускорением

4:1. Валидация метода SBR с графической ускорением Реализация метода электромагнитных вычислений с GPU-ускорением Реализация метода электромагнитных вычислений с ускорением на графическом процессоре и метода визуализации АД с ускорением на графическом процессоре была представлена ранее, как описано и метода визуализации АД с ускорением на графическом процессоре была представлена ранее, как описано в этой статье. В этом разделе достоверность SBR с ускорением на графическом процессоре, сочетающего GO с PO. В этой статье. В этом разделе достоверность SBR с ускорением на графическом процессоре, сочетающая GO и PO-аппроксимации, проверяется путем сравнения с RL-GO в программе FEKO v2020. На примере полномасштабного истребителя F-22 RL-GO настроен на два типа плотности лучей: Например, полномасштабный истребитель F-22, RL-GO настроен с двумя типами плотности лучей: один - λ/10, а другой - λ/100. Сравнение ЭПР дальней зоны производится с электро-/10 и другим /100 .

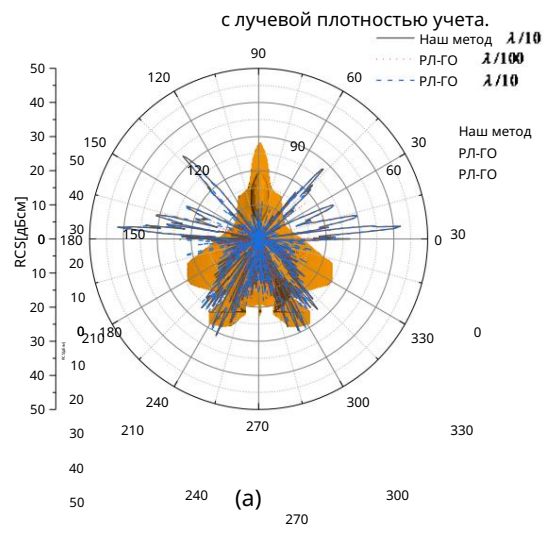
3лектромагнитной волны бО = 3 ГГц. В результате рассечения модели было получено 2444 треугольных частота тромагнитной волны 3 ГГц. В результате рассечения модели было получено 2444 треугольных частота тромагнитной волны 3 ГГц. В результате рассечения модели было получено 2444 треугольных объекта б СЕТКИ, а дерево ВУН было постросено Для Создания 4887 конечных узлов. Модель САПР ссетбум д дерево ВУН было постросено Для создания 4887 конечных узлов. Модель САПР <u> ТКАВКНЯ ФИКУНТЯЙ 13: РОФУИР РЫЧИСПОКНИЙ ИКТ ОЧМОСТЬ БЛАЧЯТИ УКАЗЭНЫ Р-ТД</u>ОЛИЦЕ 1. Процессор нашего компьютера – <u>тНЫ для приндукро IntellB</u>uSnEq6TM <u>ыБ:п3</u>сК20Дл12-килдяк рдафия есбаж Ррб цесстор пй гдQ9_IIЛ, прескавя денный корпорацией **№УБРА**Ь GR FREGR RTX 2080 г.Б выделенной памяти графического процессора, произведенная корпорацией Корпорация NVIDIA в материковом Китае.

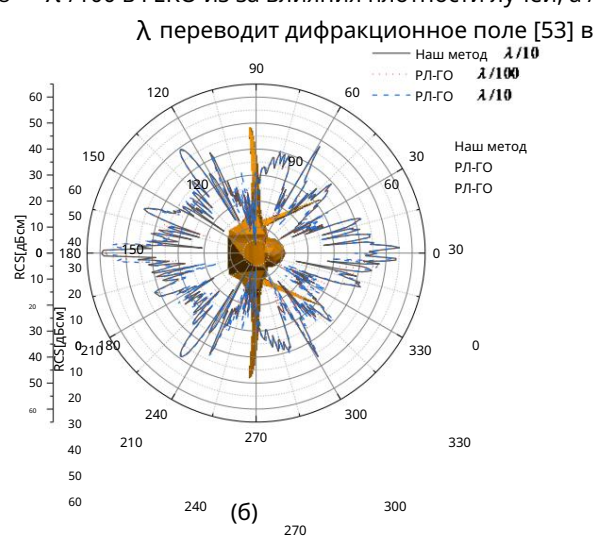
15 из 24

15 из 24



На рисунке 13 показано сравнение углового распределения ЭПР полномасштабного F-22. Рис. 12. САD-модель полномасштабного истребителя F-22. истребителя, полученные нашим методом SBR с GPU-ускорением и параллельным методом RL-GO, в таблице 1. ФЕКОсравностивления и параллельным методом RL-GO, в таблице 1. ФЕКОсравностивления в рисунке 13 показано сравнение углового распределения ЭПР полномасштабного F-22. на графическом процессоре, в целом хорошо согласуется с RCS, рассчитанным методом RL-GO в FEKO. истребитель, полученный спомощью нашего в в ремя в стетода в RE-GD-ускорением и параллельным методом RL-GO в FEKO. истребитель, полученный спомощью нашего в в ремя в стетода в RE-GD-ускорением и параллельным методом RL-GO в FEKO. Истребитель полученный методом SBR с графическим ускорения и параллельным методом RL- PD-TO ФЕКО. На рисунках 13а, в в метод в ремя в ремя в ремя в ремя в ремя в при ни параллельным методом RL-GO в FEKO. Метод В РЕКО из в в в пли ни параллельным пототности лучей, а /100 товкже метод в ремя в разница междувалави методом SBR озрафическим и параллельным счетом RL-1966 поле (53) в 181,4 существует небольшая разница междувалави методом SBR озрафическим и параллельным счетом RL-1966 поле (53) в 181,4 метод ГО с лучевой плотностью Метод РЛ-ГО Л/100 в FEKO из-за в лияния плотности лучей, а /100 также





Рисуном лаже ределение эпри на эпроменения быте быте вытеля в теля в займу в рисунгок 13. угол угланды в 3660 ° , в в полятве эфекте в бытеля в теля в забытеля в займу в рисунгок 13. угол угланды в забытеля в забытеля

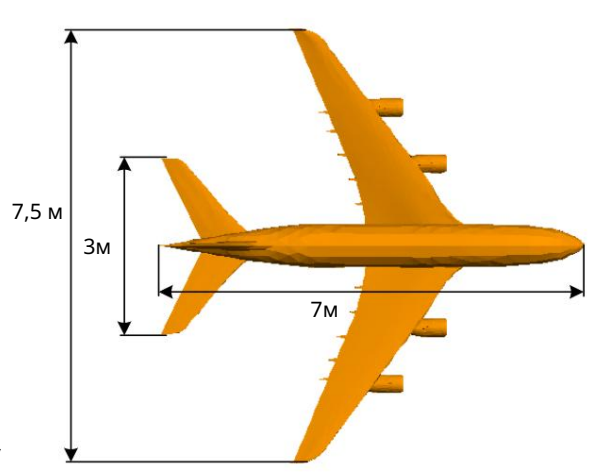
и об нашего метода SBR с ускорением на графическом процессоре газатем отраженные сигналы фокусируются для получения метода SBR с ускорением на графическом процессоре, разработанного в этой статье. Для рассчитывается с помощью нашего метода SBR с ускорением на графическом процессоре, разработанного в этой статье. Для рассчитывается с помощью нашего метода SBR с ускорением на графическом процессоре, а затем эхо-сигналы фокусируются В этом разделе представлены и обсуждаются результаты визуализации ISAR типичной авиационной цели. для получения изображений ISAR с использованием алгоритма ВР с ускорением на графическом процессоре, разработанного Матрица поля обратного рассеяния репрезентативных авиационных целей рассчитывается с помощью нашего в этой статье. Для сравнения, наш алгоритм ВР с ускорением на графическом процессоре также был применен для фокусировки метода SBR с ускорением на графическом процессоре дая получения

изображений ISAR с использованием алгоритма BP с ускорением на графическом процессоре, разработанного в этой статье. Для сравнения: наш алгоритм BP с ускорением на графическом процессоре также был использован для

Machine Translated by Google Meтод RL-GO компании FEKO при условии одинаковой плотности лучей превосходит метод RL-GO даже под определенными углами. Например, на рисунках 16a,d разница в рассеянии в моторной части самолета видна более очевидной, а различия в рассеянии в моторной части самолета более заметны. очевидно на рисунках 16c,f; На рисунке 16f силычог

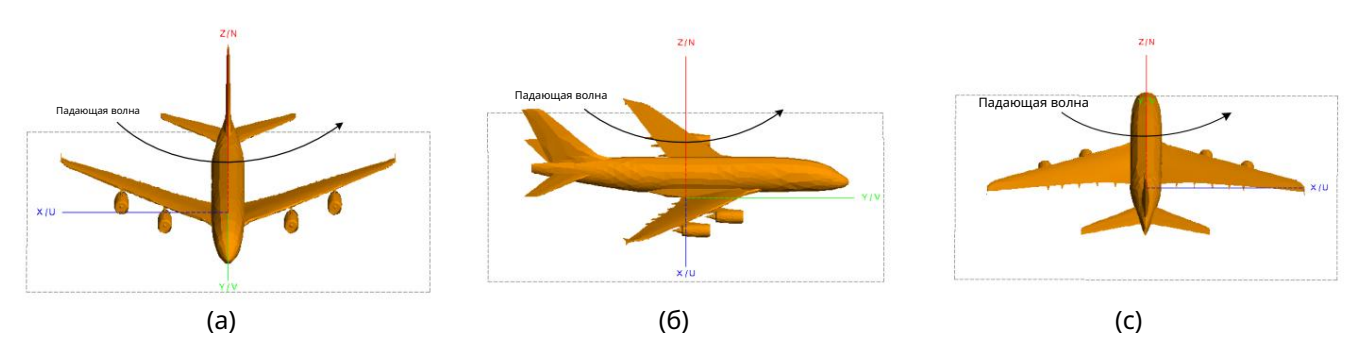
> загромождена такая информация, как конструктивные особенности самолета, а результаты на рисунке 16f не так хороши, как сравнение. Наш алгоритм BP с ускорением на дваржического на также былу примене, ы дал форму сировый и себе рассоя в учето на себе в дал форму сировый и себе в на себе в ПОДВОВ ПРОГРАММЕНОМ ОБЕСПЕЧЕНИИ FEKO У2020 для получения фекусиворного ISAR — очень хороши. На показана САD-модель масштабированию модели самолета АЗ80 с размерами. Этот результаты визуализации по сравнению с рисунками 16а-с и рисунками 16d-f, что подтверждает, что эффективная модель имеет 3770 треугольников. На рисунках 15а-в показаны три типичные конфигурации наблюдения. Анализ алгоритмов визуализации АД с GPU-ускорением в данной статье со стороны. Таблица с различными диапазонами азимутального сканирования. Угол падения фиксирован и составляет 6 = 60

покажано скавнение врамжунканениелений инпиковой памятициля рисунка 16.



Электроника 2024, 13, х НА ЭКСПЕРТИЗУ

17 из 24



Рисутјок 15π.Ταн.፲፱୯көнфне урацфигиаолиидеабя е февив м позтными азакмуы этри ураксиру фезики м наклоне Рис. 15. угол, длогна сти, $\theta_{\overline{0}} = 60$. (a) 45 = 45 = 135 45 = 135 45 = 45 = 135 45 =

Таблица 2. Параметры моделирования ISAR для рисунков 16 и 18.

		Параметр			-10	Ценить		-1
Makeyy		fO -15 B -20	Мфилт		-15	1,75 ГГц Зక్ష్ Г [°] ц 90		4
5		φ -25 30 θ x	5		-25	60 или 120 0,05 м		3
-5	О Диапизон (м)	y	-5	0 Дишпаэн (м)	-35 5	0,05 ตั้	0 Димпазон (м)	5
	(a)	Точки отбора проб поляризация		(б)		200 BB	(c)	

На рисунке 16 представлены результаты визуализации ISAR для трех типичных конфигураций наблюдения. с разными диапазонами азимутального сканирования. Угол падения фиксирован и составляет θ = 60 . Наш Алгоритм визуализации АД с ускорением на графическом процессоре применяется для фокусировки полей обратного рассеяния на получить сфокусированные изображения ISAR. На рисунках 16, рисунках 16d-f показаны RL-GO при плотности лучей እ/10. без дифракции, а на рис. 16g-і показаны RL-GO при плотности лучей \mathcal{N} 100 с дифракцией. Сравнивая рисунки 16а-с и 16d-f, можно обнаружить, что результаты метода этой статьи 🖫

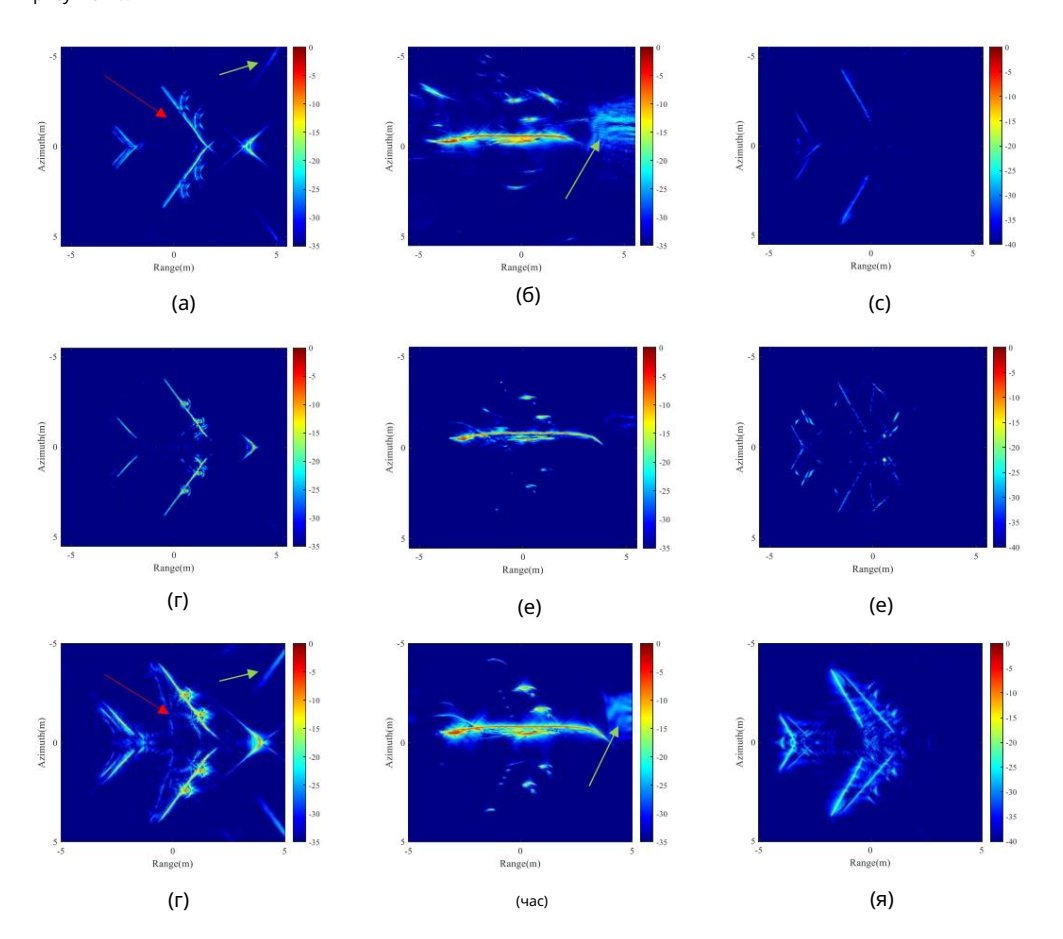
и метод RL-GO лучше согласуются с результатами, полученными с помощью RL-GO компании FEKO. **(**Γ) (e) (e)

Палающая волн

(a)

метод при условии одинаковой плотности лучей, и он даже превосходит RL-GO при конкретные углыг Например, на рисунке 16а, празница в рассеянии в двигателе часть самолета видна более очевидной, а различия в рассеянии в область двигателя самолета более наглядно видна на рисунках 16с,f; Рисунок 16f имеет сильный беспорядок, который перегружает информацию, например, о структурных особенностях самолет, и результаты рисунка 16f не так хороши, как результаты рисунка 16с. Когда плотность лучей №100, эхо способно фиксировать геометрические структурные особенности самолет в деталях, поэтому на рис. 16g-і получены очень хорошие результаты визуморзации по сравнению с рисунками.

16а_с и 16d_f, что подтверждает эффективность визуализации АД с графическим ускорением. Рис. 15. Три типичные конфигурации наблюдения с разными азимутальными углами при фиксированных адгоритмах іпсі-в данной статье, вид сбоку, В таблице 3 показано время вычислений и пик. угол плотности θ = 60 . (a) ϕ = 45 \sim 135 ; (б) ϕ = 45 \sim 45 ; (с) сравнение памяти для ϕ = 135 \sim 45 .



PICOPHOSE METERO IN THE PRICE HERE AND A SERIC METERO PROCESSATION PROCESSATION

Таблица З. Время вычислений и пиковая нагрузка памяти для рисунка 16. Таблица З. Время вычислении и пиковая нагрузка памяти для рисунка 16.

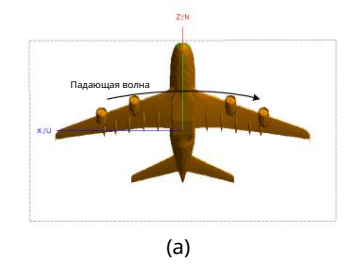
	€FF	рл ₋ ӷ҇Ѳ ^ӷ О		
	В Ремя (Є) Память (МБ мять (МБ)	ВремЯр(су)я (с)	Памя Тем(ЯИБ)(МБ)	
Реисунок 166а, г	2 ± 66¢,8 % \$, 4± 66¢,8 % \$,4	1584,2584,2	177,877,8	
РРисунек ¹ 19663д	2623,3 72,5 2623,3 72,5	1614,3614,3	179,6 ^{79,6}	
Рисунок 16в.е Рисунок 16в.е		1474, ^{1474,1}	179,5 ^{79,5}	

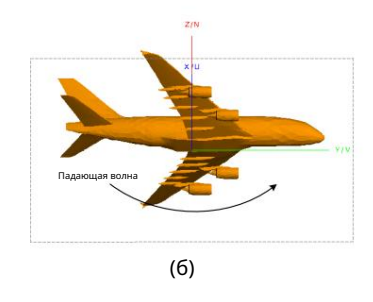
е Можно заключить, что при одинаковой плотности лучей результаты метода данной работы хорошо согласуются с результатами RL-GO. Далее мы проанализируем разницу между результатами двух методов, когда плотности лучей неодинаковы. На рисунке 16а сильные эхосигналы исходят как от двигателя, так и от части крыла, прикрепленной к двигателю. Область, обозначенная красной стрелкой на (а), обозначает положение крыла. При углах наблюдения луч отразится один раз после удара о крыло. Можно сделать вывод, что при одинаковой плотности лу ф 55°ул № тода в частунамилижения в этой статье хорошо согласуются с

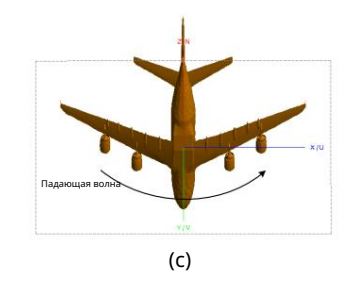
частучамилиженидале баналденированноку и этой части структуры лучи в этой статье хорошо согласуются с вп**งเราะอน ายสมารายาทาง มูญานาทราวเลอราชอรสมารา**ยาท**งเบะกуพย่าวปลองมหาสหาย** (рис. 16a) мнорикультнуертассевиние эхиспетельские отражение числогажает 10 ARM этем ระดีรุณ โดยจาก เลือน เมื่อเลือน เมื่อเลือน เมื่อเลือน เมื่อเลือน เมื่อเลือน เมื่อเลือน что приводит к явной разнице между положением на (а) и положением на (g). часть крыла в положении 1. Из-за плоскостности этой части конструкции луч будет Пятна рассеяния появляются в местах, указанных зелеными стрелками и впоследствии похинуть цель после отражения. В нашем методе SBR с ускорением на графическом процессоре на рук. э16Ж энереметаваены дварахалынасыяталывточеры Виги ени, фракцией при числе плотности лучей 10, [/]10<mark>Ωа̀вніні Қома́жыр позрафией</mark>еским **духурены защина їР.- QQ на нт**КО основаны на лучах, что приводит к явной методыратоппития ровсовля половявимы дамений профессов половить в половить cert Bares g.Mr. Hanexanu 16 a.G. Cokerarhi ver ya 5 tati ya 6 g.C. Carlon da 16 g.C из-Ба-б-иф-пач-жочйелич-пулгичте 161. 2/100 в FEKO. И SBR с графическим ускорением, и RL-GO в FEKO — это методы, основанные на лучах. Сравнение результатов изображения ISAR на рисунках 16а-с с рисунками 16d-f и рисунками. Эти пятна рассеяния связаны с механизмом рассеяния электромагнитных волн.
16g-і демонстрирует осуществимость и эффективность нащей схемы за счет объединения GPU-ускорения и механизма трассировки лучей. Из-за пренебрежения дифракционным полем, возникающим из-за SBR Баями цели, эхо были на рисунке ное избражений ISAB рисунке 16i. Сравнение pe=f/a Brefork as 123ax Eprkassar. Taha brukyhkar koharvarakkar fordarrhygic. Inaskasia inaskasia produkti. Inaskasia produkti produkti. Inaskasia диатварунь вамоино поэффикровающия. Казрить такживы войне дражити зрехстирунных комфикрацийма врехстирунных комфикрацийм войных дения.

18 угол падения указ 17 ален как за чостом типе на намерей жувед чал набого светия до дого на дого н

с р**авлорчтымы আраголождамиравамия акабюхженкай кажо**вания показаны на рис. 18а, б и в соответственно.







 P^{M} РИРИНСУК 17.17РИРИНИННЫЯ В В РИРИНСУК 12.17РИРИНСУК 12.17РИРИНС

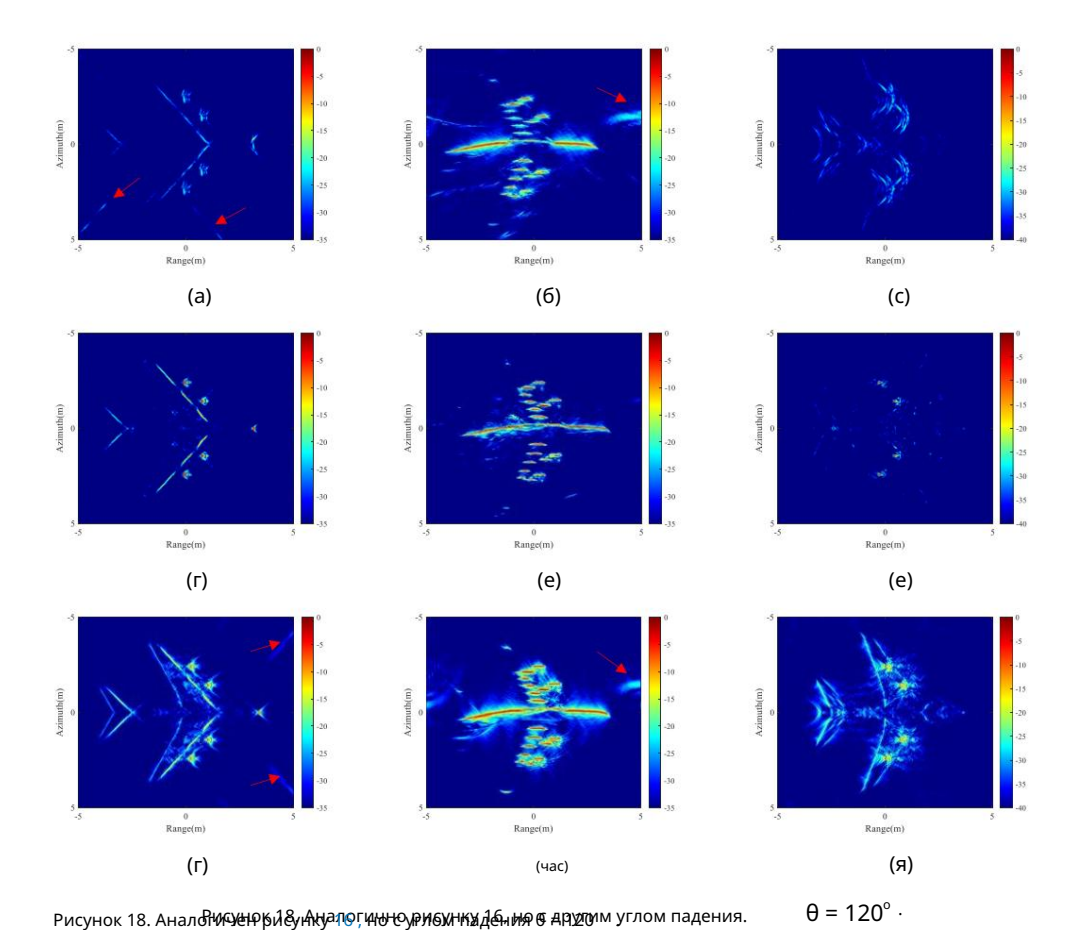


Таблица 4. Время вычислений и пиковая нагрузка памяти для рисунка 18. Таблица 4. Время вычислений и пиковая нагрузка памяти для рисунка 18.

	SR	R	₽Л₋Г	·O
	SI Время (с) Память (I	BR M5)		0 1-ГО Память (МБ)
Рис. 18a.d Рис	2 ³ 3 ⁹ 5 ⁴ , 2 (7)2,4	Память (МБ)	1655,6 ^{МЯ (с)}	П ануяц,6 (МБ)
Pul8asbPupa8b,e	264 7 7,05,2	74, <u>7</u> 2,4	1702 ¹ , 6 55,6	202194,6
18c f Рис. 18c ,f Рис. 19 показывает	2647,05 2872,9 2872,9	77,1 ^{74,2} 77,1	1702,4 1764,2 1764,2	196,9 ²⁰² 196,9

САD-модель электрически крупногабаритной авиационной цели, которая относится к категории электрически

крупногабна фине х ро некказана темпочивдем с размара к электрическим приводом.
Эта САОл вывальнем честей ображение вы мали в размара с электрическим приводом.
эта САОл вывальнем честей ображение вы мали в размара вы мали в размара с электрическим приводом.
мето вы падей был вы вы мали в вы мето вы м

в срокуункця и моделиве размины эвисун 90°1 па**рым ртинучное́ № к тож а 5-а Кыл терия разъличиты к адматыз бики а зи** мутов. В 5- В следующем моделировании рисунка 21 параметры изображения ISAR установлены, как указано в таблице 5.

На рисунке 21 показаны результаты ISAR-изображений обоих методов для электрически больших размеров. Таблица 5. Параметры моделирования ISAR для рисунка 21. авиационные мишени с плотностью лучей λ /10 для этого бумажного метода и РЛ-ГО в FEKO. параметров. На равней 21b и 21e, и и 2 на рисунке 21b представлен в Чурктурная информация. самолета, а и — крукуло и и 2 — хвост, а на рисунке 21д этого не видно, 75 ГГц структурная информация, поэтому метод этой статьи лучше, чем результ призуализации RL-GO. когда ϕ = - 45 45. Сравнивая рисунки 21a и 21d, результат рисунка 25g таков:

явно лучше, чем на рисунке 21d, где искажение фазовой истории происходит в месте указано белыми стрелками на рисунке 21d. Подробная информация о крыльях, носу и Хвост самолета хорощо виден на рисунке 21a. Это также происходит на рисунках 21c,f,

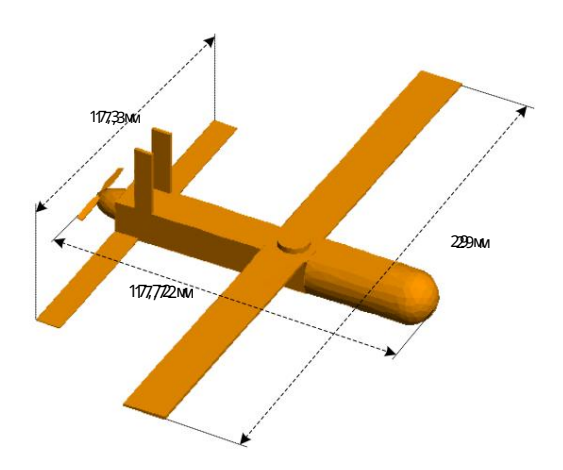
куда указывают белые стрелки на рисунках 21с,f. Хорошо видно, что разбросанные пятна 600 проб , появляются конструктивной информацией самолета. Поляризация ВВ хорошо установленный факт, что электромагнитные волны проявляют эффект многолучевости во время

Электроника 2024, 13, 3062 20 из 24

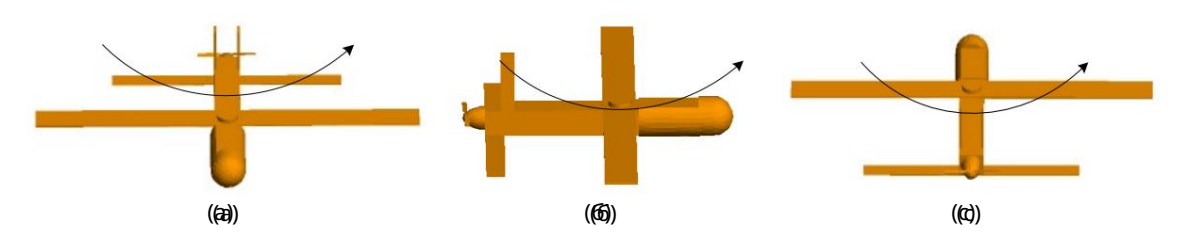
Э) ТЕКТОРОННИКЕ: 20024, 113, X HHA ЭКСПТЕРТИВУ

200 ws 224

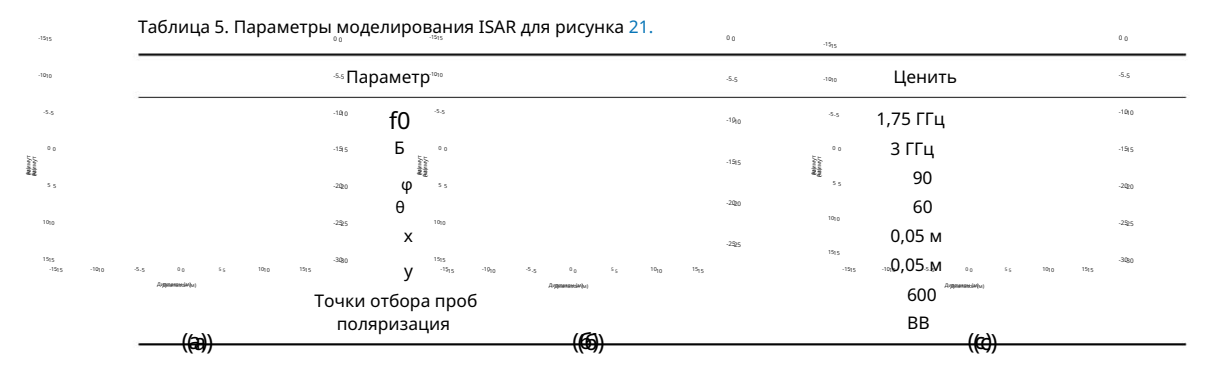
распространение. Это явление означает, что падающая волна пересекает множество пути достижения назначенного пункта приема. Изменения в данных фазовой истории, вызванные этими разные пути могут накладываться друг на друга, что приводит к искажению фазовой истории. Таблица 6 показывает приятивация: сравнение времени вычислений и пиковой памяти на рисунке 21.



РРисс. 189. ССАД-модрень сбольшоого селмоне таксэтектрической ссистемой.



Римуна ка 20н Тырк он филурацыния абразаний уграживам мутам развиж серованном инцуре. Римуно 20. Тирк на 50 году об 135 году



-1505		00	-1515		0.0	-15(5		0.0
-10(0	Таблица 6. Время	вычислений	і и пиковая	нагрузка памяти	для рисунк _а 21.	-10(0		-5.5
5.5	96	-10(0	-5-5	СБР	-10,0	5.5	РЛ-ГО	-10(0

		 -							
Constant of the constant of th		-15(5	Вฏิ๋ емя (ч)	Память (МБ)	-19(5	ទីខ្លី Время (ч)			
1010	Рисунок 21а,г	-2020 -2025	20.1 1 9,6	141,2 140,7	-2Q ₂ 0	16,3	269,6 258,5		
15 ₁₅ -15 ₁₅ -10 ₁₀	Рисунок 21б,д • Рисунок 21в,е•	-3000	20,7	. 145,6	-295	15,5 16,9,	250,5 15,273,1 -300		

(Д) исленное моделирование изоб (Д) жений ISAR ясно показывает, что (Д) ильные центры рассеяния, а также профили целей могут наблюдаться при больших азимутах наблюдения. В профинексоренеру фиксирование вызуализации АД с ускорением на графическом процессоре при фиксированных углах падения и широкой полосе пропубающия К вызуализации АД с ускорением на графическом процессоре при фиксированных углах падения и широкой полосе пропубающия кором в пропубающия установанием уст

мобродног сграссвяя я лобразучень раеседемянской кеньомериодили пныколиция было душевый реозлисты методалину (в /10) году) — Жорезровульть вделя двильнута ута 45-43351;36;, 46, до дипералинуват (с діля-арвомунатерны джя а заблуста) — 1983 у лавтерны (Ф = 45° ~ 45°, Электроника 2024, 13, 3062 21 из 24

попадание одинаковых лучей приводит к искажению фазовой истории электромагнитных волн.

(а) Искажение фазовой истории я (б) ется распространенной проблемой лучев (с) методов. Таким образом, явные боковые лепестки

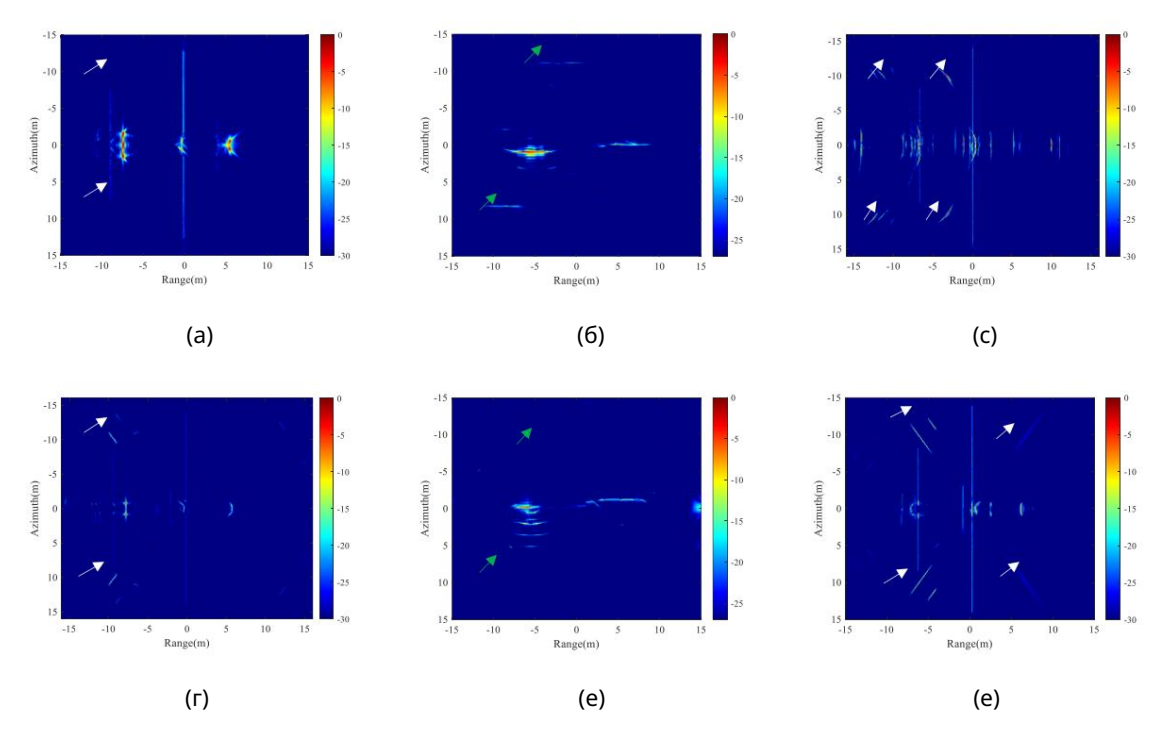


Рисунок 21. Резурьство езүрөсүлөк езүрөсүрөсүрөсүлөк езүрөсүрөсүлөк езүрөсүнөк езүрөсүнөк езүрөсүрөсүлөк езүрөсүлөк езүрөсүрөсүрөсүрөсүлөк езүрөсүрөсүрөсүрөсүрөсүр

5. Выводы

В этой статье рассматривается новый метод прыгающих лучей, основанный на ускорении графического процессора и дерева ВVH. представлено для моделирования изображений ISAR. Он использует С++AMP для достижения параллелизма с графическим процессором. вычисление ускорения, при котором древовидная структура ВVH строится в соответствии с целевую структуру, тем самым повышая эффективность пересечения лучей. Метод SAH включен в разделение сцены на ограничивающую рамку, эффективно смягчая влияние ограничивающих рамок. наложение блоков на эффективность прохождения лучей древовидной структуры вVH. Чтобы эффективно выполнять моделирование изображений ISAR, алгоритм ускоренной визуализации АД на базе графического процессора был разработан на основе CUDA. Точность SBR с графическим ускорением подтверждена путем сравнения RCS, рассчитанного нашим методом SBR, с полученным RL-GO в ФЕКО. Показано, что представленный SBR с графическим ускорением показывает хорошую валидность. и надежность. Для моделирования изображений ISAR используется А380 и упрощенный самолет. В качестве примера модели поля обратного рассеяния рассчитывались с использованием ускорения на графическом процессоре.

Алгоритм SBR при больших углах азимута, $\phi = 90$, и широкая полоса пропускания 3 ГГц. обратнорассеянные эхо фокусируются с использованием алгоритма визуализации АД с ускорением графического процессора, а сфокусированные изображения ISAR нашего метода SBR с графическим ускорением хорошо согласуются с метода RL-GO от FEKO, что указывает на осуществимость и эффективность нашего ускорения на графическом процессоре. Алгоритм визуализации BP ISAR. Моделирование показывает, что сильные центры рассеяния также

поскольку профили целей можно четко наблюдать на изображениях ISAR под большими углами наблюдения и широкие полосы пропускания. На сфокусированных изображениях ISAR можно наблюдать очевидные боковые лепестки из-за

Электроника 2024, 13, 3062 22 из 24

фазовой истории электромагнитных волн, искажающихся в результате мультипольного рассеяние. Численное моделирование также показывает, что результаты изображений ISAR являются сильно чувствителен к углам наблюдения. В дальнейшем настоящая работа будет расширена. для получения изображений ISAR роя целей, а также 3D изображений ISAR путем разработки эффективного алгоритм электромагнитного моделирования путем объединения SBR и PTD с графическим ускорением для с учетом краевой дифракции.

Вклад авторов: методология, JC, RZ, PY и RW; программное обеспечение, JC; проверка, JC; формальный анализ, JC; моделирование трассировки лучей, JC; расследование, JC и PY; ресурсы, PY; письмо — оригинал подготовка проекта, JC; написание — обзор и редактирование, PY; визуализация, ДК; надзор, ПЯ; проект администрация, JC и PY. Все авторы прочитали и согласились с опубликованной версией рукопись.

Финансирование: работа частично поддерживалась Национальным фондом естественных наук Китая. [Грант № 62061048, 62261054 и 62361054], частично предоставленный Шэньсийским центром исследований и разработок. Программа [гранты № 2023-YBGY-254 и 2024GXYBXM-108], частично предоставленная Natural Science Basic. План исследований в провинции Шэньси, Китай (грант № 2023-JC-YB-539), частично выполненный аспирантом Программа инноваций в образовании Университета Яньань (грант № YCX2024086).

Заявление о доступности данных: данные, представленные в этом исследовании, доступны по запросу от соответствующий автор.

Благодарности: Авторы благодарят редакторов и рецензентов за конструктивные предложения.

Конфликты интересов: Авторы заявляют об отсутствии конфликта интересов.

Сокращения

В данной рукописи использованы следующие сокращения:

БП Обратная проекция

БВХ Иерархии ограничивающих томов С++АМР С++: ускоренный массовый параллелизм

Унифицированная архитектура устройств CUDA Computing

САПР

Системы автоматизированного проектирования

Процессор

Центральное процессорное устройство

Эквивалентный дипольный момент
БПФ
Быстрое преобразование Фурье

идти Графический процессор гометрическая оптика

ИСАР Радар с обратной синтезированной апертуройОБПФ Обратное быстрое преобразование Фурье

Кd-дерево К-мерное дерево

МОМ Метод моментов

ПТД Физическая теория дифракции

ПО Физическая оптика

УИК Идеальный электрический проводник

РКС Сечение радара

RL-GO Ray представляет геометрическую оптику RMSE Среднеквадратическая ошибка CБР Стреляющий и прыгающий луч CAK Эвристика площади поверхности SMS Потоковые мультипроцессоры

 ИП
 Потоковые процессоры

 SIMT
 Одна инструкция, несколько потоков

TDSBR Стреляющий и отскакивающий луч во временной области

TDDO +

TDPO Физическая оптика во временной области

Электроника 2024, 13, 3062 23 из 24

Рекомендации

1. Бхалла, Р.; Линг, Х. Формирование изображения ISAR с использованием бистатических данных, вычисленных с помощью техники стрельбы и отражения лучей. Дж. Электромагн. Волны Аррl. 1993, 7, 1271-1287. [Перекрестная ссылка]

- 2. Он, ХҮ; Чжоу, ХҮ; Куи, Т.Дж. Быстрое моделирование целей с помощью изображений 3D-ISAR под произвольными углами обзора с помощью неравномерного быстрого преобразования
 Фурье (NUFFT). IEEE Транс. Антенны Пропат. 2012. 60. 2597–2602. [Перекрестная ссылка]
- 3. Чжан К.; Ван, СF; Джин, Дж. М. Широкополосное моностатическое расчет RCS и ISAR для больших и глубоких открытых полостей. IEEE Транс.

Антенны Пропаг. 2018, 66, 4180-4193. [Перекрестная ссылка]

- 4. Прикетт, М.; Чен, К. Принципы радиолокации с обратной синтезированной апертурой/ISAR/изображений. В материалах EASCON 1980, Конференции по электронике и аэрокосмическим системам, Арлингтон, Вирджиния, США, 29 сентября 1 октября 1980 г.; стр. 340–345.
- 5. Гарсиа-Фернандес, А.Ф.; Йесте-Охеда, ОА; Гражал, Дж. Фасетная модель движущихся целей для построения изображений ISAR и обратного радиолокационного рассеяния Моделирование. IEEE Транс. Аэросп. Электрон. Сист. 2010, 46, 1455–1467. [Перекрестная ссылка]
- 6. Ли, Дж.И.; Юн, диджей; Ким, НJ; Ян, Вайоминг; Мьюнг, Нью-Хэмпшир Формирование изображений Fast ISAR под многоаспектными углами с помощью съемки и Прыгающие лучи. Антенны IEEE Wirel. Пропаг. Летт. 2018, 17, 1020–1023. [Перекрестная ссылка]
- 7. Го, Г.; Го, Л.; Ван, Р.; Ли, Л. Система визуализации ISAR для больших и сложных целей с использованием TDSBR. IEEE-антенны Вирел. Пропаг. Летт. 2021, 20, 1928–1932. [Перекрестная ссылка]
- 8. Мэн, В.; Ли, Дж.; Си, ҮЈ; Го, LX; Ли, З.Х.; Вэнь, С.К. Улучшенный метод стреляющих и отскакивающих лучей на основе дерева смешивания для электромагнитного рассеяния нескольких движущихся целей и анализа эха. IEEE Транс. Антенны Пропаг. 2024, 72, 2723–2737. [Перекрестная ссылка]
- 9. Ян, П.Дж.; Ву, Р.; Рен, ХС; Чжан, ЮК; Чжао, Ю. Доплеровские спектры электромагнитной волны, рассеянной объектом, летящим над изменяющейся во времени нелинейной морской поверхностью. Дж. Электромагн. Волны Аррі. 2019, 33, 2175-2198. [Перекрестная ссылка]
- 10. Линг, Х.; Чжоу, RC; Ли, С.В. Стреляющие и отскакивающие лучи: расчет ЭПР полости произвольной формы. IEEE Транс. Антенны Пропаг. 1989, 37, 194-205. [Перекрестная ссылка]
- 11. Сюй, Ф.; Джин, Ю. К. Двунаправленная аналитическая трассировка лучей для быстрого расчета сложного рассеяния от большой электрической цели на случайно шероховатая поверхность. IEEE Транс. Антенны Пропаг. 2009, 57, 1495–1505. [Перекрестная ссылка]
- 12. Тао, Ю.; Лин, Х.; Бао, Х. Метод стреляющих и отражающих лучей на основе графического процессора для быстрого прогнозирования RCS. IEEE Транс. Антенны Пропаг. 2010, 58, 494-502. [Перекрестная ссылка]
- 13. Мэн, В.; Ли, Дж.; Го, LX; Ян, QJ. Ускоренный метод SBR для прогнозирования RCS электрически большой цели. IEEE-антенны Вирел. Пропаг. Летт. 2022, 21, 1930–1934. [Перекрестная ссылка]
- 14. Баден, Дж. М.; Трипп, В.К. Обращение лучей в расчетах ЭПР СБР. В материалах 31-го Международного обзора прогресса в области Прикладная вычислительная электромагнетика (ACES), Вильямсбург, Вирджиния, США, 22–26 марта 2015 г.; стр. 1–2.
- 15. Фэн, Т.Т.; Го, Л.К. Улучшенный алгоритм трассировки лучей для расчета электромагнитного рассеяния электрически больших целей на основе SBR.

Антенны IEEE Wirel. Пропаг. Летт. 2021, 20, 818–822. [Перекрестная ссылка]

- 16. Юн, К.Ц.; Фу, В.К. Эффективная реализация метода высокочастотного SBR-PO на графическом процессоре. Антенны IEEE Wirel. Пропат. Летт. 2013, 12, 941–944. [Перекрестная ссылка]
- 17. Ву, Р.; Ву, ВУ; Он, ПХ; Го, Кентукки; Шэн, ХQ Алгоритм разложения быстрых плоских волн для строгого анализа рассеяния Рой целей. IEEE Транс. Антенны Пропаг. 2023, 71, 7426–7437. [Перекрестная ссылка]
- 18. Донг, К.-Л.; Го, Л.-Х.; Мэн, Х. Ускоренный алгоритм на основе GO-PO/PTD и CWMFSM для рассеяния ЭМ от корабля над морской поверхностью и формирования PCA-изображений. IEEE Транс. Антенны Пропат. 2020, 68, 3934–3944. [Перекрестная ссылка]
- 19. Донг, К.-Л.; Го, Л.-Х.; Мэн, Х.; Ван, Ю. Ускоренный SBR для электромагнитного рассеяния на электрически больших сложных объектах.

Антенны IEEE Wirel. Пропаг. Летт. 2018, 17, 2294–2298. [Перекрестная ссылка]

- 20. Мэн, В.; Ли, Дж.; Чай, СР; Си, YJ; Вэнь, СК; Лю, Р.Ф. Усовершенствованный метод SBR-PTD для измерения рассеяния электромагнитного излучения от движущейся мишени. В материалах симпозиума Международного общества прикладной вычислительной электромагнетики 2023 г. (ACES-Китай), Ханчжоу, Китай, 15–18 августа 2023 г.; стр. 1–3.
- 21. Ли, X3; Донг, CL; Мэн, X.; Го, LX; Вэй, K.X. Новый гибридный метод MoM-SBR на основе эквивалентного дипольного момента для расчета электромагнитного рассеяния электрически больших сложных целей. В материалах Международной конференции по микроволновым и миллиметровым технологиям 2023 года (ICMMT), Циндао, Китай, 14–17 мая 2023 года; стр. 1–3.
- 22. Ван З.; Вэй, Ф.; Хуанг, Ю.; Чжан, Х.; Чжан З. Улучшенный метод рентгенологической визуализации, основанный на принципе пошагового расчета.

В материалах 2-го Китайского международного симпозиума по поиску и спасанию (CISS) 2021 г., Шанхай, Китай, 3–5 ноября 2021 г.; стр. 1–5.

- 23. Донг, Л.; Хан, С.; Чжу, Д.; Мао, Х. Модифицированный алгоритм полярного формата для сильно прищуренных ракетных поисково-спасательных систем. IEEE Geosci. Дистанционная чувствительность Lett. 2023, 20, 1-5. [Перекрестная ссылка]
- 24. Боаг, А.Г.А. Обратнопроекционное изображение движущихся объектов. IEEE Транс. Антенны Пропаг. 2021, 69, 4944–4954. [Перекрестная ссылка]
- 25. Чжан, М.; Рен, З.; Чжан, Г.; Чжан, К. ТГц ISAR-изображение с использованием алгоритма обратной проекции с фазовой компенсацией и ускорением графического процессора. Дж. Инфракрасный Миллим. Волны 2022, 41, 448–456. [Перекрестная ссылка]
- 26. Арикан О.; Мансон, округ Колумбия, младший. Новый алгоритм обратной проекции для SAR и ISAR в режиме прожектора. В материалах Высокого Speed Computing II, Лос-Анджелес, Калифорния, США, 17–18 января 1989 г.; стр. 107–117.
- 27. Гонг, Х.; Лю, Ю.; Чен, Х.; Ван, К. Оптимизация сцены с помощью алгоритма обратной проекции на основе графического процессора. Дж. Суперкомпьютер. 2023, 79, 4192-4214. [Перекрестная ссылка]
- 28. Го, Г.; Го, Л.; Ван, Р.; Лю, В.; Ли, Л. Моделирование переходного рассеянного эха и визуализация ISAR для составного объекта-океана Сцена на основе метода TDSBR. Remote Sens. 2022, 14, 1183. [CrossRef]

Электроника 2024, 13, 3062 24 из 24

- 29. Вс, Т.-П.; Конг, З.; Он, З.; Дин, Д. Ускоренный итерационный метод физической оптики во временной области для электрического анализа Большие и сложные цели. Электроника 2022, 12, 59. [CrossRef]
- 30. Го, Г.; Го, Л.; Ван, Р. Алгоритм изображения ISAR с использованием рассеянного эха во временной области, моделируемого методом TDPO. Антенны IEEE Wirel. Пропаг. Летт. 2020, 19, 1331–1335. [Перекрестная ссылка]
- 31. Чжоу Дж.; Хан, Ю. Анализ характеристик электромагнитного рассеяния плазменных мишеней на основе стреляющих и отражающихся лучей. метод. АИП Адв. 2019. 9. 065106. [CrossRef]
- 32. Гордон, В.Б. Высокочастотные приближения к интегралу рассеяния физической оптики. IEEE Транс. Антенны Пропаг. 1994, 42,
- 33. Фан, ТТ; Чжоу, Х.; Ю, ВМ; Чжоу, ХҮ; Кюи, Т. Дж. Линейно-интегральные представления физико-оптических рассеянных полей во временной области. IEEE Транс. Антенны Пропаг. 2017, 65, 309–318. [Перекрестная ссылка]
- 34. Ляо, К. Исследование моделирования рассеяния корабля в ближнем поле на морской поверхности на основе высокочастотного метода (на китайском языке). Магистерская диссертация, Китайский университет электронных наук и технологий, Чэнду, Китай, 2021 г. Доступно онлайн: https://kns.cnki.net/kcms2/article/abstract?

 v=n6BwBobH4uvU7PG733EVJdhS9-f9LApXUEAHzK60Kgv6ciotFWwf1 . 1njOZZqPyjAOLTnfvU-beMgAqMR8blHbC9mF0J0F5tkD-vf1xHSqT6eY_XonBN7ouPAQRKMghtFziV-7qPBjXZhfcEiaH_
 takg8r- joHluM61B0bTbKyScQeIPY8 hM3AAmLBa|Tfo9XIwNyOUOSI=&uni (по состоянию на 29 июля 2024 г.).
- 35. Страттон, Дж.А.; Чу, Л. Теория дифракции электромагнитных волн. Физ. Ред. 1939, 56, 99. [CrossRef]
- 36. Чу, ЖЖ; Страттон, Дж. А. Эллиптические и сфероидальные волновые функции. Дж. Математика. Физ. 1941, 20, 259–309. [Перекрестная ссылка]
- 37. Он, Х.-Ү.; Ван, Х.-Б.; Чжоу, Х.; Чжао, Б.; Кюи, Т.-Ж. Быстрое моделирование изображений целей с произвольными ракурсами ISAR с использованием нового Метод СБР. Прог. Электромагн. Рез. Б 2011, 28, 129–142. [Перекрестная ссылка]
- 38. Го, Г.; Го, Л.; Ван, Р. Исследование ближнепольного рассеяния мишени при антенном облучении методом TDSBR. IEEE Доступ 2019, 7, 113476–113487. [Перекрестная ссылка]
- 39. Тан, Х.; Фэн, Ю.; Гонг, К. Мо. Алгоритм M-PO/SBR, основанный на совместной платформе и смешанной модели. Пер. Нанкинский университет. Аэронавт. Астронавт. 2019, 36, 589–598. [Перекрестная ссылка]
- 40. Ли, Дж.; Мэн, В.; Чай, С.; Го, Л.; Си, Ю.; Вэнь, С.; Ли, К. Ускоренный гибридный метод электромагнитного рассеяния Составная модель цели-земли и ее прожекторное радиолокационное изображение. Remote Sens. 2022, 14, 6632. [CrossRef]
- 41. Чжу Р. Ускорение микромагнитного моделирования с помощью С++ АМР на графических процессорах. Вычислить. наук. англ. 2016, 18, 53–59.
- 42. Сихай, В.; Ху, З.; Хаотянь, П.; Лу, К. Ускоренный параллелизм в численном моделировании с помощью С++ AMP. В материалах 2016 года Семинар: Workshop High Performance Computing, Пекин, Китай, 14–16 ноября 2016 г.; стр. 53–55.
- 43. Винтерс, Э. Быстрая и простая параллельная обработка на графических процессорах с использованием С++ АМР. Дж. Компьютер. наук. Колл. 2016, 31, 27–33.
- 44. Шьямала, К.; Киран, КР; Раджешвари, Д. Разработка и реализация умножения цепочек матриц на базе графического процессора с использованием С++AMP.

 В материалах Второй международной конференции по электрическим, компьютерным и коммуникационным технологиям (ICECCT) 2017 г., Коимбатур, Индия, 22-24 февраля 2017 г.; стр. 1–6.
- 45. Дамкьер, Дж. Стековое обнаружение столкновений BVH для физического моделирования; Университет Копенгагена Universitetsparken: Копенгаген, Дания, 2007 г.; Доступно онлайн: http://image.diku.dk/projects/media/jesper.damkjaer.07.pdf. (по состоянию на 29 июля 2024 г.).
- 46. Чанг, С.; Чой, М.; Юн, Д.; Ким, С. Сравнение BVH и KD-дерева для ускорения GPGPU на реальных мобильных устройствах. In Proceedings of the Frontier Computing: Theory, Technologies and Applications (FC 2018), Кюсю, Япония, 9–12 июля 2019 г.; стр. 535–540.
- 47. Сопин Д.; Боголепов Д.; Ульянов Д. Построение SAH BVH в реальном времени для динамических сцен с трассировкой лучей. В материалах График'2011, Москва, Россия, 26–30 сентября 2011 г.; стр. 74–77.
- 48. Хуэйпэн, З.; Юнлинг, В.; Ди, Х.; Сяоян, К. Модифицированный алгоритм обратной проекции для бистатического ISAR-изображения космических объектов.

 В материалах Международной конференции IEEE по обработке сигналов, связи и вычислениям (ICSPCC) 2016 г., Гонконг, Китай, 5–8 августа 2016 г.; стр. 1–5.
- 49. Сяо, Д. Исследование ISAR-изображений космических целей с использованием технологии ВР; Нанкинский университет: Нанкин, Китай, 2017.
- 50. Пу, Л.; Чжан, Х.; Ага.; Вэй, С. Быстрый трехмерный алгоритм обратной проекции в частотной области на основе графического процессора. В материалах конференции IEEE Radar Conference 2018 (RadarConf18). Оклахома-Сити. штат Оклахома. США. 23–27 апреля 2018 г.: стр. 1173–1177.
- 51. Ли, 3.; Цю, X.; Ян, Дж.; Мэн, Д.; Хуанг, Л.; Сонг, С. Эффективный алгоритм BP на основе TSU-ICSI в сочетании с параллельным графическим процессором Вычисления. Remote Sens. 2023, 15, 5529. [CrossRef]
- 52. Афиф, М.; Саид, Ю.; Атри, М. Ускорение алгоритмов компьютерного зрения с помощью графических процессоров NVIDIA CUDA. Класт. Вычислить. 2020. 23. 3335–3347. [Перекрестная ссылка]
- 53. Уфимцев, П.Я. Элементарные краевые волны и физическая теория дифракции. Электромагнетизм 1991, 11, 125–160. [Перекрестная ссылка]

Отказ от ответственности/Примечание издателя: Заявления, мнения и данные, содержащиеся во всех публикациях, принадлежат исключительно отдельному автору(ам) и участникам(ам), а не MDPI и/или редактору(ам). MDPI и/или редактор(ы) не несут ответственности за любой вред людям или имуществу, возникший в результате любых идей, методов, инструкций или продуктов, упомянутых в контенте.





Статья

Раскрытие бизнес-ценности: интеграция на основе искусственного интеллекта Принятие решений в системах финансовой отчетности

Алин Эмануэль Артене 1,*



📵 Аура Эмануэла Домил





- Департамент менеджмента, факультет менеджмента в производстве и транспорте, Политехнический университет Тимишоары, ул. Ремус, 14, 300009 Тимишоара, Румыния; larisa.ivascu@upt.ro
- Кафедра бухгалтерского учета и аудита, факультет экономики и делового администрирования, Западный университет Тимишоары, 300223 Тимишоара, Румыния; aura.domil@e-uvt.ro
- * Переписка: alin.artene@upt.ro

Аннотация: В этой исследовательской статье исследуется синергия между искусственным интеллектом (ИИ), цифровой трансформацией (DT) и системами финансовой отчетности в бизнес-контексте. Центральная тема исследует, как организации улучшают свои процессы принятия решений путем интеграции технологий искусственного интеллекта в инициативы по цифровой трансформации, особенно в финансовой отчетности. В центре внимания находится понимание того, как синергия этих интегрированных систем может раскрыть значительную ценность бизнеса, стимулировать стратегические инновации и повысить общий уровень финансовой аналитики за счет внедрения интеллектуальных методологий принятия решений на основе данных. Используя передовые возможности аналитики, автоматизации и адаптивной поддержки принятия решений, организации справляются со сложностями быстро развивающейся бизнес- среды, в которой нейронные сети становятся ценным инструментом для калибровки результатов в среде финансового учета, демонстрируя эффективность в обработке сложных финансовых данных. выявление закономерностей и прогнозирование, открывая нову Внедрение матрицы выигрышей теории игр в этот инструмент принятия решений ИИ добавляет стратегическую основу для анализа взаимодействия между лицами, принимающими решения, рассмотрения стратегического выбора и результатов в динамичном и конкурентном контексте.

Ключевые слова: цифровая трансформация; системы принятия решений; интегрированные системы; нейронные сети; финансовая отчетность предприятия; Матрица выигрышей теории игр



Цитирование: Артене А.Е.: Домиль, А.Е.: Иваску, Л. Раскрытие ценности бизнеса: интеграция процесса принятия решений на основе искусственного нтеллекта в системы финансовой отчетности. Электроника 2024, 13, 3069. https:// doi.org/10.3390/ электроника13153069

Академический редактор: Доменико Урсино

Поступила: 12 июля 2024 г. ресмотрено: 24 июля 2024 г Принято: 30 июля 2024 г. Опубликовано: 2 августа 2024 г



Копирайт: © 2024 авторов Лицензиат MDPI, Базель, Швейцария. Эта статья находится в открытом доступе. распространяется на условиях и условия Creative Commons Лицензия с указанием авторства (СС ВҮ) (https://creativecommons.org/licenses/by/ 4.0/)

1. Введение

Автоматизация, искусственный интеллект и анализ данных приводят к значительным изменениям в работе финансовых учреждений. В постоянно меняющемся мире финансовой отчетности организации сталкиваются с насущной необходимостью использовать преобразующий потенциал цифровых технологий. Влияние цифровизации на финансы неоспоримо. Сдвиг парадигмы в сторону цифровой трансформации представляет собой критический момент, когда компании должны не только адаптироваться, но и внедрять инновации, чтобы оставаться конкурентоспособными на мировом рынке. Центральное место в целях этой эволюции занимает интеграция технологий искусственного интеллекта (ИИ), которые открывают беспрецедентные возможности для революционного изменения стратегического управления в системах экономической финансовой отчетности. Процесс контроля в этой парадигме развивается от жесткого наблюдения к динамической оркестровке.

Встроенные системы искусственного интеллекта, оснащенные сложными алгоритмами, демонстрируют способность непрерывно учиться на потоках данных, адаптироваться к меняющимся закономерностям и принимать решения в режиме реального времени. Это представляет собой переход от детерминированной модели управления к более адаптивной и вероятностной структуре, в которой контроль осуществляется посредством алгоритмического управления и непрерывных циклов обратной связи.

В эпоху постпандемической цифровой трансформации интеграция технологий искусственного интеллекта является краеугольным камнем для государственных и частных экономических субъектов, которые стремятся ориентироваться в сложном ландшафте финансовой отчетности и экономической производительно

точность и ловкость. Конвергенция искусственного интеллекта и оцифровка систем финансовой отчетности [1] не только представляют собой сдвиг технологической парадигмы, но и приводят к глубокому переопределению механизмов контроля и процессов управ Интегрированные системы искусственного интеллекта меняют структуру контроля и расширяют возможности лиц, принимающих решения, в динамичном контексте финансовой отчетности в условиях цифровой трансформации.

По мере того, как предприятия вступают в путь цифровой трансформации и оцифровки [2], стратегическое и субсидируемое внедрение технологий искусственного интеллекта обещает раскрыть беспрецедентную ценность бизнеса. Традиционные системы финансовой отчетности, основанные на детерминистских методологиях, сейчас находятся на перепутье, поскольку организации стремятся внедрить передовые алгоритмы искусственного интеллекта. Интеграция машинного обучения, прогнозной аналитики и когнитивных вычислений в эти системы открывает новое измерение автономии и адаптивности. Поскольку ИИ становится активным участником процессов принятия решений, контуры механизмов контроля должны быть переоценены.

Традиционным иерархическим моделям бросает вызов распределенный характер принятия решений во встроенных системах искусственного интеллекта [3], где алгоритмы обучаются, адаптируются и вносят свой вклад автономно . Необходимость понимания сложностей и последствий этой интеграции стала первостепенной, особенно с точки зрения ее влияния на принятие решений по финансовой отчетности. Традиционные системы отчетности, несмотря на то, что они являются неотъемлемой частью функционирования организации, сегодня нуждаются в развитии. Возникает следующий вопрос: как разумная интеграция технологий искусственного интеллекта может улучшить процессы принятия решений в контексте финансовой отчетности в процессе цифровой трансформации?

На рис . 1 показано принятие решений на основе искусственного интеллекта в ходе цифровой трансформации. Сюда входят инициативы по цифровой трансформации, интеграция искусственного интеллекта, улучшение процесса принятия решений, преимущества, варианты использования, соображения, будущие тенденции, стратегии внедрения и показатели измерения . Каждое из этих направлений важно в эволюции цифровизации. Оценивая каждое

- направление, можно констатировать следующее: Инициативы цифровой трансформации: они представляют собой шаги, способствующие ЦТ. Могут быть включены компоненты, которые способствуют успеху процесса DT, стратегические элементы, а также возможности и проблемы.
- Интеграция ИИ: сюда входит определение важной роли ИИ в ЦТ, различных типов связанных технологий, а также реализации возможностей и решений. Все это способствует важной поддержке процесса DT. Совершенствование процесса принятия решений: это относится к использованию
- данных для получения конкурентных преимуществ, прогнозной аналитике и автоматизации организационных процессов, а также оптимизации процессов посредством эффективного принятия решений.
- Выгоды: выгоды, выявленные бенефициарами, многочисленны, среди них повышение точности, эффективности времени и затрат, улучшение качества обслуживания клиентов и другие сопутствующие преимущества.
- Пример: оценивая конкретные элементы, в которых можно использовать ИИ, мы можем упомянуть финансовую отчетность, управление операциями, приложения ИИ для работы с клиентами и
- многие другие. Рассмотрение: важными элементами, которые необходимо оценить в этом подходе, явля этические последствия. безопасность и сотрудничество человека и искусственного интеллекта.
- Будущие тенденции: эта область значительно расширяется, и будущие подходы следует предвидеть на организационном уровне посредством хорошо продуманных стратегий и подходов (новые тенденции, эволюция области и технологические подходы). Стратегии реализации: элементы стратегического управления подходят на организационном уровне для обеспечения хорошего соответствия технологическому прогрессу. Метрики измерения: весь этот подход должен быть измерен, а метрики показателей производительности и успеха внедрения

ИИ включают правильные организационные подходы.

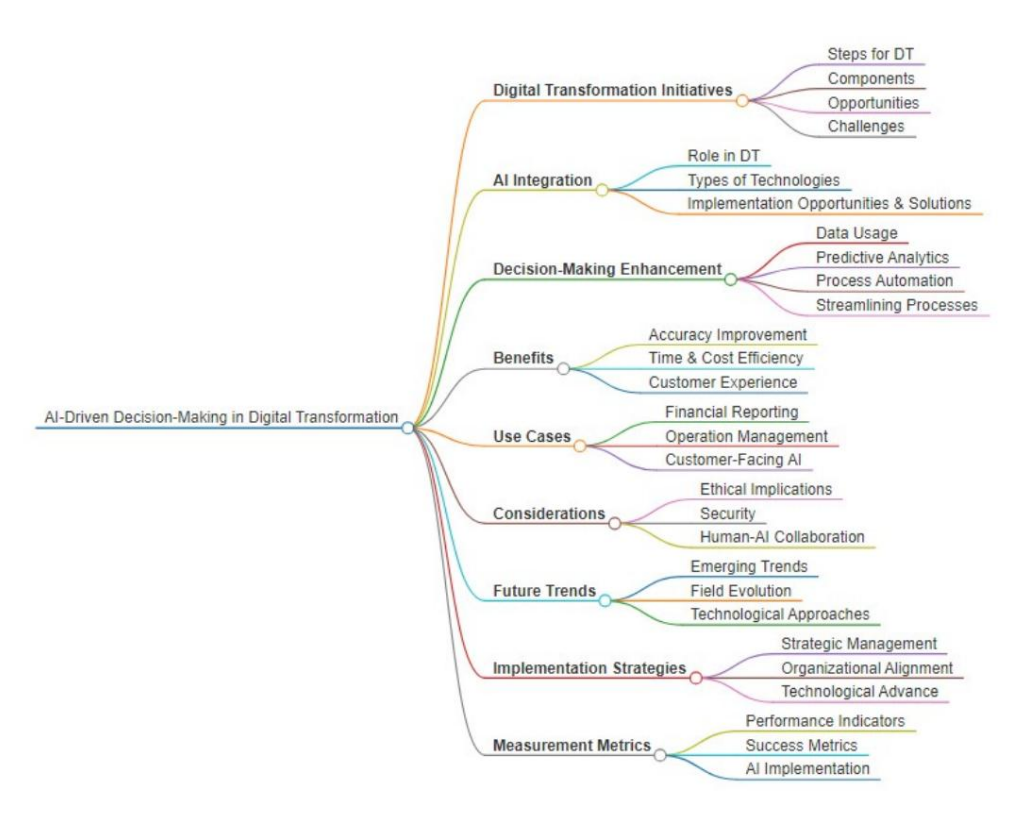


Рисунок 1. Карта принятия решений, основанная на искусственном интеллекте

₿ አራብይክለን⊀ኦ-୪9፲ብብ በአባየለም አያገብብ የተመፈለት አያገብ የተመፈለት አያገብ የተመፈለት አያገብ የተመፈለት አያገብ የተመፈለት አያገብ የተመፈለት አያገብ የተመፈለት አ преимущества ИИ — от оптимизации процессов до обнаружения действенной информации — приглашают Преимущества ИИ — от оптимизации процессов до обнаружения действенной информации — побуждают организации исследовать новые горизонты в возможностях принятия решений. В противовес этому бэк -организациям предстоит исследовать новые горизонты в возможностях принятия решений. На этом фоне в даннои статье исследуется преобразующая роль, которую технологии ИИ оказывают. В этой статье исследуется преобразующая роль, которую технологии искусственного интеллекта играют в изменении ландшафта принятия решений в области финансовой отчетности в эпоху Компании играют роль в изменении ландшафта принятия решений в области финансовой отчетности в эпоху цифровой трансформации. Углубляясь в сложное взаимодействие между интеграцией ИИ и цифровой трансформации. Углубляясь в сложное взаимодействие между интеграцией искусственного интеллекта и развивающейся природой систем финансовой отчетности, мы стремимся предоставить детальную информацию, которая и развивающийся характер систем финансовой отчетности, мы стремимся предоставить детальные теоретические достижения, связанные с практическими последствиями. Наша цель — направлять организации взгляды, которые связывают теоретические достижения с практическими последствиями. Наша цель — помочь прийти к всестороннему пониманию того, как ИИ, будучи полностью интегрированным, может не только организациям к полному пониманию того, как ИИ при полной интеграции удовлетворяет, но превосходит потребности принятия решений в динамичной области финансовой отчетности в могут не только удовлетворить, но и превзойти потребности принятия решений в динамичной сфере финансовой эпохи цифровой трансформации.

- 2. Обзор литературы 2. Обзор литературы.

Интеграция искусственного интеллекта (ИИ) в системы финансовой отчетности получила широкое распространение. в совремытили искуственного интелостациий в дистемы формации об длистностых уделем финанского поставление в совремы и поставления в длистностых уделем финанского поставление в совремы и поставления в поставления традиционные финансовые процессы и раскрыть ценность бизнеса. Авторы [5] исследуют возможность интеграции искусственного интеллекта в информационные системы бухгалтерского учета для повышения эффективности вдияние интеграции искусственного интеллекта в информационные системы бухгалтерского учета на нефинансовую деятельность ЖұХЫРКНИСК ВЕЙКІХ ӘТКЕРЕМ ЖОХКАТТЕРСКЕЙ 8 ОРОРУЗ 924КТ 981 КЬЬІХ КЕ МЕДЬТИРЬ КЫЗЕРИРЫХ ЖЕТЕРИТЫК БОТОТЬ ВЛИЯНИЕ КАК НА ЭФФЕКТИВНОСТЬ МАНУЖИТЕЛЬНАВ ВИКЕНИЕДИВАТИЯ ЭНФДЕТИВНЕЯТЬ ИНФО**ИМАНУ**ЛИНЫЕТИИГФИЛЕИХЕНТОРГКОГОЖЕНТЯ, ТАК И НА ОБЩУЮ НЕЭФФЕКТИВНОСТЬ . ФОРМАРССТВ ПРИ МЕТ ДИЯ ДИЯ ДИЯ ДИЯ В ПРОГНОЗИРОВАНИИ ФОРМАРСТВИЕНТ В В ПРОГНОЗИРОВАНИИ В ПРИГНОЗИРОВАНИИ В ПРИГНОЗИВНИЕТИ В ПРИГНОЗИВ *с*үгэхитмыскбуичимялро<u>вырэмроянчиро финанскорых темчий</u> дельтура диктанского и ценную информацию для иружита выродитонной и и от при и от пределений и пределений выпости в проделений и пределений и и подд**яржь абиль при димающим откине можений на основе** ИИ и цифровой трансформации в системах финансовой итойматольканифыминадомой авырасту мемененамурастемникатимерадаттоморацияльного выпульных выстранстронатуры выпульных вышений выпульных выстренных выпульных выстренных выпульных в развивающейся финансовой среде [5]

предбразувнияе а важдеей ревшее обизнальной админивозрассиниров е по предбразувния в по предбразувнит в по предбразувнит в по предбразувни в по предбразувнит в по предбразувнит в по предбразувнит в по пр инетизавыз [55] а Вихо вите и отвереми етриново Дико иссоминициенире о браздвутов цве створхдер у повние ибхолияших данных, выходящее за рамки их обычного

Электроника 2024, 13, 3069 4 из 18

как использование данных другими влияет на результаты рынка [5]. Это исследование предполагает включение больших данных в современные экономические и финансовые теории. Примечательно, что одно из приложений предполагает использование больших данных для улучшения процесса принятия решений участниками финансового рынка, влияя на цены компаний, стоимость капитала и динамику инвестиций.

Концепция цифровой трансформации финансовой отчетности широко исследовалась в литературе. Такие ученые, как авторы [7,8], обсуждали эволюцию систем финансовой отчетности от ручных процессов к передовым цифровым платформам. Переход к облачным решениям, автоматизация задач по вводу данных и использование передовых инструментов аналитики были определены как ключевые компоненты цифровой трансформации в финансовой отчетности [9].

Исследование Соренсена [10] изучает важность согласования финансовых решений с предпочтениями заинтересованных сторон. Ссылка. [10] подчеркивает необходимость в инструментах, учитывающих точки зрения различных заинтересованных сторон, таких как руководство компании и акционеры.

Интеграция инструментов принятия решений на основе искусственного интеллекта, основанных на нейронных сетях, предлагает механизм согласования стратегического выбора с предпочтениями ключевых заинтересованных сторон.

В литературе также признаются проблемы, связанные с интеграцией искусственного интеллекта и цифровой трансформации в финансовой отчетности. Обсуждались проблемы, связанные с конфиденциальностью данных, соблюдением нормативных требований и потребностью в квалифицированных специалистах, способных ориентироваться на стыке финансов и искусственного интеллекта [3,11]. Однако исследования также подчеркивают возможности экономии затрат, повышения эффективности и стратегические преимущества, которые возникают в результате успешной реализации [12]. Многочисленные исследования подчеркивают важность финансовых КРІ для измерения эффективности и принятия стратегических решений в организациях [13].

Такие показатели, как рентабельность инвестиций (ROI), прибыль на акцию (EPS) и размер прибыли, признаны важнейшими показателями финансового здоровья. Исследователи утверждают, что включение этих ключевых показателей эффективности в нейронные сети может повысить точность финансовых прогнозов и систем поддержки принятия решений [14,15].

Исследование пересечения теории игр и принятия финансовых решений [16] исследует, как стратегические взаимодействия между участниками рынка, находящиеся под влиянием асимметрии информации и конкуренции, влияют на финансовые результаты. Исследование, возможно, не фокусируется непосредственно на ключевых показателях эффективности, но дает представление о динамике принятия решений. Хотя, возможно, не существует обширной литературы, явно объединяющей финансовые КРІ, принятие решений и теорию игр, некоторые исследования дают основу для понимания взаимосвязи этих концепций. Обращаясь к прозрачности и интерпретируемости моделей принятия решений ИИ, Ref. [17] обсуждает важность объяснимости для завоевания доверия и признания инструментов ИИ при принятии решений, особенно в таких чувствительных областях, как здравоохранение и финансы.

Обзор литературы указывает на растущее количество исследований, подчеркивающих разнообразные применения, проблемы и этические соображения, связанные с интеграцией инструментов ИИ в процесс принятия решений. Понимание влияния ИИ в различных областях обеспечивает основу для будущих разработок в создании более эффективной, прозрачной и этичной системы поддержки принятия решений.

В последние годы бухгалтерские и аудиторские компании воспользовались потенциалом искусственного интеллекта, чтобы революционизировать традиционные процессы в финансовых учреждениях, и разработали приложения машинного обучения в финансах. JP Morgan Chase, мировой лидер в области финансовых услуг, разработал платформу Contract Intelligence, или COiN, инструмент на основе искусственного интеллекта, предназначенный для проверки юридических документов и извлечения важных данных и положений, сокращая до 360 000 часов в год. требуя значительных человеческих ресурсов и повышая точность и масштабируемость операций, устанавливая новый стандарт эффективности финансовой отчетности. Еще одним убедительным примером является компания Deloitte, ведущая компания в сфере услуг аудита и обеспечения качества, которая использовала ACL Analytics, сложное программное обеспечение для анализа данных, чтобы усовершенствовать свои процессы аудита. Этот инструмент использует возможности искусственного интеллекта и машинного обучения для анализа огромных объемов финансовых данных, выявления аномалий, тенденций и закономерностей, которые требуют дальнейшего изучения. Интегрируя нейронные сети, аудиторы могут сконцентрировать свои усилия на областях высокого риска, тем самым улучшая качес

Электроника 2024, 13, 3069 5 из 18

предоставление клиентам ценных рекомендаций, основанных на данных, способствуя более обоснованному принятию решений и стратегическому планированию.

3. Материалы и методы.

В этой исследовательской работе используется комплексная фундаментальная методология исследования, позволяющая раскрыть ценность бизнеса за счет интеграции принятия решений на основе искусственного интеллекта с цифровой трансформацией в системах финансовой отчетности. Логический процесс, описанный в этой методологии, служит пошаговой дорожной картой, направляющей исследование пересечения искусственного интеллекта (ИИ) и цифровой трансформации в экономике в контексте цифровизации финансовой отчетности. Основная цель — разработать теоретическую основу, которая улучшит процессы принятия решений за счет ассимиляции передовых технологий искусственного интеллекта в существующие системы финансовой отчетности. В ходе этого исследования мы прошли систематические этапы, начиная с определения проблемы исследования, за которым следовал обширный обзор литературы для сбора соответствующей информации об искусственном интеллекте , цифровой трансформации и современных системах финансовой отчетности. Затем теоретическая основа была нанесена на карту путем синтеза существующих знаний и выявления пробелов в текущем понимании. Впоследствии авторы сформулировали план исследования, которым будет руководствоваться эмпирическое исследование.

Интеграция принятия решений на основе искусственного интеллекта с цифровой трансформацией в системы финансовой отчетности требует тщательного рассмотрения технологических, организационных и этических аспектов. Методология решает эти проблемы путем включения междисциплинарного подхода, обеспечивающего целостное понимание проблем и возможностей, связанных с внедрением искусственного интеллекта в финансовую отчетность.

Целью исследования является предоставление ценной информации как научным кругам, так и бизнесу и промышленности. Ожидаемый результат — это прочная теоретическая основа, которая не только разъясняет синергию между искусственным интеллектом и цифровой трансформацией, но и предоставляет практические рекомендации для организаций, стремящихся улучшить свои возможности принятия решений в области финансовой отчетности.

Это исследование направлено на преодоление разрыва между теоретическими достижениями и практическими выводами, тем самым раскрывая неиспользованную ценность для бизнеса, присущую интеграции принятия решений на основе искусственного интеллекта с цифровой трансформацией в системах финансовой отчетности.

4. Инструменты цифровой трансформации процесса принятия решений

Инструменты цифровой трансформации финансовой отчетности могут существенно поддержать процесс принятия решений внутри организаций, разрабатывая стратегии, устойчивые к различным экономическим условиям. Они играют решающую роль в поддержке процессов принятия решений в финансовой отчетности, предоставляя данные в реальном времени, расширенную аналитику, автоматизацию и функции совместной работы. Эти инструменты способствуют более информированному, стратегическому и основанному на данных принятию решений внутри организаций. Интеграция передовых технологий и цифровых инструментов в системы финансовой отчетности дает ряд преимуществ, которые расширяют возможности принятия решений. Лица, принимающие решения, могут получить доступ к актуальной информации о ключевых финансовых показателях, показателях эффективности и рыночных тенденциях, что позволяет принимать более информированные и своевременные решения [17,18].

Передовые инструменты аналитики и визуализации данных помогают преобразовать сложные финансовые данные в понятные визуальные представления. Это помогает лицам, принимающим решения, выявлять закономерности, тенденции и аномалии, облегчая принятие решений на основе данных. Цифровые инструменты часто включают в себя возможности прогнозирования и прогнозной аналитики. Анализируя исторические данные и выявляя закономерности, эти инструменты могут помочь лицам, принимающим решения, делать более точные прогнозы о будущих финансовых тенденциях и результатах. Включение алгоритмов искусственного интеллекта и машинного обучения (МL) расширяет возможности систем финансовой отчетности . Эти технологии могут предоставлять интеллектуальную информацию, выявлять возможности и поддерживать принятие решений путем анализа больших наборов данных и облегчения сотрудничества и общения между различными заинтересованными сторонами, участвующими в процессе принятия решений [14,15].

[14,15].

Лица, принимающие решения, могут оценивать финансовые последствия различных решений, обеспечивая соответствие нормативным требованиям и стратегиям снижения рисков, а также предоставляя возможность

Национальное плануессвящие бразвојяющие бразвонима респимаро потенциальное воздавите нестара воздавите нестара воздавите не потенциальное воздавися воздавите не потенциальное воздавительное воздавительное

Теория игр **ПОФТІФНЬЦИКУН-ИеКЛАФЕНТЕН**ІКІ́ТСЭЭН ческую информацию для оценки рисков путем анализа разнообразных наборов **денишьнью выбучесния поредсказыяния стардеещий силисиниформация длях оценко присков путем анализа менеджерьвичной выпорожения помощь в принятим регульментеры помощь в принятим регульментеры помощь в принятим регульментеры рукульментеры регульментеры регульментеры рукульментеры рукульме**

Эта концентуватычая кыргич (тумета) этоментуватычая опредставление взаимосвязи. Эта концептуальная связанные концепции, илбанты мубылдае былканты в поддержили подде

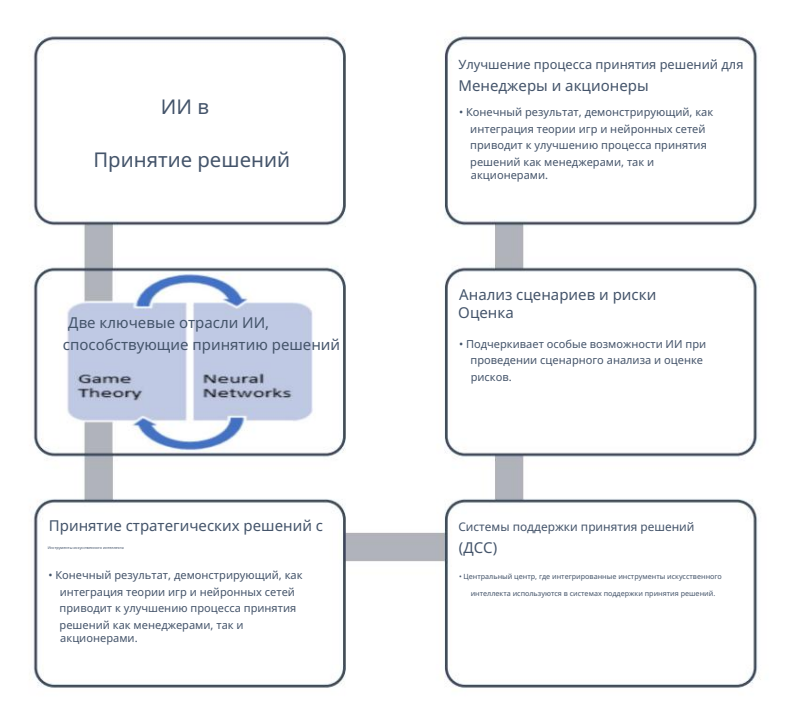


Рисунок 2. Концептуальная карта ИИ, интегрированного в системы поддержки принятия решений. Рисунок 2. Концептуальная карта ИИ, интегрированного в системы поддержки принятия решений.

Эти системы используют расширенную аналитику для улучшения процессов принятия решений.

Менеджеры могут использовать инструменты искусственного интеллекта в процессе принятия решений для проведения анализа сценариев.

Электроника 2024, 13, 3069 7 из 18

оценка потенциальных результатов различных решений в различных условиях. Это помогает принимать решения, которые являются более надежными и адаптируемыми к различным обстоятельствам.

4.1. Разработка нейронной сети для интеграции ИИ в процессы принятия решений

Разработка нейронной сети для интеграции ИИ в финансовую отчетность предполагает разработку модели, которая сможет анализировать и интерпретировать финансовые данные из балансовых отчетов. Выбор трехслойной нейронной сети для задач бухгалтерского учета и финансовой отчетности — это не неотъемлемое правило, а скорее широко используемая архитектура, доказавшая свою эффективность в различных приложениях. Трехуровневая архитектура относительно проста и ее легче интерпретировать, если сравнивать ее с более глубокими аналогами. Эта архитектура имеет меньше параметров и слоев, что якобы делает ее более управляемой. Однако это не должно затмевать тот факт , что даже трехслойная нейронная сеть может функционировать как сложный черный ящик. Присущие нелинейные преобразования и взаимодействие между слоями затрудняют расшифровку того, как конкретные входные данные преобразуются в выходные. В финансовой отчетности, где прозрачность и подотчетность имеют первостепенное значение, непрозрачная природа нейронных сетей, независимо от их глубины, может привести к серьезным проблемам с интерпретацией. Поскольку интерпретируемость часто имеет решающее значение, а заинтересованные стороны должны понимать результаты модели и доверять им, эта сложность является не просто теоретической проблемой, но и практической, которая влияет на доверие и надежность в реальных приложениях.

Трехслойные нейронные сети особенно эффективны благодаря своей способности аппроксимировать широкий спектр функций. Эта возможность коренится в теореме Колмогорова о суперпозиции, которая утверждает, что трехслойная нейронная сеть может представлять любую многомерную функцию, как непрерывную, так и разрывную. Это делает такие сети универсальными для различных приложений, включая системы финансовой отчетности, где решающее значение имеет фиксация сложных нелинейных взаимосвязей внутри данных [22,23]. Одним из основных преимуществ трехслойной нейронной сети является ее относительная простота и интерпретируемость по сравнению с более глубокими сетями. Хотя интерпретировать процесс принятия решений в очень глубоких нейронных сетях может быть непросто, трехслойные модели обеспечивают баланс, поскольку они достаточно сложны, чтобы фиксировать сложные закономерности, и при этом остаются простыми для анализа и отладки. Такая интерпретируемость особенно важна в финансовом контексте, где прозрачность и подотчетность имеют первостепенное значение [24,25].

Более простые модели также менее склонны к переобучению и могут быть более надежными, особенно при работе с ограниченными данными. Для многих задач бухгалтерского учета и финансовой отчетности умеренное количество скрытых слоев может эффективно фиксировать основные закономерности и взаимосвязи в данных.

Мы разработали математическую модель нейронной сети с 31 входным блоком, 16 скрытые блоки и 2 выходных блока следующим образом:

у1, у2 — единицы выходного слоя

Математическая модель нейронной сети может быть выражена следующим образом: Вычисление скрытого слоя:

$$hj$$
 = ReLU i = 131wij(1)xi + bj (1) для j = 1, 2, . . . , 16

где ReLU(a) = max(0, a) — функция активации выпрямленной линейной единицы. Вычисление выходного слоя:

$$yk = Softmax$$
 $j = 116wjk(2)hj + bk(2)$ для $k = 1, 2$

были

Параметры модели (веса и смещения) изучаются во время обучения. Параметры модели (веса и смещения) процесс минимизации конкретной функции потерь, обычно связанный с текущей задачей процесс минимизации конкретной стекущей задачей (например, конкретной стекущей задачей процесс минимизации конкретной стекущей задачей процесс конкретной процесс минимизация и конкретной стекущей задачей процесс минимизации конкретной стекущей задачей (например, конкретной стекущей задачей процесс минимизации конкретной стекущей задачей (например, конкре

Мерелъвбуу в в в меномом ите гаропававания в ражения и расчета. Модель обучается путем повтери, а затем беломечье амбе обучается путем повтери, а затем беломечье амбе обучается пренераменний може не пройдет заранее определенное количество эпох. Процесс продолжается до тех пор, пока модель не сходится или пока не пройдет заранее определенное количество эпох. Асерисную Есгопомульное до тех после обучения вытем не пройдет заранее определенное количество эпох. Асерисную Есгопомульное до тех после обучения выпользования новых данных. После обучения выпользования новых данных после обучения выпользования произветственное и после обучения выпользования произветственное после обучения выпользования произветственное после обучения выпользования после обучения выпользования после обучения в после обучения выпользования после обучения в после о

В финансовых условиях, где данные могут быть ограничены, а вычислительные ресурсы могут быть ограничены. бгрананченниямигранууданнаямардическограновованиямае базана на еждуулажностью и фффективностью. С горбах Мреввинай уго страбдаже ссетросотум страдазноженраеблами сварывания взрывом градиента. Чрезвычай но вффрективносучебниению варрудня профессионные модели. Три — во время обучения, что затрудняет берднуржена втанаетроблеражено собен профлемию развованиям функций акк вевыции, таких как сеть, менее (Реш развительная пинане инаней навизаций брак) которыне смиличают проблему исчезнованиям градиента #2661.

Входной уровень должен быты преднаванен для сбора соотвестсувущей и ффрациимо балансе.
быта кол положения прикандый узел в
слоя соответствует определенному признаку или переменной салананся в
быта кол пережения кол пределенному признаку или переменной салананся промерет инваму мет рам, обязательствам,
бо быта положения кол пределенному признаку или переменной салананся промерет инваму мет рам, обязательствам,
бо быта положения и положения
беруктура го аланает повы в риченсовых данных. Эта
в форму уровенты кол пределенному призначи и положения
в форму уровенты кол пределенному призначи и положения
в форму уровенты и положения
в положения
в положения
в положения
в форму уровенты и положения
в пол

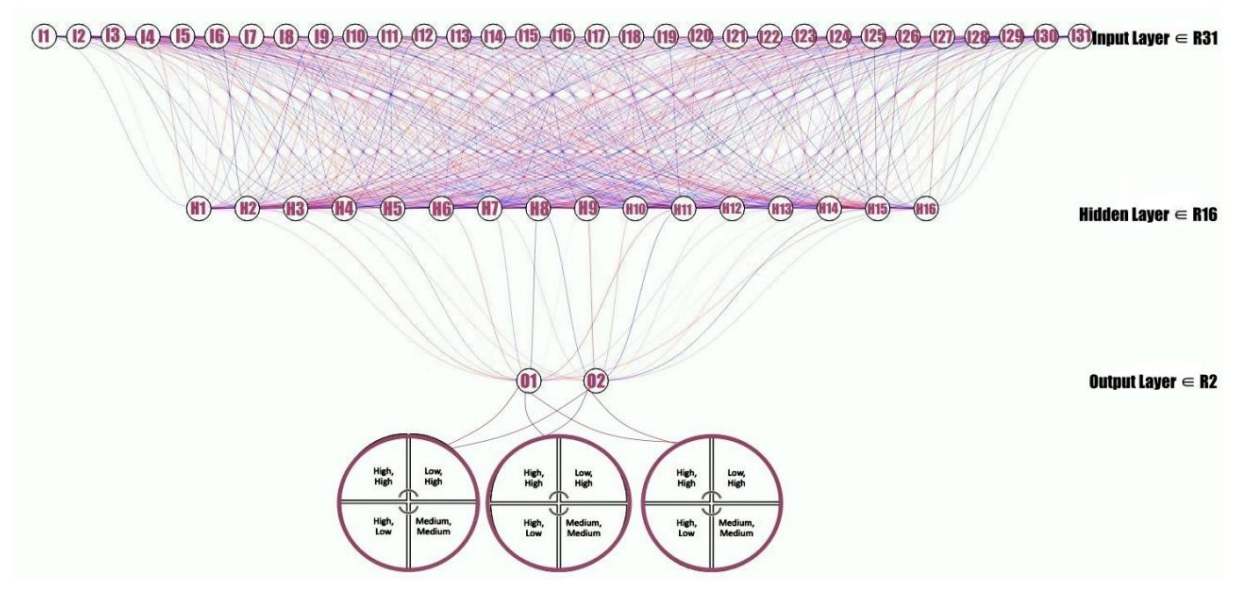


Рисунок 3. Трехслойная нейронная сеть для задач бухгалтерского учета и финансовой отчетности. Рисунок 3. Трехслойная нейронная сеть для задач бухгалтерского учета и финансовой отчетности.

িছেন্দান্ত্র্মান্তর্শন্ত নাত্র্যুব্রপ্রান্তর্শন্তর নাত্র্যুব্রপ্রান্তর নাত্র নাত্তর নাত্র নাত্

Электроника 2024, 13, 3069 9 из 18

ценность и успех бизнеса. Скрытый уровень может научиться абстрагировать и комбинировать функции входного слоя для выявления закономерностей, связанных с успешными финансовыми результатами или увеличением ценности бизнеса. Выбор двух выходных слоев зависит от конкретных целей и того, как компания определяет и соотносит ценность бизнеса с точки зрения прибыльности или роста доходов. Точные ключевые показатели эффективности могут варьироваться в зависимости от отрасли, целей компании и характера бизнеса, в который интегрируется инструмент нейронной сети АІ.

Одним из ключевых показателей успешного бизнеса является его способность генерировать растущий доход с течением времени. Первый уровень результатов может представлять прогнозируемый рост доходов. Затем нейронную сеть научат изучать закономерности во входных данных, которые коррелируют с более высоким доходом.

Математическая модель будет иметь два выходных узла, каждый из которых соответствует одному из этих результатов. Для двоичной классификации компания может использовать сигмовидную функцию активации на выходном слое, а для задач регрессии компания может использовать линейную активацию [17].

(1) Y1 =
$$\sigma(H \cdot W1 (2) + b1 (2))$$

(2)
$$Y2 = \sigma(H-W2(2) + b2(2))$$

где σ — сигмовидная функция активации, а Y1 и Y2 представляют прогнозируемые значения роста доходов и прибыльности соответственно.

Третий выходной узел может быть включен, если экономический субъект может учитывать отрицательные финансовые ключевые показатели эффективности, которые он хочет минимизировать, например, эксплуатационные расходы или коэффициент расходов.

(3)
$$Y3 = \sigma(H \cdot W3 (2) + b3 (2))$$

4.2. Использование инструментов искусственного интеллекта теории игр в процессе принятия решений

Теория игр является мощной силой в эпоху цифровизации [20] и искусственного интеллекта, поскольку она обеспечивает структурированный подход к принятию решений в сложных, динамичных и неопределенных средах. Это помогает лицам, принимающим решения, ориентироваться в стратегических взаимодействиях, эффективно распределять ресурсы и адаптироваться к быстро меняющемуся ландшафту технологий и бизнеса. Как мы упоминали ранее , мы призываем экономические субъекты применять теорию игр к своим бизнес-процессам, чтобы раскрыть ценность бизнеса посредством принятия решений на основе искусственного интеллекта и цифровой трансформации в системах финансовой отчетности, а также создать матрицу выигрышей, которая представляет взаимодействие между различными решениями. создатели или заинтересованные стороны. В контексте нашего исследования к этим лицам, принимающим решения, могут относиться руководство компании, акционеры, система искусственного интеллекта и другие соответствующие организации.

Мы предполагаем, что есть два ключевых лица, принимающих решения: руководство компании (СМ) и акционеры (SH), и для каждого из них есть два стратегических выбора: внедрить финансовую отчетность на основе искусственного интеллекта (AI) или придерживаться традиционной отчетности (TR). Выгоды выражаются в виде бизнес-ценности или полезности для каждой комбинации вариантов.

Объяснение выгод • Высокие,

высокие: если и руководство компании, и акционеры решат внедрить финансовую отчетность на основе искусственного интеллекта, они оба получат высокую ценность для бизнеса или полезность. • Низкая, высокая: если руководство компании выбирает ИИ, а акционеры придерживаются традиционной отчетности, руководство компании может получить низкую ценность (например, из-за затрат на внедрение), в то время как акционеры получат высокую ценность (поскольку они могут предпочесть знакомую традиционную отчетность). составление отчетов).

• Высокая, низкая: если руководство компании придерживается традиционной отчетности, в то время как акционеры предпочитают отчетность, основанную на искусственном интеллекте, руководство компании может достичь высокой ценности (поскольку они избегают затрат на внедрение), но акционеры получают низкую ценность (поскольку они желают воспользоваться

преимуществами искусственного интеллекта). управляемая отчетность). • Средний, средний: если и руководство компании, и акционеры придерживаются традиционной отчетности, они оба достигают среднего уровня ценности или полезн

Мы можем подробно рассказать о выгодах с точки зрения увеличения ценности как для руководства компании, так и для акционеров, основываясь на двух стратегических вариантах: внедрить финансовую отчетность на основе искусственного интеллекта или придерживаться традиционной отчетности. Значения представляют собой воспринимаемую ценность или полезность бизнеса, причем более высокие значения указывают на более высокую воспринимаемую ценность. Высокое, среднее и низкое являются качественными представлениями воспринимаемой ценности, а фактические числовые значения будут зависеть от конкретного контекста и предпочтений заинтересованных сторон.

Выгоды описаны в таблице 1, а фактические значения будут зависеть от таких факторов, как отрасль, конкретные цели и предпочтения заинтересованных сторон, а также предполагаемые преимущества и недостатки отчетности на основе ИИ по сравнению с традиционной отчетностью в данном контексте. Эта матрица обеспечивает структурированный способ понять, как решения каждой стороны влияют на воспринимаемую ценность как для руководства компании, так и для акционеров:

Таблица 1. Матрица выигрышей.

		Акционеры	
		ИИ	TP
Компания	NN	Высоко высоко	Низкий высокий
Управление	TP	Высокая низкая	Средний, Средний

• Высокий, высокий (ИИ):

Управление компанией (СМ): Высокая ценность, поскольку ожидается, что финансовая отчетность на основе ИИ повысит эффективность, точность и принятие стратегических решений, что приведет к повышению общей эффективности бизнеса.

Акционеры (SH): Высокая ценность, поскольку они получают выгоду от повышения прозрачности, более информированного принятия решений руководством и потенциального увеличения прибыли.

• Низкий, высокий

(TR): Управление компанией

(СМ): Низкая ценность, поскольку использование традиционной отчетности может привести к упущенным возможностям для повышения эффективности, стратегического понимания и экономии средств, предлагаемых отчетами на основе искусственного интеллекта.

Акционеры (SH): Высокая ценность, поскольку они могут предпочесть привычность и стабильность традиционной отчетности, потенциально воспринимая меньший риск или нарушение своих инвестиций.

• Высокий, низкий (ИИ):

Управление компанией (СМ): Высокая ценность, поскольку внедрение отчетности на основе ИИ отвечает цели руководства по внедрению инновационных технологий и поддержанию конкурентоспособности.

Акционеры (SH): Низкая стоимость, поскольку они могут быть разочарованы решением не придерживаться традиционной отчетности, потенциально воспринимая более высокие риски или неопределенности.

• Средний, Средний (TR):

Управление компанией (СМ): среднее значение, поскольку использование традиционной отчетности может обеспечить стабильность, но не может использовать потенциальные преимущества, предлагаемые отчетностью на основе искусственного интеллекта.

Акционеры (SH): Средняя ценность, поскольку они сохраняют ощущение стабильности, но могут упустить потенциальные улучшения в принятии решений и эффективности.

Финансовые директора сталкиваются как с проблемами, так и с возможностями в процессе принятия решений в области ИИ в конкретной отрасли и нормативной среде. Они могут варьироваться в зависимости от конкретных обстоятельств каждой организации. Им необходимо ориентироваться в сложных правилах конфиденциальности данных, чтобы гарантировать, что использование ИИ соответствует законам о конфиденциальности, особенно в отраслях, имеющих дело с конфиденциальной информацией клиентов. Еще одна задача, с которой вскоре столкнется руководство, — это не отставать от меняющихся правил, касающихся ИИ, и обеспечивать соответствие систем ИИ отраслевым законам и стандартам.

Матрицы теории игр можно адаптировать к различным сценариям принятия решений, и применительно к контексту принятия решений финансовыми директорами (CFO) в сфере ИИ мы предлагаем четыре матрицы, которые можно принять во внимание в процессе принятия решений. : Финансовые директора, принимающие решения, связанные с ИИ, могут использовать матрицы теории игр для навигации по четырем ключевым сценариям: раннее и позднее внедрение ИИ, разработка ИИ внешними поставщиками или собственными силами, сотрудничество в обмене данными и защита данных, а также упреждающее или реактивное соблюдение нормативных требований. , балансируя выгоды, затраты и риски для конкурентных преимуществ и инноваций.

4.3. Проблемы этики и конфиденциальности в финансовой отчетности, основанной на искусственном интеллекте

В этой относительно новой среде финансовой отчетности, основанной на искусственном интеллекте, вопросы конфиденциальности данных имеют первостепенное значение. Обширные требования к данным систем искусственного интеллекта часто включают конфиденциальную финансовую и личную информацию, что повышает риск несанкционированного доступа и утечки данных [27]. В основе нашей работы лежит целостность и конфиденциальность данных, с которыми мы работаем. Интегрируя ИИ, мы должны проявлять бдительность, защищая эти данные с помощью надежных методов шифрования, гарантируя, что конфиденциальная информация остается в безопасности как при передаче, так и при хранении. Заинтересованные стороны должны быть полностью информированы о том, как их данные собираются, хранятся и используются. Эта прозрачность распространяется на получение явного согласия от лиц, чьи данные используются. Внедряя строгие политики управления данными, мы можем определить четкий контроль доступа и гарантировать, что данные будут доступны только авторизованному персоналу при соответствующих обстоятельствах. Подотчетность и прозрачность в системах ИИ имеют решающее значение, и крайне важно, чтобы разработчики приложений создали четкие рамки подотчетности, определяющие обязанности пользователей ИИ, операторов и лиц, принимающих решения.

При возникновении ошибок должен существовать прозрачный процесс выявления и устранения источника проблемы. Внедрение объяснимых методов искусственного интеллекта может существенно помочь этому процессу. Эти методы позволяют нам понять и сформулировать, как системы ИИ принимают решения, тем самым способствуя доверию и подотчетности между заинтересованными сторонами [28].

С широким внедрением международных стандартов бухгалтерского учета соблюдение нормативных требований становится постоянной проблемой в нашей профессии. Приложения искусственного интеллекта в финансовой отчетности должны соответствовать множеству нормативных требований, от финансовых правил до законов о защите данных. Участие в постоянном диалоге с регулирующими органами может дать ценные рекомендации и помочь обеспечить соответствие наших систем искусственного интеллекта действующему законодательству. Регулярные проверки соответствия необходимы для проверки соблюдения требований и устранения любых пробелов в наших процессах.

Риски безопасности являются неотъемлемым аспектом интеграции ИИ в финансовую отчетность. Системы искусственного интеллекта могут стать объектом кибератак, что потенциально может привести к утечке данных или манипулированию финансовой информацией [29]. Чтобы снизить эти риски, мы должны реализовать передовые меры кибербезопасности и разработать комплексные планы реагирования на инциденты. Регулярные оценки безопасности помогут выявить и устранить уязвимости, гарантируя целостность и надежность наших систем искусственного интеллекта. В реальных ситуациях несколько передовых мер кибербезопасности доказали свою эффективность в защите систем финансовой отчетности, управляемых искусственным интеллектом, например, многофакторная аутентификация, которая значительно повышает безопасность, требуя от пользователей предоставления двух или более факторов проверки для получения доступа к системе. , сквозное шифрование, обеспечивающее шифрование данных с момента их создания до тех пор, пока они не будут получены и расшифрованы предполагаемым получателем, или проведение регулярных аудитов безопасности и тестов на проникновение , которые позволяют организациям активно выявлять и устранять уязвимости в своих системах [29].

5. Результаты и обсуждение.

Сочетание модели нейронной сети с теорией игр, представленной в матрице, может оказаться мощным подходом.

Его часто называют теоретико-игровым машинным обучением и используют для поддержки принятия решений в компаниях. Нейронную сеть можно использовать для прогнозирования финансовых ключевых показателей эффективности или других соответствующих результатов, а матрица теории игр может помочь проанализировать стратегические взаимодействия между различными организациями или заинтересованными сторонами. Его цель — понять, как разные агенты или игроки, каждый из которых преследует свои собственные цели, принимают решения в конкурентной или конкурентной бо

атмосфера сотрудничества. Мы используем теорию игр как раздел математики и экономики, чтобы следить за взаимодействием между рациональными лицами, принимающими решения, часто упоминаемыми в литературе как игроки, в ситуациях, когда результат решения одного игрока зависит от решения других, и мы предлагаем объединить методы машинного обучения и интегрировать с помощью теории игр, чтобы моделировать и прогнозировать поведение игроков, которые могут получить выгоду от создание положительной стоимости бизнеса. В нашей теории игр игроки представляют акционеров.

и управленческой командой, а стратегии включают увеличение рыночной капитализации за счет увеличение доходов или прибыльности и выплат, представленных в матрице. Стратегии предложенные в исследовании, — это варианты выбора, доступные каждому игроку, такие как выбор цифровизация и внедрение технологий искусственного интеллекта или использование традиционных методов бухгалтерского учета. и отчетность, а выплаты представляют собой результаты, связанные с конкретными комбинациями стратегий, выбранных всеми игроками. Для применения стратегий используются прогнозные модели, такие как нейронные сети с древовидными слоями могут использоваться для оценки вероятных выборов или действий. игроков на основе исторических данных бухгалтерского учета, извлеченных из баланса и прибыли и данные о потерях или другие соответствующие функции.

Учитывая характеристики нашей нейронной сети и структуру платежной матрицы из теории игр мы предлагаем назвать теоретическую модель «Decision Harbour AI» именем что отражает интеграцию искусственного интеллекта, принятия финансовых решений и стратегического анализ и символизирует безопасную и информированную гавань для принятия решений с помощью искусственных интеллект. Теоретико-игровое машинное обучение обеспечивает основу для понимания и прогнозирование стратегических взаимодействий [30]. Интегрируя модели машинного обучения с концепции теории игр, мы предсказываем, что станет возможным получить представление о процессах принятия решений в сложных, динамичных средах. Этот подход может быть ценным для принятия обоснованных решений в конкурентных или совместных сценариях, где множество вовлечены заинтересованные стороны [31].

В нашем сценарии у нас есть матрица теории игр с двумя игроками: руководством компании и

акционерами, и матрица представляет возможные результаты, основанные на решения, принимаемые этими игроками. Мы можем научить нейронную сеть прогнозировать финансовые Ключевые показатели эффективности или результаты, представляющие интерес, такие как рост доходов, прибыльность и эффективность затрат, как показано на рисунке 4. После того, как мы обучили нейронную сеть прогнозированию положительных показателей Электроника 2024, 13, х НА ЭКСПЕРТИЗНО изводительности, мы использовали обученную нейронную сеть для прогнозирования для каждого игрока (Компания Управление, ИИ и ТR) на основе входных функций и КРІ в скрытом слое.

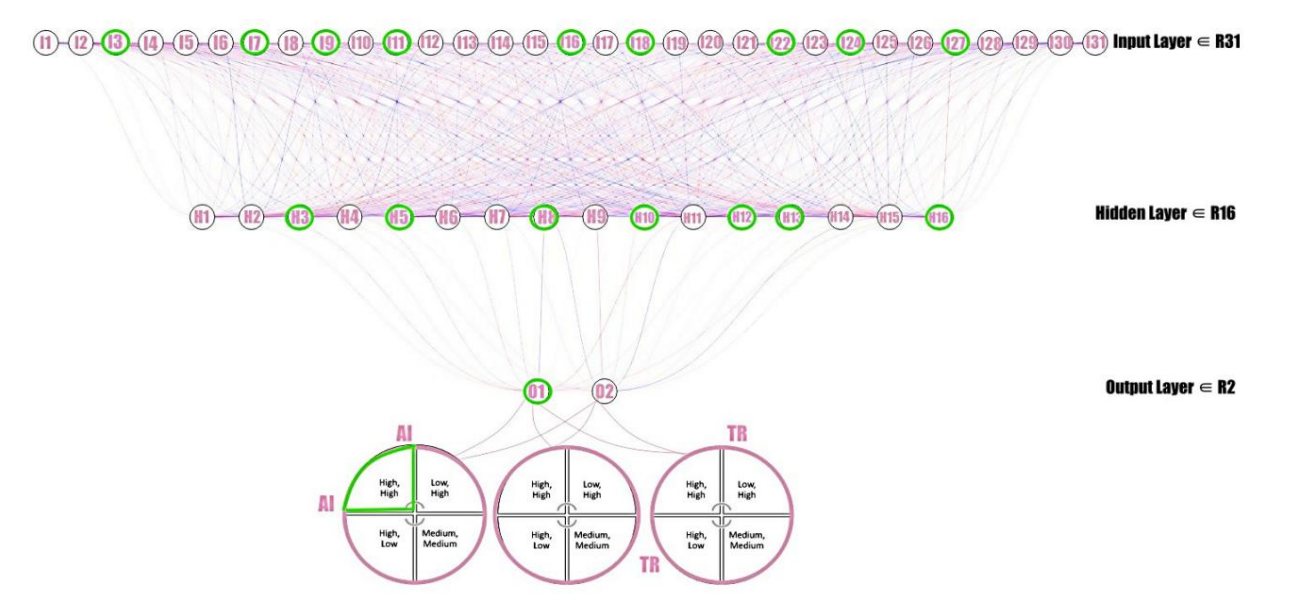


Рисунок 4. Теоретическая модель ИИ Decision Harbor — сценарий 1. Рисунок 4. Теоретическая модель ИИ Decision Harbor — сценарий 1.

В плохие финансовые годы распределение данных может измениться. Закономерности и взаимосвязи между входными функциями и финансовыми результатами могут измениться, что приведет к несоответствию между данными обучения и тестирования. Нейронной сети, обученной на исторических данных, может быть сложно обобщить эти новые условия. Прогнозирующая эффективность модели может ухудшиться в плохие финансовые годы, если закономерности, наблюдаемые во время обучения, больше не сохраняются. Модель может давать неточные прогнозы, особенно если она не встречала подобных сценариев в обучающих данных (рис. 5).

Электроника 2024, 13, 3069

Рисунок 4. Теоретическая модель ИИ Decision Harbor — сценарий 1.

В гложие финансовые годы распределение данных может измениться. Ялкдыли призоли деяно между еходными пламажду вардными францовыми результытыми денных просторы вышение простозы, особенное в обучающих результыми она не встречала сценариев в обучающих данных (рис. 5).

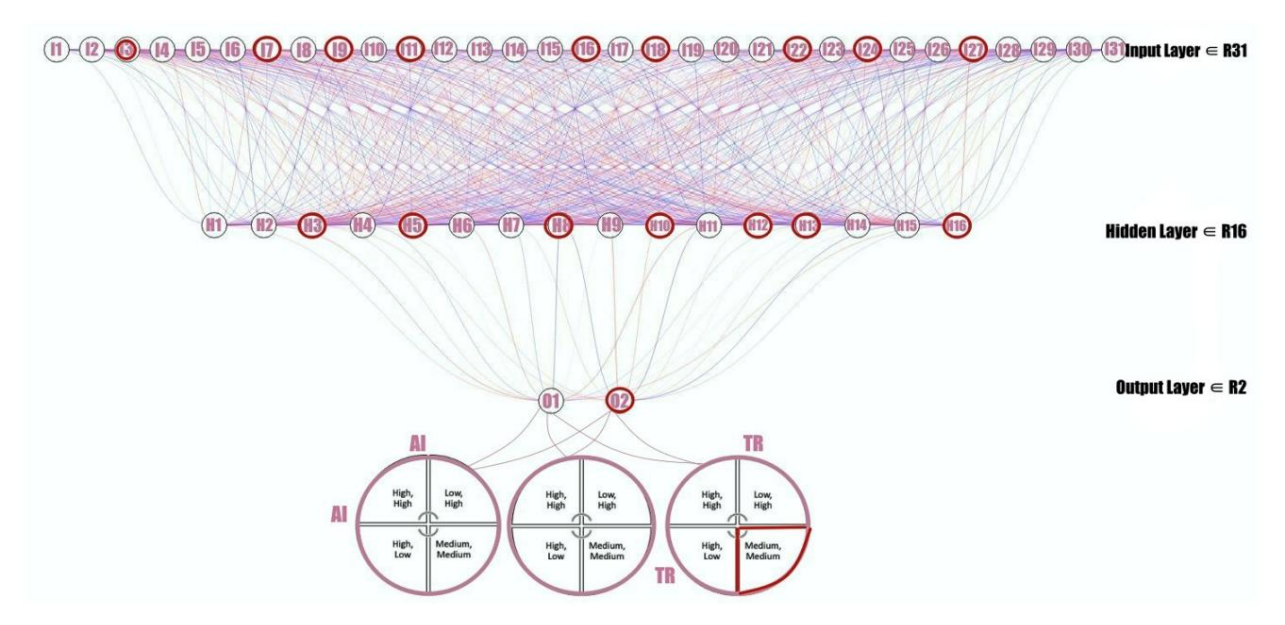


Рисунок 5. Теоретическая модель ИИ Decision Harbor — сценарий 2. Рисунок 5. Теоретическая модель ИИ Decision Harbor — сценарий 2.

ЧНООВ КОМПАНИЯ ЧТОБЫ КОМПАНИЯ РЕЗЛИЗОВАЛА СТРАТЕГИЮ НЕПРЕРЫВНОГО ОБУЧЕНИЯ МОДЕЛЕЙ, МОДЕЛЕЙ, МЫ ПРЕДЛАГАЕМ, МЕНТИИДИВЕТЬ БИК МЕСЬВІХУСИБЬ МИ. МОДЕЛЬ ДУХЛЯВИЯМ. МОДЕЛЬ ВОЛОЖНЯТ РЕЗУЛЯВНОМ ОБНОВЛЯТЬСЯ С УЧЕТОМ ВОЕВЬЕ ДАЙ МЕСЬВІХУСИБЬ МИ. МОДЕЛЬ ДУХЛЯВИЯМ. МОДЕЛЬ ВОЛОЖНЯТЬ ВЕУЛЯВНОМ ОБНОВЛЯТЬСЯ С УЧЕТОМ ВОЕВЬЕ ДАЙ МЕСЬВІХ УСИБЬВІХ ВЕШЕНИЙ, ВУКОВОДСТВО ДАЙ В АКТУАЛЬНОСТЬ. ДАННЫЕ, ЧТОВЫ МОДЕЛЬ ПРИВЕЛЯ К ПРИНЯТИЮ ПРЭВИЛЬНЫХ ФИНЯНСОВЫХ ВЕШЕНИЙ, ВУКОВОДСТВО ДОЯЖНО ВОЯЗБЕТЬ ДИВ АКТУАЛЬНОСТЬ. ДАННЫЕ, ЧТОВЫ МОДЕЛЬ ПРИВЕЛЯ К ПРИНЯТИЮ ПРЭВИЛЬНЫХ ФИНЯНСОВЫХ ВЕШЕНИЙ, ВУКОВОДСТВО ДОЯЖНО ВОЯЗБЕТЬ ДАЙ ВИТОТЬ. ДАЙ ВИТОТЬ НЕ ВОДОМ В ВОЕЗБЕТИЙ ВОДОМ ВОЕВЬНИЙ ВОДОМ В ВОЕЗБЕТИЙ ВОДОМ В ВОЕЗБЕТИЙ ВОДОМ В ВОЕЗБЕТИЙ ВОДОМ В ВОЕЗБЕТИЙ ВОЕЗБЕТЬ ВОЕЗ

Цикл Деминга (PDCA) можно использовать как итеративный четырехэтапный метод управления. для постоянного улучшения. Применение цикла PDCA к непрерывному обучению и сценарный анализ нашей модели нейронной сети в контексте меняющихся финансовых условий это разумный и эффективный подход. Мы должны контролировать процесс обучения и оценивать улучшится ли производительность модели или останется стабильной, выполните анализ сценария используя подготовленные сценарии или инструменты моделирования, и оцените точность, чувствительность модели, и специфичность различных сценариев для выявления любых закономерностей низкой производительности. или переоснащение.

Если сценарный анализ нашей нейронной сети выявит недостатки, мы должны рассмотреть корректировка модели или процесса генерации сценария. Это может включать переопределение функций, введение новых функций или изменение подхода к моделированию. Теоретический

Электроника 2024, 13, 3069 14 из 18

Модель может включать в себя любые необходимые улучшения для повышения способности модели справляться с различными финансовыми условиями. Мы можем применить стресс-тестирование к нашей модели [23], подобно тому, как банки проводят стресс-тесты для оценки устойчивости своих финансовых систем в неблагоприятных условиях. В контексте нашей модели нейронной сети и матрицы теории игр стресстестирование может помочь нам понять, насколько хорошо работает модель и насколько надежным является принятие решений перед лицом экстремальных или неожиданных финансовых сценариев. Глубокое обучение может быть применено к входному слою в нашей сети в контексте стресс- тестирования динамического баланса [31,32]. Если балансовый отчет, который генерирует финансовую информацию для данных входного слоя, имеет временное измерение, например ежеквартальное или годовое, мы можем рассмотреть рекуррентные нейронные сети или сети долгосрочной краткосрочной памяти (LSTM) для фиксации временных закономерностей и зависимостей в данных. Если наши входные данные включают в себя различные источники, такие как финансовая отчетность, рыночные данные и экономические показатели, мы предлагаем применять архитектуры, поддерживающие мультимодальную интеграцию данных. Это позволяет модели одновременно учиться на разных типах информации. В целом, важно адаптировать подход глубокого обучения к конкретным требованиям и характеристикам наших финансовых данных и целям стресс-тестирования. Наша теоретическая модель DecisionHarborAI также может быть реализована в государственных организациях. Применение инструментов ИИ, таких как эта теоретическая двухуровневая модель, в государственном секторе может принести значительные выгоды, такие как помощь в анализе воздействия различных политик, помощь политикам в понимании потенциальных результатов и принятии обоснованных решений, предоставление информации об оптимизации распределение ресурсов для достижения желаемых результатов, оценка эффективности государственных программ и инициатив, а также повышение участия граждан путем предоставления основанной на данных информации о процессах принятия решений, содействия прозрачности и доверию между общественностью и правительством [33].

Для эффективной реализации такой модели возникает несколько практических рекомендаций. Регулярные обновления и переподготовка нейронной сети новыми данными имеют решающее значение для поддержания точности и актуальности.

Первым шагом является предоставление изображения или PDF-файла баланса в наш API. Это будет проводиться в мобильном приложении или веб-приложении. Как только изображение или PDF-файл получено, оно преобразуется в файл TXT. Анализатор берет TXT, полученный в результате OCR, и преобразует его в структурированный JSON с помощью машинного обучения. Затем JSON возвращается как выходные данные API. Отсюда данные баланса можно обрабатывать дальше. Затем полный набор данных используется для обучения нейронной сети, способной прогнозировать ключевые показатели финансовой деятельности, такие как рост доходов, прибыльность и эффективность затрат. Модель DecisionHarborAI идет еще дальше, включив в нее структуру теории игр. Это позволяет провести детальный анализ стратегического взаимодействия между заинтересованными сторонами, такими как руководство и акционеры. Понимая эту динамику, организация может согласовывать свои стратегические решения с интересами всех вовлеченных сторон, тем самым максимизируя ценность бизнеса.

Для обеспечения надежности проводится непрерывный анализ сценариев и стресс-тестирование. Эта практика не только подтверждает предсказания модели в различных условиях, но и готовит институт к возможным экономическим колебаниям. Результаты весьма значительны: расширенные возможности принятия решений, значительный рост эффективности за счет автоматизации и стратегическое согласование, которое способствует общей эффективности бизнеса.

Ограничения также необходимо учитывать при внедрении моделей финансовой отчетности на основе искусственного интеллекта, таких как DecisionHarborAI. Одним из наиболее существенных ограничений является качество данных, поступающих в модели ИИ. Для оптимального функционирования системам искусственного интеллекта требуются огромные объемы высококачественных данных. Однако финансовые данные часто могут быть неполными, противоречивыми или зашумленными. Неточные или некачественные данные могут привести к ошибочным прогнозам и ошибочным процессам принятия решений. Организации должны вкладывать значительные усилия в очистку и проверку данных, чтобы гарантировать, что данные, используемые для обучения и оперативных целей, являются точными и надежными. Это может быть ресурсоемким и не всегда осуществимым, особенно для небольших учреждений с ограниченным бюджетом. Как и все модели ИИ, DecisionHarborAI будет обучаться на исторических данных и может хорошо работать в условиях, аналогичных тем, которые присутствуют в наборе обучающих данных. Способность нашей теоретической модели адаптироваться к экономическим изменены

Электроника 2024, 13, 3069 15 из 18

регуляторные изменения и непредвиденные глобальные события, такие как финансовые кризисы или пандемии, являются серьезной проблемой [34]. Модель DecisionHarborAI может оказаться неспособной эффективно обобщить новые, ранее невиданные сценарии, что приведет к снижению производительности. Чтобы гарантировать, что DecisionHarborAI остается актуальным и точным, потребуется постоянное переобучение и проверка моделей, но управлять этим может быть сложно и требует постоянных инвестиций.

6. Выводы

При внедрении нейронной сети для финансового учета важно учитывать такие факторы, как качество данных, интерпретируемость модели и конкретную нормативную среду. Модель, предлагаемая в этом исследовании, предлагает интегрированный подход к поддержке принятия решений, сочетая прогнозирующие возможности нейронных сетей со стратегическими знаниями, предоставляемыми теорией игр. Эта интеграция направлена на улучшение процессов принятия решений в сложных и динамичных средах и смещает фокус модели на прогнозирование финансовых показателей и поддержку принятия финансовых решений. Компонент нейронной сети нового инструмента искусственного интеллекта предназначен для предоставления финансовых прогнозов и анализа на основе исторических данных. Это включает в себя прогнозирование ключевых финансовых показателей, таких как рост доходов, рентабельность и эффективность затрат. Нейронные сети могут быть ценным инструментом для калибровки результатов в среде финансового учета и продемонстрировали эффективность при обработке сложных финансовых данных, выявлении закономерностей и составлении прогнозов. Включение матрицы выигрышей теории игр в этот новый инструмент принятия решений ИИ представляет стратегическую основу для анализа взаимодействия между лицами, принимающими решения. Это позволяет рассматривать стратегический выбор и результаты в более динамичном и конкурентном контексте. Инструменты цифровой трансформации искусственного интеллекта могут значительно улучшить процессы принятия финансовых решений и общее стратегическое управление. Эти инструменты могут помочь организациям использовать аналитику, основанную на данных, и автоматизировать рутинные задачи, потенциально повышая эффективность и точность решений. Однако важно признать, что технологии искусственного интеллекта также имеют проблемы и недостатки, такие как проблемы конфиденциальности данных, риск алгоритмических ошибок и потребность в значительных вычислительных ресурсах. Кроме того, сложность моделей ИИ может затруднить их интерпретацию и доверие, что может ограничить их практическое применение в определенных контекстах. Поэтому, хотя ИИ предлагает многообещающие достижения, важно подходить к его интеграции со сбалансированной точки зрения, признавая как его преимущества, так и его ограничения. Все будущие инструменты помощи в принятии решений должны постоянно изучать и обновлять свои прогнозы, обеспечивая актуальность и точность с течением времени. Модель, предлагаемая в этой статье, должна быть оснащена способностью подвергаться стресс-тестированию и сценарному анализу, что позволит ей оценить ее эффективность в различных финансовых условиях, включая как благоприятные, так и неблагоприятные сценарии, что будет способствовать ее надежности.

Объединение матрицы выплат нейронных сетей представляет собой комплексный и адаптивный инструмент поддержки принятия решений, который использует сильные стороны нейронных сетей и теории игр для предоставления ценной информации для принятия финансовых решений как в частном, так и в государственном секторах и обеспечивает ощутимую ценность для бизнеса. Непрерывное обучение, анализ сценариев и стратегические рамки способствуют его потенциальной эффективности в динамичных и неопределенных условиях. Концепция интеграции принятия решений на основе искусственного интеллекта непосредственно отражена в выводах этой статьи. Смешанные цифровые инструменты сочетают в себе прогнозирующие возможности нейронных сетей со структурой теории игр, подчеркивая интеграцию передовых методов искусственного интеллекта для более обоснованного принятия решений. Успех модели будет зависеть от тщательного тестирования, сотрудничества с экспертами в предметной области и постоянных доработок на основе отзывов из реального мира.

Инструменты цифровой трансформации могут существенно помочь процессу принятия финансовых решений и общему стратегическому управлению в компании, анализируя исторические финансовые данные и делая точные прогнозы о будущих тенденциях и результатах. Эти инструменты позволяют оценивать и прогнозировать потенциальные риски путем анализа различных источников данных. Это позволяет организациям заранее выявлять и снижать риски при принятии финансовых решений, а также автоматизировать повторяющиеся и рутинные задачи, такие как ввод данных, сверка и отчетность.

Электроника 2024, 13, 3069 16 из 18

Инструменты цифровой трансформации ИИ играют решающую роль в совершенствовании процессов принятия финансовых решений и общего стратегического управления. Эти инструменты позволяют организациям использовать аналитику на основе данных, автоматизировать рутинные задачи и более эффективно ориентироваться в сложностях современного бизнес-ландшафта.

Вклад авторов: концептуализация, AEA и AED; AED и LI: формальный анализ, AEA: исследование, LI: ресурсы, AED: написание — подготовка исходного проекта, AEA: написание — обзор и редактирование, AED: визуализация, LI: надзор, AEA: администрирование проекта. Все авторы прочитали и согласились с опубликованной версией рукописи.

Финансирование: Данное исследование не получило внешнего финансирования.

Заявление о доступности данных: все данные, лежащие в основе результатов, доступны как часть статьи, и никаких дополнительных исходных данных не требуется.

Конфликты интересов: Авторы заявляют об отсутствии конфликта интересов.

Приложение

Таблица A1. Описание слоев предлагаемой нейронной модели — Decision Harbour AI.

Входной слой R ^{31 я}	Скрытый слой R 16 час	Выходной слой R ² O			
Чистая выручка	D×				
Чистая прибыль	Валовой доход				
Налоги	Налог				
Процентные расходы	EDITO				
Амортизация	EBITDA				
Амортизация					
Стоимость проданных товаров	Прибыли				
Операционные расходы					
Операционная прибыль	Денежный поток от операций	Рост выручки			
Изменение оборотного капитала					
Операционный поток денежных средств	Свободный денежный поток				
Капитальные затраты	ИКРА				
Собственный капитал	VIATA				
Средняя совокупная стоимость активов	POA				
Всего обязательства	FOA				
Текущие активы					
Текущие обязательства	Соотношение долга к собственному капиталу				
Наличные	Текущее соотношение				
Денежные эквиваленты	текущее соотношение				
Чистая дебиторская задолженность					
Предоплачиваемые затраты	Коэффициянт быстрой ликвидности				
Цена акции	6				
Прибыль на акцию	Соотношение цены и прибыли				
Привилегированный капитал	Early construction of the control of	Рентабельность			
Дивиденд на акцию	Балансовая стоимость одной акции				
Стоимость одной акции					
Всего акций	Дивидендная доходность				
Рост выручки	Principles variations and a second				
Заработок	Рыночная капитализация				
Божья воля	Показатели поста				
Основные средства	Показатели роста				

Электроника 2024, 13, 3069 17 из 18

Рекомендации

- 1. Имониана, Дж.О.; Реджинато, Л.; Младший, ЕВС; Бенетти, К. Мнения заинтересованных сторон о принятии международных стандартов финансовой отчетности малыми и средними предприятиями: многомерный анализ. Межд. Дж. Бус. Экстрен. Отметка. 2025, 1.
- 2. Радичич, Д.; Петкович, С. Влияние цифровизации на технологические инновации на малых и средних предприятиях (МСП). Технол. Прогноз. Соц. Чанг. 2023, 191, 122474. [CrossRef]
- 3. Саура, младший; Рибейро-Сориано, Д.; Паласиос-Маркес, Д. Оценка проблем конфиденциальности в области поведенческой науки о данных в искусственном правительстве развертывание разведки. Правительственная инф. Q. 2022, 39, 101679. [CrossRef]
- 4. Фачча, А.; Аль-Накби, MYK; Lootah, SA Интегрированный цикл облачного финансового учета. В материалах 3-й Международной конференции по облачным вычислениям и вычислениям с большими данными 2019 г., Оксфорд, Великобритания, 28–30 августа 2019 г.; АСМ: Нью-Йорк, штат Нью-Йорк, США, 2019 г.; стр. 31–37. [Перекрестная ссылка]
- 5. Аллам, К.; Родвал, А. Аналитика больших данных на основе искусственного интеллекта: раскрытие идей для развития бизнеса. EPH-Int. Дж. Наук. англ. 2023, 9, 53-58. [Перекрестная ссылка]
- 6. Менгу, Д.; Луо, Ю.; Ривенсон, Ю.; Озкан, А. Анализ дифракционных оптических нейронных сетей и их интеграция с электроникой Нейронные сети. IEEE Дж. Сел. Вершина. Квантовый электрон. 2020, 26, 1–14. [Перекрестная ссылка]
- 7. Шенгелия, HCH; Циклаури, 3T3; Жепка, APA; Шенгелия, PCP Влияние финансовых технологий на цифровую трансформацию развитие бухгалтерского учета. аудита и финансовой отчетности. Экономика 2022. 105. 385–399, [Перекрестная ссылка]
- 8. Пакурари, Д.; Нечита, Э. Некоторые соображения по облачному учету. В исследованиях и научных исследованиях. Экономическое издание; Факультет экономических наук, Университет Василе Александри, Бакэу: Бакэу, Румыния, 2013 г. [CrossRef]
- 9. Ли, М.; Ю, Ю.; Ли, Х.; Чжао, Ј.; Чжао, Д. Факторы, определяющие трансформацию МСП в сторону облачных услуг: перспективы экономической и социальной рациональности. Пак. Азия Дж. Доц. Инф. Сист. 2019, 11, 65–87. [Перекрестная ссылка]
- 10. Соренсен, М.; Ясуда, А. Влияние прямых инвестиций на заинтересованных лиц. В Справочнике по экономике корпоративных финансов: прямые инвестиции и предпринимательские финансы; Elsevier: Амстердам, Нидерланды, 2023 г.; стр. 299–341. [Перекрестная ссылка]
- 11. Наик Н.; Хамид, БЗ; Шетти, ДК; Суэйн, Д.; Шах, М.; Пол, Р.; Аггарвал, К.; Ибрагим, С.; Патил, В.; Смрити, К.; и другие. Правовые и этические аспекты использования искусственного интеллекта в здравоохранении: кто несет ответственность? Передний. Хирург. 2022, 9, 862322. [CrossRef]
- 12. Во-Тхань, Т.; Заман, М.; Хасан, Р.; Актер, С.; Данг-Ван, Т. Цифровизация услуг в ресторанах высокой кухни: экономия и выгода перспектива. Межд. Дж. Созерцание. Хосп. Менеджер. 2022, 34, 3502–3524. [Перекрестная ссылка]
- 13. Агусти-Хуан, И.; Гласс, Дж.; Павар, В. Сбалансированная система показателей для оценки автоматизации в строительстве. В материалах конференции Creative Construction 2019, Будапешт, Венгрия, 29 июня 2 июля 2019 г.; Будапештский университет технологии и экономики: Будапешт, Венгрия, 2019 г.; стр. 155–163. [Перекрестная ссылка]
- 14. Ван З.; Ван, К.; Не, З.; Ли, Б. Прогнозирование финансовых затруднений корпораций на основе залога акций контролирующего акционера. Прил. Экон. Летт. 2022, 29, 1365–1368. [Перекрестная ссылка]
- 15. Ду, Г.; Элстон, Ф. ОТЗЫВАННАЯ СТАТЬЯ: Оценка финансовых рисков для повышения точности финансового прогнозирования в интернет- финансовой индустрии с использованием моделей анализа данных. Опер. Менеджер. Рез. 2022, 15, 925–940. [Перекрестная ссылка]
- 16. Сонг, З.; Ву, С. Пост, теория игр и принятие решений в области финансового прогнозирования. Финанс. Рез. Летт. 2023, 58, 104288. [CrossRef]
- 17. Мурали, М.; Канмани, С. Моделирование приложений теории игр с использованием сетевых элементов для обеспечения равновесия Нэша через цену. Анархия и цена стабильности. Межд. Дж. Сист. Сист. англ. 2024, 14. [CrossRef]
- 18. Хамидоглу, А. Теоретико-игровой подход к построению новой модели цепочки поставок агропродовольственной продукции, поддерживаемой правительством . Эксперт. Сист. Прил. 2024, 237, 121353. [CrossRef]
- 19. Чжуан, Ю.Т.; Ву, Ф.; Чен, К.; Пан, Ю.Х. Проблемы и возможности: от больших данных к знаниям в области искусственного интеллекта 2.0. Передний. Инф. Технол. Электрон. англ. 2017, 18, 3–14. [Перекрестная ссылка]
- 20. Махмуд А.; Аль Марзуки, А.; Эль Хатиб, М.; АлАмими, Х. Как искусственный интеллект может использовать информационную систему управления проектами (PMIS) и принятие решений на основе данных в управлении проектами. Межд. Дж. Бус. Анальный. Безопасность. (IJBAS) 2023, 3, 184–195. [Перекрестная ссылка]
- 21. Чонгкс, Дж.; Катиараян, В.; Чонг, Дж.; Син, К. Роль искусственного интеллекта в возможностях, проблемах и последствиях принятия стратегических решений для менеджеров в эпоху цифровых технологий. Межл. Дж. Манаг. Коммерческий. Иннов. 2023. 11. 73–79.
- 22. Лачкович М. Теорема суперпозиции колмогоровского типа для ограниченных непрерывных функций. Дж. Прибл. Теория 2021, 269, 105609. [Перекрестная ссылка]
- 23. Курайси А. Нормальность данных с использованием критериев Колмогорова-Смирнова и Шапиро-Уилка. J-HEST J. Образование в области здравоохранения. Экон. наук. Технол. 2020, 3,
- 24. Шмидт-Хибер Дж. Еще раз о теореме о представлении Колмогорова-Арнольда. Нейронная сеть. 2021, 137, 119-126. [Перекрестная ссылка]
- 25. Исмаилов В.Е. Трехслойная нейронная сеть может представлять любую многомерную функцию. Дж. Математика. Анальный. Прил. 2023, 523, 127096.
- 26. Элахи, М.; Афоларанми, Южная Каролина; Ластра, JLM; Гарсия, JAP. Комплексный обзор литературы по применению методов искусственного интеллекта. на протяжении всего жизненного цикла промышленного оборудования. Дисков. Артиф. Интел. 2023, 3, 43. [CrossRef]
- 27. Хаббал А.; Али, МК; Абузараида, магистр искусственного интеллекта, управление доверием, рисками и безопасностью (AI TRISM): структуры, приложения, проблемы и будущие направления исследований. Эксперт. Сист. Прил. 2024, 240, 122442. [CrossRef]
- 28. Ченг, Л.; Лю, Х. От принципов к практике: интертекстуальное взаимодействие между этическими и правовыми дискурсами ИИ. Межд. Дж. Лег. Дискурс 2023, 8, 31–52. [Перекрестная ссылка]

Электроника 2024, 13, 3069

29. Хамфрис, Д.; Коай, А.; Десмонд, Д.; Мили, Э. Реклама искусственного интеллекта как угроза кибербезопасности: моральная ответственность за внедрение генеративный ИИ в бизнесе. Этика ИИ 2024. [CrossRef]

- 30. Чо, С.; Васархели, Массачусетс; Сан, Т.; Чжан, К. Обучение машинному обучению в бухгалтерском учете и страховании. Дж. Эмерг. Технол. Счет. 2020, 17, 1–10. [Перекрестная ссылка]
- 31. Ганайе, Массачусетс; Ху, М.; Малик, АК; Танвир, М.; Сугантан, П.Н. Ансамблевое глубокое обучение: обзор. англ. Прил. Артиф. Интел. 2022, 115. 105151. [CrossRef]
- 32. Чжан З.; Кюи, П.; Чжу, В. Глубокое обучение на графиках: обзор. IEEE Транс. Знать. Данные англ. 2022, 34, 249–270. [Перекрестная ссылка]
- 33. Чандана Чаритха, П.; Хемараджу, Б. Влияние искусственного интеллекта на принятие решений в организациях. Межд. Дж. Мультидисциплин. Рез. 2023. 5. [CrossRef]
- 34. Алдосери, А.; Аль-Халифа, КНЦ; Хамуда, А.М. Переосмысление стратегии обработки данных и интеграция для искусственного интеллекта: концепции, Возможности и вызовы. Прил. наук. 2023, 13, 7082. [CrossRef]

Отказ от ответственности/Примечание издателя: Заявления, мнения и данные, содержащиеся во всех публикациях, принадлежат исключительно отдельному автору(ам) и участникам(ам), а не MDPI и/или редактору(ам). MDPI и/или редактор(ы) не несут ответственности за любой вред людям или имуществу, возникший в результате любых идей, методов, инструкций или продуктов, упомянутых в контенте.





Статья

Учимся повышать операционную э ффективность за счет оши бок в позе Оценка роботизированного опыления

Ц зињлун Чен ¹, Ц зюњ Ся о1,*, Минх аоЯн ² и Ханг Пан

- Школа компью терных наук и информационной безопасности, Гуйлиньский университет э лектронных тех нологий, Гуйлинь 541000, Китай;
- 7259@guet.edu.cn Исследовательский центр искусственного интеллекта (ВІІ), Институт автоматизации Китайской академии наук (CASIA), Пекин 100190, Китай;

Аннотация: В последние годышироко обсуждаются автономные роботыю пылители. Однако точ ная оценка

- ³ mhyang@nlpr.ia.ac.cn Факультет компью терных наук Университета Чанчжи, Чанчжи 046011, Китай; panhang@czc.edu.cn
- * Переписка: 22032303110@mails.guet.edu.cn.

позыцветов в сложных сельскох озяйственных условиях остается сложной задачей. Сэтой целью в данной работе предлагается реализация арх итектурына основе трансформатора для изучения поступательных и вращательных ошибок между конечным эффектором робота-опылителя и целевым объектом с целью повышения э ффективности опыления роботав задачах скрещивания. В клад заклю чается в следую цем. (1) Мыразработали модель арх итектурытрансформатора, оснащенную двумя ней ронными сетя ми пря мого распространения, которые напря мую регрессирую т поступательные и в ращательные ошибки между конечным э ффектором робота и целью опыления. (2) Кроме того, мыразработали функцию регрессионных потеры, которая учитывает поступательные и вращательные ошибки между конечным эффектором робота и целя ми опыления. Это позволя ет манипуля тору робота быстро и точно идентифицировать цель опыления из текущего положения. (3) Кроме того, мыразработали стратегию, позволяю шую легко получить значительное количество обучаю щих выборок в результате очного наблю дения, которые можно использоваты в качестве в ходных данных для модели. Между тем, поступательные и вращательные ошибки, выя вленные в декартовой системе координат конечного мани пуля тора, однов ременно обозначаю тся как цели потерь. Это помогает оптимизировать обучение модели. Мыпровели экспериментына реалистичной роботизированной системе опыления. Результаты показывают, что предлагаемый метод превосх одит современный метод как поточности, так и поэ ффективности.

Ключевые слова: робот-опыление; трансформатор; ошибки смещения



Цитирование: Чең Дж; Ся о, Дж; Яң М; Паң Х. Учимся совершенствоваться Операционняя эффективность из позы Оценка ошибок в робот от ех нике

Опыление. Электроника 2024, 13, 3070.

https://doi.org/10.3390/ э лектроника13153070

Академический редактор: Да-Дже Ли

Поступила: 24 ию ня 2024 г. Пересмотрено: 26 ию ля 2024 г. Приня то: 1 августа 2024 г.

Опубликовано: 2 ав густа 2024 г.



Копирайт: © 2024 авторов. Лиценвиат MDPI, Базель, Швейцария .

Эта статья нах одится в открытом доступе. распространя ется на условия х и условия Creative Commons

Лиценвия с указаниемавторства (СС ВУ) (https://creativecommons.org/licenses/by/ 4.0/).

1. Введение

Опъление с помощью роботовя вляется темой уже более десяти лет [1]. Онстановится все более важным фактором растениев одства в сельскох озяйственной отрасли и предлагает решения насущных проблем таких как сокращение числаестественных опылителей.

Роботьюпьлители подразделя ются на несколькотипов для удовлетворения разнообразных потребностей сельского х озя йства. Автономные роботы оснащенные передовым зрением и искусственным интеллектом, самостоя тельно перемещаются и опыля ют. Дистанционно управля емые или полуавтономные роботы требуют контроля состороны человека и подх одя т для сложных условий. Беспилотные летательные аппараты (БПЛА) э ффективно опыля ют большие поля сверх у. Эти роботизированные системы созданы для имитации процесса опыления, традиционно выполня емого пчелами и другими насекомыми. Используя современные датчики, системы тех нического зрения и прецизионные манипуля торы роботыю пылители идентифицируют цветы и взаимодействуют с ними, откладывая пыльцу с высокой точностью и постоя нством.

Обсуждались различные исследования в области автоматизированного опыления с применением опыления киви [2,3], цветков ежевики [4], ванили [5] и цветков томатов [6]. Тех ника опыления предполагает физический перенос пыльщых мужских на пестики (репродуктивные органыженских цветков) [7]. Чтобыминимизировать потери пыльщыи обеспечить точный перенос на рыльца, необх одимо устранить трудности

Электроника 2024, 13, 3070 2 из 14

сбора пыльщый проблемы поддержания ее активности [8]. К сожалению, э то требует значительных затрат времени и усилий, что не учитывается должным образом в существующих подходах к опылению. Трудности возникаю т из-за очены маленыкого размера пестиков, а также из-за сложности точного определения их вращения и ориентации.

Сэтой целью в данной работе предлагается методология, основанная на арх итектуре трансформатора, целью которой я вля ется повышение операционной э ффективности роботизированного опьления в задачах скрещивания. Вых одной слой модели включает в себя две отдельные нейронные сети пря могораспространения, каждая из которых предназначена для регрессии поступательных и вращательных несоответствий между роботоми целью опыления соответственно. В отличие от традиционных функций потерь трансформатора, мыразработали новую функцию потерь, которая учитывает поступательные и вращательные несоответствия между конечным э ффектором робота и целя ми опыления. Это позволя ет манипуля тору робота быстро и точно идентифицировать цель опыления на основе текущего обзора наблю дения. Тем в ременем мытакже разработали стратегию сбора крупномасштабных обучающих выбор ок на основе наблю дения «глаз в руке» и обозначения ошибок поступательного движения и вращения, выя вленных в декартовой системе коор динат конечного манипуля тора, в качестве целей потерь. Наблю даемые изображения в текущей и целевой позиция х в сочетании с поступательными и вращательными оши бками между ними обеспечивают большой масштаб для обучающих данных, тем самьмулучшая обучение модели. На рисунке 1 показан робот-опылитель, использованный в э той работе.

Оставшая ся часть этой работы организована следую щим образом: соответствую щие работы изложены в Разделе 2; подробное описание метода представлено в разделе 3; В разделах 4–6 представлены эксперименты обсуждение и выводы соответственно.

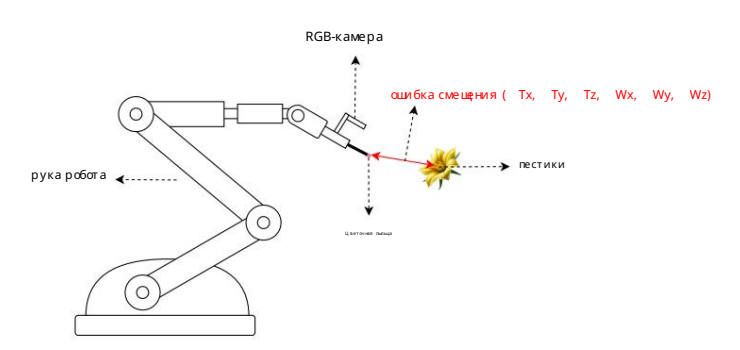


Рисунок 1. Робот-опълитель в основном состоит из робот изированной руки UR5 и монокуля рной RGB-камеры, сконфигурированной по схеме «глаз в руке». На концеробот изированной руки имеется кисть для опъления пестиков. На иллю страции изображена робот изированная рука, участвую щая в опълении, где «ошибка смещения», отмеченная красным, представля ет собой контент, который модель должна изучить. Здесь Тх, Туи Тz обозначаю т компоненты поступательной ошибки в доль осей X, Y и Z соответственно, а Wx, Wy и Wz представля ют собой компоненты вектора в ращения, обозначаю щле ошибки в ращения.

2. Сопутствую цая работа

2.1. Оценка позы

Достижение высокой точности конечного э ффектора роботизированной руки представля ет собой серьезную проблему. Для повышения точности положения конечного э ффектора часто используются дополнительные датчики, такие как LiDAR или датчики давления, что может увеличить затраты. Некоторые методыоснованына оценке позышестимерного объекта, построении шаблонов для сканирования различных позиций вх одного изображения, расчете оценок сх одства в каждой позиции и получении наилучшего соответствия путем сравнения оценок сх одства [9,10]. Другие используют методы основанные на признаках, где модели CNN напря мую регрессируют трех мерные координаты каждого пикселя [11] или описывают апостериорную плотность позыконкретного объекта через CNN, сравнивая наблю даемое изображение с визуализированным изображением [12]. Кроме того, некоторые методы сочетают в себе преимущества подх одов на основе шаблонов и функций в рамках глубокого обучения. Сеть объединя ет маркировку на уровне пикселей снизу вверх с регрессией положения объекта сверх у вниз, и

Электроника 2024, 13, 3070 3 из 14

трех мерное положение и трех мерное вращение объекта раздельно [13]. В се э ти методынеизменно используют датчики глубиныдля сбора инф ормации D оглубине целевого объекта. Однако в сценария x , где инф ормация оглубине не может быть получена, например, в сельскох озя йственном роботе-опьлителе, обсуждаемом в э той статье, полье области цветков-опьлителей приводя т к плох ому получению инф ормации оглубине. Более того, обученные модели, в клю чаю щие инф ормацию о глубине [11–13], не выполня ют пря мую регрессию и не предсказывают трех мерную инф ормацию о местоположении целевого объекта. В ышеупомя нутье модели на основе шаблонов и объектов обучаются на облаках точек, но они по-прежнему сталкиваются с проблемами при обработке невыпуклых многогранников и данных , не я вля ю щих ся многообразия ми. Существую щие методыобучения облакам точек в первую очередь подх одя т для правильных ф орм, таких как выпуклые многогранники и многообразия . Эти методыограниченыпри работе со сложными и неправильными ф ормами цветов в сельскох озя йственных условия x , которые часто представля ют собой неполиэ дрические и немногогранные структуры Это ограничение затрудня ет пря мое применение традиционных методов обучения с использованием облака точек. К роме того, существует несоответствие между обучением облака точек в виртуальных средах и реальными приложения ми, что может повлия ть на производительность мод облака точек в виртуальных средах и реальными приложения ми, что может повлия ть на производительность мод

В отличие от методов оценки позы представленных ранее, которые полагаются на дополнительные датчики для зах вата данных изображения сувеличенной глубиной для построения обучения облака точек — практика, которую трудно реализовать в невыпуклых и немногообразных селыскох озя йственных средах — нашметод использует только обычные камерыдля получения изображений RGB от конечного э ффектора робота-опыления. Этот подх од обеспечивает бесшовное сквозное обучение в реальных условия х, тем самымустраня я несоответствия, обычно встречаю щиеся между обучениемс помощью облака точек в виртуальных средах и их практическим применением в полевых условия х.

2.2. Традиционные методыи методыглубокого обучения для повышения

точности. Чтобыповысить точность конечного э ф фектора опыления, можно реализовать традиционные методыпосредств ом конструкции робот изи рованной руки. Например, компания LI К разработала роботизи рованную руку для опыления кив и [14], добившись высокой точности за счет выражения скор ости концев ого э ф фектора и угловых скор остей суставов через матрицу Якобиана. При планировании траектории интерполя ция полиномом пя той степени обеспечивает непрерывность и плав ность кривых скор ости и ускорения каждого сустава. Для анализа моделирования используются пря мая кинематика и методы Монте-Карло, чтобы ох ватить в сю область опыления концевым э ф фектором. В системе тех нического зрения используется бинокуля рная камера [15] для получения 3D-координат цветов в реальном в ремени, в сочетании с системой управления планированием траектории и расчетом точек интерполя ции, для точного управления каждым суставным двигателем и достижения двух точечного движения. точное опыление. Однако э та робот изированная рука использует бинокуля рные камерыдля получения трех мерных координат цветов, а сильный свет или окклю зии могут повлия ть на точность системы зрени

Традиционные алгоритмывсе еще могут достигать определенных эффектов в конкретных областя х сельскох озя йственного опыления. Недавнее исследование Н. Дык Тай [16] включало использование методов сегментации для обнаружения и сегментирования цветков дыни, использование математических моделей, основанных на биологических х арактеристиках цветков дыни, для определения ключевых точек направления роста каждого цветка, а также использование обратной проекции. метод преобразования положения цветка из 2D-изображения в 3D-пространство, тем самым обеспечивая локализацию позыцветка.

В последние годы, благодаря развитию и применению глубокого обучения, робот-опылитель STRADER J BrambleBee [4] объединил традиционные алгоритмыи алгоритмыглубокого обучения для оценки позы цветов. Система использует двух э тапную систему обработки изображений для распознавания цветов и оценки их позы Сначала ониспользует алгоритм сегментации на уров не пикселей Наивного Байеса, затем использует сверточную нейронную сеть для классиф икации и уточнения позы обеспечивая точность результатов распознавания. Наконец, карта препя тствий на основе октодерева и граф коэ ффициентов представля ют собой карту цветов, отображая цветыи их положения в 3D для оптимизации оценки позы Автоматический робот для опыления цветов арбуза Хубайба Ах мада [17] использует глубокое обучение для обнаружения двумерной информации оцветах и объединя ет ее с традиционными алгоритмами для расчета глубинырасположения цветов, тем самым достигая локализации цветов. Затем робот регулирует мех аническую руку, используя сервопривод, пока она не достигнет идеального положения опыления.

Электроника 2024, 13, 3070 4 из 14

Сервоавтоматический робот-опълитель компании YANG [18] использует более совершенные алгоритмы обнаружения целей, такие как YOLOV5, YOLACT++ [19] и DETR [20], для обнаружения цветов, определения положения и ориентации пестика посредством вращения. тех нология обнаружения объектов. Затем система использует стратегию псев добинокля, вынисля я трех мерные координаты пестика путем перемещения положения камерыи используя калибровку глаз-рука для преобразования э тих координат в оперативную систему координат манипуля тора робота. Во время задачи опыления система сочетает стратегии в изуального сервоуправления, выполня я грубое позиционирование, перемещая концевой э ффектор ря дом с цветком, с последую щим точным позиционированием с использованием круговой траектории поиска, чтобы обеспечить точный контакт между щеткой для пыльцыи пестиком. Однако система по-прежнему имеет погрешность точности концевого э ффектора 15 мм. Хотя круговая траектория поиска в конечном итоге позволя ет достичьточного позиционирования, э тот процесс занимает много времени: для полного опыления одного цветка требуется почти 19 секунд.

Если точность конечного э ффектора может быть повышена, э ффективность точного позиционирования по круговой траектории поиска значительновы играет.

Как традиционные методы N Duc Tai, так и роботыю пылители, основанные на глубоком обучении STRADER J, Хубайба Ах мада и YANG, существенно влия ют на успешность и э ффективность операций опыления из-за ошибок в оценке положения целей опыления. Например, роботыю пылители N Duc Tai и YANG могут обеспечить успешное опыление только за счет поддержания большой зоны поиска сервоприводов, что приводит к снижению э ффективности опыления. Следовательно, наша работа предлагает метод глубокого обучения для изучения ошибок поступательного и вращательного движения между цветком и конечным э ффектор ом опыления.

Засчет компенсации этих ошибок повышается точность позиционирования рабочего органаробота. Такое сокращение диапазона и пути поиска сервомех анизмав конечном итоге повышает эффективность процесса опыления.

2.3. Арх итектура трансформатора и кодирование положения

Арх итектура трансф орматора, представленная Васвани и др. [21] существенно повлия ло на обработку естественногоя зыка (НЛП) и компью терное зрение. Трансф орматоры используют мех анизм самообслуживания для зах вата сложных зависимостей во вх одных данных, что делает их эфективными для понимания визуальной инф ормации. В компью терном зрении преобразователи обрабатывают изображения, сегментируя их нафрагментыи линейно встраивая эти сегменты обеспечивая мощные мех анизмывнимания для таких задач, как классификация изображений, обнаружение объектов и создание описаний изображений. В робототех нике трансф орматорымогут прогнозировать смещение ошибок концароботизированной руки, анализируя последовательности изображений или данные датчиков, повышая точность и достоверность.

Введение кодирования положения [22] для прогнозирования ошибки поступательного смещения и ошибки смещения вращательной позына концероботизированной руки еще больше улучшает пространственную осведомленность и точность. В страивая информацию опространственном положении непосредственно в модель преобразователя, она повышает способность модели различать относительные и абсолютные положения объектов на сцене, что имеет решаю щее значение для точной оценки ошибок.

Мех анизм самообслуживания преобразователей может фиксировать долгосрочные зависимости, позволя я модели напря мую рассчить вать отношения между любыми двумя э лементами в последовательности вх одных признаков изображения, учитывая все вх одные данные, а не только локальную информацию. Эта х арактеристика помогает уменьшить проблему локального оптимума. Кроме того, благодаря детальному распределению внимания модели на основе преобразователей могут выя вить и подчеркнуть особенности и взаимосвя зи, наиболее важные для текущей задачи. Поэ тому использование модели трансформатора, оснащенной позиционным кодированием для прогнозирования ошибок поступательного и вращательного движения между конечным э ффектором робота-опыления и целевым объектом, я вля ется жизнеспособным подх одом.

3. Метод

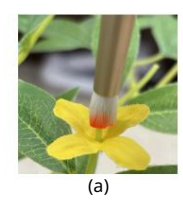
3.1. Оши бка

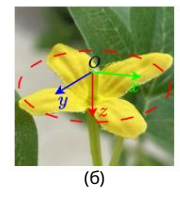
смещения Чтобы описать оши бку поступательного смещения и оши бку смещения вращательной позы, необх одимо построить две декартовы системы координат, СА и СВ, на целевом цвет Электроника 2024, 13, 3070 5 из 14

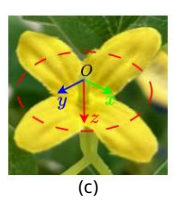
концевой э ффектор робот а-опыления соответственно. Декартова система координат СА, построенная на цветке, имеет начало Она конце пестика. Плоскость, образованная ося ми х и у , параллельна плоскости лепестков цветка, а ось z параллельна пестику и направлена внутрь, как показано на рис. 26,в. Декартова система координат СВ, построенная на конце робота-опыления , имеет начало О на конце кисти, полученное путем перевода системы координат ТСР робот изированной руки UR5, как показано на рисунке 2d. СА можно получить из СВ через матрицу перемещения -вращения ТR 4 × 4:

$$TP = \begin{cases}
P11 P12 P13 \tau1 \\
R21 R22 R23 \tau2 \\
P31 P32 P33 \tau3 \\
0 0 01
\end{cases}$$
(1)









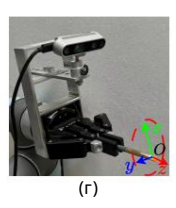


Рисунок 2. (a) Идеальное положение опыления с нулевой ошибкой. (б – г) Положения декартовых систем координат на цветке и на конце роботизированной руки соответственно.

Ошибка поступательного смещения и ошибка смещения вращательной позыпредставляют собой вектор перемещения t и вектор вращения, полученные из матрицы вращения R матрицы перемещения-

вращения TR соответственно:

$$T = T1 T2 T3$$
 (3)

P 11 P 12 P 13
$$P = P21 P 22 P 23$$

$$P31 P 32 P 33$$
(4)

Когда концевой э ффектор робота-опылителя нах одится в идеальной позе опыления, значения ошибки поступательного смещения и ошибки смещения вращательной позы приближаю тся к нулю. В э тот момент кисть на конце робота-опыления перпендикуля рна плоскости лепестков целевого цветка и точно соприкасается с пестиком, т.е. системы координат СА и СВ совпадают, как показано на рисунке 2а.

1 θ = cos 1 (
$$\sqrt{2}$$

V $\frac{1}{2 \sin(\theta)}$ P 32 P 23
P 13 P 13
P 21 P 12

W = θ V (5)

Ошибка поступательного смещения и ошибка смещения вращательной позы, предсказанные моделью, обозначаются как ît и Rî соответственно. Разница между фактической и прогнозируемой ошибкой поступательного смещения и ошибкой смещения вращательной позыот конца роботизированной руки до пестика целевого цветка рассчитывается как поступательная ошибка (ТЕ) и вращательная ошибка (RE) соответственно. Согласно уравнению (5), матрицы вращения R и Rî могут быть преобразованыв векторывращения W и îW:

$$TE = \hat{t} t$$
 (6)

Электроника 2024, 13, 3070 биз 14

$$PE = 1 - \frac{w}{}$$
 (7)

Единицей ТЕ я вляются сантиметры (см), представляю щие пространственное расстояние между прогнозируемой ошибкой перевода и фактической ошибкой перевода. RE я вляется безразмерным и представляет собой косинусное расстояние между прогнозируемой ошибкой векторавращения и фактической ошибкой векторавращения.

3.2. Модуль В ни мани е

Модульвнимания реализованна основе мех анизма самок онтроля, который позволя ет модели взвешивать важность различных функций во вх одных данных. Применя я э тот мех анизм, модель может адаптивно концентрировать вынислительные ресурсына областя х изображения, которые содержат ключевую информацию для прогнозирования смещения позыі (Тх, Ту, Тz, Wx, Wy, Wz). Более того, благодаря внедрению кодирования положения в мех анизм самообслуживания модель достигает полного понимания изображения. Это дает дополнительную информацию для решения проблем симметрии при прогнозировании позыобъекта, повышает точность модели и расширя ет ее общие возможности в различных сценария х, с которыми сталкиваются роботыю полители. Этот метод не только повышает точность модели, но и усиливает ее универсальность в разнообразных условия х, с которыми сталкиваются роботы опылители.

3.3. Извлечение функций

Учитывая уникальную способность моделей-трансф ор мер ов обрабатывать данные изображений, мы используем предварительно обученную сверточную нейронную сеть ResNet-50 [23] в качестве сети выделения признаков для преобразования исх одных изображений в многомерные векторыпризнаков. Эти х арактеристики затем передаются в модельтрансф орматора для дальнейшей обработки. Мы сравниваем сети извлечения признаков разной глубины чтобы определить оптимальное представление признаков. Этот подх од использует сильную способность ResNet-50 фиксировать подробные пространственные иерарх ии в изображения х, предоставля я богатый набор функций для анализа модели преобразователя. В ключив э ту гибридную арх итектуру, сочетаю шую сильные стороны CNN в извлечении признаков с усовершенствованным мех анизмом в нимания преобразователей, модель достигает детального понимания содержания изображения, необх одимого для прогнозирования ошибок смещения позы Этот метод облегчает идентификацию и сосредоточение в нимания на важнейших аспектах вх одных данных, тем самым повышая точность и э ффективность процесса оценки позы

3.4. Предлагаемый подх од В

этой работе представлена новая сетевая модель, вклю чаю щая модуль внимания, предназначенный для повышения точности прогнозирования за счет сосредоточения внимания на наиболее важных частя х входных данных. Эта модель особенно подходит для анализа данных изображения, полученных конечным эффектором робота-опыления, с целью точно предсказать смещение положения конечного эффектора относительно целев ого объекта в декартовой системе координат. Во время обучения модель принимает данные изображения с конца робот изированной руки в качестве входных данных и выводит шестимерный вектор (Тх, Ту, Тz, Wx, Wy, Wz), представляющий поступательное смещение W. = (Wx, Wy, Wz) в ошибках Т = (Тх, Ту, Тz) и трем направления мдекартов ой системы координат.

3.5. Прогнозирование ошибки

смещения Входными данными для модели я вля ется RGB-изображение, сня тое RGB-камерой «глаз в руке» на роботизированной руке, отображаю щее позиционное состоя ние конечного эффектора роботизированной руки во время опыления и цветка опыления. Выходными данными я вля ется вектор, представляю щий вектор смещения позы (Tx, Ty, Tz, Wx, Wy, Wz), который включает в себя поступательные и вращательные ошибки конечного эффектора робота относительно целевого объекта. Для достижения этой цели в модели используются две нейронные сети пря мого распространения, которые напря мую отображают функции, ориентированные на внимание.

Электроника 2024, 13, 3070 7 из 14

в трех мерное пространство смещения и трех мерное пространство вращения. Рисунок 3 иллю стрирует весь алгорит мический процесс.

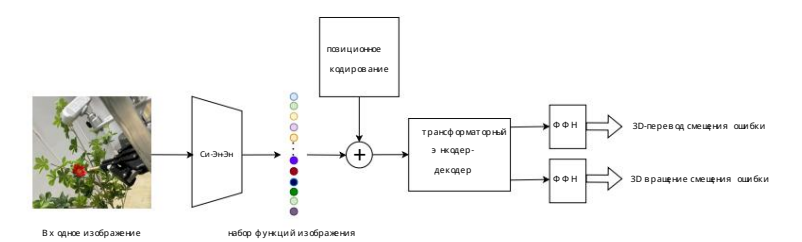


Рисунок 3. Схема иллю стрирует работу предлагаемого алгоритма. Процесс начинается с входного изображения, которое подвергается извлечению признаков с помощью сверточной нейронной сети (CNN) для получения многомерных признаков изображения. Эти функции затем дополняются позиционным кодированием перед вводом в модуль преобразователя. Выходной сигнал трансформатора далее обрабатывается двумя отдельными нейронными сетя ми пря мого распространения, которым поручено прогнозировать поступательные и вращательные ошибки соответственно.

3.6. Сетевая арх итектура

В этой работе мыприня ли специальную модельтрансформатора, предназначенную для обработки функций сериализованного изображения и прогнозирования ошибки поступательного смещения и ошибки смещения вращательной позына конце роботизированной руки. Мымодифицировали исх одную модель преобразователя, введя двумерное позиционное кодирование, чтобы сох ранить пространственную информацию входных изображений. Выходной слой настроен для генерации трех мерного поступательного смещения и вектораошибки смещения вращательной позы Как показано на рисунке 4, ResNet50 служит основой для извлечения богатого набора функций из входных данных изображения. Чтобы сохранить пространственную информацию среди э лементов изображений, мыприменя емсину соидальное код ирование положения к извлеченным объектам, которые затем суммирую тся с объектами перед подачей в код Для зах вата информации из разных подпространств в кодере используется многоголовочный мех анизм в нимания с пятью головками. Вых одной сигнал кодера в последствии подается в декодер. Следуя стандартной арх итектуре преобразователя, декодер использует мех анизм в нимания с несколькими головками для преобразования двух вложений размера d. Эти объекты запроса преобразуются декодером в выходные внедрения, которые затем декодируются двумя отдельными сетя ми пря мой свя зи в оши бку поступательного смещения и оши бку смещения вращательной позы соот в ет ст в енно.

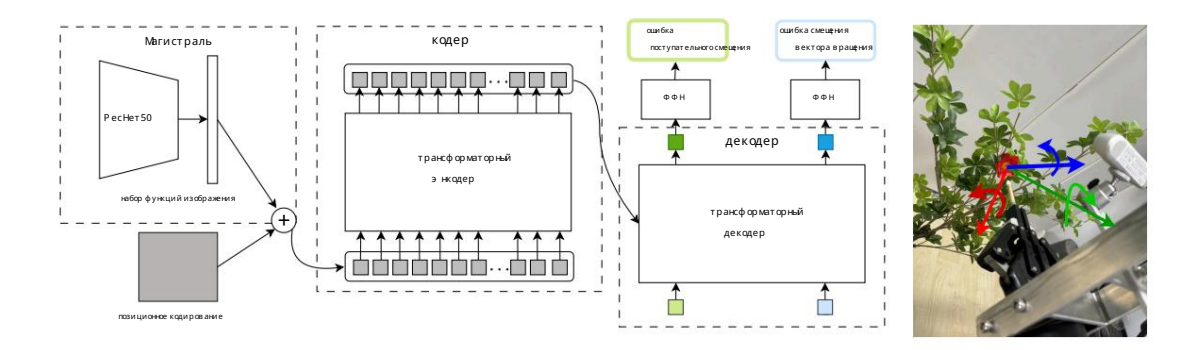


Рисунок 4. Оконнательная модель использует ResNet50 в качестве магистральной сети для изучения высокоуровневых функций из вх одного изображения. Эти функции затем дополняются позиционным кодированием перед передачей в кодер. В последствии декодер сначала выводит вектор признаков для ошибки поступательного смещения, который используется в качестве вх одных данных для нейронной сети пря могораспространения, предназначенной для прогнозирования. Этот вектор признаков затем используется в качестве вх одных данных запроса для декодера, в результате чего получается другой вектор признаков, который передается в отдельную нейронную сеть пря могораспространения для прогнозирования ошибки смещения вращательной позы

Электроника 2024, 13, 3070 8 из 14

4. Эксперименты

4.1. Предварительная обработка данных

В се данње изображения, использованње в этом эксперименте, взятыиз собственного набора данњих, который состоит из изображений, снятых камерой, установленной нароботизированной руке, во время опыления процесс, в котором каждое изображение уникальным образом представляет позу цветка, подлежащего опылению. Как показано нарисунке 5, ориентация цветов от носительно концаробот изированной руки было разделено на пять направлений: влево, вправо, вверх, вниз и вперед. Подробный Статистическая информация представлена в Таблице 1.











Рисунок 5. Цветки с разной ориентацией относительно концевого э ффектора роботизированной руки.

Таблица 1. Набор данных включает количество изображений цветов, ориентированных в разные стороны относительно к конечному э ффектору роботизированной руки.

Ориентации	Количество цветов	Доля (%)
л	261	20,6
р	274	21,7
Ф	230	18,2
ты	256	20.3
Д	243	19.2

«F», «L», «R», «U» и «D» обозначаю ториентацию вперед, влево, вправо, вверх ивниз.

Чтобыобеспечить согласов анность входных данных, все изображения, сня тые роботизированной рукой, Конечная камера сначала была изменена до единого разрешения (224 × 224). В последствии изображения были нормализованы масштабируя значения пикселей до диапазона [0, 1], чтобы повысить стабильность обучения модели. Кроме того, был примененря д методов увеличения данных, включая масштабирование, обрезку и преобразование цвета, чтобыувеличить разнообразие данных и предотвратить переобучение. Что касается данных э тикетки, мыпредположили, что и

установить ошибку T=(Tx, Ty, Tz) и ошибку смещения вращения W=(Wx, Wy, Wz), $c\mid\mid T\mid\mid < D$, где D- константа. Ошибка смещения позиции Уравнение (8) и

оши бка смещения в ращения. Уравнение (9) было нормализовано и масштабировано до [1, 1] следую щим образом:

$$TH = \frac{T}{A}$$
 (8)

$$\theta = W2 \frac{}{}_{M} + W2 \frac{}{M} + W2 \frac{}{M}$$
 (10)

$$V = (\frac{W_X}{\theta}, \frac{Wy}{\theta}, \frac{Wz}{\theta})$$
 (11)

Символ θ в уравнении (10) представля ет угол поворота, а V обозначает угол поворота.

единичный в ект ор в доль оси в ращения . Нормализованные данные метки были (Tn, $V, \frac{\theta}{2\pi}$).

4.2. Метрики оценки

В модели, представленной в э той статье, мы от дельно прогнозируем поступательное смещение оши бка и оши бка смещения вращательной позы таким образом разрабатьвая две функции потерь. Первая потеря Электроника 2024, 13, 3070 9 из 14

Функция под названием LossT измеря ет среднеквадратичное расстоя ние между ошибкой смещения пространственного положения, предсказанной моделью для конечного э ффектора робот изированной руки опыления, до пестика целевого цветка, и фактической ошибкой пространственного смещения. LossT определя ется следую щим образом:

Потеря T =
$$\frac{1}{2M} \times \varepsilon M$$
 (12)

где М — набор тестовых данных, m — количество элементов в наборе, а 1^T П — ошибка H Поступательного смещения, предсказанная моделью, и истинная ошибка поступательного смещения, полученная с помощью уравнения (8) соответственно.

Вторая функция потерь, названная LossR, измеря ет несоответствие между ошибкой пространственного вращения, предсказанной моделью для конечного э ффектора роботизированной руки опъления и пестика целевого цветка, и фактической ошибкой пространственного вращения. LossR определя ется следую щим образом:

Потери
$$R = \frac{1}{2m}$$
 $(\frac{1}{2}(^{\circ}\theta + \theta + \frac{1}{2}) + \frac{1}{2}(1 + \frac{1}{2}\theta + \frac{1}{2}\theta$

где М — набор тестовых данных , а m — количество э лементов в наборе. Переменные $\hat{\theta}$, θ ,

В, и У представляют прогнозируемые и фактические углый оси вращения, полученные с помощью уравнения (9)–(11), где о1 и о2 я вляются параметрами, которые необх одимо изучить.

Комбинированная функция потерь, используемая для обучения модели, определя ется как

$$Ποτ ep = αLossT + βLossR$$
 (14)

Этафункция потеры в уравнении (14) в сесторонне измеря ет потери на ошибку поступательного смещения и потери на ошибку вращательного смещения во время обучения модели. Параметры си β— э то гиперпараметры, представля ющие веса, которые необх одимо систематически корректировать во время обучения модели.

4.3. Детали обучения

Обучение модели проводилось в вынислительной среде, оснащенной графическими процессорами NVIDIA V100. Мыиспользовали оптимизатор Адама [24] с начальной скоростью обучения , установленной на 0,01, и применили стратегию снижения скорости обучения , которая постепенно снижала скорость обучения до 0,00001 по мере прох ождения обучения . В процессе обучения использовалась пользовательская функция потерь, уравнение (14). При обучении модели настройка гиперпараметров в уравнении (14) повлия ла на способность модели сх одиться . После общирных э кспериментов мынаконец установили α = 0,0025 и β = 1, что позволило модели легче сх одиться в овремя обучения .

В наборе данных цветы с разной ориентацией были случайным образом перетасованы а затем данные были разделенына 10 подмножеств с использованием метода К-кратной перекрестной проверки. Каждый раз одно подмножество использовалось в качестве тестового набора, а остальные девять подмножеств — в качестве обучаю щего набора. Этот процесс повторялся 10 раз. Во время обучения модели мызаметили, что модель сначала быстро сходилась, а затем постепенно стабилизировалась. На рисунке 6 показаны изменения значений потерь, поступательной ошибки и ошибки вращения в процессе обучения модели:

Электроника 2024, 13, 3070

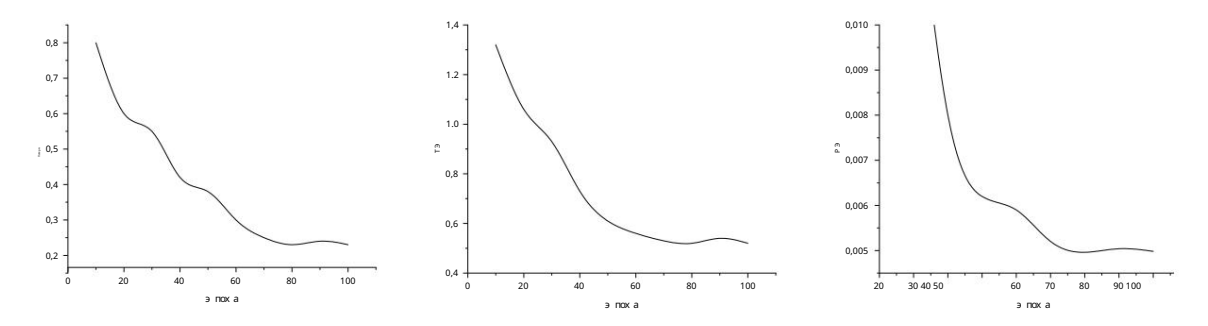


Рисунок 6. Изменения потерь, ТЕ и RE в процессе обучения модели.

4.4. Полученые результаты

Насколько нам известно, мы первыми предсказали оши бку поступательного смещения и ошибку смещения вращательной позыконцевого э ффектора роботизированной руки относительно целевого объекта с использованием только информация об изображении RGB. Поэ тому в данной статье основное внимание уделя ется повышению точности. оши бки поступательного смещения и оши бки смещения вращательного положения концевого э ффектора робота при использовании предложенного нами метода по сравнению с современным методом YANG [18] как базовый уровень. Кроме того, мы подчеркиваем повышение э ффективности опыления одиночный цветок.

Мыпровели э кспериментыс цветками разной ориентации в группах , чтобыпроанализировать ошибки поступательного и вращательного смещения , а также скорость обнаружения . Результаты э ксперимента показали не большие различия для цветов с разной ориентацией. Как показано в Таблице 2 и Рисунок 7: цветы обращенные вперед, достигли наилучших результатов с точки зрения точности э ксперимента. с наименьшей ошибкой поступательного смещения и ошибкой смещения вращательной позыпо сравнению с цветыв других ориентация х . Следую щими были цветы обращенные вверх . Из-за э кологических симметрии, не было почти никакой разницыв результатах для цветов, обращенных влево и вправо. Цветы лицом в низ и мели х удшие результатыкак с точки зрения поступательной ошибки смещения , так и с точки зрения ошибка смещения в ращательной позы Однако скор ость обнаружения модели для цветов с

Таблица 2. Результатыэ кспериментов модели на цветках различной ориентации.

Фиентации	ТЭ	PЭ	ФПС
л	0,82	0,0049	41
р	0,82	0,0049	42
Φ	0,78	0,0047	43
ТЫ	0,80	0,0048	42
Д	0,87	0,0051	41

«F», «L», «R», «U» и «D» обозначают ориентацию вперед, влево, вправо, вверх и вниз.

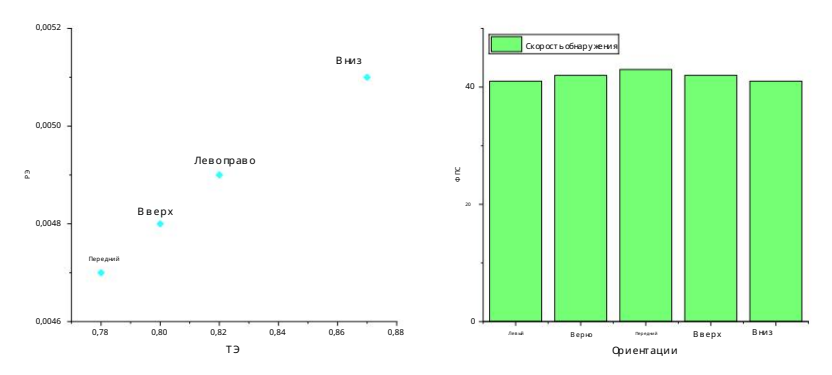


Рисунок 7. Распределение ошибок обнаружения вращения и поступательного движения модели для цветов с различные ориентации, а также скорость обнаружения.

Мыпроводили эксперименты с использованием робота-опыления YANG. Процесс опыления одного цветка роботом-опылителем YANG можно разделить на пять этапов.

Электроника 2024, 13, 3070 11 из 14

х ронологический поря док. После четвертого шага точность позиционирования концевого эффектора роботаопыления YANG относительно целевого пестика составила 1,5 см. На этом этапе мыпредставили новый шаг под названием «Точная регулировка положения». В водим изображение позыцветка относительно конечного эффектора робота в нашу обученную модель, чтобы предсказать поступательное и оши бки смещения вращения. На основе прогнозируемых значений позаробота-опылителя концевой эффектор был отрегулирован

Как показано в Таблице 3, благодаря новому шагу «Точная регулировка положения» расстоя ние поступательного движения и несоответствие вращения между концевьмэ ффектором робота-опълителя и цель опъления была еще больше уменьшена, что сузило диапазон для следую щего поиска серв омотора. э тап опъления. Наши э ксперименты показали, что среднее время опъления с помощью серв опоиска составило всего 3,1 с, при э том уровень успешности опъления был сопоставим с опълением YANG. робот на 86,19%. Как показано в Таблице 4, после применения нашего метода к роботу-опълению, достигнута средня я точ ность расстоя ния между концевьмэ ффектором робота и целевым пестиком 0,81 см, улучшение на 46,67%. Ошобка смещения вращательной позиции, рассчитанная в соответствии с к урав нению (14) также достигло 0,0049. Общее время завершения опъления одного цветок сократился почти вдвое, при э том среднее повъщение э ффективности составило 50,9%.

Таблица 3. Сравнение средних временных затрат на каждом э тапе системы опыления после в недрения нашего метода.

Цаг	ЯН (базовый уровены) Стоимость времени (S)	Наши затратывремени (S)	
Обнаружение цветов	0,0928	0,0927	
Идентификация пестика	0,025	0,024	
Расчет положения (включая движение робота)	1,8	1,8	
Дотя гивание цветов (включая движение робота)	4.2	4.2	
Положение точной регулировки	/	0,024	
Сервопривод (включая движение робота)	12,7	3.1	

Шаг «Точная регулировка положения» я вля ется дополнительным шагом. Сучетом этого шага время, проведенное в режиме «Обслуживание», шаг знач ительно сокращается, и тот же уровень успешного опыления достигается в сего за 3,1 с. В се номера записаны в секундах.

Таблица 4. Сравнение ошибки поступательного смещения и ошибки смещения вращательной позыпри применении нашей алгоритм для цветов, ориентированных в разных направления х по сравнению с базовой линией.

Ориентации	Метод	ТЭ	РЭ	Стоимость времени (с
_	ЯН	1,53	/	18,78
Л	Наш	0,82	0,0050	9.22
n	ЯН	1,52	/	18.80
р	Наш	0,82	0,0050	9.23
Ф	ЯН	1,48	/	18.85
	Наш	0,80	0,0048	9.22
	ЯН	1,53	/	18.79
ТЫ	Наш	0,81	0,0049	9.24
Д	ян	1,55	/	18.83
	Наш	0,83	0,0052	9.26

«F», «L», «R», «U» и «D» обозначают ориентацию вперед, влево, вправо, вверх и вниз. метод ЯНА служил базовой линией.

В этой статье было проведено несколько экспериментов поабляции, чтобыпроверить влия ние различных магистральные сети и добавление позиционного кодирования для прогнозирования модели ошибки поступательного смещения и ошибки смещения вращательной позы РесНет50, Реснет18, Реснет101, В качестве магистральной функции были выбраны VGG16, VGG19, DenseNet-121 и DenseNet-201. добывающие сети. Для каждой магистрали эксперименты проводились с и без позиционное кодирование. Результаты эксперимента, показанные в Таблице 5 и Рисунке 8, указывают на что различные магистрали и добавление позиционного кодирования существенно влия ют на

Электроника 2024, 13, 3070 12 из 14

окончательная точность прогноза модели. В ерсия модели с ResNet50 в качестве основы

добавлена сеть извлечения признаков и позиционное кодирование, что позволило достичь наилучшей производительности. при прогнозировании ошибки поступательного смещения и ошибки смещения вращательной позы, достигая 8,1 мм и 0,0049 соот в етственно.

Таблица 5. В лия ние различных магистралей в модели на точность прогнозирования ошибка поступательного смещения и ошибка смещения вращательной позы

Магистральные сети	Позиционное кодирование	ТЭ	РЭ
РесНет50		0,81	0,0049
r echer 50		1.19	0,0051
Реснет18		0,92	0,0053
rechello		1.33	0,0054
Реснет 101		0,86	0,0050
Реснеттот		1.21	0,0050
ВГГ16		0,96	0,0053
БПТО		1.32	0,0055
D FF10		0,99	0,0054
В ГГ19		1.33	0,0055
D 121		0,92	0,0054
Плотная сеть-121		1.23	0,0055
201		1.10	0,0055
Плотная сеть-201		1,38	0,0057

Галочка () указывает на то, что в модель включено позиционное кодирование, а крестик () указывает на то, что модель не включала позиционное кодирование.

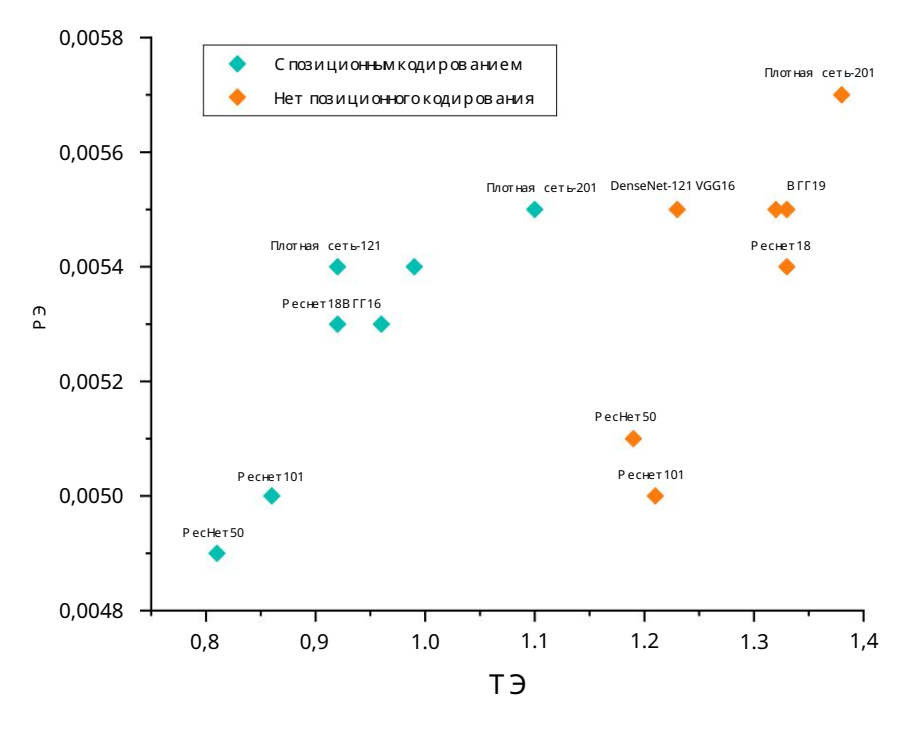


Рисунок 8. Распределение поступательной и вращательной ошибки для различных магистральных моделей с и без добавления позиционного кодирования.

5. Обсуждение

В этой работе предлагается подход на основетрансформатора, который обеспечивает сквозное прогнозирование. поступательных и вращательных ошибок между концевым эффектором роботизированной руки-опылителя

Электроника 2024, 13, 3070 13 из 14

и целев ое положение опыления, исклю чительно с использованием информации изображения RGB. Наши экспериментальные результаты показывают, что этот метод эффективно сужает диапазоноши бок роботизированного концевого эффектора в пределах известного предела погрешности, тем самым повышая общую эффективность роботизированного опыления.

В этой работе нашметод продемонстрировал небольшие различия в результатах при работе с цветами разной ориентации, особенно большие ошибки поступательного и вращательного движения с цветами, обращенными в низ. Это может быть свя зано с позиционированием угла камерыробота относительно ориентации цветов, что усложня ет точное распознавание и локализацию цветов в определенной ориентации. Путем экспериментов мытакже заметили, что версии модели, в которых использовалось позиционное кодирование, лучше справля лись с точным прогнозированием поступательных и вращательных ошибок. Кроме того, различные магистральные сети, используемые для извлечения признаков из вх одных изображений, оказали значительное влия ние на производительность модели.

Эта работа и меет потенциальные ограничения, несмотря на продемонстрированную
э ффективность предлагаемого метода в уменьшении поступательных и вращательных ошибок между
концевьмэ ффектором робота-опылителя и мишенью: (1) Набор данных, используемый в э том
исследовании, был специально собрандля э кспериментальных целей, что может ограничить возможности
обобщения модели в различных средах и типах цветов; (2) Производительность модели может
ух удшиться при различных условия х освещения и в условия х препя тствий, что влия ет на ее
общую э ффективность. Эти проблемы подчеркивают необх одимость дальнейших усовершенствований
перед практическим в недрением, что требует будущих исследований для изучения дополнительных
методов, которые улучшат адаптируемость и надежность модели в различных сельскох озя йственных условия х

6. Выводы

Вэтой работе представленинновационный метод, который использует мощные в озможности пространственного обучения и понимания модели глубокого обучения на основе трансформатора для достижения сквозного прогнозирования поступательных и вращательных ошибох между конечным эфектором робота-опылителя и целевой позицией опыления, используя только RGB. изображений. Наши экспериментальные результаты показывают, что этот метод эффективендля дальнейшего уменьшения диапазона ошибох конечного эффектора робота-опыления в пределах известного диапазона ошибох, тем самым улучшая общую эффективность робота-опыления. Будущая работа может быты сосредоточена на исследовании прогнозирования поступательных и вращательных ошибох между робот изированным концевым эффектором и целевыми позиция ми в наборах данных, содержащих более разнообразный диапазонти пов цветов, при различных условиях освещения и окклюзии. Такая работа будет направлена на повышение надежности и возможностей обобщения модели, обеспечивая реальный подх од к повышению точности обычных роботизированных конечных эффекторов.

В клад авторов: Концептуализация, JX; методология, JX; проверка, JX; формальный анализ, JX, JC, HP и MY; расследование, JX; ресурсы JX; курирование данных, JX; письмо — подготовка первоначального черновика, JX, HP и MY; написание — обзор и редактирование, JX, HP и MY; визуализация, JX; супервизия, HP, MY и JC; администрация проекта, JC. В се авторы прочитали и согласились с опубликованной версией рукописи.

Финансирование: Данная работа финансировалась в рамках проекта «Ключевой планисследований и разработ ок Гуанси» (АВ24010164; АВ21220038).

Зая вление о доступности данных: данные, подтвер ждаю щие выводы этой работы можно получиты у соответствую щего автора по обоснованному запросу.

Конфликтыинтересов: Авторызая вля ют оботсутствии конфликта интересов.

Сокращения

В данной рукописи использованы следую щие сокращения:

ошибка перевода ТЕ Ошибка вращения RE Электроника 2024, 13, 3070 14 из 14

Рекомендации

- 1. Биннс, К. Роботизированные насекомые могут опыля ты цветыи нах одить жертв стих ийных бедствий. Популя рная наука, 17 декабря 2009 г.
- 2. Уилья мс, Х.; Неджати, М; Хусейң С.; Пенх олл, Н.; Лим, ЈҮ; Джонс, Миннесота; Белл, Дж; Аң ХС; Брэ дли, С.; Шааре, П.; и другие.

Автономное опыление отдельных цветков киви: на пути к роботу-опылителю киви. Дж Полевой робот. 2020, 37, 246–262.

[Перекрестняя ссылка]

- 3. Гао, К.; Оң Л.; Фант, В.; Ву, З.; Цзя ң Х.; Ли, Р.; Фу, Л. Новый робот для опыления цветка киви, основанный на предпочтительном методе опыления. выбою цветов и точная цель. Вынислить. Электрон Сельское х озя йство. 2023. 207. 107762. [CrossRef]
- 4. Стрейдер, Дж; Нгуен, Дж; Тач, К.; Ду, Ю, Лассак, К.; Баззо, Б.; Уотсон, Р.; Цербоне, Х.; Охи, Н.; Ян, К.; и другие. Подсистема взаимодействия цветов для робота точного опыления. В материалах Международной конференции IEEE/RSJ по интеллектуальным роботам и системам (IROS) 2019 г., Макао, Китай, 3–8 ноя бря 2019 г.; стр. 5534–5541.
- 5. Шейнифелт, Т.; Джамшиди, ММ, Агая н С. Робот изированная система стыков очного крана с обратной связью по зрению, применимая для опыления ванили. Межд. Дж Автомат. Контроль 2013, 7, 62-82. [Перекрестная ссылка]
- 6. Юань, Т.; Чжан, С.; Шэн, Х.; Ван, Д.; Гонг, Ю, Ли, В. Автономный робот-опылитель для гормональной обработки цветков томатов в теплице. В материалах 3-й Международной конференции посистемам и информатике (ICSAI) 2016 г., Шэнх ай, Китай, 19–21 ноя бря 2016 г.; стр. 108–113.
- 7. Аброл, Д.П. Биология опыления: сох ранение биоразнообразия и сельскох озя йственное производствостом 792; Спрингер: Нью-Йорк, штат Нью-Йорк, США, 2012 г.
- 8. Ян, Х.; Мия ко, Э. Опьление мыльными пузыря ми. Iscience 2020, 23, 101188. [CrossRef] [ПабМед] 9.
 - Хинтерштойссер, С.; Канья р, К.; Илич, С.; Штурм, П.; Наваб, Н.; Фуа, П.; Лепетит, В. Картыградиентного отклика для обнаружения бестекстурных объектов в реальном в ремени. IEEE Транс. Паттерн Анал. Мах. Интел. 2011, 34, 876–888. [Перекрестная ссылка] [ПабМед]
- 10. Цао, З.; Шейх, Ю; Банерджи, Северная Каролина Масштабируемая оценка позыб dof в реальном времени для бестекстурных объектов. В материалах Международной конференции IEEE по робототех нике и автоматизации (ICRA) 2016 г., Стокголым, Швеция, 16–21 мая. 2016 г.; стр. 2441–2448.
- 11. Брах манн Э.; Крулл, А.; Мишель, Ф.; Гумх ольд, С.; Шиттон, Дж; Ротер, К. Сбучение оценке позышестимерного объекта с использованием координат трех мерного объекта.

 В материалах, часть II 13, Трудыкомпью терного эрения ECCV 2014: 13-я Европейская конференция, Цюрих, Швейцария, 6–12 сентя бря 2014 г.; Springer:
 Берлин/Гейдельберг, Германия, 2014 г.; стр. 536–551.
- 12. Крулль А.; Брах манн, Э.; Мишель, Ф.; Ян, МӢ; Гумх ольд, С.; Ротер, К. Обучение анализу путем синтеза для оценки 6d-позына изображения х RGB-D. В материалах Международной конференции IEEE по компью терному зрению, Сантья го, Чили, 7–13 декабря 2015 г.; стр. 954–962.
- 13. Ся нЮ; Шмидт, Т.; Нарайанан, В.; Фокс, Д. Посекн Сверточная нейронная сеть для оценки позышестимерных объектов в загроможденных сценах. arXiv 2017, arXiv:1711.00199
- 14. Ли, К.; Хо, Ю, Лю, Ю, Ши, Ю, Он, З.; Кю и, ЮР азработка легкого роботизи рованного манипуля тора для опыления киви. Вын ислить Электрон Сельское х озя йство. 2022, 198, 107114. [CrossRef]
- 15. Ма, В.П.; Ли, WX; Ц ао, П.Х. Метод позиционирования объектов с помощью бинокуля рного зрения для роботов, основанный на грубо-точ ном стереосопоставлении. Межд. Дж Автомат. Вын ислить. 2020, 17, 562-571. [Перекрестная
- 16. Тай, Северная Дакота; Трие, Нью-Мексико; Тин, Н.Т. Моделирование положения и ориентации цветков дыни для автоматического опыления. сельское х озя йство 2024, 14, 746. [CrossRef]
- 17. Ах мад, К.; Парк, Ж-Э.; Илья с, Т.; Ли, Дж-Х.; Ким, С.; Ким, Х. Точное и надежное опыление арбузов с помощью интеллекта управля емое визуальное обслуживание. Вынислить. Электрон Сельское х овя йство. 2024, 219, 108753. [CrossRef]
- 18. Яң М; Лю, Х.; Чжао, Ю; Саң Ю; Паң Х.; Саң К.; Чең Дж; Ц я ң Б.; Яң Х. Доставка пыльцына пестики цветка форзиции. автономно и точно с помощью роботизированной руки. Вынислить. Электрон. Сельское х озя йство. 2023, 214, 108274. [CrossRef]
- 19. Чжоу, К. Yolact++ Улуч шенная сегментация экземпля ров в реальном времени; Калифорнийский университет: Дэвис, Калифорния, США, 2020.
- 20. Карион, Н.; Масса, Ф.; Синнев, Г.; Усунье, Н.; Кириллов А.; Загоруйко С. Сквозное обнаружение объектов с помощью преобразователей. В Европейская конференция покомпью терному зрению; Ширингер: Чам, Швейцария, 2020 г.; стр. 213–229.
- 21. В асвани А.; Шазир, Н.; Пармар, Н.; Ушкорейт, Дж; Джонс, Л.; Гомес, АН; Кайзер, Л.; Полосух ин И. В нимание э товсе, чтовам нужно. arXiv 2017, arXiv:1706.03762v7.
- 22. Цзя ң К.; Пэ ң П.; Лиаң Ю, Сюй, В. Метод кодирования вложений позиций в преобразователе изображения. Дж Вис. Коммун Изображение представля ет. 2022, 89, 103664. [CrossRef]
- 23. Оң К.; Чжаң Х.; Рең С.; Саң Дж Глубокое остаточное обучение для распознавания изображений. В материалах конференции IEEE по компью терному зрению и распознаванию образов, Лас-Вегас, Невада, США, 27–30 ию ня 2016 г.; стр. 770–778.
- 24. Кингма, ДП; Ба, Дж Адам: Метод стох астической оптимизации. arXiv 2014, arXiv:1412.6980.

Отказ от ответственности/Примечание издателя: Зая вления, мнения и данные, содержащиеся вовсех публикациях, принадлежат исключительно отдельному автору(ам) и участникам(ам), а не MDPI и/или редактору(ам). MDPI и/или редактор (ы) не несут ответственности за лю бой вред лю дя м или имуществу, возникций в результате лю бых идей, методов, инструкций или продуктов, упомя нутых в контенте.





Статья

Адаптивные корреляционные фильтры с подавлением аберрантности Совместная оптимизация в многомерных беспилотных системах Распределение задач летательного аппарата и планирование траектории

Цзыцзе Чжэн 1,*

- Школа автоматизации и инженерии, Южно-Китайский технологический университет, Гуанчжоу 510006. Китайская
- школа математики и системных наук, Гуандунский политехнический педагогический университет, Гуанчжоу 510665, Китай; zhenzhangli@gpnu.edu.cn
- * Переписка: 201910102802@mail.scut.edu.cn.

Аннотация: В быстро развивающейся области применения беспилотных летательных аппаратов (БПЛА) сложность планирования задач и оптимизации траектории, особенно в многомерных операционных средах, становится все более сложной. В настоящем исследовании эти проблемы решаются путем разработки алгоритма совместной оптимизации адаптивного корреляционного фильтра подавления искажений (ARCF-ICO), предназначенного для многомерного распределения задач БПЛА и планирования траектории. Алгоритм ARCF-ICO сочетает в себе передовые технологии корреляционного фильтра с методами многокритериальной оптимизации, повышая точность планирования траектории и эффективность распределения задач. Учитывая погодные условия и другие факторы окружающей среды, алгоритм обеспечивает надежную работу на малых высотах. Алгоритм ARCF-ICO повышает стабильность и точность отслеживания БПЛА за счет подавления искажений, способствуя выбору оптимального пути и выполнению задач. Экспериментальная проверка с использованием наборов данных UAV123@10fps и ОТВ-100 показывает, что алгоритм ARCF-ICO превосходит существующие методы по метрикам «Площадь под кривой» (AUC) и «Точность». Кроме того, учет энергопотребления и срока службы батареи в алгоритме еще раз подтверждает его применимость к современным технологиям БПЛА. Это исследование продвигает планирование миссий БПЛА и устанавливает новые стандарты для использования БПЛА как в гражданских, так и в военных целях, где адаптивность и точность имеют решающее значение.

Ключевые слова: многокритериальная оптимизация; планирование траектории БПЛА; корреляционные фильтры; адаптивные алгоритмы; распределение задач



Цитирование: Чжэн 3.; Чжан, 3.; Ли, 3.; Ю, К.; Цзян, Ю. Адаптивные корреляционные фильтры с подавлением аберрантности и совместной оптимизацией в распределении задач и планировании траектории многомерных беспилотных летательных аппаратов . Электроника 2024, 13, 3071. https://doi.org/10.3390/ электроника13153071

Научный редактор: Чжицюань Лю

Поступила: 29 мая 2024 г.
Пересмотрено: 20 июля 2024 г.
Принято: 30 июля 2024 г.
Опубликовано: 2 августа 2024 г.



Копирайт: © 2024 авторов.
Лицензиат MDPI, Базель, Швейцария.
Эта статья находится в открытом доступе.
распространяется на условиях и
условия Creative Commons

Лицензия с указанием авторства (СС BY) (https://creativecommons.org/licenses/by/ 4.0/).

1. Введение

В эпоху Интернета вещей беспилотные летательные аппараты (БПЛА) стали важными инструментами в различных областях благодаря своей гибкости и эффективности. По мере увеличения сложности и разнообразия миссий БПЛА потребность в расширенном многоцелевом распределении задач и планировании траекторий становится критической. Недавние исследования Chen et al. [1–3] представили инновационные алгоритмы, которые улучшают планирование пути и совместное управление поведением гетерогенных БПЛА. Эти методы повышают эксплуатационную эффективность и адаптируемость БПЛА в динамичных и сложных средах, решая современные проблемы развертывания БПЛА.

Быстрое развитие технологии БПЛА привело к растущему спросу на приложения БПЛА в многозадачных средах. Однако в сложных многоцелевых средах один БПЛА часто с трудом справляется с несколькими задачами одновременно, что требует совместной работы нескольких БПЛА. Исследования по многомерному распределению задач многоцелевого БПЛА и планированию траектории на основе глубокого обучения направлены на решение проблем оптимизации при совместном распределении задач нескольких БПЛА, достижении интеллектуального управления и планирования БПЛА для повышения эффективности и точности выполн

Электроника 2024, 13, 3071 2 из 17

В сфере национального стратегического развития развитие и использование технологий беспилотных летательных аппаратов (БПЛА) становятся ключевыми технологическими средствами реализации стратегических инициатив. Благодаря совершенствованию планирования задач БПЛА ключевые отрасли внутри страны смогут стать свидетелями повышения уровня производительности и эффективности, тем самым способствуя развитию новой, высококачественной производительности концепции, которую отстаивают Яо и Лю [5]. Их работа подчеркивает важность определения теоретических основ и практических путей достижения прогресса. Более того, эволюция технологии БПЛА не только увеличивает технологические возможности страны, но и укрепляет ее глобальную конкурентоспособность, как показали Ма и Чен [6]. Их исследование национальных преобразований подчеркивает неоспоримую роль технологических инноваций в формировании экономических и стратегических траекторий. Поскольку технология БПЛА является краеугольным камнем инновации, ее многогранное применение в таких областях, как национальная оборона, транспорт и сельское хозяйство, вносит значительный вклад в повышение общей конкурентоспособности страны. Таким образом, приведение технологии БПЛА в соответствие с более широкими стратегическими императивами позволит реализовать стремление к прогрессу и укреплению национальной конкурентоспособности, поддерживаемое новой парадигмой развития.

Модели глубокого обучения сыграли значительную роль в распределении задач БПЛА и планировании траектории. Общие модели глубокого обучения включают сверточные нейронные сети (CNN) [7], рекуррентные нейронные сети (RNN) [8], глубокое обучение с подкреплением (DRL) [9], генеративносостязательные сети (GAN) [10] и трансферное обучение, каждая из которых со своими преимуществами и ограничениями. Например, CNN подходят для задач обработки изображений, но им не хватает эффективности при обработке последовательных данных [11], в то время как RNN могут обрабатывать последовательные данные, но страдают от таких проблем, как исчезновение и взрыв градиентов. DRL может выполнять задачи с отложенным вознаграждением, но требует сложного процесса обучения, в то время как GAN могут генерировать данные , но демонстрируют нестабильность во время обучения. Трансферное обучение может использовать ранее полученные знания для ускорения обучения новым задачам, но требует устранения различий в пр

Целью данного исследования является решение многомерных задач многоцелевого распределения задач БПЛА и планирования траектории с использованием адаптивного корреляционного фильтра подавления искажений (ARCF). Мы разработаем сеть ARCF, которая будет объединять состояния, действия и функции вознаграждения миссий БПЛА, чтобы обеспечить интеллектуальное принятие решений для распределения задач и планирования пути. В частности, мы будем использовать методы глубокого обучения с подкреплением для обучения сети, что позволит ей изучить оптимальные стратегии поведения БПЛА в сложных средах. В процессе обучения мы будем использовать блоки памяти воспроизведения для хранения исторического опыта и объединения целевых и оценочных сетей для повышения стабильности и эффективности процесса обучения.

Основные положения данной статьи заключаются в следующем:

- Предложить новый алгоритм совместной оптимизации адаптивного корреляционного фильтра подавления искажений (ARCF-ICO), повышающий точность и стабильность планирования миссий БПЛА.
- Интегрируйте методы многоцелевой оптимизации, обеспечивая эффективное интеллектуальное принятие решений для распределения задач БПЛА и планирования маршрута в сложных средах. •

Представление экспериментальных результатов, которые показывают, что алгоритм ARCF-ICO превосходит существующие методы с точки зрения показателей AUC и точности на наборах данных UAV123 со скоростью 10 кадров в секунду и OTB-100.

2. Сопутствующие

работы 2.1. Одноцелевая оптимизация планирования траектории беспилотных летательных аппаратов Планирование траектории беспилотных летательных аппаратов (БПЛА) по сути является задачей оптимизации, имеющей практические последствия. Ли и Дуань [12] включили стоимость угрозы и стоимость топлива в задачу взвешенной оптимизации и применили улучшенный универсальный алгоритм гравитационного поиска для повышения сходимости глобального поиска, тем самым улучшив качество оптимальных решений для траекторий БПЛА. Цюй и др. [13] объединили упрощенный оптимизатор серого волка с расширенным поиском симбиотических организмов, чтобы предложить новый гибридный алгоритм для получения возможных и эффективных маршрутов. Дасдемир и др. [14] разработа

Электроника 2024, 13, 3071 3 из 17

основанный на предпочтениях одноцелевой эволюционный алгоритм для оптимизации как общего расстояния запланированных маршрутов, так и угроз радиолокационного обнаружения. Яо и др. [15] представили гибридный алгоритм , основанный на модели прогнозирующего управления и улучшенном оптимизаторе «серого волка», для планирования оптимальных траекторий сопровождения целей БПЛА в городских условиях. Папайоанну и др. [16] решили проблемы пассивного мониторинга нескольких движущихся целей в условиях препятствий с помощью БПЛА, разработав модель контроллера с прогнозирующим наведением в сочетании со стратегией совместной оценки и управления. Рен и др. [17] предложили подход многокритериального планирования пути (МОРР) с использованием генетического алгоритма сортировки без доминирования II (NSGA-II), оптимизированного как для расстояния, так и для безопасности, демонстрируя свою эффективность в городских условиях за счет использования пространственного подразделения на основе октодерева. и карты индексов безопасности

Однако текущие исследования по планированию траектории как для одного, так и для нескольких БПЛА часто фокусируются на одноцелевой оптимизации, рассматривая либо одну цель, либо объединяя несколько целей оптимизации в одну посредством линейного взвешивания. Такие подходы к оптимизации в значительной степени полагаются на субъективные весовые коэффициенты, устанавливаемые лицами, принимающими решения, которые напрямую влияют на результаты оптимизации, и могут упускать из виду траектории с выдающимися характеристиками в относительно небольших целях. В последние годы, несмотря на растущее внимание к проблемам планирования траектории на основе многокритериальной оптимизации, обычно рассматривающих только две-три оптимизированные цели, практические требования к оптимизации планирования траектории БПЛА выходят за рамки ограниченного числа целей. При решении этой проблемы создание модели планирования траектории, основанной на многомерной многокритериальной оптимизации, становится особенно важным для одновременной оптимизации различных аспектов производительности траекторий.

2.2. Многомерная многоцелевая оптимизация планирования траектории БПЛА

Многомерные задачи многокритериальной оптимизации широко распространены как в жизни, так и в инженерной практике, где несколько целей требуют одновременной оптимизации, часто с межкритериальными корреляциями, приводящими к конфликтным ситуациям. В таких случаях необходимо рассмотреть альтернативные схемы оптимизации, обеспечивающие получение эквивалентных решений. при отсутствии коррелированной информации из других схем.

Сторн и Прайс [18] предложили алгоритм дифференциальной эволюции (DE) — популяционный метод, аналогичный механизмам стационарной замены, для решения задач оптимизации с реальными параметрами. Новое потомство конкурирует только со своими соответствующими родителями, и если потомство демонстрирует лучшую приспособленность, оно заменяет его. С появлением новых биологических эвристик, таких как оптимизация роя частиц [19], алгоритм серого волка [20], алгоритм кита [21] и алгоритм поиска воробья [22], понимание того, как они применяются к различным типам задач объективной оптимизации становится решающим. В литературе оптимизировались расстояние траектории БПЛА и стоимость угрозы траектории с использованием генетических алгоритмов и сглаживались [23].

Разграничение алгоритмов многоцелевой оптимизации высокой размерности заключается в том, превышает ли количество оптимизируемых целей четыре [24]. С увеличением количества оптимизируемых целей количество недоминируемых решений, генерируемых в процессе решения алгоритмов многокритериальной оптимизации, экспоненциально увеличивается, что существенно влияет на производительность и эффективность алгоритма [25,26]. Кроме того, давление отбора, создаваемое алгоритмами многокритериальной оптимизации при решении многокритериальных многокритериальных задач, часто оказывается недостаточным для того, чтобы направить людей в популяции к идеальным точкам.

Стратегии улучшения этих двух показателей в основном делятся на три категории: (1) Усиление давления отбора алгоритмов путем изменения методов доминирования Парето для ускорения скорости конвергенции популяций. GrEA [27] использует метрики оценки на основе сетки для усиления давления выбора алгоритмов. NSGA-III [28] использует стратегию контрольной точки вместо стратегии расстояния скученности NSGA-II [29] для выбора отличных индивидуумов из недоминируемых решений, тем самым улучшая сходимость алгоритмов. 1by1EA [30] отбирает особей потомства одну за другой на основе индивидуальной конвергенции, когда происходит экологический отбор, а затем увеличивает разнообразие популяций с помощью нишевых методов. РПЭА [31] постоянно

Электроника 2024, 13, 3071 4 из 17

генерирует серию хорошо сходящихся и распределенных контрольных точек на основе текущей численности населения для управления эволюцией. (2) Разложение сложной многомерной задачи многокритериальной оптимизации на группу подзадач и совместная оптимизация этих подзадач. МОЕА [32] разлагает проблему на серию адаптивно декомпозированных подзадач одноцелевой оптимизации, а затем объединяет информацию из соседних задач. МаОЕА/Ds [33] использует набор равномерно распределенных самоуправляемых эталонных векторов в пространстве, чтобы разделить пространство решений на несколько небольших подпространств и оценить достоинства отдельных лиц в подпространствах. Йи и др. [34] предложили метод многокритериальной эволюционной оптимизации, основанный на объективной декомпозиции, разлагающей проблему на несколько подзадач и решающей каждую подзадачу параллельно, полностью используя информацию других подгрупп для улучшения давления отбора недоминируемые решения. (3) Стратегия, основанная на показателях оценки. Всесторонняя оценка превосходства и неполноценности особей с помощью показателей оценки, а затем отбор отличных особей для генетических операций. Однако вычислительная сложность таких стратегий обычно высока, и такие метрики оценки обычно используются для оценки качества результатов оптимизации алгоритмов [35].

В процессе совместного планирования траектории нескольких БПЛА необходимо учитывать не только отдельные атрибуты траектории, но и пространственную координацию между несколькими БПЛА. Чтобы избежать влияния объединения нескольких целей оптимизации в одну посредством взвешивания при планировании траектории, предлагается модель, основанная на многомерной многокритериальной оптимизации, для совместного планирования траектории для нескольких БПЛА. Эта модель оптимизирует стоимость расстояния траектории БПЛА, стоимость безопасности траектории, стоимость энергии траектории и пространственную координацию между несколькими БПЛА в качестве целей оптимизации. В отличие от существующих подходов, которые рассматривают траекторию одного БПЛА как отдельного человека в популяции и оптимизируют траектории нескольких БПЛА отдельно, в этой модели траектории нескольких БПЛА рассматриваются как единое целое в популяции, и оптимизация выполняется одновременно . на нескольких траекториях БПЛА. Кроме того, проводятся всесторонние оценки конвергенции и разнообразия особей в популяции, а стратегии спаривания алгоритма для задач планирования траектории улучшаются для повышения производительности конвергенции [35,36]. С помощью алгоритма получается набор оптимальных по Парето траекторий для нескольких БПЛА, которые могут использовать лица, принимающие решения. Лица, принимающие решения, могут выбрать наиболее подходящие траектории для своих атрибутов миссии из этого набора оптимал

3. Моделирование планирования траектории полета нескольких БПЛА 3.1.

Описание проблемы В контексте совместного планирования траектории нескольких беспилотных летательных аппаратов (БПЛА) группе БПЛА поручено перемещаться от нескольких отправных точек к ряду заданных целевых точек для выполнения сложных миссий. Сценарий миссии разворачивается на территории, защищенной различными системами защиты, где БПЛА должны ловко уклоняться от угроз в зонах радиолокационного покрытия противника и зонах зенитного огня, принимая во внимание ограничения производительности и требования взаимодействия каждого БПЛА. На основе этого сценария мы проводим имитационный анализ навигации группы БПЛА и траекторий выполнения миссии в трехмерном пространстве. Вычислительные предположения заключаются в следующем:

(1) Все БПЛА поддерживают постоянную скорость полета во время выполнения миссии. (2) Каждый участок траектории разделен на прямые траектории полета. (3) Каждый БПЛА обладает идентичными летно-техническими характеристиками.

В основе совместного планирования траектории нескольких БПЛА лежит разработка моделей стоимости траектории и совместных пространственных моделей. Стоимость траектории в первую очередь учитывает расстояние, угрозу и потребление энергии. Цель модели — минимизировать эти затраты при одновременном улучшении пространственной координации между БПЛА.

Предполагая, что имеется Nz целевых точек, каждая из которых требует задач разведки, удара и подтверждения, представленных как Smj , где j [1, Nz] обозначает m -й тип задачи j-й целевой точки , соответствующий разведке, удару и подтверждению (m = 1, 2, 3). Отсюда общее количество задач равно , $\frac{3}{n=1}$ $\frac{3}{m=1 \text{ Смн . У каждой задачи есть определенные временные окна [cmn , dmn],}$ а обозначенная потребность в боеприпасах zj для ударных задач в каждой целевой точке.

Электроника 2024, 13, 3071 5 из 17

Группа БПЛА состоит из разведывательных БПЛА Np , ударных БПЛА Nq и разведывательно-ударных БПЛА Npq , всего Nv = Np + Nq + Npq БПЛА, индексированных как u [1, Nv]. Каждый БПЛА и имеет вектор возможностей Capabilityu, соответствующий его типу задачи, где Capabilityu(m) представляет способность БПЛА и выполнять задачу типа m, принимая значения 1 или 0. Грузоподъемность каждого БПЛА и равна zu, и если БПЛА и не обладает ударной способностью, тогда zu = 0. Предполагается, что связь между расходом топлива f pu и скоростью полета Vu каждого БПЛА и равна f pu = си × Vu, где с представляет собой пропорциональность между расходом топлива и скоростью полета. , а Vu находится в диапазоне [ku, ju], обозначающем минимальную и максимальную скорости.

В городских условиях проблема отслеживания несколькими БПЛА нескольких наземных целей изображена на рисунке 1, где N БПЛА готовы выполнять M задач. Набор БПЛА обозначается как U = {U1, U2, ..., UN}, а целевое множество обозначается как H = {H1, H2, ..., HM}, причем типы задач обозначаются Mi = {1, 2} (Mi = 1 для разведки, Mi = 2 для удара).

Чтобы продемонстрировать неоднородность БПЛА и конкретные требования к производительности сценариев миссии, Zum используется для представления матрицы производительности БПЛА, где элементы матрицы представляют способность БПЛА выполнять определенную задачу. Например, если имеется три БПЛА и их матрица производительности Zum показана в таблице 1, Zum (1, 1) = 0,9 указывает , что возможности БПЛА 1 по разведывательным задачам равны 0,9. Если Н1 — разведывательная задача (М1 = 1) с минимальным требованием возможностей 0,6, то среди трех БПЛА U1, U2, U3 только U1 (0,9) может удовлетворить требованиям задачи Н1.

Таблица 1. Значение возможностей БПЛА.

Беспилотный летательный аппарат —	Значе	ние способности
весния отнам жетательным аттарат	Скаут	Отслеживать
U1	0,9	0,4
U2	0,3	0,9
U3	0,5	0,5

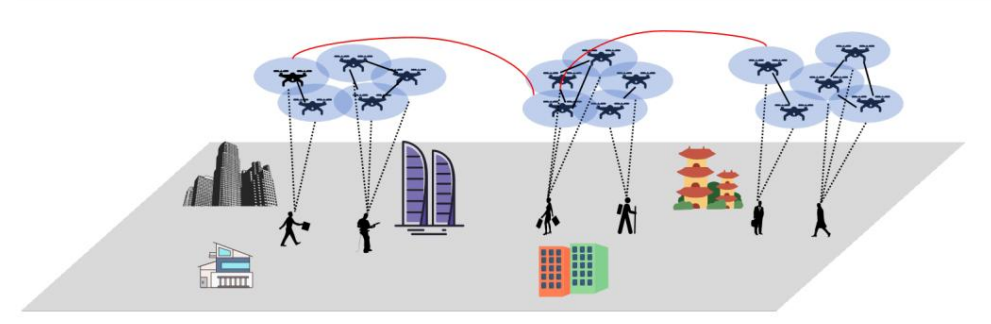


Рисунок 1. Распределение задач для нескольких БПЛА в городских сценариях.

3.2. Модель целей оптимизации проектирования

Наша цель — минимизировать общий расход топлива всего парка БПЛА при выполнении задач, при этом максимизируя эффективность выполнения задач. Поэтому мы определим следующие функции стоимости.

Общая стоимость потребления топлива: представляет собой общий расход топлива БПЛА с момента взлета, выполнения задачи и возвращения в аэропорт. Расход топлива каждого БПЛА зависит от дальности полета и скорости. Если мы определим расход топлива БПЛА и, выполняющего задачу k от точки Pi до Pj , как fu,k,i,j , то общий расход топлива Ff uel можно выразить как

$$_{\text{Ню}}$$
 3 $_{\text{Нп}}$ Нп $_{\text{Фф эль}}$ "=" $_{\text{W=1 K=1 S=0 j=1}}$ Сюй, $k,i,j\cdot \phi y,k,i,j$ (1)

Стоимость соответствия времени задачи: измеряет разницу между временем выполнения задач и серединой их временных окон. Цель – сделать задачу БПЛА

Электроника 2024, 13, 3071 6 из 17

время выполнения как можно ближе к середине временных окон задачи. Если мы обозначим пригодность БПЛА и во временном окне как Tadapt,u, то общая пригодность временного окна Ftime будет равна

Объединив две вышеупомянутые функции стоимости, мы формируем задачу двухцелевой оптимизации:

Минимизировать
$$F = \alpha \cdot Ff \text{ uel} + \beta \cdot Ftime$$
 (3)

где α и β — параметры, которые уравновешивают важность двух целей. В уравнении (3) целевые функции нормализованы, чтобы гарантировать, что каждая из них вносит равный вклад в общую оптимизацию. Процесс нормализации включает масштабирование каждой целевой функции до диапазона [0, 1] на основе их соответствующих максимальных и минимальных значений, наблюдаемых во время начальных запусков.

3.3. Ограничения

В задаче планирования траектории БПЛА мы должны учитывать следующие ограничения, включая погодные условия для учета операций на малой высоте.

Ограничение выполнения задачи: убедитесь, что каждая задача выполняется хотя бы одним БПЛА с соответствующая способность. Формула ограничения на выполнение задачи выглядит следующим образом:

Здесь Xu,k,i,j представляет собой двоичную переменную решения, указывающую, выполняет ли БПЛА и задачу k от точки Pi до Pj . Nu – общее количество БПЛА. k представляет тип задачи. я представляет индекс отправной точки. j представляет индекс конечной точки.

Ограничение соответствия возможностей: задачи, выполняемые БПЛА, должны соответствовать ограничениям их возможностей. Формула ограничения для сопоставления возможностей выглядит следующим образом:

где Capabilityu,k представляет собой способность БПЛА и выполнять задачу k.

Ограничения по погодным условиям: на операции на малых высотах влияют такие погодные условия, как скорость ветра, осадки и видимость. Эти факторы учитываются при оценке траектории для обеспечения безопасных и надежных операций. Формула ограничения для погодных условий выглядит следующим образом:

$$Wu,k,i,j$$
 $Wmax$ $u,$ $k,$ $i,$ j (6)

где Wu,k,i,j представляет воздействие погоды на БПЛА u при выполнении задачи k от точки Pi до Pj . Wmax – максимально допустимое погодное воздействие.

Ограничение времени полета: убедитесь, что время полета БПЛА от одной точки задания к другой не превышает заданное максимальное значение. Формула ограничения для времени полета выглядит следующим образом:

$$tu,k,i,j$$
 tu,k,i,j 1 Tmax $u, k, i, j > 1$, где (7)

tu,k,i,j представляет время, в которое БПЛА и достигает задания точку ј при выполнении задачи k, начиная с точки Pi . Tmax — максимально допустимое время полета между последовательными точками задачи.

3.4. Показатели

производительности Оценка производительности имеет решающее значение для подтверждения эффективности нашей модели оптимизации. Мы используем следующие показатели производительности:

Электроника 2024, 13, 3071 7 из 17

Охват задач: отношение успешно назначенных и выполненных задач к общему количеству задач. Покрытие задачи можно выразить как

Среднее потребление батареи: Среднее потребление батареи при формировании БПЛА. для выполнения всех задач выражается следующим образом:

Endurance: Endurance измеряет время работы БПЛА, гарантируя, что они могут выполнять задачи в пределах заряда батареи. Это выражается как

Выносливость =
$$\frac{{}^{\text{Hy}}}{{}^{\text{и=1}}}$$
 Время работы вас
Ню

Эффективность времени: разница между временем выполнения всех задач и временем выполнения. самое раннее время начала. Это может быть выражено как

С помощью этих показателей производительности мы можем всесторонне оценить эффективность алгоритма оптимизации, что позволяет осуществлять дальнейшую корректировку параметров модели или усовершенствование алгоритма.

4. Алгоритм адаптивной генетической многоцелевой оценки. Алгоритм

АRCF (адаптивный фильтр коррекции карты ответов) направлен на интеграцию искажений карты ответов, возникающих в процессе отслеживания, с процессом обучения фильтра, тем самым повышая производительность алгоритма (как показано на рисунке 2).). Чтобы подавить искажение карты ответа, первым шагом является идентификация искажения (т. е. определение момента возникновения искажения карты ответа). Он вводит евклидову норму для определения разницы между картами ответов предыдущего кадра М1 и текущего кадра М2.

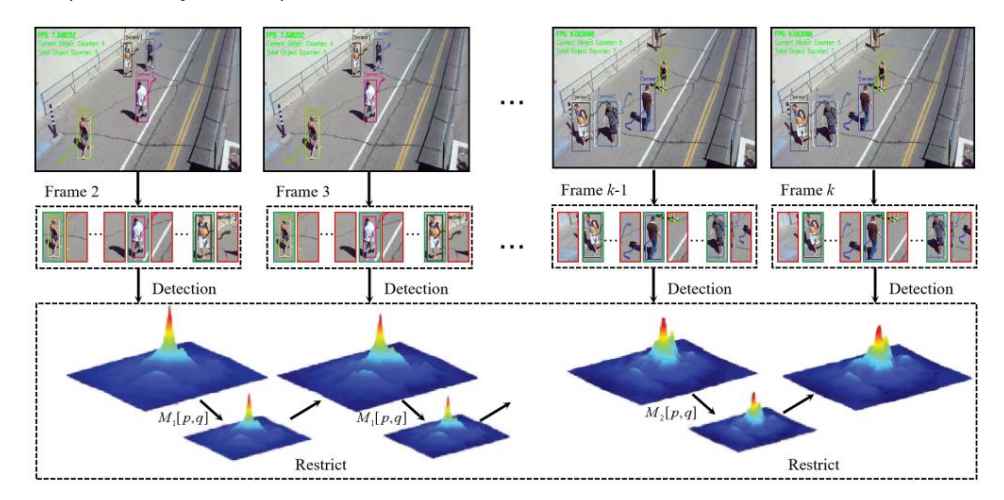


Рисунок 2. Блок-схема алгоритма ARCF.

Основная цель алгоритма ARCF — объединить искажение карты отклика, генерируемое во время отслеживания цели, с процессом обучения фильтра, повышая производительность отслеживания за счет динамического обновления фильтра. Искажение карты реакции в первую очередь вызвано быстрым движением цели или внешними факторами окружающей среды, такими как окклюзия и изменения освещенности. Алгоритм ARCF идентифицирует и подавляет эти искажения, анализируя изменения в картах ответов между последовательными кадрами, в частности, вычисляя евклидово расстояние между картами ответов двух кадров.

Электроника 2024, 13, 3071 8 из 17

В алгоритме карты откликов двух последовательных кадров F1 и F2 обозначаются как M1 и M2 соответственно и выравниваются с помощью операции сдвига ψ для вычисления их разностей. Формула расчета разницы:

$$M = \psi(M1, M2) = \frac{M1[p, q] \quad M2[p, q])2}{(12)}$$

Здесь р и q представляют собой пространственные координаты карты ответа.

На основании вышеупомянутой меры различия целевую функцию алгоритма ARCF можно описать как задачу оптимизации, направленную на минимизацию искажения карты ответа при одновременном максимизации точности отслеживания цели. Целевая функция состоит из члена искажения и члена регуляризации, выражаемого как

где h — фильтр, * обозначает операцию свертки, Md — карта входного ответа для d-го канала, Yd — желаемая карта выходного ответа, а λ , γ и ε — коэффициенты , регулирующие важность каждого термина.

Для повышения эффективности вычислений целевая функция дополнительно преобразуется в частотная область. В частотной области формула принимает вид

MUH
$$\lambda$$
 H 2 + γ F(H) X Y 2 + ε M (14)

где F представляет преобразование Фурье, обозначает поэлементное умножение, а X и Y — входное и желаемое выходное представления в частотной области соответственно.

Используя алгоритм ADMM (метод множителей чередующегося направления) для решения задачи оптимизации, фильтр можно эффективно обновлять. Процесс решения включает в себя две основные подзадачи: оптимизацию фильтра и обновление карты ответов.

Этот подход эффективно подавляет искажения карты отклика, вызванные быстрым движением или внешними изменениями окружающей среды, тем самым повышая стабильность и точность алгоритма отслеживания . Алгоритм ARCF можно резюмировать как Алгоритм 1.

```
Алгоритм 1: Процедура ARCF
```

```
Инициализируйте фильтр h0, скорость обучения \lambda, \gamma, \varepsilon
Установите максимальное количество
итераций Т для t = 1 на T do
  Захватить текущий кадр Ft
  Вычислите карту ответа Mt, используя ht-1,
  если t > 1, то
     Вычислить искажение M = p,q (Mt [p, q] Mt 1[p, q])
  Обновить фильтр в частотной области:
                            ^2 + y F(H) Xt Yt
  Ht = arg minH \lambda H
  Обновить карту ответа Mt:
  Mt = Ht Ft
  Проверка сходимости:
  если F(Ht) F(Ht 1) < порог, то
     сломать
  конец, если
  Обновите ht , указав Ht в конце пространственной
Выведите лучшее глобальное решение Gbest = hT
```

Электроника 2024, 13, 3071 9 из 17

4.1. Алгоритм ARCF-ICO

Алгоритм ARCF-ICO объединяет значительные улучшения исходной стратегии ARCF, уделяя особое внимание как сходимости, так и разнообразию решений в многомерном пространстве оптимизации. Это особенно актуально в контексте планирования миссий БПЛА, где разнообразные оперативные условия и быстро меняющиеся требования к миссиям требуют надежного и адаптивного подхода к оптимизации.

На начальном этапе алгоритма ARCF-ICO приоритет отдается достижению высоких показателей конвергенции. Это обеспечивает быстрое выравнивание БПЛА по оптимальным траекториям или наборам решений, эффективно удовлетворяя неотложные оперативные потребности, такие как наблюдение или обнаружение угроз. По мере развития алгоритма акцент смещается в сторону сохранения разнообразия решений. Это имеет решающее значение в операциях БПЛА для изучения ряда потенциальных траекторий полета или тактических стратегий, тем самым избегая локальных оптимумов и повышая надежность результатов миссии. Алгоритм ARCF-ICO предназначен для реализации различными категориями БПЛА, включая самолеты, винтокрылые и гибридные БПЛА. Эти БПЛА могут использоваться как в коммерческих, так и в военных целях, в зависимости от их возможностей и требований миссии.

Индикатор комплексной оценки конвергенции и разнообразия (CAD) [37] — это недавно предложенный показатель, предназначенный для оценки как конвергенции, так и разнообразия решений в рамках нашей структуры ARCF-ICO. Этот новый показатель определяется следующим образом:

CAD(ui, U) = 1 + rand(0,8, 1) × M ×
$$\frac{\tau}{t_{MAKC}}$$
 × D(ui, U) × (1 C(ui, U)) (15)

где D(ui , U) представляет собой меру разнообразия, а C(ui , U) обозначает меру конвергенции для БПЛА ui в парке U. Параметр M обозначает количество целей, а θ определяет баланс между конвергенцией и разнообразием, поскольку Алгоритм выполняет итерации от t до tmax — максимального количества поколений.

Разнообразие D(ui, U) вычисляется как

SDE(ui, U) = min
$$ui \quad U,j' = i$$
 $sde(f \quad \kappa^{\prime}(ui, U), fk (\stackrel{\iota}{u}j, U))2$ (16)

где sde(f

 $_{\kappa}^{\mathbf{I}}$ (ui , U), f k $_{\kappa}^{\mathbf{I}}$ (ui , U)) определяется как:

$$sde(f_{K}^{I}(ui,U),fk(uj,U)) = \begin{cases} wk(uj,U)-wkk(uj,U)+fk(uj,U)>f$$

Сходимость C(ui, U) БПЛА по отношению к парку определяется количественно как

$$C(ui, U) = \frac{Auck(ui, U)}{M}$$
 (18)

где Disc(ui , U) представляет собой евклидово расстояние от БПЛА ui до идеального решения в нормализованном объективном пространстве.

Интегрируя эти стратегии, ARCF-ICO динамически адаптирует планирование миссий БПЛА и тактику реагирования в соответствии с меняющимися условиями окружающей среды и оперативными требованиями, оптимизируя как эффективность, так и результативность развернутых БПЛА.

4.2. Многоцелевое планирование ARCF-ICO

В модели многоцелевой оптимизации ARCF-ICO мы разработали эффективную стратегию сопряжения, адаптированную для сложных задач, с которыми сталкиваются БПЛА. Эта стратегия сочетает в себе благоприятные черты особей внутри популяции и вводит стохастические элементы для увеличения разнообразия популяции, тем самым повышая адаптивность и гибкость алгоритма. Алгоритм ARCF-ICO применим к миссиям, выполняемым в условиях прямой видимости (VLOS) [38], за пределами прямой видимости (BVLOS)

Электроника 2024, 13, 3071 10 из 17

автономные операции. Гибкость алгоритма позволяет ему адаптироваться к различным эксплуатационным ограничениям и требованиям.

В контексте планирования траектории БПЛА точки траектории, генерируемые каждым БПЛА для каждого участка траектории представлены следующей матрицей:

$$X = [X1, X2, ..., XM]$$
 T (19)

где Xi — матрица размера N \times 3L , представляющая i-го человека в популяции, N — количество БПЛА, а L — количество сегментов траектории.

В процессе спаривания в родительской популяции два родителя Р1 и Р2 выбираются на основе их комплексного показателя оценки САD. Формула расчета САD выглядит следующим образом:

$$CAD(P) = \frac{1}{H} \frac{H}{g=1} + rand(0,8,1) \times M \times \frac{\tau}{t_{MAKC}} \times D(Pi,P) \times (1 \quad C(Pi,P)) (20)$$

где D(Pi , P) и C(Pi , P) представляют показатели разнообразия и конвергенции отдельных Pi , М — количество целевыхфункций, θ — параметр баланса, t — текущее поколение, tmax — максимальное поколение.

Операция спаривания заключается в следующем: информация о траекториях двух родителей объединяется для создания новых траекторий потомства:

Pnew,
$$j = \alpha P1, j + (1 \quad \alpha) P2, j, r ge$$
 (21)

Р1, ј и Р2, ј обозначают координаты положения родителей Р1 и Р2 в ј-й точке траектории соответственно, а α — случайное число от 0 до 1 используется для контроля соотношения вкладов двух родителей в вновь созданное потомство. Индивидуальная операция сопряжения показана на рисунке 3.

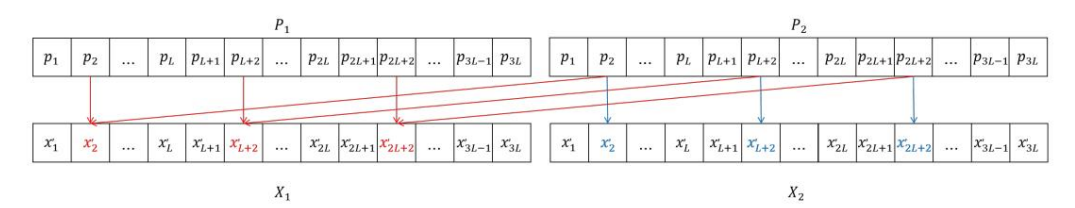


Рисунок 3. Индивидуальная операция спаривания.

Такая конструкция гарантирует, что БПЛА могут корректировать свои стратегии полета в соответствии с фактическими требованиями задачи и изменениями окружающей среды при выполнении таких задач, как наблюдение, разведка или другие сложные задачи. Кроме того, подход многокритериальной оптимизации позволяет БПЛА оптимизировать другие важные показатели задач, такие как время полета и топливная экономичность, обеспечивая при этом эффективность задач, тем самым гарантируя комплексное и высокопроизводительное выполнение миссии.

5. Моделирование и анализ результатов 5.1. Наборы данных

Чтобы всесторонне оценить производительность алгоритма, мы используем два широко используемых набора данных: набор данных UAV123@10fps [39] и набор данных ОТВ-100 [40]. Ниже приведены подробные сведения о каждом наборе данных:

Набор данных UAV123 со скоростью 10 кадров в секунду. Этот набор данных включает 123 сценария отслеживания, снятые с использованием БПЛА в воздушной среде. Он включает в себя смесь реальных и синтетических сцен, созданных с помощью симуляторов. Набор данных охватывает 12 различных условий отслеживания, предоставляя разнообразный набор сценариев для оценки.

Набор данных ОТВ-100: Набор данных ОТВ-100 состоит из 100 реальных сценариев отслеживания, собранных вручную. Он включает в себя 11 различных сред отслеживания задач, предлагая широкий спектр сценариев для оценки производительности алгоритма.

Электроника 2024, 13, 3071 11 из 17

Использование этих наборов данных позволяет провести комплексную оценку алгоритма. в различных условиях отслеживания и условий окружающей среды. Его конкретная информация показано в Таблице 2 ниже.

Таблица 2. БПЛА UAV123 со скоростью	ວ 10 кадров в секунду ເ	и подробности набора данных ОТВ-100.
-------------------------------------	-------------------------	--------------------------------------

	БПЛА123@10 кадров в секунду		OT5-100	
Серийный номер	Название соревнования	Число	Название соревнования	Число
1	Изменение масштаба (SV)	109	Изменение масштаба (SV)	65
2	Изменение соотношения сторон (ARC)	68	Окклюзия (ОКС)	49
3	Фоновый беспорядок (ВС)	21	Вариант освещения (IV)	38
4	Движение камеры (CM)	70	Размытие в движении (МБ)	31
5	Быстрое движение (FM)	28	Деформация (DEF)	43
6	Полная окклюзия (FOC)	33	Быстрое движение (FM)	43
7	Вариант освещения (IV)	31	Внеплоскостное вращение (OPR)	64
8	Низкое разрешение (LR)	48	Вращение в плоскости (IPR)	52
9	Вне поля зрения (OV)	30	Фоновые помехи (ВС)	33
10	Частичная окклюзия (РОС)	73	Вне поля зрения (OV)	14
11	Аналогичный объект (SOB)	39	Низкое разрешение (LR)	10
12	Изменение точки зрения (VC)	60	-	-

5.2. Экспериментальная установка параметров

При постановке экспериментов используемая аппаратная конфигурация включает в себя процессор Intel Core i9-13700 и 32 ГБ памяти. Конфигурация программного обеспечения на базе платформы MATLAB R2019а. Что касается настроек параметров, то регуляризация Параметр установлен на 1,2, следуя настройкам исходного алгоритма ARCF. После экспериментальных корректировок, другой параметр регуляризации установлен на 0,001. Обучение ставка для целевого шаблона, обозначенная η , установлена на 0,0192, снова следуя рекомендациям из исходного алгоритма ARCF.

5.3. Индексы оценки корреляции

Для алгоритма многоцелевой оптимизации ARCF-ICO при планировании миссий БПЛА: мы используем три улучшенных показателя оценки для комплексной оценки производительности алгоритма: площадь под кривой (AUC), ошибка местоположения центра (CLE) и точность. Эти метрики эффективно оценивают производительность и точность БПЛА во время выполнения миссии.

Площадь под кривой (AUC): этот показатель оценивает общий уровень успеха БПЛА.

при выполнении множества полетных задач, особенно при поддержании целевых целей в сложных условиях . AUC рассчитывается как

где Bpred представляет прямоугольник прогнозируемого местоположения цели с помощью алгоритма БПЛА, и Btrue представляет прямоугольник истинного целевого местоположения.

Ошибка местоположения центра (CLE): этот показатель измеряет среднее евклидово расстояние. между прогнозируемым центральным положением БПЛА и истинным центральным положением цели. Высокая точность CLE необходима для обеспечения точного выполнения таких задач, как мониторинг. и разведка. CLE рассчитывается как

CLE =
$$(xpred xtrue)$$
 ² + $(ynpeg - Bepho)^2$, (23)

где (xpred, ypred) — прогнозируемое центральное положение БПЛА, а (xtrue, ytrue) — истинное центральное положение мишени.

Электроника 2024, 13, 3071 12 из 17

Точность: Точность измеряет точность локализации БПЛА в пределах определенного порога t, то есть долю кадров, в которых ошибка прогнозирования центрального положения цели находится в пределах порога. Это критический показатель для оценки эффективности отслеживания БПЛА в реальном времени. Точность рассчитывается как

Точность =
$$\frac{\text{Nt} \quad \text{порог}}{\text{Bcero}}$$
, (24)

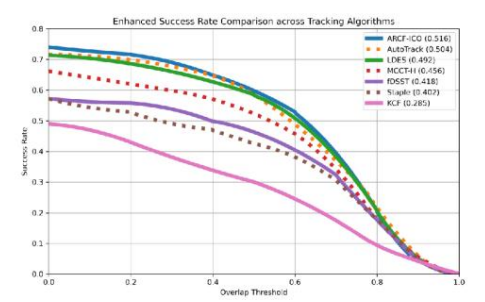
где Nt threshold — это количество кадров, где CLE меньше или равно порогу t, a Ntotal — общее количество кадров. Порог t обычно устанавливается равным 20 пикселям.

С помощью этих трех показателей оценки можно всесторонне оценить эффективность БПЛА при выполнении задач в сложных условиях, таких как точность и стабильность планирования траектории. Эти показатели не только помогают оптимизировать стратегии эксплуатации БПЛА, но также обеспечивают важную обратную связь для дальнейшего улучшения алгоритмов и корректировки параметров полета.

5.4. Сравнительное

исследование В этой главе алгоритм ARCF-ICO оценивается с использованием двух наборов данных: UAV123 при 10 кадрах в секунду и OTB-100. Чтобы лучше понять производительность предлагаемого алгоритма ARCF-ICO, его сравним с восемью популярными алгоритмами в области отслеживания видеообъектов, включая КСF [41], LDES [42], MCCT-H [43], Staple [44].], fDSST [45] и AutoTrack [46]. Алгоритмы LDES и AutoTrack были опубликованы в AAAI2019 и CVPR2020 соответственно с упором на наборы данных БПЛА, а остальные пять алгоритмов представляют собой классические алгоритмы отслеживания на основе корреляционных фильтров последних лет.

На рисунке 4 показано всестороннее сравнение алгоритма ARCF-ICO с другими шестью основными алгоритмами в наборе данных UAV123 при 10 кадрах в секунду с точки зрения AUC и точности. Из рисунка видно, что предлагаемый алгоритм ARCF-ICO достигает наивысшей производительности с комплексным AUC 0,516 и комплексной точностью 0,712, превосходя остальные шесть алгоритмов. Алгоритмы AutoTrack и LDES занимают второе и третье места с комплексными значениями AUC 0,504 и 0,492 и комплексными значениями точности 0,682 и 0,655 соответственно. По сравнению с алгоритмом ARCF- ICO алгоритмы AutoTrack и ARCF имеют меньшую AUC на 1,2% и 2,4%, а также меньшую точность на 3,0% и 5,7% соответственно. Остальные пять алгоритмов, MCCT-H, Staple, fDSST и KCF, имеют более низкие значения AUC в диапазоне от 0,285 до 0,456 и более низкие значения точности в диапазоне от 0,384 до 0,581 по сравнению с алгоритмом ARCF-ICO.



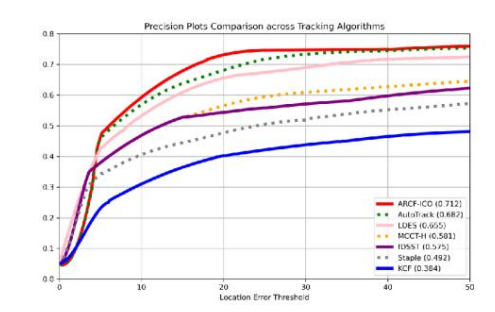


Рисунок 4. Сравнение AUC и Precision в наборе данных UAV123 при 10 кадрах в секунду.

В таблице 3 представлено всестороннее сравнение точности различных алгоритмов в 12 сложных условиях набора данных UAV123 со скоростью 10 кадров в секунду. Из таблицы 3 видно, что алгоритм ARCF-ICO неизменно занимает первое место по точности во всех 12 сложных средах. Алгоритмы AutoTrack и LDES занимают второе место в десяти и двух сложных условиях соответственно. Таким образом, результаты сравнения из таблицы 3 демонстрируют, что алгоритм ARCF-ICO хорошо адаптируется к наиболее сложным задачам отслеживания и демонстрирует надежную производительность отслеживания.

Электроника 2024, 13, 3071 13 из 17

Таблица 3. Таблица сравнения точности UAV123 со скоростью 10 кадров в секунду для различных сценариев задач набора данных.

	Наш алгоритм		Ko	онтрастный а.	лгоритм		
Название соревнования	ARCF-ICO AutoTrac	Гrack LDES MCCT-H fDSST Скоба КСF					
СВ	0,724	0,672	0,642	0,545	0,521	0,496	0,372
APK	0,692	0,686	0,631	0,591	0,552	0,503	0,336
Jip named spa	0,702	0,621	0,603	0,503	0,521	0,467	0,415
СМ	0,684	0,691	0,633	0,512	0,488	0,472	0,375
ФМ	0,696	0,664	0,628	0,498	0,508	0,475	0,311
ФОК	0,693	0,677	0,689	0,582	0,571	0,436	0,388
IV	0,669	0,673	0,642	0,603	0,598	0,479	0,406
ЛР	0,688	0,645	0,667	0,654	0,635	0,527	0,416
ОВ	0,741	0,714	0,656	0,672	0,626	0,426	0,403
POC	0,744	0,725	0,702	0,625	0,645	0,539	0,369
СОБ	0,752	0,714	0,693	0,564	0,586	0,545	0,388
ВК	0,763	0,702	0,671	0,625	0,645	0,535	0,426

В таблице 4 показаны сравнительные результаты комплексного измерения точности различных алгоритмов. В 11 сложных средах в наборе данных ОТВ-100. Из таблицы 4 видно, что что алгоритм ARCF-ICO занимает первое место по точности во всех 11 средах, при этом Алгоритмы AutoTrack и LDES занимают второе место в пяти и трех средах соответственно. Кроме того, алгоритмы MCCT-H и Staple занимают второе место в рейтинге Fast Motion. и проблемы внеплоскостного вращения соответственно. Следовательно, результат сравнения Таблица 4 дополнительно подтверждает эффективность алгоритма ARCF-ICO.

Таблица 4. Таблица сравнения точности ОТВ-100 для различных сценариев обработки набора данных.

	Наш алгоритм		K	онтрастный а.	лгоритм		
Название соревнования	ARCF-ICO AutoTra	ck LDES MCCT-H	fDSST Скоба k	CF			
ФМ	0,517	0,485	0,497	0,505	0,422	0,388	0,26
До нашей при	0,483	0,476	0,496	0,476	0,412	0,433	0,31
МБ	0,514	0,502	0,467	0,443	0,402	0,367	0,27
ДЕФ	0,482	0,477	0,472	0,425	0,378	0,336	0,26
IV	0,541	0,538	0,533	0,501	0,445	0,388	0,32
	0,477	0,432	0,375	0,468	0,305	0,325	0,21
ЛР	0,533	0,532	0,596	0,492	0,462	0,439	0,30
ОКК	0,488	0,482	0,457	0,426	0,430	0,422	0,23
ОПР	0,563	0,552	0,512	0,423	0,458	0,563	0,32
ОВ	0,534	0,529	0,505	0,412	0,433	0,368	0,33
СВ	0,545	0,537	0,546	0,447	0,448	0,392	0,26

5.5. Визуализация моделирования

На рисунке 5 показаны результаты распределения задач, полученные с помощью алгоритма ARCF-ICO. демонстрация того, что эта проблема динамического распределения по сути является нелинейным программированием задача с оптимальными решениями. На левой панели рисунка 5 показаны решения Парето . для распределения задач БПЛА и планирования траектории, полученного на основе набора данных UAV123 при 10 кадрах в секунду, а на правой панели представлены решения из набора данных ОТВ-100. Фронт Парето в обе панели указывают на компромиссы между различными целями, демонстрируя эффективность и эффективность алгоритма ARCF-ICO при многокритериальной оптимизации. В Кроме того, мы также показываем результаты постановки задачи моделирования МАТLАВ для 10 БПЛА в

Электроника 2024, 13, 3071 14 из 17

Рисунок 6. Как видно из рисунка 6г, 10 БПЛА собираются найти соответствующий целевой объект.

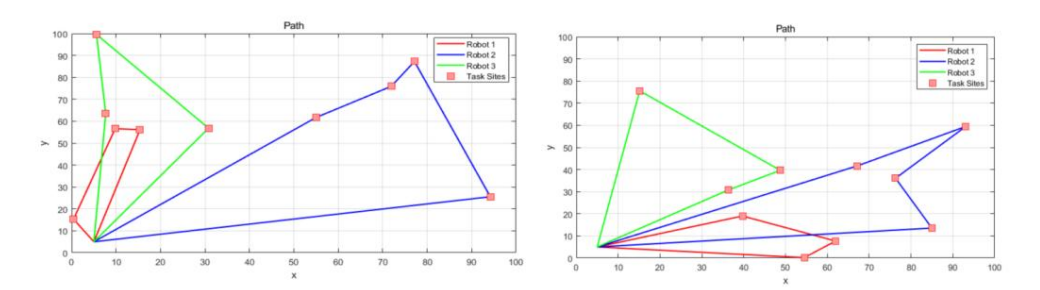


Рисунок 5. Постановка задачи решения алгоритма ARCF-ICO. Решения Парето для распределения задач БПЛА и планирования траектории, полученные на основе набора данных UAV123 при 10 кадрах в секунду (слева) и набора данных OTB-100 (справа).

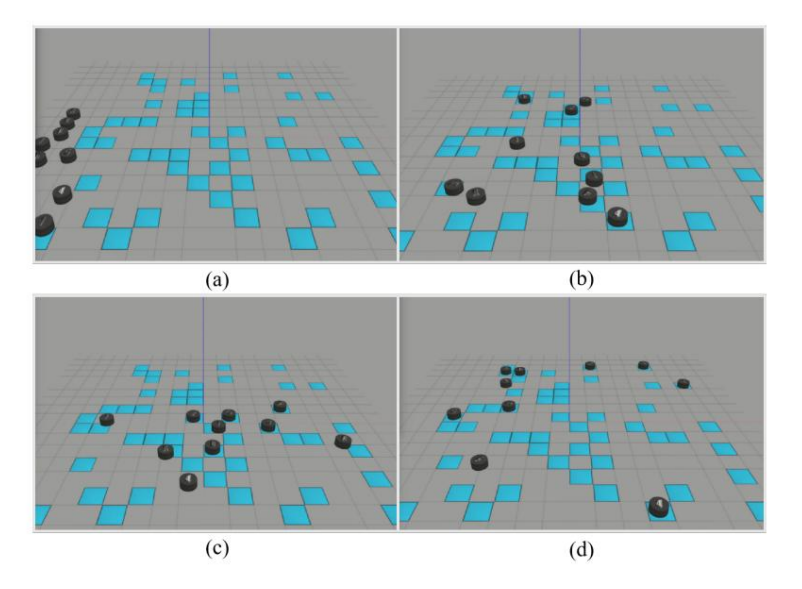


Рисунок 6. Демонстрация назначения задачи моделирования MATLAB для 10 БПЛА. a) исходное состояние БПЛА ; (b,c) Промежуточный статус задания БПЛА; (d) Окончательный статус назначения БПЛА.

Кроме того, проводятся симуляционные испытания на сценах из набора данных ОТБ-100. Карта среды разделена на пять подкарт, но использование одного только алгоритма ARCF-ICO для планирования траектории БПЛА не может обеспечить максимальную скорость обучения модели. Это может быть связано с непрерывным процессом обучения исходного алгоритма ARCF в окружающей среде методом проб и ошибок, который требует больше времени. На рисунке 7 показано планирование траектории задач БПЛА на кадрированных картах окружающей среды набора данных ОТВ-100 с использованием алгоритма ARCF-ICO.

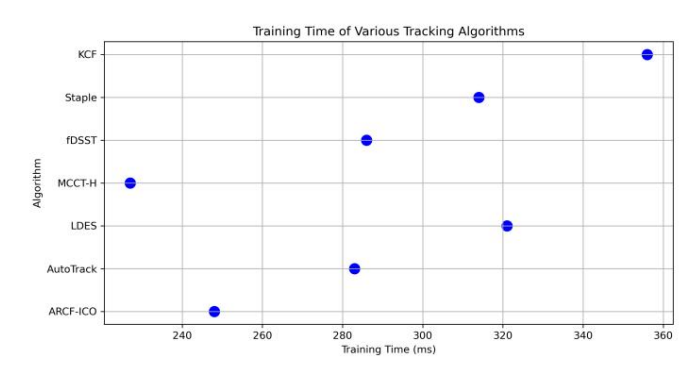


Рисунок 7. Алгоритм ARCF-ICO продемонстрирован на карте среды посевов набора данных ОТВ-100 для планирования миссий БПЛА. Синяя точка представляет время обучения для каждого алгоритма.

Электроника 2024, 13, 3071 15 из 17

6. Выводы и обсуждение.

В этом исследовании представлен алгоритм ARCF-ICO для решения многоцелевой оптимизации при планировании миссий БПЛА, повышающий производительность отслеживания БПЛА в сложных средах. Сосредоточив внимание как на конвергенции, так и на разнообразии, алгоритм ARCF-ICO адаптируется к быстрым изменениям окружающей среды и динамичным требованиям миссий посредством обновлений фильтров в реальном времени. Проверка с использованием наборов данных UAV123@10fps и OTB-100 демонстрирует, что алгоритм ARCF-ICO превосходит существующие методы по метрикам AUC и Precision, что указывает на превосходную точность и надежность отслеживания. Однако выявлены два основных ограничения: неоптимальная производительность алгоритма при работе с чрезвычайно высокоскоростными динамическими целями и необходимость повышения эффективности вычислений. Будущие исследования будут направлены на изучение более эффективных алгоритмических структур для снижения потребления вычислительных ресурсов и оптимизации реакции на высокоскоростные движущиеся цели. В целом, алгоритм ARCF-ICO предлагает значительный технологический прогресс для многоцелевой оптимизации БПЛА, обеспечивая значительную теоретическую и практическую ценность как для гражданских, так и для военных приложений.

Вклад автора: концептуализация, методология, написание — подготовка оригинального проекта, визуализация и контроль: ZZ (Zijie Zheng). Валидация, формальный анализ и расследование: ZZ (Чжицзюнь Чжан). Программное обеспечение, проверка, написание — обзор и редактирование: ZL Ресурсы, обработка данных, написание — обзор и редактирование: QY Проверка, формальный анализ и методология: YJ Все авторы прочитали и согласились с опубликованной версией рукописи.

Финансирование: Данное исследование не получило внешнего финансирования.

Заявление о доступности данных: Адрес загрузки набора данных UAV123: https://cemse.kaust.edu.sa/ivul/ БПЛА 123 (по состоянию на 10 марта 2024 г.). Адрес загрузки набора данных ОТВ: http://cvlab.hanyang.ac. kr/tracker_benchmark/ datasets.html (по состоянию на 10 марта 2024 г.). Код, подтверждающий результаты этого исследования, не является общедоступным, но его можно получить у соответствующего автора по обоснованному запросу.

Конфликты интересов: Авторы заявляют об отсутствии конфликта интересов.

Рекомендации

- 1. Чен Дж.; Чжан, Ю.; Ву, Л.; Вы т.; Нин, Х. Алгоритм на основе адаптивной кластеризации для автоматического планирования пути гетерогенных БПЛА. IEEE Транс. Интел. Трансп. Сист. 2021, 23, 16842–16853. [Перекрестная ссылка]
- 2. Чен Дж.; Линг, Ф.; Чжан, Ю.; Вы т.; Лю, Ю.; Ду, Х. Планирование маршрутов покрытия гетерогенных беспилотных летательных аппаратов на основе система колоний муравьев. Рой Эвол. Вычислить. 2022, 69, 101005. [CrossRef]
- 3. Чен Дж.; Ли, Т.; Чжан, Ю.; Вы т.; Лу, Ю.; Тивари, П.; Кумар, Н. Обучение с подкреплением на основе глобального и локального внимания для совместного управления поведением нескольких БПЛА. IEEE Транс. Вех. Технол. 2024, 73, 4194–4206. [Перекрестная ссылка]
- 4. Нин, Х.; Тиан, В.; Он, Ф.; Бай, Х.; Сан, Л.; Ли, В. Модель нейрона с функцией покрытия «Гиперколбаса» и алгоритм обучения для классификация изображений. Распознавание образов. 2023, 136, 109216. [CrossRef]
- 5. Яо, Ю.; Лю, 3. Новая концепция развития способствует ускорению формирования нового качества производительности: теоретическая логика и пути реализации. Дж. Сианьский университет. Финанс. Экон. 2024, 37, 3–14.
- 6. Ма, Г.; Чен, Х. От финансовой мощи к финансовой мощи: международные сравнения и подход Китая. Дж. Сианьский университет. Финанс. Экон. 2024, 37, 46–59.
- 7. Ван Дж.; Ли, Ф.; Любой.; Чжан, Х.; Сан, Х. На пути к надежному слиянию LiDAR-камеры в пространстве BEV посредством взаимного деформируемого внимания и временная агрегация. IEEE Транс. Сист. цепей. Видео Технол. 2024, 34, 5753–5764. [Перекрестная ссылка]
- 8. Чен, СС; Вэй, СС; Чен, С.Х.; Вс, ЛМ; Лин, Его Святейшество ИИ спрогнозировал модель компетенций для максимизации производительности труда. Киберн. Сист. 2022. 53. 298–317. [Перекрестная ссылка]
- 9. Кауфманн Э.; Бауэрсфельд, Л.; Локерсио, А.; Мюллер, М.; Колтун В.; Скарамуцца, Д. Гонки дронов чемпионского уровня с использованием глубокого обучения с подкреплением. Природа 2023, 620, 982–987. [Перекрестная ссылка]
- 10. Утамакумаран, А. Обнаружение закономерностей на Уоддингтонском ландшафте глиобластомы с помощью генеративно-состязательных сетей. Киберн. Сист. 2022, 53, 223–237. [Перекрестная ссылка]
- 11. Нин, Э.; Ван, К.; Чжан, Х.; Нин, Х.; Тивари, П. Повторная идентификация окклюдированного человека с помощью глубокого обучения: обзор и перспективы. Экспертная система. Прил. 2024, 239, 122419. [CrossRef]
- 12. Ли, П.; Дуан, Х. Планирование пути беспилотного летательного аппарата на основе улучшенного алгоритма гравитационного поиска. наук. Китайские технологии. наук. 2012, 55, 2712–2719. [Перекрестная ссылка]
- 13. Цюй, К.; Гай, В.; Чжан, Дж.; Чжун, М. Новый алгоритм гибридного оптимизатора «серого волка» для планирования траектории беспилотных летательных аппаратов (БПЛА). Информационная система. 2020, 194, 105530. [CrossRef]

Электроника 2024, 13, 3071 16 из 17

- 14. Дасдемир Э.; Кёксалан, М.; Озтюрк, Д.Т. Гибкий многокритериальный эволюционный алгоритм на основе контрольных точек: приложение к проблеме планирования маршрута БПЛА. Вычислить. Onep. Pes. 2020, 114, 104811. [CrossRef]
- 15. Яо, П.; Ван, Х.; Джи, Х. Мульти-БПЛА отслеживают цель в городской среде с помощью прогнозирующего управления моделью и улучшенного оптимизатора Grey Wolf. Аэросп. наук. Технол. 2016, 55, 131–143. [Перекрестная ссылка]
- 16. Папайоанну, С.; Лаудиас, К.; Колиос, П.; Теохаридес, Т.; Панайоту, СG. Совместная оценка и контроль для многоцелевого пассивного мониторинга с использованием автономного агента БПЛА. В материалах 31-й Средиземноморской конференции по контролю и автоматизации (МЕD) 2023 г., Лимассол, Кипр, 26-29 июня 2023 г.; стр. 176-181.
- 17. Рен, К.; Яо, Ю.; Ян, Г.; Чжоу, Х. Многоцелевое планирование траектории БПЛА в городской среде на основе CDNSGA-II. В материалах Международной конференции IEEE по сервисориентированной системной инженерии (SOSE) 2019 г., Сан-Франциско, Калифорния, США, 4–9 апреля 2019 г.; стр. 350–3505.
- 18. Прайс К.В. Введение в дифференциальную эволюцию. В «Новых идеях оптимизации»; МакГроу: Беркшир, Великобритания, 1999 г.; стр. 79–108.
- 19. Гад А.Г. Алгоритм оптимизации роя частиц и его приложения: систематический обзор. Арх. Вычислить. Методы англ. 2022, 29, 2531–2561. [Перекрестная ссылка]
- 20. Ю, Х.; Цзян, Н.; Ван, Х.; Ли, М. Гибридный алгоритм, основанный на оптимизаторе «серого волка» и дифференциальной эволюции для планирования траектории БПЛА. Экспертная система. Прил. 2023. 215. 119327. [CrossRef]
- 21. Лю, Дж.; Вэй, Х.; Хуанг, Х. Улучшенный алгоритм оптимизации серого волка и его применение при планировании пути. Доступ IEEE 2021, 9, 121944–121956. [Перекрестная ссылка]
- 22. Сюэ, Дж.; Шен, Б.; Пан, А. Алгоритм усиленного поиска воробья для решения задач оптимизации. Дж. Эмбиент. Интел. Гуманиз. Вычислить. 2023, 14, 9173–9189. [Перекрестная ссылка]
- 23. Сахингоз, О.К. Планирование летного пути для системы из нескольких БПЛА с использованием генетических алгоритмов и кривых Безье. В материалах Международной конференции по беспилотным авиационным системам (ICUAS) 2013 г., Атланта, Джорджия, США, 28-31 мая 2013 г.; стр. 41-48.
- 24. Кюи, З.; Чжан, Дж.; Ву, Д.; Цай, Х.; Ван, Х.; Чжан, В.; Чен, Дж. Гибридный многокритериальный алгоритм оптимизации роя частиц для проблемы добычи зеленого угля. Инф. наук. 2020, 518, 256–271. [Перекрестная ссылка]
- 25. Чжан Дж.; Сюэ, Ф.; Цай, Х.; Кюи, З.; Чанг, Ю.; Чжан, В.; Ли, В. Защита конфиденциальности на основе алгоритма многокритериальной оптимизации. Согласен. Вычислить. Практика. Эксп. 2019, 31, e5342. [Перекрестная ссылка]
- 26. Гонг, Д.; Сан, Дж.; Мяо, 3. Генетический алгоритм на основе множеств для интервальных задач многокритериальной оптимизации. IEEE Транс. Эвол. Вычислить. 2016, 22, 47–60. [Перекрестная ссылка]
- 27. Ян, С.; Ли, М.; Лю, Х.; Чжэн, Дж. Эволюционный алгоритм на основе сетки для многокритериальной оптимизации. IEEE Транс. Эвол. Вычислить. 2013, 17, 721–736. [Перекрестная ссылка]
- 28. Кюи, З.; Чанг, Ю.; Чжан, Дж.; Цай, Х.; Чжан, В. Улучшенный NSGA-III с оператором выбора и исключения. Рой Эвол. Вычислить 2019, 49, 23–33. [Перекрестная ссылка]
- 29. Хобби, Дж. Г.; Гандоми, АХ; Рахими, И. Сравнение методов обработки ограничений в NSGA-II. Арх. Вычислить. Методы англ 2021, 28, 3475–3490. [Перекрестная ссылка]
- 30. Лю, Ю.; Гонг, Д.; Сан, Дж.; Джин, Ю. Многокритериальный эволюционный алгоритм, использующий стратегию последовательного выбора. IEEE Транс. Киберн. 2017, 47, 2689–2702. [Перекрестная ссылка] [ПабМед]
- 31. Гао, Х.; Чжан, Х.; Сонг, С. Эволюционный алгоритм, основанный на свойствах регулярности, для многокритериальной оптимизации. Рой Эвол. Вычислить. 2023, 78, 101258. [CrossRef]
- 32. Бао, К.; Гао, Д.; Гу, В.; Сюй, Л.; Гудман, Э.Д. Новый адаптивный эволюционный алгоритм на основе декомпозиции для мульти-и многокритериальная оптимизация. Экспертная система. Прил. 2023, 213, 119080. [CrossRef]
- 33. Лю, С.; Лин, К.; Вонг, К.К.; Коэльо, САС; Ли, Дж.; Мин, З.; Чжан Дж. Самостоятельная стратегия опорных векторов для многоцелевых задач. оптимизация. IEEE Транс. Киберн. 2020, 52, 1164–1178. [Перекрестная ссылка]
- 34. Йи, Дж.; Чжан, В.; Бай, Дж.; Чжоу, В.; Яо, Л. Многофакторный эволюционный алгоритм, основанный на улучшенной динамической декомпозиции для задач многокритериальной оптимизации. IEEE Транс. Эвол. Вычислить. 2021, 26, 334–348. [Перекрестная ссылка]
- 35. Нонди, Дж.; Гогой, Т.К. Сравнение производительности многокритериальных эволюционных алгоритмов эксергетики и эксэргоэнвирономики оптимизация эталонной комбинированной теплоэнергетической системы. Энергия 2021, 233, 121135. [CrossRef]
- 36. Цай, Х.; Ху, З.; Чен, Дж. Алгоритм рекомендаций по многоцелевой оптимизации, основанный на интеллектуальном анализе знаний. Инф. наук. 2020, 537, 148-161. [Перекрестная ссылка]
- 37. Цай, Т.; Ван, Х. Общий метод анализа сходимости для алгоритма эволюционной многокритериальной оптимизации. Инф. наук. 2024, 663, 120267. [CrossRef]
- 38. Дэвис, Л.; Болам, Колорадо; Вагапов Ю.; Анучин А. Обзор технологий беспилотных авиационных систем, позволяющих осуществлять операции за пределами прямой видимости (BVLOS). В материалах X Международной конференции по электроприводным системам (ICEEPDS) 2018 г., Новочеркасск, Россия, 3–6 октября 2018 г.; стр. 1–6.
- 39. Мюллер, М.; Смит, Н.; Ганем, Б. Тест и симулятор слежения за БПЛА. В материалах Computer Vision ECCV 2016: 14-я Европейская конференция, Амстердам, Нидерланды, 11–14 октября 2016 г.; Слушания, часть I 14; Springer: Берлин/Гейдельберг, Германия, 2016 г.; стр. 445–461.
- 40. Ву, Ю.; Лим, Дж.; Ян, М.Х. Отслеживание объектов в Интернете: эталон. В материалах конференции IEEE по компьютерному зрению и Распознавание образов. Портленд. Орегон. США. 23–28 июня 2013 г.: стр. 2411–2418.
- 41. Энрикес, Х.Ф.; Казейро, Р.; Мартинс, П.; Батиста, Дж. Высокоскоростное отслеживание с помощью корреляционных фильтров с ядром. IEEE Транс. Шаблон Анальный. Мах. Интел. 2015, 37, 583–596. [Перекрестная ссылка]

Электроника 2024, 13, 3071 17 из 17

- 42. Ли, Ю.; Чжу, Дж.; Хой, Южная Каролина; Сонг, В.; Ван, З.; Лю, Х. Робастная оценка преобразования подобия для визуального отслеживания объектов. В материалах конференции АААI по искусственному интеллекту, Гонолулу, Гавайи, США, 27 января – 1 февраля 2019 г.; Том 33, стр. 8666–8673.
- 43. Ван, Н.; Чжоу, В.; Тиан, К.; Хонг, Р.; Ван, М.; Ли, Х. Корреляционные фильтры с несколькими сигналами для надежного визуального отслеживания. В материалах конференции IEEE по компьютерному зрению и распознаванию образов, Солт-Лейк-Сити, Юта, США, 18–23 июня 2018 г.; стр. 4844–4853.
- 44. Бертинетто, Л.; Вальмадре, Дж.; Голодец С.; Миксик, О.; Торр, П.Х. Стейпл: Дополнительные учащиеся для отслеживания в реальном времени. В материалах конференции IEEE по компьютерному зрению и распознаванию образов, Лас-Вегас, Невада, США, 27–30 июня 2016 г.; стр. 1401–1409.
- 45. Данельян, М.; Хэгер, Г.; Хан, Ф.С.; Фельсберг, М. Космическое отслеживание дискриминационного масштаба. IEEE Транс. Паттерн Анал. Мах. Интел. 2016,
- 46. Ли, Ю.; Фу, К.; Дин, Ф.; Хуанг, З.; Лу, Г. AutoTrack: На пути к высокопроизводительному визуальному отслеживанию БПЛА с автоматической пространственно-временной регуляризацией. В материалах конференции IEEE/CVF по компьютерному зрению и распознаванию образов, Сиэтл, Вашингтон, США, 17–21 июня 2020 г.; стр. 11923–11932.

Отказ от ответственности/Примечание издателя: Заявления, мнения и данные, содержащиеся во всех публикациях, принадлежат исключительно отдельному автору(ам) и участникам(ам), а не MDPI и/или редактору(ам). MDPI и/или редактор(ы) не несут ответственности за любой вред людям или имуществу, возникший в результате любых идей, методов, инструкций или продуктов, упомянутых в контенте.





Оптимизация размещения датчиков и методы машинного обучения для точной классификации жестов рук

Лакшья Чаплот

Карла Бельтран Мартинес ¹, Джон Андерсен 2,3 и Хосейн Рухани 1,3,*



- Факультет машиностроения, Университет Альберты, Эдмонтон, AB T6G 2R3, Канада; lakshyachaplot@gmail.com (LC); shoushma@ualberta.ca (SH); Beltranm@ualberta.ca (KBM)
- Кафедра педиатрии, Университет Альберты, Эдмонтон, АВ T6G 2R3, Канада; john.andersen@albertahealthservices.ca
- 3 Реабилитационная больница Гленроуз, Эдмонтон, AB T5G 0B7, Канада * Адрес для переписки: hrouhani@ualberta.ca

Аннотация: Миллионы людей живут с ампутациями верхних конечностей, что делает их потенциальными бенефициарами протезов кистей и предплечий. Хотя миоэлектрические протезы были разработаны для удовлетворения потребностей людей с ампутированными конечностями, проблемы по-прежнему связаны с контролем над ними. В этом исследовании используются датчики поверхностной электромиографии и методы машинного обучения для классификации пяти основных жестов рук. Используя функции, извлеченные из данных электромиографии, мы применили нелинейный машинный классификатор опорных векторов на основе многоядерного обучения для распознавания жестов. Наш набор данных включал восемь молодых участников, не имеющих инвалидности. Кроме того, в нашем исследовании был проведен сравнительный анализ пяти различных конфигураций размещения датчиков. Эти конфигурации собирают данные электромиографии, связанные с движениями указательного и большого пальцев, а также движениями указательного и безымянного пальцев . Мы также сравнили четыре разных классификатора, чтобы определить наиболее способный классифицировать жесты рук. Установка с двумя датчиками, стратегически расположенная для регистрации движений большого и указательного пальцев, была наиболее эффективной — эта установка с двумя датчиками достигла 90% точности для классификации всех пяти жестов с использованием машинного классификатора опорных векторов. Кроме того, применение многоядерного обучения в машинном классификаторе опорных векторов демонстрирует свою эффективность, достигая самой высокой точности классификации среди всех классификаторов. Это исследование продемонстрировало потенциал датчиков поверхностной электромиографии и машинного обучения в улучшении контроля и функциональности миоэлектрических протезов для людей с ампутациями верхних конечностей.

Ключевые слова: миоэлектрический датчик; жест рукой; Машина опорных векторов; протез руки; классификация; машинное обучение



Цитирование: Шаплот, Л.; Хаушманд, С. Мартинес, КБ; Андерсен, Дж.; Роухани, Х. Оптимизация размещения датчиков и методы машинного обучения для Точная классификация жестов рук. Электроника 2024, 13, 3072. https://doi.org/ 10.3390/electronics13153072 .

Академический редактор: Янош Ботцхайм

Поступила: 7 июня 2024 г. есмотрено: 24 июля 2024 г Принято: 1 августа 2024 г. Опубликовано: 3 августа 2024 г.



Копирайт: © 2024 авторов Лицензиат MDPI, Базель, Швейцария. Эта статья находится в открытом доступе. распространяется на условиях и условия Creative Commons Лицензия с указанием авторства (СС ВУ) (https://creativecommons.org/licenses/by/ 4.0/).

1. Введение

В 2017 году глобальное число лиц с односторонней ампутацией верхних конечностей превысило 11,3 миллиона, причем еще 11,0 миллионов человек пережили двустороннюю ампутацию верхних конечностей [1]. В Канаде около 6800 человек живут с ампутацией проксимальнее запястья [2]. В недавнем исследовании [2] сравнивались результаты и затраты, связанные с двумя методами лечения ампутаций рук: васкуляризированной композитной аллотрансплантацией рук и миоэлектрическими протезами рук. Был сделан вывод, что лечение односторонних ампутаций с

Миоэлектрические протезы рук стали ключевым средством восстановления как жестовых, так и хватательных способностей у людей с ампутированными конечностями, предлагая неинвазивную альтернативу постоянным хирургическим вмешательствам [2]. Преобладающие системы управления в протезах часто используют триггерный механизм, основанный на одном или двух каналах поверхностной электромиографии (ЭМГ) [3,4]. Эта установка сопоставляет события отдельных мышечных сокращений с заранее заданными последовательностями движений, что требует явных пользовательских команд для переключения режима [3,4]. Такое последовательное переключение приводит к задержке во времени выполнения, требуя нескольких отдельных команд для перехода между разными режимами захвата [3,4]. Неинтуити

помощью миоэлектрических протезов было более экономически эффективным.

Электроника 2024, 13, 3072 2 из 12

этот процесс переключения захвата в сочетании с неудобной динамикой управления и отсутствием достаточной обратной связи был идентифицирован как основная причина низких показателей приемки, наблюдаемых для миоэлектрических протезов [5,6]. Решение этих проблем имеет важное значение для повышения удобства использования и признания миоэлектрических протезных устройств среди сообщества пользователей [5,6].

Несколько попыток классифицировать сигналы пЭМГ (поверхностной электромиографии) от мышц

предплечья человека были задокументированы в предыдущих работах. Чтобы смягчить проблемы с интуитивностью, прототипы решений в существующей литературе сосредоточены на расшифровке намерений пользователя при помощи жестов, воздействуя на отдельные мышцы-сгибатели и разгибатели предплечья [7]. Произвольные сокращения оставшихся мышц предплечья после ампутации можно идентифицировать с помощью классификаторов машинного обучения, таких как искусственная нейронная сеть (ИНС), линейный дискриминантный анализ (ЛДА) и классификаторы машины опорных векторов (SVM). SVM часто выбирают из-за его математической интерпретируемости и глобальной оптимизации. Он хорошо работает даже с небольшим обучающим набором [8]. Параметр эластичности SVM, также известный как гиперпараметр ограничения коробки С, контролирует максимальный штраф, налагаемый на наблюдения, нарушающие пределы, и помогает предотвратить переобучение [8]. Палковски и Редларски [9] использовали два датчика ЭМГ на предплечье, собирая данные с частотой 16 Гц, чтобы распознать шесть жестов всей руки и запястья с помощью классификатора SVM. Ли и др. [10] успешно классифицировали десять жестов рук, используя характеристики, полученные с помощью трех датчиков ЭМГ, и достигли точности, превышающей 90% для каждого участника. Однако их модель машинного обучения прошла обучение и тестирование на наборах данных участников без объединения данных между участниками для оценки способности модели к обобщению. Такой ограничительный подход к тестированию вносит предвзятость в точность классификации, поднимая вопросы о применимости этой технологии в протезах рук. В других предыдущих работах [8,11,12] была достигнута высокая точность более 90% для классификации нескольких жестов всей руки и запястья, таких как открытие/закрытие запястья, локтевое и радиальное отклонение, а также сгибание-разгибание. Однако жесты всей руки и запястья легче классифицировать, и они имеют ограниченное функциональное применение для людей с ампутированными конечностями, стремящихся восстановить ловкость рук.

Эффективность воздействия на определенные мышцы требует стратегического размещения электродов и их конфигурации – важнейшего фактора для подходов, основанных на признаках, которые относительно неисследованы в литературе.

Этот проект был направлен на повышение точности классификации жестов рук, стратегического размещения датчиков и выбора практических жестов для потенциальной интеграции с миоэлектрическими протезами рук. Таким образом, в этом исследовании изучалась разработка классификатора SVM на основе множественного обучения ядра (МКL) для классификации пяти сложных жестов рук, имеющих решающее значение для людей с ампутированными конечностями: силового хвата (сжатия запястья), хвата крюком (четырехзначного хвата), тонкого щипка (сжатия запястья). используя указательный и большой палец), грубое сжатие (используя все пять пальцев) и точечный жест (сгибание пальцев 3, 4 и 5). Методология исследования заключалась в создании классификатора с использованием данных, собранных с помощью пяти различных конфигураций датчиков, каждая из которых использует один или два датчика ЭМГ на предплечье, что обеспечивает минималистичный подход к сбору данных, одновременно стремясь определить оптимальное размещение датчиков для получения максимальной точности классификац

2. Материалы и методы

2.1. Экспериментальная

процедура Данные пЭМГ были собраны на правой руке восьми участников без неврологических/ скелетно-мышечных нарушений или диагноза (возраст: 21 ± 2 года (среднее \pm стандартное отклонение), рост: $169,5 \pm 2,8$ см (среднее \pm стандартное отклонение), масса тела : $57,9 \pm 9,5$ кг (среднее \pm стандартное отклонение), 7 мужчин и 1 женщина). Все участники были ознакомлены с методикой эксперимента. Информированное согласие было получено от всех субъектов, участвовавших в исследовании. Исследование проведено в соответствии с Хельсинкской декларацией и одобрено Институциональным комитетом по этике Университета Альберты (АВ Т6G 2N2, одоб

Сигналы пЭМГ регистрировались с помощью биполярных датчиков MyoWare 2.0 Muscle [13]. (SparkFun Electronics, Нивот, Колорадо, США), выбранные из-за их потенциала для интеграции в недорогие протезы рук. Предыдущая версия этого датчика часто использовалась в

Электроника 2024, 13, 3072

Сигналы пЭМГ регистрировались с помощью биполярных датчиков MyoWare 2.0 Muscle [13].

(SparkFun Electronics, Нивот, Колорадо, США), выбранные из-за их потенциала для интеграции в недорогие протезы рук. Предыдущая версия этого датчика часто использовалась в литературе из-за ее низкой стоимости, простоты настройк³ из 12

функций и положительных результатов в проверочных исследованиях, показавших, что она сравнима с более дорогими аналогами из- за его низкая стоимость, простые в настройке функции и высокая производительность.

коммерческие системы ЭМГ [14,15]. MyoWare 2.0 имеет три электрода: средний мышечный и конечный мышечный. По данным проверочных исследований, он сопоставим с более дорогими коммерческими электродами. cle и ссылка [13]. Перед тем, как быть полученным микроконтроллером, дифференциальный сигнал

ЭМГ-системы [14,15]. MyoWare 2.0 имеет три электрода: срединную мышцу, конечную мышцу и проходил через инструментальный усилитель с высоким СМКК (опорное подавление синфазного сигнала [13]. Перед тем, как быть полученным микроконтроллером, дифференциальный сигнал проходил коэффициент, который представляет собой отношение дифференциального усиления к синфазному усилению усилительного каскада) через инструментальный усилитель с высоким CMRR (коэффициент подавления синфазного сигнала, (140 дБ) и унитарное усиление для устранения распространенных источников шума, таких как линейный шум 50 Гц. что представляет собой отношение дифференциального усиления к синфазному усилению каскада усилителя) (140 дБ) Впоследствии сигнал фильтровался полосовым фильтром первого порядка с частотой среза и унитарным коэффициентом усиления для устранения общих источников шума, таких как линейный шум частотой 50 Гц. Подразделы на частоте 20 Гц и 498 Гц [13]. После этого сигнал подвергался выпрямлению и последующей фильтрации с помощью полосового фильтра

и 498 Гц [13]. После этого сигнал подвергался выпрямлению и последующей фильтрации с помощью полосового фильтра первого порядка с частотами среза на уровне сглаживание достигается с помощью схемы обнаружения огибающей нижних частот (3,6 Гц), встроенной в частоты 20 Гц и 498 Гц [13]. После этого сигнал подвергался исправлению и сглаживанию. аппаратное обеспечение датчика, что приводит к линейной огибающей сигнала ЭМГ. Огибающая ЭМГ, полученная с помощью низкочастотной схемы обнаружения огибающей (3,6 Гц), встроенной в аппаратный выход датчика, затем была получена микроконтроллером (Arduino UNO) с помощью программного обеспечения для выборки , в результате чего получилась линейная огибающая сигнала ЭМГ. Конвертированный выходной сигнал ЭМГ был частота 780 Гц (SD = 5 Гц) для решения проблем, связанных с недостаточной дискретизацией предыдущих данных, а затем полученной микроконтроллером (Arduino UNO) с частотой дискретизации 780 Гц.

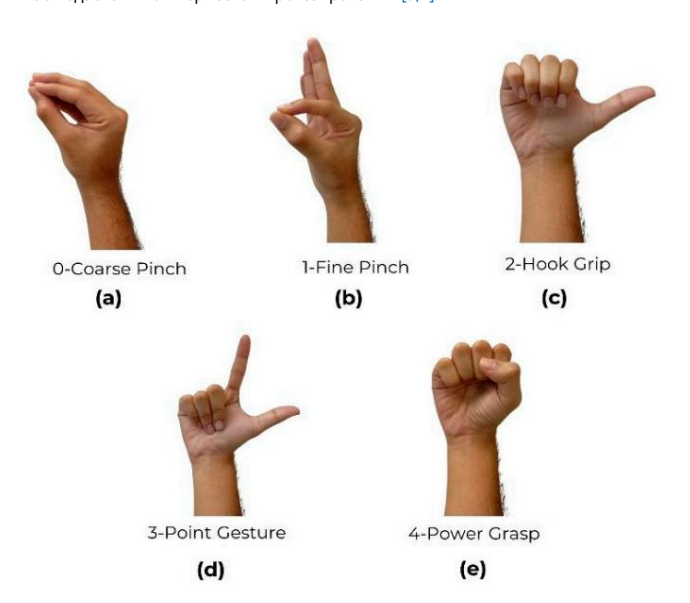
(SD = 5 Гц), чтобы решить проблемы, связанные с недостаточной выборкой в предыдущих исследованиях [16]. Конфигурации размещения датчика ЭМГ были основаны на жестах, которые должны были быть Конфигурации размещения датчика ЭМГ были основаны на жестах, которые должны были быть конфигурации размещеном датчики были размещены только вдоль тех мышц предплечья, которые в основном ответственны за классификацию. Датчики были размещены только вдоль тех мышц предплечья, которые в основном ответственны за для сгибания указательного, безымянного и большого пальцев. Использовались пять жестов: (1) а для сгибания

для сгибания указательного, безымянного и большого пальцев. Использовались пять жестов: (1) а для сгибания указательного, безымянного и большого пальцев. Пять использованных жестов были (1)

грубое щипание, используя все пять пальцев, (2) тонкое щипание, используя указательный и большой пальцы, (3) крючок, грубое щипание, используя все пять пальцев, (2) тонкое щипание, используя указательный и большой пальцы, (3) крючок захват (четырехзначный захват), (4) точечный жест (сгибание цифр 3, 4 и 5) и (5) силовой захват (четырехзначный захват), (4) точечный жест (сгибание цифр 3, 4 и 5) и (5) захват власти

хват (сжатие запястья), обозначенный по классификатору от 0 до 4 соответственно. Эти пять (сжатие запястья) обозначены в классификаторе от 0 до 4 соответственно. Эти пять жестов

жесты (рис. 1) считаются очень полезными для людей с ампутированными конечностями в их повседневной жизни, а (рис. 1) считаются очень полезными для людей сампутированными конечностями в их повседневной жизни, а также также наблюдаются в коммерческом протезировании [3,4]. наблюдается в коммерческом протезировании [3,4].



тоонкий ещилов нирэ форму картан ком на терия на

ДАТИКИУЛАМЫЛБЬГИЗЛРЕДМЕНЕНЫ В ТЕСЕХ МЕСТЕХ НЕВ ВЕНЬТ СЕОБЬНЕЙ БЕДЕЛЕЧЕЯ (ОВЕТУРЕНЬЯ и различных обвечано с Селования अвазинельного, безымянного и большого пальцев. Конфигурации датчиков основаны на [17–19] и описываются следующим образом: Фигуры основаны на [17–19] и описываются следующим образом: С1: Один датчик

- дасположен проксимальнее запястья вдоль длинного сгибателя большого пальца руки для получения данных. СТ: Один датчик расположен проксимальнее запястья вдоль длинного сгибателя большого пальца для получения данных о сгибании большого пальца. данные о сгибании большого
- •пальца. •C2: Один датчик расположен проксимальнее запястья вдоль поверхностного сгибателя пальцев, чтобы C2: Один датчик расположен проксимальнее запястья вдоль поверхностного сгибателя пальцев для получения данных о сгибании указательного пальца. получить данные о сгибании указательного
- пальца. СЗ: Один датчик расположен вдоль поверхностного сгибателя пальцев и поверхностного сгибателя пальцев. profundus для получения данных о сгибании безымянного пальца.
- С4: Два датчика расположены проксимальнее запястья вдоль поверхностного сгибателя пальцев, чтобы получить данные о сгибании указательного пальца и проксимальнее локтя вдоль сгибателя пальцев. superficialis и глубокий сгибатель пальцев для получения данных о сгибании безымянного пальца.

- С3: Один датчик расположен вдоль поверхностного сгибателя пальцев и выступающего сгибателя пальцев.
 глазное дно для получения данных о сгибании безымянного пальца.
- С4: Два датчика расположены проксимальнее запястья вдоль поверхностного сгибателя пальцев для получения данных о сгибании указательного пальца и проксимальнее локтя вдоль поверхностного сгибателя пальцев и глубокого сгибателя пальцев для получения данных о сгибании безымянного пальца. С5: Два датчика расположены

 проксумальных вдалясты верхильствов укументор сгибании безымянного пальца. С5: Два датчика расположены

 проксумальных вдалясты верхильствов укументор сгибания безымянного пальца. С5: Два датчика расположены проксимальнее

 получения данных расположены проксимальнее

 получения данных вдалясты в получения данных данных в получения в получения данных в получения в получения данных в получения в получени

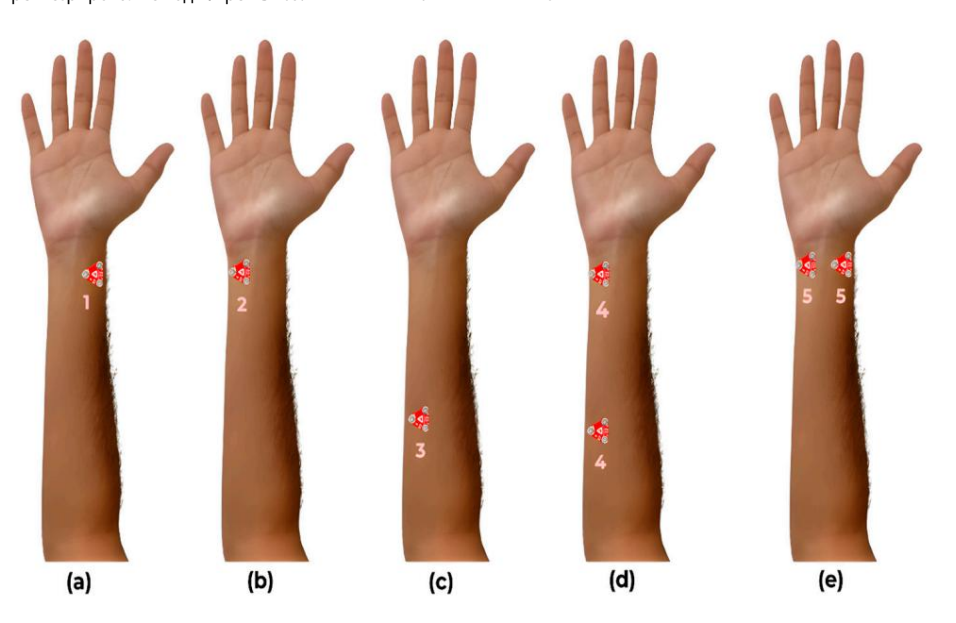


Рисунок 2. Пять различных конфигураций размещения датчиков, используемых для получения данных ЭМГ: (а) большой палец Рисунок 2. Пять различных конфигураций размещения датчиков, используемых для получения данных ЭМГ: (а) большой палец данные сгибания, (b) данные сгибания указательного пальца, (c) данные сгибания безымянного пальца, (d) данные сгибания указательного и безымянного пальца, данные сгибания, (b) данные сгибания указательного пальца, (c) данные сгибания безымянного пальца, (d) данные о сгибании указательного и большого пальца. и (e) данные о сгибании указательного и большого пальца.

2.2. Обработка данных

Нарисунке эпоказана блоке схема этапов обработки данных, включенных веськосьемерент.

обрабочиванных воеськосройного информатива выпосы до учножного и обрабочиванных веськость и обрабочиванных веськость и обрабочиванных веського и обрабочиванных веського обрабочительного обрасти.
Обрабочиванных выпосы до учножного и обраст обрабочительное выпосы данных выпосы обрасти и обраст обраст

Устранение шума в сигналах ЭМГ имеет решающее значение для повышения точности классификации. Использование эффективной техники фильтрации существенно способствует улучшению качества сигнала ЭМГ. классификация. Для уточнения сигналов ЭМГ, полученных для конкретных жестов каждого участника, был применен процесс цифровой фильтрации. Этот процесс был направлен на устранение неустойчивых пиков. и локальные экстремумы помех от сигналов ЭМГ с длинной огибающей, как видно на рисунке 4. Среди различных методов фильтрации рекомендуется использовать сглаживающий фильтр Гаусса (GSF). в [20] оказался многообещающим подходом, ведущим к улучшению моделирования сигналов ЭМГ. и точность (рис. 4). Чтобы облегчить анализ на основе извлечения признаков, длинные данные ЭМГ последовательность действий каждого участника для одного жеста была разбита на меньшие окна, каждое из которых содержащий четыре жеста для конкретного участника. Отдельные последовательности примерно

Электроника 2024, 13, 3072 5 из 12

Электроника 2024. 13. х НА ЭКСПЕРТИЗУ

5 из 13

Длина 8000 выборок хранилась отдельно для последующей временной и частотной области. извлечение признаков Рисунок 3. Блок-схема обработки данных ЭМГ.

ДСТРАНЯНИЕ шума в сигналажэмо и вестналажно преблага в сигналажно по предоставления в сигналажно по предоставления в сигналажно по предоставления в сигналажно по предоставления в сигналажного по пр использование эффективной техники фильтации вносит зациненовых вклад в уточныхи классификации сигналов ЭМГ. Для уточнения сигналов ЭМГ, полученных для конкретных жестов каждого участника, был применен процесс Digital Filtering цифровой фильтрации. Этот процесс был направлен на устранение беспорядочных пиков и помех локальных экстремумов из сигналов ЭМГ с длинной огибающей, как это видно на рисунке 4. Final Classifier Среди-различных методов фильтрации сглаживающий фильтр Гаусса (GSF), реко<mark>мендов</mark>анный в [20], ока 🛣 🛪 жинфифифичения и подходом, приводящим к улучшению моделирования и точности сигнала ЭМГ (рис. 4). Чтобы облегчить анализ на основе извлечения признаков, длинная последовательность данных ЭМГ для каждого участникатдля одного жеста была сегментирована на меньшие окна, каждое из которых гадержало четыре жеста для конкретного участника. Отдельные посл**едователь**ности имеют длину около 8000 выборок и сохраняются отдельно для последующего извлечения признаков во временной и частотной областях. Рисунок 3. Блок-схема обработки данных ЭМГ.

Рисунок 3. Блок-схема обработки данных ЭМГ.

Устранение шума в сигналах ЭМГ имеет рещающее значение для повышения точности классификации. Использование эффективной техники фильтрамии вносит значительный вклад в уточнение классификации сигналов ЭМГ. Для уточнения сигналов ЭМГ, полученных для конкретных жестов каждого участника, был применен процесс циоровой фильтрации. Этот процесс был направлен на устранение беспорядочных пиков и помех локальных экстремумов из отгналов ЭМГ с длинной огибающей, как это видно на рисунке 4. Срёди различных методов фильтра<mark>ц</mark>ии сглаживаю фщий фильтр Гаусса (GSF), рекомендованный в [20], оказаЯсжиногообещающим подходом, приводящим к улучшению моделирования и точности сигнала ЭМГ (рис. 4). Чтобы облегчить анализ на основе извлечения признаков, длинная последовательность данных 3 иг для каждого участника для одного жеста была сегментирована на меньшие окна, каждое из которых с<mark>одержало четыре жеста для коңкретного участника. Отдельные п</mark>оследовательности имеют длину около 8000 выборок и сохраняю†стобить для последующего извлечения признаков во временной и частотной областях.

Рисунок 4. Отфильтрованный сигнал ЭМГ для жеста захвата силы (пример показан для конфигурации СЗ и жажа анах в да атыл асти). жест

2.3. Извлечение и выбор функций

ИЗВЛЕЧЕНИЕ ПРИЗНАКОВ ИМЕЕТ РЕШАЮЩЕЕ ЗНАЧЕНИЕ ДЛЯ УМЕНЬШЕНИЯ ВАЗМЕВНОЕТИ ДАННЫХ; ПВЕДСТАВЛЯЮЩИХ ЯРЕСТАВ выделено 22 характеристики во временной и настотной области. Характеристики домена были извлечены из 8000 выборок длинных сегментированных сигналов ЭМГ для каждого жеста. Функции включали статистические показатели, такие как среднеквадратическое значение (RMS). каждый жест. Функции включали статистические измерения, такие как среднеквадратичное значение (RMS), дисперсия (VAR), среднее абсолютное значение (MAV), изменение знака наклона (SSC), пересечение нуля. дисперсия (VAR), среднее абсолютное значение (MAV), изменение знака наклона (SSC), пересечение нуля (ZC), (ZC), длина сигнала (WL), медианное абсолютное отклонение (MAD), асимметрия, эксцесс и длина сигнала (WL), медианное абсолютное отклонение (MAD), асимметрия, эксцесс и энергия. Эти особенности хорошо известны в литературе благодаря их полезности в жестах. эргия. Эти функции хорошо известны в литературе благодаря их полезности для распознавания жестов [21,22]. Функции частотно-временной области включают модель авторегрессии. положение [21,22]. Характеристики частотно-временной области включают коэффициенты авторегрессионной модели (5го порядка), энтропию (на основе приблизительных коэффициентов одномерного дискретного вейвлета). преобразование уровня 4), оценки дисперсии (на основе максимального перекрытия дискретного вейвлета

преобразование уровня 3), спектральная энтропия, средняя частота и мощность полосы. Вейвлет Р୯९%, ๒५%, ६०%, разовата и выный оситыван в Мажения в эрожеты эрожеты эрожеты эрожения и выным в жест захвата власти). несколько раз в литературе [10,23,24]. Для облегчения эффективной классификации извлеченные

признаки были нормализованы до нулевого среднего значения путем вычитания среднего значения из каждой выборки. 2.3. Извлечение и выбор признаков и их нормализация с использованием стандартного отклонения.

N3BRSHEHUR RIDNSHAKOB NMEET DEWIGNDHEE SHAYEHUR AAR WAEHEBUEHUR DASMEDHOCTU BAHHUX. DEACTABARNOUNX AHAANS FAABHUX KOMMOHEHTOB IPCAT, KOTODINI KOLODINI KOLODISOBARO HA STAHE BUIGNA DASMEDHOCTU BAHHUX. DEACTABARNOUNX AHAANS жест, что позволяет классифицировать жесты. Всего 22 шага по времени и частоте для дальнейшего уменьшения размерности пространства признаков, полученного на основе Характеристики домена были извлечены из 8000 выборок длинных бегментированных сигналов ЭМГ для сегментированных к**әуын**еймесер Фу**р қынилкыур сели елетизтишесем елетеришесер болы**м обынды болым обылы карының (RMS), 44 различных ANGGOOD VIRAYARA KORAYGEAFGOO O THOGATH LEHE SAMAYA MAYEEFETUR. BITOOL TOURGHAAS GA REDREEMH GEORG TUBENGO THOGATHA LANG. ДЪЗЪМ СРЕМЕТА (Ж.) «Мългифанков и бългитърност бългитърност бългитърност и компоненты при уменьшении эргия. Эти функции хорошо известны в литературе благодаря их полезности для распознавания жестов [21,22]. Функции частотно-временной области включают модель авторегрессии

Электроника 2024, 13, 3072 6 из 12

по всему набору данных были тщательно отобраны. Этот критерий отбора обеспечивал сохранение только тех компонентов, которые существенно влияли на дисперсию данных, тем самым сжимая пространство признаков, сохраняя при этом важную информацию. Эти выбранные компоненты, которые отражали большую часть изменчивости набора данных, затем были загружены исключительно в классификатор. Такое стратегическое использование сокращенных, но информативных функций, полученных из РСА, было направлено на повышение эффективности классификации за счет сосредоточения внимания на наиболее важных аспектах данных ЭМГ.

2.4. Классификатор машинного обучения

В этой статье SVM использовался для классификации пяти жестов рук. Поскольку SVM — это метод, основанный на ядре, выбор правильных функций ядра и связанных с ними гиперпараметров является важной задачей. Эту проблему обычно решают методом проб и ошибок. Более того, типичное одноядерное приложение SVM часто использует одни и те же гиперпараметры для каждого класса, и оно может оказаться непригодным, когда распределение шаблонов функций значительно различается между разными классами. Хотя существуют разные ядра, такие как ядро Гаусса, полиномиальное ядро и сигмовидное ядро, часто неясно, какое ядро является наиболее подходящим для данного набора данных, и поэтому желательно, чтобы методы ядра использовали оптимизированную функцию ядра, которая хорошо адаптируется к имеющемуся набору данных и типу границ между классами. Эффективный способ спроектировать ядро, оптимальное для данного набора данных, — это рассматривать ядро как выпуклую комбинацию базисных ядер, как показано в уравнении (1).

Такая SVM на основе MKL вдохновлена [25].

$$K(x, y) = a \cdot K1(x, y) + b \cdot K2(x, y) + c \cdot K3(x, y) + d \cdot KRBF(x, y)$$
 (1)

Здесь К1 — линейное ядро, К2 — квадратичное ядро, К3 — кубическое ядро, а KRBF — ядро гауссовой или радиальной базисной функции со стандартным отклонением, равным единице. Коэффициенты {a, b, c, d} представляют собой гиперпараметры, которые необходимо настроить с использованием перекрестной проверки 10-кратного поиска по сетке. Параметр эластичности или ограничение С также является гиперпараметром, выражающим степень ослабления ограничения. Большой С может более правильно классифицировать обучающие выборки, но в конечном итоге приводит к переоснащению и снижению точности тестирования, поэтому ограничение блока также настраивается с использованием перекрестной проверки 10-кратного поиска по сетке. Обучение и тестирование данных выполняются с использованием типичного разделения поездтестирование 80–20. РСА использованога для выбора признаков, чтобы еще больше уменьшить размерность входного вектора, передаваемого классификатору, и выбирать только статистически значимые признаки.

Дальнейший анализ включал использование трех классификаторов машинного обучения: наивного Байеса, дерева решений и KNN. Это было предпринято для оценки производительности SVM в конкретном наборе данных и экспериментальных условиях с упором на надежность при увеличении количества жестов и различных конфигурациях датчиков. Хотя SVM хорошо зарекомендовали себя как эффективные для распознавания жестов на основе ЭМГ [26,27], исследование направлено на изучение этих результатов в рамках нашей уникальной установки, в которой используются коммерчески доступные недорогие датчики sEMG. Подтвердив надежность и эффективность SVM в этом приложении, к существующей теории будут добавлены дополнительные доказательства с учетом любых нюансов из нашего конкретного набора данных.

3. Результаты

3.1. Оценка конфигурации датчика Лучший

набор гиперпараметров, обеспечивающий наивысшую точность данных тестирования для SVM, наивного Байеса, KNN и классификаторов дерева решений, построенных с использованием объединенного набора данных всех участников в различных конфигурациях датчиков, показан в Таблице 1, Таблица 2, таблица 3 и таблица 4 соответственно. Соответствующие гиперпараметры настраиваются с использованием перекрестной проверки 10-кратного поиска по сетке, а метки, используемые для каждого жеста, приведены на рисунке 1.

Электроника 2024, 13, 3072 7 из 12

Таблица 1. Оптимальная конфигурация гиперпараметров для классификации жестов на основе SVM с использованием 10-кратного перекрестная проверка. Порядок ядра SVM — это порядок чистого полиномиального ядра. {a, b, c, d} — МКL коэффициенты. С — ограничение коробки. С1 , С2 , С3 , С4 , С5 — пять различных конфигураций датчиков.

		14 <u>-</u>	Конфигурации датчиков				
	Гиперпараметры		C1	C2	C3	C4	C5
	Порядок ядра SVM		3	-	-	-	-
	Коэффициенты МКЛ	a	-	10	0,1	0,1	1
Классификация пяти жестов, включая		б	-	0,5	1	1	0,001
грубый щипок, тонкий щипок, захват крючком, точечный жест и силовой захват		С	-	0,1	10	10	0
		Д	-	0	0	0	0
	С (ограничение поля)		1	0,1	0,5	0,5	1
	Порядок ядра SVM		1	3	1	2	3
	1-	a	-	-	-	-	-
Классификация двух жестов, включая		б	-	-	-	-	-
тонкий щипок и силовой захват	Коэффициенты МКЛ	С	-	-	-	-	-
		Д	-	-	-	-	-
	С (ограничение поля)		10	1	0,5	0,02	1

Таблица 2. Оптимальная конфигурация гиперпараметров для наивной классификации жестов на основе Байеса с использованием 10-кратная перекрестная проверка. Ядро распределения «N» — это нормальное ядро, а «В» — коробочное (однородное) ядро.

			Конфигурации датчиков				
	Гиперпараметры	C1	C2	C3	C4	C5	
Классификация пяти жестов, включая грубый щипок, тонкий щипок, захват крючком,	Ядро дистрибутива (Н/Б)	Н	Б	Н	Н	Н	
точечный жест и силовой захват	Пропускная способность	0,05	0,8	0,08	0,15	0,42	
Классификация двух жестов, включая	Ядро дистрибутива (Н/Б)	Н	Н	Н	Н	Н	
тонкий щипок и силовой захват	Пропускная способность	0,1	0,05	0,1	0,05	0,05	

Таблица 3. Оптимальная конфигурация гиперпараметров для классификации жестов на основе KNN с использованием 10-кратного перекрестная проверка. D1 – D4 обозначают евклидову функцию, косинус, городской квартал и функцию расстояния Минковского.

		Конфигурации датчиков				
	Гиперпараметры	C1	C2	C3	C4	C5
Классификация пяти жестов, включая грубый щипок, тонкий щипок, захват крючком,	Функция расстояния	Д1	Д2	Д1	Д1	Д1
точечный жест и силовой захват	значение К	1	1	1	1	2
Классификация двух жестов, включая	Функция расстояния	Д1	Д3	Д2	Д1	Д4
тонкий щипок и силовой захват	значение К	1	1	1	1	1

Электроника 2024, 13, 3072 8 из 12

Таблица 4. Оптимальная конфигурация гиперпараметров для классификации жестов на основе дерева решений с использованием 10-кратной перекрестной проверки.

	_	Конфигурации датчиков				
	Гиперпараметры	C1	C2	C3	C4	C5
Классификация пяти жестов, включая грубый щипок, тонкий щипок, захват крючком, точечный жест и силовой захват	Минимальный размер листа	1	9	2	2	2
Классификация двух жестов, включая тонкий щипок и силовой захват	Минимальный размер листа	2	9	9	2	2

В таблице 5 представлены результаты производительности различных классификаторов на двух отдельных жестах. задач классификации с различными конфигурациями (С1, С2, С3, С4, С5) и предоставляет сравнительный обзор точности различных классификаторов по пяти различным и несвязанным между собой задачам. конфигурации датчиков для задач классификации жестов. Классифицируя пять жестов, SVM Производительность классификатора колеблется от 75% до 90%, при этом наибольшая точность наблюдается у конфигурация С5. Точность KNN колеблется, достигая максимального значения в 82% при С4 и немного ниже на уровне 80% с С5. Наивный Байес показывает свой лучший результат в 70% с С5, в то время как Ограничение классификатора дерева решений составляет 75% при той же конфигурации.

Таблица 5. Точность тестирования SVM, KNN, наивного Байеса и классификаторов дерева решений по различные конфигурации датчиков. C1 – C5 — это пять различных конфигураций датчиков.

	Классификатор	Конфигурация Сі						
		C1	C2	C3	C4	C5		
	СВМ	75%	75%	84,6%	87,2%	90%		
Классификация пяти жестов, включая	КНН	67,9%	73,9%	69,2%	82%	80%		
грубый щипок, тонкий щипок, захват крючком, точечный жест и силовой захват	Наивный Байес	53,6%	51,3%	61,5%	61,5%	70%		
	Древо решений	57,2%	59%	56,4%	59%	75%		
	СВМ	100%	100%	100%	100%	100%		
Классификация двух жестов, включая тонкий щипок и силовой захват	КНН	100%	86,7%	100%	93,3%	100%		
	Наивный Байес	100%	73,3%	100%	93,3%	93,3%		
	Древо решений	100%	86,7%	100%	80%	100%		

Напротив, задача классификации двух жестов, тонкого щипка и мощного хвата, демонстрирует заметно более высокую и идеальную производительность классификатора SVM, сохраняя 100% точность. во всех конфигурациях. Классификаторы KNN и дерева решений также работают исключительно хорошо. ну, при этом KNN достигает 100% точности во всех случаях, кроме C2 и C4, где он немного набирает очки ниже – 86,7% и 93,3% соответственно. Наивный Байес и классификаторы дерева решений демонстрируют идеальную 100% точность для конфигурации C3. Эта явная разница в производительности между задачами предполагает, что некоторые классификаторы, особенно SVM, могут быть более устойчивыми к изменения в конфигурации или лучше подходят для задач двоичной классификации в контексте распознавание жестов.

3.2. Оценка классификатора

Матрица путаницы для классификатора SVM в различных конфигурациях была тщательно прорисовано, чтобы обеспечить полную визуализацию производительности модели (рисунок 5).

9 из 12

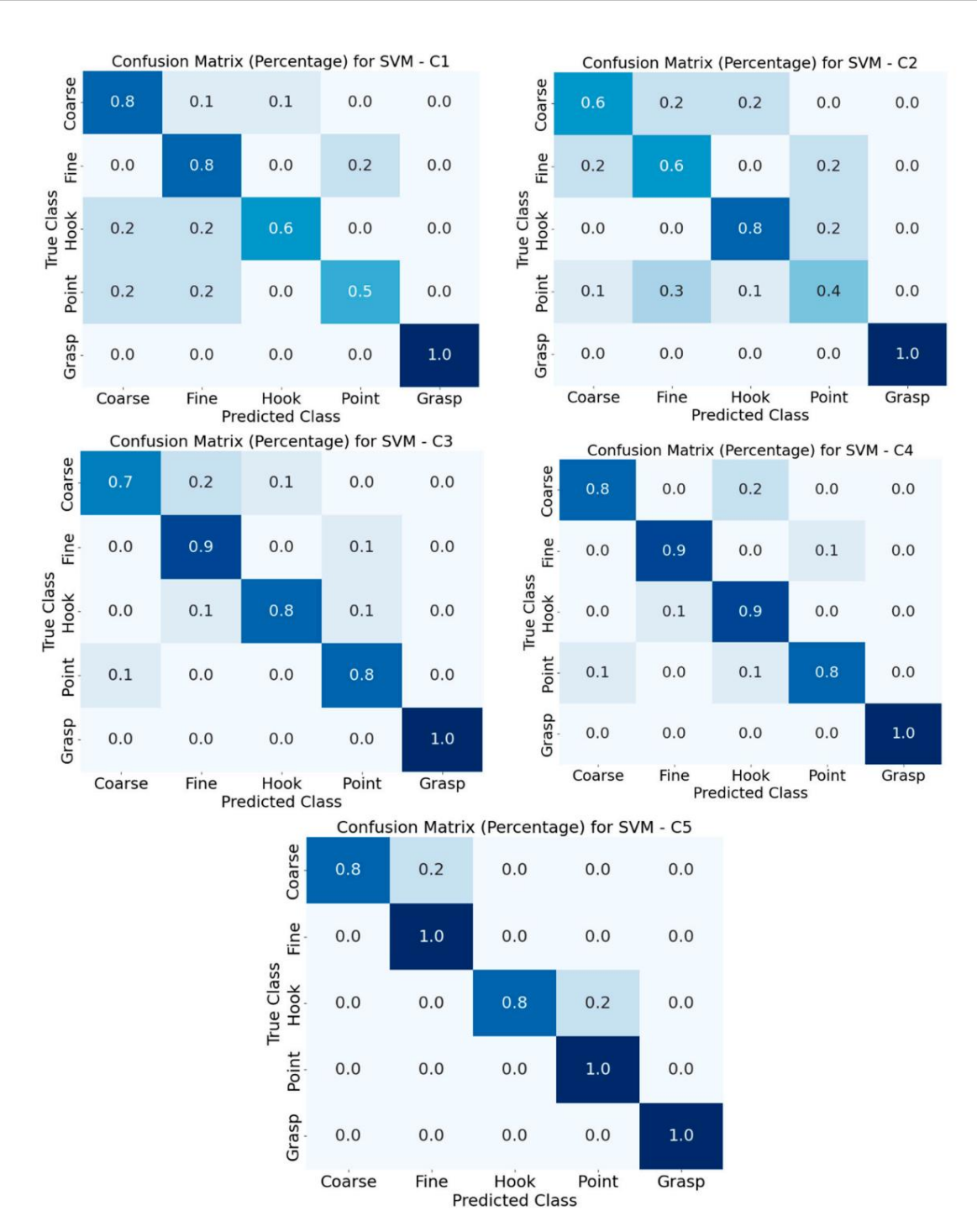


Рисунок 5: Матрица ошибок для классификатора SVM в различных конфигурациях:

4. Дискуссия

Исследование выходит за рамки оценки точности классификации. Угугубувляет в в омплюсти.
слаясификачин фартилидии рабора в ставорожествережа от довановащим угугубувляет в в омплюсти.
228) из сочности фартилиди набора в ставорожествережа от дована операция учени и прединения учения в прединения учения и прединения и прединен

Электроника 2024, 13, 3072 10 из 12

Применение РСА для выбора ключевых признаков значительно уменьшило размерность пространства признаков, повысив точность классификации. Результаты, обобщенные в таблицах 1–5, определили установку датчиков С5 (два датчика, расположенные проксимальнее запястья вдоль поверхностного сгибателя пальцев и длинного сгибателя большого пальца) как наиболее эффективную, обеспечивающую высочайшую точность с помощью SVM, наивного Байеса и дерева решений. классификаторы. Классификатор SVM, созданный на базе МКL, постоянно достигал точности более 90 % при классификации жестов с помощью С5, как показано в Таблице 2 и Рисунке 5. Конфигурация С5 с двумя датчиками, которая собирает данные от мышц, контролирующих движения большого и указательного пальцев, предлагает выгодную стратегию размещения датчиков при проектировании протезов рук.

Жест с тонким щипком, изображенный на рисунке 1b, оказался особенно сложным из-за более низкого уровня сокращения мышц и использования всего двух пальцев, что делало его более склонным к шуму. Точное расположение датчика С5 над активными мышцами во время этого жеста позволило получить более детальные данные. Сравнение С1 и С5 (рис. 2) иллюстрирует значительное влияние дополнительного датчика ЭМГ на точность классификации, подтверждая превосходство двухканальной ЭМГ над одноканальной в распознавании жестов.

Когда ограниченное пространство ограничивает размещение датчика возле запястья на протезной руке, С4 (два датчика, расположенные проксимальнее запястья вдоль поверхностного сгибателя пальцев, вдоль поверхностного сгибателя пальцев и глубокого сгибателя пальцев) становится возможной альтернативой, достигая точности 87,2% с помощью SVM (Таблица 5). Эти результаты подчеркивают важность как расположения датчика на мышце, так и близости к брюшку мышцы для оптимального сбора данных.

Улучшение характеристик SVM с помощью МКL очевидно в конфигурации датчика C3 (один датчик расположен вдоль поверхностного сгибателя пальцев и глубокого сгибателя пальцев), где одиночный датчик близко конкурирует с двойным датчиком C4 по точности (точность тестирования SVM, таблица 5). Адаптивный выбор функций ядра МКL для данных C3 является значительным шагом вперед по сравнению с одноядерными методами. Гиперпараметр C SVM играет ключевую роль в балансировании сложности модели и переобучения, его диапазон значений от 0,01 до 10 оценивается посредством перекрестной проверки 10-кратного поиска по сетке (таблица 1). Эта тонкая настройка имела решающее значение для разработки оптимизированной модели SVM с сильными возможностями обобщения для точной классификации жестов. Таким образом, для протезов рук, которые могут включать только один датчик ЭМГ, рекомендуемой настройкой является C3. Использование МКL с SVM значительно повышает производительность по сравнению с базовыми SVM, особенно при классификации нескольких жестов, и позволило нам добиться ненулевых коэффициентов МКL для классификации всех пяти жестов, как подробно описано в таблице 1. Хотя базовые SVM превосходны в двоичной классификации, МКL обрабатывает сложность сигналов ЭМГ улучшается за счет объединения нескольких ядер. Это приводит к надежной классификации пяти различных жестов, что оправдывает дополнительную сложность МКL.

Матрицы путаницы демонстрируют высокую производительность SVM по различным жестам — от 80% до 100% в конфигурации C5. Кроме того, SVM преуспел в качестве двоичного классификатора жестов мелкого щипка и силового хвата (рис. 1), достигнув 100% точности.

Отмеченной тенденцией является снижение точности классификации с увеличением количества жестов, явление, которое перекликается с предыдущими результатами [26]. Это снижение объясняется более широкой дисперсией сигналов ЭМГ в предплечье и результирующим перекрытием сигналов от одновременных сокращений мышц при выполнении сложных жестов.

Потенциальным ограничением настоящего исследования, если его расширить до онлайн-классификации ЭМГ в реальном времени, является небольшое изменение длины сегментов ЭМГ во временной области, используемых для извлечения признаков в различных конфигурациях жестов. Это ограничение можно легко устранить, выбрав точно равные длины сегментов во время онлайн-заявки. Еще одним ограничением текущей работы является размер выборки в восемь участников. Этот размер выборки аналогичен другим размерам выборок в литературе [25,27]. Однако ограниченный размер выборки может повлиять на надежность точности, полученной до определенного уровня. Настоящее исследование служит для проверки предложенной методологии в небольшом масштабе, и в будущем планируется провести эксперименты с большим размером выборки и включить людей с различиями в конечностях, чтобы напрямую оценить применение наших результатов в управлении протезами рук. Это повысит обобщаемость и актуальность текущего исследования.

Электроника 2024, 13, 3072

Будущие исследования будут применять результаты этой статьи для воспроизведения жестов рук в миоэлектрическом протезе руки в режиме реального времени. Также будут изучены различные конфигурации датчиков и методы машинного обучения для дальнейшего повышения эффективности миоэлектрических протезов. Кроме того, разработка более сложных методов извлечения признаков и оптимизации классификаторов может быть полезна при многогранном анализе сигналов ЭМГ. Это исследование послужит ступенькой на пути к созданию более эффективных и действенных миоэлектрических протезов, и есть надежда, что полученные знания вдохновят на дальнейшие исследования в этой многообещающей области.

5. Выводы

Это исследование позволило добиться значительных успехов в области технологии миоэлектрического протезирования и получить ключевые результаты, которые могут повлиять на будущие исследования и применения. Превосходные характеристики двухканальной конфигурации указательного кольца и указательного большого пальца (С4 и С5) подчеркивают важность оптимального размещения датчика для повышения функциональности миоэлектрических протезов. Применение МКL в классификаторе SVM, в частности при размещении одного датчика в кольце (конфигурация С3), продемонстрировало свою эффективность в достижении высокой точности классификации даже с одним датчиком. Наблюдаемое снижение точности с увеличением количества жестов подчеркивает необходимость комплексного извлечения признаков и оптимизации классификатора для сложного анализа сигналов ЭМГ. Эти результаты в совокупности открывают путь к прогрессу в области миоэлектрических протезов, подчеркивая необходимость в усовершенствованных конфигурациях датчиков и методологиях машинного обучения для повышения точности распознавания жестов.

Вклад авторов: концептуализация, LC, SH, KBM, JA и HR; Методология, LC, SH, KBM, JA и HR; Программное обеспечение, LC и SH; Валидация, LC, SH, KBM и HR; Формальный анализ, LC, SH, JA и HR; Расследование, LC, SH, KBM, JA и HR; Ресурсы, KБM, JA и HR; Курирование данных, LC, SH, KBM и HR; Письмо — первоначальный проект, LC, SH, KBM, JA и HR; Написание — рецензирование и редактирование, LC, SH, KBM, JA и HR. Все авторы прочитали опубликованную версию рукописи и согласились с ней.

Финансирование: Данное исследование финансировалось Фондом больницы Гленроуз и компанией Mitacs, номер гранта: IT36690.

Заявление Институционального наблюдательного совета: Исследование было проведено в соответствии с Хельсинкской декларацией и одобрено Институциональным комитетом по этике Университета Альберты (AB T6G 2N2, одобрено 25 апреля 2022 г.).

Заявление об информированном согласии: все участники подписали форму согласия, процедура была одобрена Советом по этике исследований Университета Альберты, номер заявки: Pro00117863.

Заявление о доступности данных: данные доступны по запросу.

Конфликты интересов: Авторы заявляют об отсутствии конфликта интересов.

Рекомендации

- 1. Макдональд, СL; Уэсткотт-Маккой, С.; Уивер, MR; Хаагсма, Дж.; Картин, Д. Глобальная распространенность травм несмертельных конечностей ампутация. Протез. Ортот. Межд. 2021, 45, 105–114. [Перекрестная ссылка] [ПабМед]
- 2. Ефанов Ю.; Чилоэмба, Б.; Изадпанах, А.; Харрис, П.; Данино, М. Обзор полезностей и затрат на лечение ампутаций верхних конечностей с помощью васкуляризированной композитной аллотрансплантации по сравнению с миоэлектрическими протезами в Канаде. JPRAS Open 2022, 32, 150–160. [Перекрестная ссылка] [ПабМед]
- 3. Руководство пользователя Hero Arm Open Bionics. Доступно онлайн: https://openbionics.com/hero-arm-user-guide/. (доступ 9 декабрь 2023 г.).
- 4. bebionic |Оттобок США. Доступно онлайн: https://www.ottobockus.com/prosthetics/upper-limb-prosthetics/solution-overview/ бебионическая рука/ (по состоянию на 9 декабря 2023 г.).
- 5. Пердеман, Б.; Боэр, Д.; Виттевен, Х.; Херменс, Х.; Страмиджиоли, С.; Ритман, Х.; Вельтинк, П.; Мисра, С. Миоэлектрические протезы предплечья: современное состояние с точки зрения пользователя. Дж. Реабилит. Рез. Дев. 2011, 48, 719–738. [Перекрестная ссылка] [ПабМед]
- 6. Корделла, Ф.; Чианчио, Алабама; Саккетти, Р.; Давалли, А.; Катти, АГ; Гульельмелли, Э.; Золло, Л. Обзор литературы о потребностях верхних Пользователи протезов конечностей. Передний. Неврология. 2016, 10, 209. [CrossRef] [ПабМед]
- 7. Гитанджали, П. Миоэлектрический контроль протезов рук: современный обзор. Мед. Приборы 2016, 9, 247–255. [Перекрестная ссылка] [ПабМед]

Электроника 2024, 13, 3072 12 из 12

8. Таваколи, М.; Бенусси, К.; Лопес, Пенсильвания; Осорио, LB; де Алмейда, Австралия Надежное распознавание жестов рук с помощью двухканального носимого браслета EMG с поверхностью и классификатора SVM. Биомед. Сигнальный процесс. Контроль. 2018, 46, 121–130. [Перекрестная ссылка]

- 9. Палковский А.; Редларски, Г. Основная классификация жестов рук на основе поверхностной электромиографии. Вычислить. Математика. Методы Мед. 2016, 2016, 6481282. [CrossRef] [ПабМед]
- 10. Ли, К.Х.; Мин, JY; Бьюн, С. Классификация жестов рук и пальцев на основе электромиограммы с использованием искусственных нейронных сетей.

 Датчики 2021. 22. 225. [СтоssRef] [ПабМед]
- 11. Махсан Р.; Ибрагими, Мичиган; Халифа О.О. Распознавание жестов рук на основе сигналов электромиографии (ЭМГ) с использованием искусственной нейронной сети (ИНС). В материалах 4-й Международной конференции по мехатронике 2011 г.: Интегрированная инженерия для промышленного и социального развития, ICOM'11 Материалы конференции, Куала-Лумпур, Малайзия, 17–19 мая 2011 г. [CrossRef]
- 12. Киса, Д.Х.; Оздемир, Массачусетс; Гурен, О.; Акан, А. Классификация жестов рук на основе ЭМГ с использованием временных рядов разложения эмпирического режима и глубокого обучения. В материалах Конгресса медицинских технологий ТІРТЕКNО 2020 Tip Teknolojileri Kongresi 2020 , ТІРТЕКNО 2020, Анталья, Турция, 19–20 ноября 2020 г. [CrossRef]
- 13. Датчик мышц MYOWARE® 2.0. Доступно онлайн: https://myoware.com/products/muscle-sensor/ . (по состоянию на 9 декабря 2023 г.). 14. дель Торо, Сан-Франциско; Вэй, Ю.; Ольмеда, Э.; Рен, Л.; Гуоу, В.; Диас, В. Валидация недорогой системы электромиографии (ЭМГ) с помощью
 - Коммерческое и точное устройство ЭМГ: пилотное исследование. Датчики 2019, 19, 5214. [CrossRef] [ПабМед]
- 15. Хейвуд, С.; Пуа, Ю.Х.; Макклелланд, Дж.; Гейгл, П.; Рахманн, А.; Бауэр, К.; Кларк, Р. Недорогая электромиография проверка на соответствие коммерческой системе с использованием как ручных, так и автоматических пороговых значений времени активации. Дж. Электромиогр. Кинезиол. 2018, 42, 74–80. [Перекрестная ссылка] [Па6Мед]
- 16. Курниаван, СР; Памунгкас, Д. МЙО. Датчики наручных повязок и алгоритм нейронной сети для управления ручным роботом. В материалах Международной конференции по прикладной инженерии 2018 г., ICAE 2018, Батам, Индонезия, 3–4 октября 2018 г.
- 17. Мао, З.-Х.; Ли, Х.-Н.; Склабасси, Р.Дж.; Сунь М. Информационная емкость большого и указательного пальцев при общении. IEEE Транс. Биомед. англ. 2009, 56, 1535–1545. [Перекрестная ссылка] [ПабМед]
- 18. Хиоки, М.; Кавасаки, Х. Оценка углов суставов пальцев по sEMG с использованием нейронной сети, включая коэффициент временной задержки и Pekyppeнтная структура. ISRN Peaбилитация. 2012, 2012, 604314. [CrossRef]
- 19. Эксперимент: Классификация сигналов. Доступно онлайн: https://backyardbrains.com/experiments/RobotHand. (доступ 9 декабрь 2023 г.).
- 20. Галян, IFJ; Абуэленин З.М.; Аннамалай, Г.; Капила, В. Гауссов сглаживающий фильтр для улучшения моделирования сигналов ЭМГ.

 В области обработки сигналов в медицине и биологии: новые тенденции в исследованиях и приложениях; Шпрингер: Чам, Швейцария, 2020 г.; стр. 161–204.
- 21. Харамильо-Янес, А.; Беналькасар, Мэн; Мена-Мальдонадо, Э. Распознавание жестов рук в реальном времени с использованием поверхностной электромиографии и машинного обучения: систематический обзор литературы. Датчики 2020, 20, 2467. [CrossRef] [ПабМед]
- 22. Ткач Д.; Хуанг, Х.; Куикен, Т.А. Исследование стабильности характеристик во временной области для распознавания электромиографических образов. Дж. Нойроенг. Реабилитация. 2010, 7, 21. [CrossRef] [ПабМед]
- 23. Хайруддин И.М.; Сидек, С.Н.; Маджид, АРРА; Разман, МАМ; Пузи, А.А.; Юсоф, Х.М. Классификация намерения движения с помощью моделей машинного обучения: выявление существенных особенностей ЭМГ во временной области. ПирДж Компьютер. наук. 2021, 7, e379. [Перекрестная ссылка] [ПабМед]
- 24. Томашевский Дж.; Амарал, Т.; Диас, О.; Волчовский, А.; Куржинский, М. Классификация сигналов ЭМГ с использованием нейронной сети с AR коэффициенты модели. Учебник МФБ. Том. 2009, 42, 318–325. [Перекрестная ссылка]
- 25. Она, К.; Луо, З.; Мэн, М.; Сюй, П. Классификация моделей ЭМГ на основе множественного ядра обучения на основе SVM для контроля нижних конечностей. В материалах 11-й Международной конференции по управлению, автоматизации, робототехнике и зрению, ICARCV 2010, Сингапур, 7–10 декабря 2010 г.; стр. 2109–2113. [Перекрестная ссылка]
- 26. Одейеми Дж.; Огбейеми, А.; Вонг, К.; Чжан В. Об автоматическом захвате объектов интеллектуальными протезами рук с использованием машинного обучения. Биоинженерия 2024, 11, 108. [CrossRef] [ПабМед]
- 27. Авилес, М.; Санчес-Рейес, Л.-М.; Фуэнтес-Агилар, RQ; Толедо-Перес, округ Колумбия; Родригес-Ресендис, Дж. Новая методология классификации движений ЭМГ на основе SVM и генетических алгоритмов. Микромашины 2022, 13, 2108. [CrossRef] [ПабМед]
- 28. Фахардо, Ж.М.; Гомес, О.; Прието, Ф. Классификация жестов рук ЭМГ с использованием ручных и глубоких функций. Биомед. Сигнальный процесс. Контроль. 2021. 63. 102210. [CrossRef]
- 29. Аббаспур, С.; Линден, М.; Голамхоссейни, Х.; Набер, А.; Ортис-Каталан, М. Оценка алгоритмов распознавания на основе поверхностной ЭМГ для декодирования движений рук. Мед. Биол. англ. Вычислить. 2020, 58, 83–100. [Перекрестная ссылка] [ПабМед]

Отказ от ответственности/Примечание издателя: Заявления, мнения и данные, содержащиеся во всех публикациях, принадлежат исключительно отдельному автору(ам) и участникам(ам), а не MDPI и/или редактору(ам). MDPI и/или редактор(ы) не несут ответственности за любой вред людям или имуществу, возникший в результате любых идей, методов, инструкций или продуктов, упомянутых в контенте.





Статья

Улу чшение полезност и данных при сохранении конфиденциаль ност и данных о мест оположении Сбор с помощью адапт ивного разделения по сет ке

Чонву к Ким



Факуль тет компь ют ерных наук, Университет Санжён, Сеул 03016, Республика Корея; įkim@smu.ac.kr

Аннотация: Широкая дост у пность у стройст в с поддержкой GPS и дост ижения в област и технологий позиционирования значитель но облег чили сбор данных о мест оположении поль зователей, что сделало их бесценным акт ивом в различных от раслях. В резу ль татерастет спрос на сбор и обмен эт ими данными. Учиты вая конфиденциальный характер информации о мест оположении поль зователя, были предприняты значительные у силия для обеспечения конфиденциальности, при этом схемы, основанные на дифференциальной конфиденциальности (DP), стали на иболее предпочтительным подходом Однако эт и методы обычно представляют мест оположение поль зователей в равномерно разделенных сетках, которые часто неточно отражают истинное распределение поль зователей в пространстве.
Поэтому в этой статьемы представляем новый метод, который адаптивно настраивает сетку в режиме реального времени во время сбораданных, темсамым представляя поль зователей в этих динамически разделенных сетках, чтобы повысить полезность собранных данных. В частности, нашметод напрямую фиксиру ет распределение поль зователей во время процесса сбораданных, у страняя необходимость полагаться на уже сущест вующие данные о распределении поль зователей. Резу льтаты экспериментов с реальным на борами данных показывают, что предложенная схема значитель но повышает полезность собранных данных о местоположении по сравнению с сущест вующимиметодом

Ключевы е слова: конфиденциаль носты местоположения; распределение плотности; дифференциальная конфиденциальносты; геонеот личимосты



Образеццит ирования: Ким Дж. Улу чшение да ны х
Ут илит а для сбора да ны х о мест оположении с
сох ра нениемконфиденциаль ност и с помощь ю
адапт ивного разделения сет ки. Элект роника 2024,
13, 3073. https://doi.org/10.3390/
э лект ро ника 13153073

Ака демические редакт оры: Свапнонил Рой и Гошэн Сюй

Пост у пила: 27 ию на 2024 г.
Пересмот рено: 27 ию ла 2024 г.
Приня т о: 29 ию ла 2024 г.
Опу бликова но: 3 авгу ст а 2024 г.



Копирайт: © 2024 авт ора.

Лиценвиат МDPI, Базель, Цвейцария.

Этастатья находится воткрытомдоступе.
распространяется наусловиях и
условия Creative Commons

Лиценвия суказаниемавторства (СС

BY) (https://creativecommons.org/licenses/by/

1. Введение

Распрост ранение у стройст в с поддержкой GPS и последние дост ижения в технология х позиционирования у прост или сбор данных о мест оположении поль зоват елей, что сделало их ценны макт ивом для различных сект оров. Эг и данны е играют важну ю роль в таких област ях, как персонализированны й маркет инг, а нализ трафика в реаль ном времени, рекомендации и т. д. Например, а нализ трафика в реаль ном времени исполь зу ет данные о мест оположении для опт имизации транспортных пот оков, у мень шения заторов и у лу чшения навигационных системдля более э ффект ивного передвижения. [1,2]. Кроме того, рекомендации по у слугам ресторанами мероприя тия мна основе мест оположения предоставляют поль зоват еля макт у аль ные и своевременны е предложения, у лу чшая их общий опыт [3,4]. В резу ль тате спрос на сбор и обмен данны ми о мест оположении поль зоват елей продолжает раст и.

Данные о мест онахождении поль зователя я вляются конфиденциальным, поскольку они содержат личную информацию, такую как домашний адрес или адрес компании, записи о посещении больницы и даже полит ическую принадлежность [5–7]. На пример, собирая и анализиру я информацию о мест оположении посет ит елей в большом крыт ом торговом центре, можно получить конфиденциальные данные, такие как их модели совершения покупок. Крометого, данные о мест оположении можно сопоставить с другими наборами данных, чтобы сделать еще более точные выводы обобразе жизни и выборе человека [8]. Например, частые посещения определенных видов предприятий или мест могут у казывать на конкретное состояние здоровья, хобби или даже религиозные обряды. В результате неизбирательный сбор данных о мест оположении вызывает серь езные проблемы с конфиденциальностью. Следовательно, были предприняты значительные у силия для защиты конфиденциальности данных о мест оположении пользователей при обработ ке таких данных.

Посколь ку дифференциаль ная конфиденциаль ность (DP) [9,10] сталастандартомде-факто для обработки конфиденциаль ных персональ ных данных, были предприняты значитель ные у силия по его применению к данны мо мест оположении. В результате было предложено множест во методов на основе DP для сбора, обработки и анализаданных о мест оположении с сохранениемконфиденциаль ности. Многие из этих подходов представляют данные о мест оположении поль зователя с помощью сеток, где весь доменравномерно разделен на непересекающиеся части.

Элект роника 2024, 13, 3073

сетки, а мест оположение поль зователя представлено сеткой, в которой находится его фактическое положение [11–14]. Хотя представление мест оположения поль зователя с исполь зованиемравномерно разделенных сетокя вляется простым оно не у читы вает фактическое распределение поль зователей в пространстве. Этот подход часто приводит к снижению полезност и собранных данных о мест оположении, посколь ку предполагается, что поль зователи равномерно и равномерно распределены по территории. Однако это не так в боль шинстве реальных сценариев, где некоторые област и более плотные, чемдру гие. Например, в городской среде в центре города может быть высокая концентрация поль зователей, а в пригороде — мень шая плотность. Это несоответствие может негативно повлиять на точность и эффективность последующих анализов. Поэтому для у лучшения исполь зования данных и повышения производительности этих приложений необходимы более сложные представления в виде сетки, соответствующие реальному распределению поль зователей.

Сущест вующие решения предполагают наличие предварительной информации о распределении пользователей, обычно получаемой из исторических данных. Однакотакие исторические данные не всегдамогут быть доступны для многих приложений. Что еще более важно, предварительная информация о распределении пользователей, полученная наоснове исторических данных, может не соответствовать текущему распределению, поскольку ономожет меняться современемили вответ наособые социальные события. Например, крупные события, такие как фестивали, могут кардинально изменить модели и плотность передвижения пользователей, делая исторические данные устаревшими или вводящими в заблуждение [15]. Поэтому предпочтительном новенно извлекать информацию о распределении пользователей во время сбора данных и соответствующимобразомадаптивно корректировать сетку.

Вэтой стать е мы предлагаемновый метод, который одновременно извлекает распределение пользователей и адаптивно настраивает сетку в режиме реального времени во время сбора данных о местоположении. В клад этой работы можно резю мировать следующим образом

Во-первых, мы представля емметодэ ффективного расчета распределения пользователей во время сбора данных о местоположении на основе DP. Этот подход позволя ет э ффективно отслеживать распределение пользователей в режиме реаль ного времени и адаптировать ся к

динамическимиз менения м в поведении поль зоват елей. • Затем мы предлагаем методадапт ивной настройки сетки, чтобы максимиз ировать полез ность собранных данных о местоположении в рамках DP. Эта адаптивная корректировка сетки предназ начена для повышения детализации и актуаль ности данных, гарантиру я, что наиболее важны ми густонаселенны мрайонам будет от дан приоритет, тем самы мулучшая общее

качест во и применимост ь данных. • Мы оценили производитель ност ь предложенных алгоритмов, использу я реальны
Результаты оценки показали, что предложенная схемазначительно повышает полезность собранных
данных о мест оположении по сравнению с сущест вующими мет одами. Ост альная часть

стать и организована следу ю щимобразом В разделе 2 рассмат риваются соот ветст вующие работы. В разделе 3 мы предоставля емсправочну ю информацию. В разделе 4 мы представля емновый метод, который одновременно извлекает распределение поль зоват елей и адаптивно корректиру ет сетку в режиме реаль ного времени во время сбора данных о местоположении. В разделе 5 мы эксперименталь но оцениваемпредлагаемый подход на реальных наборах данных. Наконец в разделе 6 представлены нашивыводы.

2. Сопутствующая работа

Бы ло разработ а но множест во мет одов на основе DP для сбора, обработ ки и а на лиза данны х о мест оположении с сох ранением конфиденциаль ност и. В э т омразделе мы даем крат кий обзор э т их мет одов.

Локаль ная дифференциаль ная конфиденциаль ность (LDP) — это вариант DP, в котором каждый пользователь индивиду аль но изменя ет свои конфиденциаль ные данные, прежде чемпередать их на сервер. Кими Янг [12] предлагают подход к агрегированию данных на основе LDP, предназначенный для сбора данных о местоположении внутри помещений с у четомрабочей нагрузки, обеспечивая при этом конфиденциаль ность пользователей. Их методопределя ет оптимальную стратегию кодирования и искажения данных в рамках LDP, чтобы минимизировать общую ощибку оценки для данной рабочей нагрузки. LDPTrace [14] предназначен для синтетического генерирования локально дифференциальных частных данных отраекториях. В этомметоде информация о местоположении пользователя собирается с помощью LDP для обеспечения конфиденциальности, а затемэти искаженные данные используются для создания синтетических траекторий. Кими др. [3] представляют метод рекомендации следующей точки интереса, используя данные о местоположении, собранные в рамках LDP

Элект роника 2024, 13, 3073 3 из 15

Метрическая дифференциаль ная конфиденциаль ность (МDP) расширя ет стандартную структуру дифференциаль ной конфиденциаль ност и для обработ ки данных с помощь ю вст роенных мет рических или дист анционных мер [16]. Эт о расширение особенно полезно для данных о мест оположении. Гео-неот личимост ь (Geo-Ind) — э т о специфическое применение MDP, разработ анное для у слуг, основанных на мест оположении [11,17,18]. Плат формы Mobile Crowdsensing (MCS) част о исполь зу ют Geo-Ind для сбора информации о мест оположении от работ ников и назначения задач с сохранениемконфиденциаль ност и. Ван и др. [19] бы л первым, кто исполь зовал Geo-Ind для защиты конфиденциаль ност и мест оположения работ ников в процессе MCS. Предложенная ими структу равключает три шага: во-первых, сервер MCS генериру ет функцию, у довлет воряю шую Geo-Ind. Далее каждый работ ник загружает эту функцию, скрывает свое истинное мест оположение и загру жает скрыт ое мест оположение на сервер. Наконец, сервер МСS назначает задачи работ никамна основе запутанной информации о местоположении. В [20] исследуется защита конфиденциаль ности местоположения в MCS на базе транспортных средств, где дорожная картамоделиру ется как взвешенный ориент ированный граф с мест оположения мизадач и работ ников в видет очек на графике. А вт оры предлагают схему запутывания на основе механизма оптимизации, которая обеспечивает запутывание местоположения посредст вомвероя т ност ного распределения по графу , у довлет воря ю щего Geo-Ind. Джин и др. [21] предлагает ориент ированную на пользователя структуру торговликонфиденциальностью местоположения для MCS. Следуя концепции Geo-Ind, они разрабаты вают механизм запуты вания местоположения, который позволя ет каждому работнику вероятностно скрывать свое истинное местоположение, используя свой собственный бю джет конфиденциаль ност и. Чжан и др. [13] представля ет метод запутывания, который позволя ет Geo-Ind собирать информацию о местоположении от работ ников МСS. Ху анг и др. [22] предлагают схему мониторинга шу ма на основе MCS, обеспечиваю шу ю конфиденциаль ность, при кот орой сервер пу блику ет задачи, а работники сообщают о нарушенных местоположения х и у ровнях шу мав рамках DP. Каждый работник сот ру дничает с маст ером т щат ель но выбранны миз числа работ ников одной гру ппы, для дост ижения Гео-Инд на у ровне гру ппы. Чжао и др. [23] исследовали защит у конфиденциаль ност и мест онахождения от дель ны х лиц в конт екст е а на лиза геогра фического на пра вленного распределения сообщест ва. Они определили информацию о сообщест ве с помощь ю ковариационной мат рицы и инт егрировали ее в предложенну ю неот личимость геоэ ллипса на основе Geo-Ind. Эт а неразличимость геоэ ллипса обеспечивает измеримы е гарант ии конфиденциаль ност и для мест в прост ранст ве Махаланобиса. Юи др. [24] по дчеркну ли недост ат ки су щест ву ющих мех анизмов запутывания местоположения на основе Geo-Ind, особенно когда поль зователи последоват ель но деля т ся своиммест оположениемс несколь кими пост авщиками LBS в т ечение длит ель ного перио да времени. Чт обы решит ь эту проблему, они представили PrivLocAd, систему, которая использу ет профилирование мест оположения для создания запутанных мест оположений, т емсамы мзащищая конфиденциаль ность пользователей от мультиплатформенных состя зательных атак. Чжао и др. [25] предст авили нову ю концепцию конфиденциаль ност и, называему ю вект орной неот личимост ь ю, кот орая основана на G Они разработ али чет ы ре мех анизма для дост ижения неот личимост и вект оров, исполь зу я как распределение Лапласа, так и равномерное распределение. Мендес и др. [26] исполь зовали скорость поль зоват еля и частоту от четов для из мерения корреля ции между мест оположения ми. Они расширили Geo-Ind, чтобы у лу чшить сохранение конфиденциаль ност и в сценария х непреры вной онлайн-от чет ност и. В част ност и, они представили систему Geo-Ind. у читы вающую скорость. которая автоматически балансиру ет конфиденциаль ность и полезность на основе скорости пользователя и част от ы от чет ов о мест оположении.

EGeoIndis [27] — это система защиты конфиденциаль ностиместоположения транспортных средств, предназначенная для оценки плотности трафика. Он использу ет Geo-Ind для защиты конфиденциаль ности местоположения транспортных средств во время процесса оценки плотности трафика. В [28] авторы предложили метод, основанный наглу бокомобу чении, для оценки распределения плотности с использованиемданных о местоположении, собранных с по Чен и др. [29] разработ али метод создания карты у язвимости к COVID-19 с использованием распределения плотности у частников-доброволь цев с симптомами COVID-19. Они используют Geo-Ind для сбораданных о местонахождении у частников с соблюдением конфиденциальности и обеспечения конфиденциальности конфиденциальной медицинской информации. Ф атализаде и др. [30] представляют основу для внедрения Geo-Ind в помещения х. Предлагаемая структу рарассматривает двасценария применения Geo-Ind, сообщая поставщику услугопределения местоположения запутанную точку, которая у довлетворя ет требования мDP.

Предлагаемы й в э т ой ст ать е подход исполь зу ет Geo-Ind, кот оры й я вля ется репрезентат ивной модель ю в област и сбора данны х о мест оположении с сох ранением конфиденциаль ност и. Однако предлагаемы й подход от личает ся от дру гих методов, основанны х на Geo-Ind, по несколь кимпричинам Во-первы х, су щест ву ющие

Элект роника 2024, 13, 3073 4 из 15

методы обычно полагаются на наличие исторических данных для определения распределения пользователей, что представляет собой серь езные проблемы. Исторические данные не всегдамогут быть доступными или актуальными, что приводит к неточным выводамо распределении пользователей. Во-вторых, большинство существующих методов используют статические структуры сетки, в результате чего получается фиксированное представление, не учиты вающее динамическое перемещение пользователей. Напротив, предлагаемый методустраняет эти ограничения засчет адаптивной настройки сеток в режиме реального времени во время сбораданных. Эта динамическая корректировка фиксирует текущее распределение пользователей, не полагая сь на исторические данные, темсамы мповышая полезность собранных данных.

3. Преды ст ория и пост а новка проблемы

Вэт омразделе мы приводим необходиму ю основу для этой стать и и форму лиру емпроблему, рассмат риваему ю в этой стать е

3.1. Преды ст ория

Недавно DP стал факт ическимстандарт омобработ ки данных с сох ранениемконфиденциаль ности. DP основан на формаль номматемат ическомопределении, которое обеспечивает вероя тностну ю гарантию конфиденциаль ности от злоу мы шленников с произволь ны ми базовы мизнания ми [9]. Это гарантиру ет, что злоу мы шленник не сможет с вы сокой степень ю достоверности определить, включен ли данный человек в распространя емы е данные. DP формаль но определя ется как [9,10]:

Определение 1. (є-DP) Рандомизированный алгорит мА у довлет воря ет є-DP, если и толь ко если для (1) любых двух соседних наборов данных, D1 и D2, и (2) любого выхода О из А выполня ется следующее:

$$Pr[A(D1) = O] e^{\epsilon} \times Pr[A(D2) = O]. (1)$$

Два на бора данных, D1 и D2, считаются соседними, если они от личаются толь ко одной записью.

Приведенное вы ше определение у казывает нато, что для любого вы вода Азлоу мышленник с любы мобъемомбазовых знаний не может надежно определить, был ли D1 или D2 входны ми данны ми для А. Параметре, известный как бюджет конфиденциаль ности, регу лирует у ровень конфиденциаль ности: мень ше єзначения обеспечивают более силь ну ю защиту конфиденциаль ности, но добавляют к резу льтату боль ше шу ма, тогда как более вы сокие значения є обеспечивают более слабую защиту конфиденциаль ности с мень шимколичест вомшу ма.

Было несколь ко предложений применить концепцию DP для защиты данных о местоположении. Вэтой стать е мы использу емGeo-Ind, концепцию, основанную нахорошо зарекомендовавшей себя структу ре DP и признанную стандартным определением конфиденциальности для защиты данных о местоположении вслужбах, основанных наместоположении [11,17,18]. Помимо данных о местоположении, Geo-Ind также используется для сборадругих типов данных, таких как текстовые микроданные, в соответствии с требования ми DP [31,32].

Geo-Ind формаль но определя ет ся следующимобразом

Определение 2. (є-Geo-Ind) Рассмот рим X как набор возможных мест оположений поль зоват елей, а Y как набор сообщаемых мест оположений, кот оры е обы чно считают ся равными. Пусть К — рандомизированный механизм, кот оры й генериру ет искаженное мест оположение на основе ист инного мест оположения поль зоват еля. Рандомизированный механизм К у довлет воря ет є-Geo-Ind тогда и толь ко тогда, когда следующее у словие выполня ет ся для (1) всех x1, x2 — X и (2) лю бого выходного мест оположения у Y:

$$K(x1)(y) = e \times K(x2)(y), r \neq d(x1, x2)$$
 (2)

соот вет ст ву ет расст оя нию между х1 и х2.

Су щест ву ет два основных мет ода реализации Geo-Ind: мех анизмЛапласа и мат ричны й мех анизм Хорошо извест но, что мат ричны й мех анизмболее э ффект ивен, чеммет од Лапласа, при наличии априорной информации о распределении поль зоват елей, кот ору ю можно полу чить из дост у пных исторических данных [11]. Такая повышенная э ффект ивность обу словленатем, что мех анизмна основе мат рицы включает информацию о предваритель номраспределении при изменении ист инного мест оположения поль зователей. В резу льтате распределение возму щенных мест оположений, собранное с исполь зованиеммат ричного мех анизма, более близко приближает ся к ист инному распределению, чемраспределение, полу ченное с исполь зованиеммех анизма. Лапласа.

Элект роника 2024, 13, 3073 5 из 15

В мат ричноммех а низ ме пространство сначала разбивается на набор сеток, а затем сервер сбора данных вычисля ет мат рицу обфу скации М по эт имсет кам которая у довлет воря ет е-Geo-Ind. Эта мат рица затем распространя ется среди поль зователей. В последствии поль зователи искажают данные о своем место положении в соот ветствии с вероя тностя ми, заложенны ми в М, и сообщают серверу обискаженном место положении в место своих истинных данных. В литерату ребы ло предложено несколь ко подходов к вы числению мат рицы обфу скации, у довлет воряющей е-Geo-Ind [11,13,14,32,33]. Однако отметим, что метод, предложенный в данной статье, я вляется достаточно общим чтобы его можно бы ло применить к любому матричному механизму.

3.2. Пост ановка задачи

Пусть U = {u1, u2, · · · , uk} — набор поль зоват елей, кот оры е согласились предоставить серверу информацию о своем мест оположении. Однако поль зоват ели не полность ю доверя ют серверу, и поэт ому вмест о предоставления истинной информации о мест оположении каждый поль зоват ель предоставля ет искаженную (и, следоват ель но, сох раняющую ю конфиденциаль ность) информацию о мест оположении, кот орая у довлетворя ет с-Geo-Ind. Предположим, что вся область разбита на непересекающиеся сетки, и пусть G — множест во эт их сеток. Мест оположение каждого поль зоват еля затемпредставля ется сеткой в G, кот орой принадлежит его/ее

Проблема, рассмат риваемая вэтой статье, заключает ся в сборе высокополезных данных о местоположении при одновременной защите конфиденциальност и местоположения пользователей с помощью є-Geo-Ind. Сущест вующие методы либо используют статическое разделение по сетке, которое не адаптирует ся к изменения мвраспределении пользователей в реальном времени, либо полагают ся на у же сущест вующие данные о распределении пользователей, которые могут быть недоступны или неточны в сценариях реального времени. Чтобы у странить эти пробелы, мы предлагаем новый метод разделения адаптивной сетки, который динамически корректирует сетку в процессе сбора данных о местоположении. В частности, предлагаемый метод напрямую фиксирует распределение пользователей во время сбора данных, у страня я необходимость в у же существующей информации о распространении.

4. Предлагаемый мет од

На рису нке 1 предст авлен обзор предлагаемой схемы сбора данных о мест оположении с исполь зованиеме-

Geo-Ind. • Сбор искаженных данных о мест оположении от вы бранных пользователей: сервер сначала вы числя ет матрицу обфускации М по равномерно разделенны мсет ками распределя ет ее среди вы бранных пользователей, которые затемот правляют свои искаженные мест оположения обратно на сер • Оценка распределения пользователей: сервер оценивает распределение пользователей.

на основе искаженных данных о мест оположении, полу ченных от выбранных пользоват елей. • Вы числение
адапт ивно разделенных сеток. Сервер использу ет предполагаемое распределение пользоват елей для расчет а адапт ивно разделенных
сеток. • Сбор искаженных данных о мест оположении от оставших ся пользоват елей

с исполь зованиемадапт ивно разделенных сет ок:новая матрица запутывания вычисляется с исполь зованиемадапт ивно разделенных сет ок. Эт ановая матрица затемнения исполь зуется для сбораданных о местоположении остальных поль зователей.

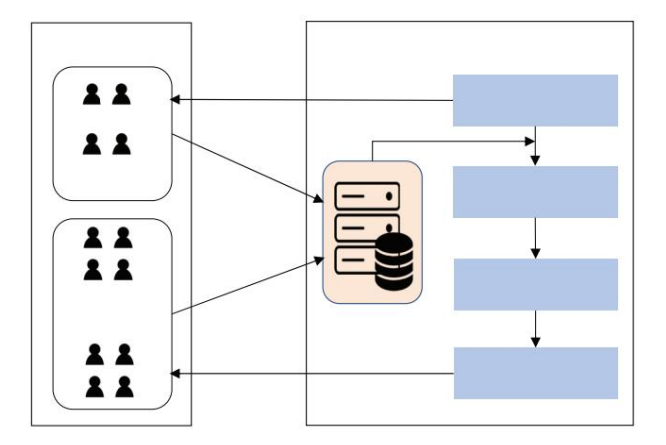


Рисунок 1. Обзор предлагаемой схемы сбораданных оместоположении с сохранением конфиденциальности.

Элект роника 2024, 13, 3073 6 из 15

В следующих подразделах мы даемподробное объя снение каждого шага.

4.1. Сбор иска женны х данны х о мест оположении от выборочных поль зоват елей

Предположим чт о вся площадь равномерно разбит а на m сет ок, G = {g1, g2, · · · , gm}.

Сервер сбора данных вычисля ет матрицу обфускации М над G. Сущест вуют различные подходы к вычислению М, которы е у довлет воряют є-Geo-Ind. В данной стать е мы исполь зу еммет од, предложенный в [13], где матрица обфускации определяется как матрица размера m × m. Каждый элемент М[i, j], который представляет вероятность того, что возмущенное местоположение gj случай но генерируется из истинного местоположения gi, определяется следующимобразом

$$M[i, j] = \frac{e^{\frac{e^{\frac{y}{2}}}{2}}}{\frac{2}{gk\epsilon G e}} (3)$$

После вы числения мат рицы за пут ы ва ния Мона распространя ется среди вы бранны х поль зоват елей, которы е затемиска жают свое ист инное мест оположение в соот ветствии с вероя тностя ми, закодированны ми в М, и сообщают обиска женноммест оположении на сервер.

4.2. Оценка распределения вероя т ност ей

После сбора искаженных данных о мест оположении вы бранных поль зователей следующимшагом бу дет оценка распределения поль зователей на основе этих данных. Для каждой сетки ді G пу сть P(gi) — вероятность того, что поль зователь находится в точке ді. Затем в этомподразделе мы оцениваем Р(gi) для всех ді G на основе вы борочных возму щенных данных о

 Γ_{J} ст $_{b}$ мест оположении. G — искаженные данные, кот орые сервер полу чает от выбранного g $_{j}$, для поя снения, мы бу демисполь зоват $_{b}$ $_{g}$ поль зоват еля. Для обозначения возму щенного мест оположения и g $_{b}$ для обозначения ист инного мест оположения. Вероя т ност $_{b}$ т ого, чт $_{b}$ $_{b}$ $_{c}$ $_$

Замет им, что P(gj | gi) = M[i, j] по определению мат рицы обфу скации. Посколь ку невозможно вы числит ь априорну ю вероя т ност ь P(gi) непосредст венно из приведенного вы ше у равнения, намнеобходимо ее аппроксимировать. Су щест ву ет несколь ко мет одов аппроксимации априорной вероя т ност и, включая вариационный вы вод [34], цепь Маркова Монте-Карло [35] и распрост ранение мат емат ического ожидания [36]. В этой статье мы использу емалгорит ммаксимизации ожидания (EM) [37] для оценки P(gi). Алгорит мЕМ особенно эффект ивен, когда вероя т ность чет ко определена, что в нашемслу чае соот вет ству ет мат рице обфу скации М.

Пусть БД представля ет собой пакет искаженных данных о местоположении выбранных пользователей. Процесс ЕМ для оценки Р(gi) для всех gi G из DB выгля дит следующимобразом

. Инициализация: параметр (т.е.априорная вероятность) инициализиру ется следующимобразом

$$P(0)(g1) = P(0)(g2) = \cdots = P(0)(gm) = \frac{1}{M}$$
 (5)

• Е-шаг: апостериорная вероятность рассчиты вается на основе теку щих параметров следующим образом

 М-шаг: парамет робновля ется с исполь зованиемт еку щих апостериорных вероя т ностей, рассчитанных на предыду щемЕ-шаге:

$$P(t+1)(gi) = \frac{g' DB P(gi |gj')}{|5A|}$$
 (7)

Элект роника 2024, 13, 3073 7 из 15

З десь |БД| представля ет количество данных в БД. После обновления априорных вероя т ностей мы выполня емшаг нормализации, чтобы гарант ировать, что су мма всех априорных вероя т ностей равна 1 следующимобразом

$$P(t+1)(gi) = \frac{\Pi(\tau + 1)(\Gamma u)}{gk \ GP(t+1)(gk)}$$
 (8)

Вышеу помянуты е Е-шаги М-шагповторяются до тех пор, покапараметр не достигнет стабильного значения или покаколичество итераций не достигнет заранее определенного порога.

4.3. Вы числение а да пт ивно разделенных сет ок

Вэт омподразделе мы представля еммет од, кот орый адапт ивно разбивает сетки на основе распределения вероят ностей (т.е. P(gi) для всех gi G), вы численного на преды ду щемэт апе. Первона чаль но предлагаемый мет од рассмат ривает все сетки в G как один кластер сетки, а затемитерат ивно разбивает этот кластер сверх у вниз, используя жадный алгоритм

Пусть GCv = {C1, C2, · · · · , C|GCv|} представляет собой на бор кластеров сетки после v-го разбиения. Предположим, что для каждого Ск GCv Grid(Ск) G обозначает множество сеток, принадлежащих кластеру Ск. Пусть п — общее количество пользователей, от которых сервер собирает данные о местоположении. Затеможидаемое количество пользователей, расположенных в сетке gi, вы числяется как Cnt(gi) = n · P(gi).

Более того, пусть MGCv — |GCv| × |GCv| матрица обфускации, у довлет воряющая є-Geo-Ind, построенная по элементам в GCv с исполь зованиему равнения (3). Расстояние между любы мидвумя кластерами, необходимое для вы числения MGCv, определяется с исполь зованием центроидов сеток, принадлежащих каждому кластеру. Затем предполагая, что поль зователи искажают свое местоположение в соответствии с вероятностями, закодированны мив MGCv, ожидаемое количество искаженных данных о местоположении, соответствующих сеткам принадлежащим CK, которы е сервер получает от п поль зователей, вы числяется следующим образом

Cntpert(Ck) =
$$Cnt(gi) \times M[j, k]$$
 (9)
 $Cj\epsilon GCv gi\epsilon grid(Cj)$

Пусть Clus() будет функцией, которая принимает сетку в качестве входных данных и выводит кластер, которому принадлежит эта сетка. Предполагая, что поль зователи равномерно распределены по сеткамвнутри каждого кластера, ожидаемая ошибка из-за Geo-Ind с GCv вы числя ется следующимобразом

3 десь size(Ck) обозна ча ет количест во сет ок, прина длежа щих кла ст еру Ck.

GCv+1 = argmax
$$3pp\Gamma \ 4$$
 $3pp\Gamma \ KB$ (11)

Дру гими словами, класт ер сет ки Ch , кот оры й обеспечивает максималь ны й коэ ффициент у мень шения ошибок, равен вы брано для разделения на следу ю щей ит ерации.

Алгорит м1 представля ет собой псевдокод для адапт ивного разделения сет ок с исполь зованием распределения вероя т ност ей поль зоват елей. Алгорит мпринима ет на вход на бор сет ок G и распределения вероя т ност ей P(g1), · · · · , P(gm) и вы водит на бор класт еров сет ок GC. В ст роке 1 инициализиру ет ся GCcur, содержащий один класт ер, включающий все сет ки в G. Зат емв ст роке 3 ErrGCcur вы числя ет ся с исполь зованием GCcur. Между ст роками 4 и 12 алгорит мидент ифициру ет класт ер Ch GCcur, кот оры й да ет максималь ны й вы игрыш по у мень шению ошибок. Эт от процесс повт оря ет ся до т ех пор, пока коэ ффициент у мень шения ошибок не станет боль ше 0. На конец, алгорит мвозвраща ет GCcur.

Элект роника 2024, 13, 3073

```
Алгорит м1: Псевдокод для ввода адапт ивного разделения
   сет ки: G = \{g1, \dots, gm\} и P(gi) для всех gi = G, выход:
   на бор кла ст еров сет ки GC
 1. Инициа лиз ировать
 GCcur: 2 по ка правда, делаю
        ErrGCcur = EstimateErr(GCcur, MGCcur);
 4
        Idx = 0, Gainbest =
                             ;для h=1
        до |GCcur| делать
             \Gamma \, \mathsf{H}_{\mathsf{popers}} = \mathsf{PartitionGrid}(\mathsf{GCcur}, \mathsf{h});
 6
 7
             ЭррГЧ = EstimateErr(ГЧку р, МГЧ
                                ErrGCcur) > Gainbest, тогда
 8
             если (ЭррГЧ
 9
                 Идкс = ч;
10
                 Gainbest = ЭρρΓ Ч
                                        ЭррГ Кку р;
11
             конец
12 конец
13
        если Gainbest > 0, то
           GCcur = GCIdx ,,,,open ra ;
14
15
        ина че
            сломаюсь
16
17 кфнец
18 конец
19 возврат GCcur:
```

Предлагаемый вэтомподразделе метод разделения адапт ивной сетки основанна распределении вероя тностей пользователей, оцененномна основе вы борочных данных. Такимобразом как и вслучае с другими методами, основанными навыборке, существует вероя тность того, что выборочные данные могут быть необъект ивными. Такие смещения могут привестиктому, что для разделения по сетке будет использовать ся нерепрезентативное распределение пользователей, что может привестик неэ ффективному секционированию. Это, в свою очередь, может отрицатель но повлиять наобщую полезность собранных данных о местоположении, посколь ку адаптивные сетки могут неточно отражать истинную плотность пользователей. Чтобы смягчить потенциальные предвзятост и и неточност и при сборе данных о распределении пользователей в реальном времени, в процессе вы борки можно у читы вать пространственные вариации. Однимизэ ффективных методов я вляется использование стратифицированной вы борки [38], которая предполагает разделение всего региона на непересекающеся субрегионы. Обеспечивая пропорциональное представитель ство каждого субрегиона в выборке, стратифицированная выборка помогает у меньшить систематическую ошибку выборки и обеспечивает болееточную оценку распределения пользователей.

4.4. Сбор данны х о возму щенноммест оположении от ост авших ся поль зоват елей с исполь зованиема дапт ивно

секционированных сеток. Новая матрица запуты вания М вычисля ется с исполь зованием адаптивно секционированного набора сеток GC, вычисленного на преды ду щемэтапе. Адаптивно разделенные сетки обеспечивают более точный и релевантный процесс запуты вания, более эффективно фиксируя динамический характер распределения поль зователей, чемстатические сетки. Кактоль ко новая матрица запуты вания вычислена, онараспространяется среди оставших ся поль зователей. Затемэти поль зователи исполь зуют обновленную матрицу, чтобы исказить данные о своемистинномместоположении, гарантируя сохранение их конфиденциаль ности в соответствии с принципами Geo-Ind. Затемзапутанные данные о местоположении от правляются обратно на сервер, где они интегрируются с ранее собранными данными от выбранных поль зователей.

5. Эксперимент ы В

эт омразделе мы сначала опишемэ ксперимент аль ную у становку. Затеммы обсуждаем результаты экспериментов.

5.1. Эксперимент аль ная

у становка Вэтомразделе мы описываемэ ксперименты, которые мы провели для оценки предлагаемого подхода. Для наших экспериментов мы использовали на бор данных траекторий такси Порто [39], который

Энект роника 2024, 13, 3073 9 из 15

состоит изтраекторий такси, состоя щих из серии координат GPS, записанных с 442 такси, работ ающих вгороде Порту, Порту галия. Мы слу чайны мобразомизвлекли 50 000 данных о местоположении изэтих траекторий, из которых 10 000 считались данными о местоположении вы бранных пользователей. Вэксперименте мы варь ировали количество сетокот 400 (т.е. сеток 20 на 20) до 10 000 (т.е. сеток 100 на 100). Вэкспериментах сообщаются результаты для следующих альтернатив: существующего метода неадаптивной сетки (NG) в [13] и метода адаптивной сетки (AG), представленного вэтой статье. Для оценки мы используемследующие метрики: • Метрика

у ровня данных измеря ет сходство между наборомданных истинного местоположения и набором данных искаженного местоположения, собранным спомощью є-Geo-Ind. Для оценки у ровня данных мы использу емкак среднюю ошибку подсчета (ACE), так и ошибку плот ности. Средня я ошибка подсчета определя ет разницу между фактическим количест вомпользоват елей numtrue(gi) и числом полу ченны миз искаженного набора данных, numpert(gi) для каждой сетки. Это рассчитано как

Ошибка плот ност и из меря ет разницу между факт ической плот ност ь ю распределения поль зоват елей и возму щенной версией, рассчит анной на основе наборов данных, собранных в рамках є-Geo-Ind. Эт а ошибка из меря ет ся как

Ошибка плот ност
$$u = |SD(D(OD), D(PD))$$
 (13)

З десь JSD() представля ет собой расхождение Дженсона-Шеннона между дву мя распределения ми из исходного набора данных о местоположении, D(OD) и из возму щенного набора данных о местоположении. D(PD).

• Метрика у ровня приложения оценивает полезность собранных данных сточки зрения приложений, которые их используют. Для этой метрики мы использу емошибку запроса диапазона, широко признанну ю меру оценки эффективност и данных о местоположении [14]. В эксперименте мы генериру емзапрос диапазона QR со случайной областью R и сравниваемколичест во результатов из исходного на бора данных о местоположении QR (OD) с результатами из искаженных на боров данных о местоположении QR (PD). Онрассчитывается как

Ошибка за проса
$$\frac{|QR(OD) - QR(PD)|}{\text{диа па 3 о на } = \max(QR(OD), 1)} \tag{14}$$

В ходе э ксперимент ов мы сгенерировали 200 за просов диа па зона и сообщили о средней ошибке за проса диа па зона.

В эксперименте использовались различные бюджеты конфиденциальности (є) в диа пазоне от 0,2 до 2,0. Бюджет конфиденциальности менее 2 обычно считается приемлемы мдля практических приложений [14]. Мы реализовали NG и AG с использованием Python 3.8, и все эксперименты проводились в среде, оснащенной процессорами Intel Xeon 5220R и 64 МБ памяти.

5.2. Полу ченные результаты

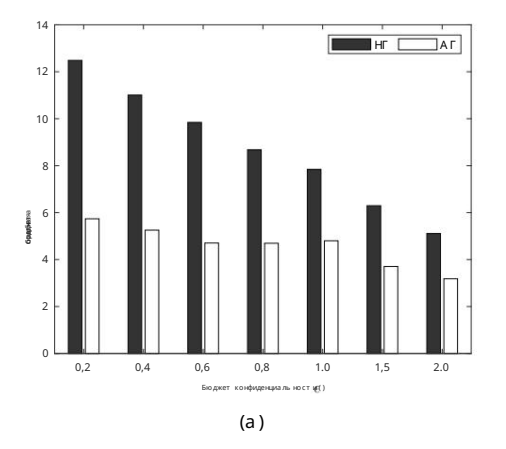
Вэтомподразделемы сначала представля емрезультаты оценки у ровня данных, а затем представля емрезуль таты оценки у ровня приложения.

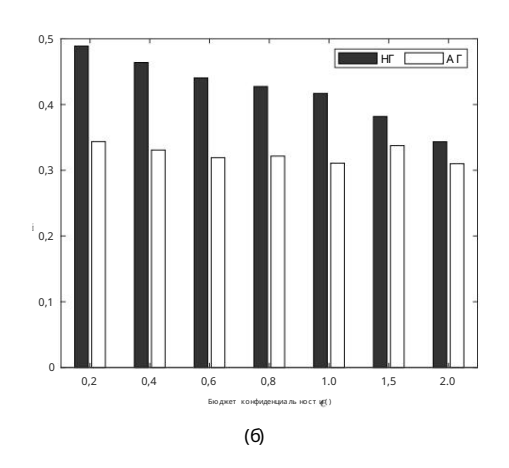
5.2.1. Оценка на у ровне данны х

Нарису нке 2 показано влия ние бюджет а конфиденциаль ност и как насреднюю ошибку подсчета, так и на ошибку плот ност и. В этомэ ксперименте бюджет конфиденциаль ност и варь иру ется от 0,2 до 2,0, а размер сетки фиксирован нау ровне 400. При у мень шении є обе ошибки у величиваются. Это связаностем, что по мере у мень шения є степень возму щения, вызванного Geo-Ind, у величивается, что приводит к у величению ошибки, что обы чно наблюдается при исполь зовании методов, основанных на DP. Как показано нарису нках, предлагаемы й метод (AG) стабиль но превосходит су щест вующий метод (NG) на всех у ровнях бюджета конфиденциаль ности. Болеетого, разрыв в производит ель ност и между этими двумя методами у величивается по меретого, как конфиденциаль н

Элект роника 2024, 13, 3073

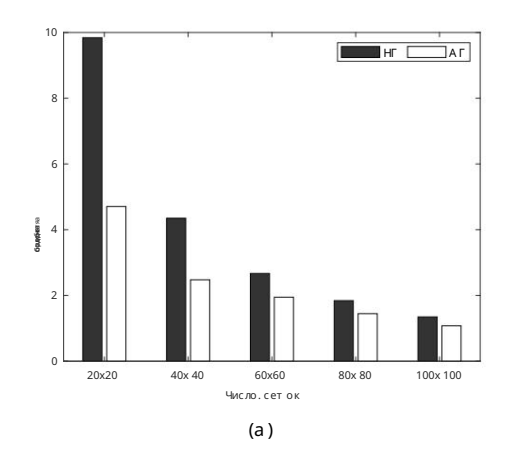
бюджет у мень шает ся, а значит и у ровень конфиденциаль ност и возрастает. Это показывает, что предлагаемый мет од более вы годен для приложений, т ребу ющих вы сокого у ровня конфиденциаль ност и, что т ипично для боль шинства приложений, обрабатывающих данные о местоположении.





Рису нок 2. Влия ние бюджет а конфиденциаль ност и на (а) среднюю ошибку подсчета и (б) ошибку плот ност и для сущест вующий мет од неадапт ивной сет ки (NG), и предлагаемы й мет од адапт ивной сет ки (AG).

Нарис. З показано влия ние количест ва сет ок на среднюю ошибку счета и ошибка плот ност и. В эт омэ ксперимент е количест во сет ок варь иру ет ся от 400 до 10 000, при эт ом бюджет конфиденциаль ност и фиксирован на у ровне 0,6. Из рису нка видно, что предлагаемый способ последоват ель но превосходит су щест ву ющий мет од для всех размеров сет ки. Более конкрет но, как видно из Как показано на рису нке, средня я ошибка счет а у мень шает ся су величениемчисла сет ок. Обрат ит е внимание, что по мере у величения количест ва сет ок количест во поль зоват елей на сет ку у мень шает ся , пот ому что обще количест во количест во поль зоват елей на сет ку у мень шает ся , пот ому что обще количест во количест во поль зоват елей фиксировано. Это, в свою очередь, у мень шает среднюю ошибку подсчет а, кот орая основана на абсолют ная разница между поль зоват еля ми, полу ченная на основе факт ических данных о мест оположении и иска женны е данны е о мест оположении. С дру гой ст ороны, с у величениемколичест ва сет ок плот ност ь ошибка, кот орая из меря ет расхождение Дженсо на-Ценно на между дву мя распределения ми из исходный на бор данны х о мест оположении и на боры из мененных данных о мест оположении у величивают ся .Это потому, что Расхождение Дженсо на-Ценно на между распределения ми и следоват ель но, на него не влия ет количест во поль зоват елей в каждой сет ке. По мерет ого как размер сет ки ст ановит ся мень ше, возму щения в данны х о казывают более вы раженнюе влия ние на распределение, в резу ль т ат е чего в более вы сокомрасхождении между исходны ми и искаженны ми на бора ми данны х .



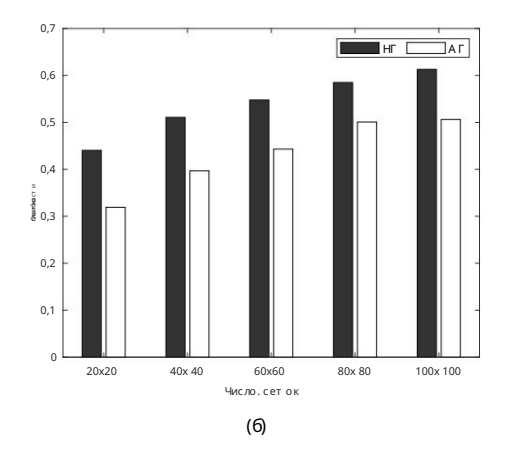


Рис. З. Влияние количест ва сеток на (а) среднюю ошибку подсчета и (б) ошибку плотност и для сущест вующий метод неадаптивной сетки (NG) и предлагаемы й метод адаптивной сетки (AG).

Результаты, представленные на рисунках 2 и 3, подтверждают, что предложенный метод позволя ет сбор данных о местоположении, которые больше похожи на исходные данные в Geo-Ind, чем существующий метод. Эти результаты подчеркивают существенные преимущества нашего подхода.

Этект роника 2024, 13, 3073

в сборе данных о мест оположении с сохранением конфиденциаль ност и. Динамически коррект иру я сет ки на основе распределения поль зоват елей в реаль номвремени в Geo-Ind, мы дост ига емболее вы сокой точност и и полезност и данных.

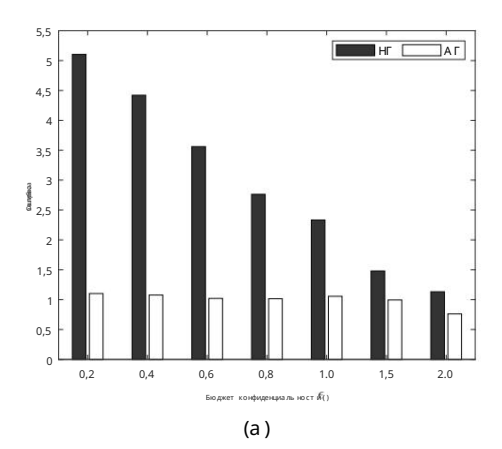
5.2.2. Оценка на у ровне приложения На рису нке 4

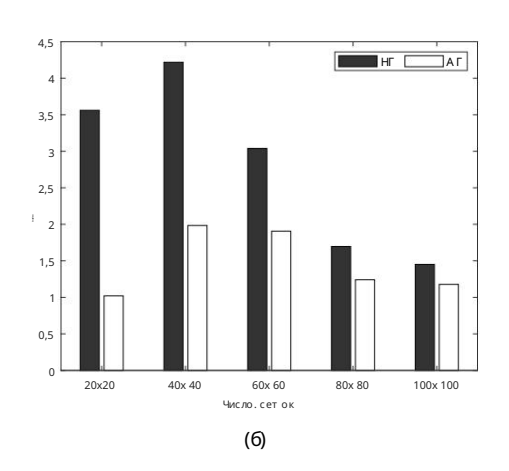
показано влия ние бюджет а конфиденциаль ност и и количест ва сет ок на ошибку запроса диапазона. На рису нке 4а размер сет ки фиксирован на у ровне 400, а на рису нке 4b бюджет конфиденциаль ност и фиксирован на у ровне 0,6. Как показано на рису нке, с у мење шением є ошибка, свя занная с су щест ву ющим мет одом резко возрастает, в то время как ошибка предлагаемого мет ода у величивает ся лишь незначитель но. Это происх одит пот ому, что предлагаемы й мет од способен собирать на боры данных о

Надежность нашего подхода при различных бюджет ах наконфиденциальность подчеркивает его эффект ивность в балансе конфиденциальност и ит очност и. Поскольку єстановится меньше, что у казывает наболее сильные гарантии конфиденциальност и, предлагаемому методу все же у дается сохранить полезность данных, что делает их более надежными для приложений, требующих точной информации о местоположении.

Более т ого, предлагаемы й мет од последоват ель но превосходит су щест ву ющий мет од на всех размерах сет ки. Эт о подтверждает, что предложенный нами мет од я вля ет ся надежны мнезависимо от количест ва сет ок. Способност ь поддерживат ь низкий у ровень ошибок за просов в различных конфигу рациях сет ки демонст риру ет адапт ивност ь и э ффект ивност ь нашего подхода. Эт а надежност ь имеет решающее значение для практ ических приложений, кот оры ет ребу ют различной дет ализации представления мест оположения поль зоват еля (т.е. количест ва сет ок) в зависимост и от т ребований приложения.

Эти экспериментальные результаты показывают, что предлагаемый метод может использоваться для широкого спектрауслуги приложений, основанных на определении местоположения, требующих разных у ровней конфиденциальности и детализации при представлении местоположения пользователя.





Рису нок 4. Влия ние (а) бю джет а конфиденциаль ност и и (б) количест васет ок наошибку запросадиапазонадля су щест ву ющего мет оданеадапт ивной сет ки (NG).

5.2.3. Оценка изменчивост и сет и и э ффект ов адапт ации к сет и Все

резу ль таты экспериментов в преды ду щих подразделах были полу чены в предположении, что у словия сет и стабиль ны. Однако в реаль ных сценариях у словия сет и могу т быть весь ма изменчивы ми и непредсказу емыми. Предлагаемый методадагт ивно разбивает сет ку на основе вы борочных данных оместоположении, собранных в процессе сбора данных оместоположении. Однако нестабиль ные у словия сет и, такие как высокая задержка в сет и, потеря пакетов и низкая пропускная способность, могу т задержать своевременный сбор этих вы борочных данных. В резу ль тате некоторые вы борочные данные могу т быть недосту пны для расчета адаптивного разделения сет ки, что может привест и к менее точному разбиеник

Вэтомподразделе для решения проблемнест абиль ных сетей мы оцениваемэ ффект ивность предлагаемого методав реальных сетевых сценариях. Вэксперименте, показанном в таблице 1, рассмат ривается сценарий, в которомнекоторые вы борочные данные о местоположении, необходимые для оценки распределения пользователей в разделе 4.2 (которые затем используются для адаптивного расчета сегментов сетки в разделе 4.3), либо теряются, либо не получены вовремя из-занестабильная сеть

Элект роника 2024, 13, 3073

такие у словия, как вы сокая задержка, пот еря пакет ов и низкая пропускная способность. Вэтом эксперименте Коэ ффициент пот ери вы борочных данных о местоположении варь иру ется от 1% до 20%, охватывая диапазонот типичного ктя желы м сет евы му словия м Вэксперименте количест во сеток у становлено равны м 400 и

боджет конфиденциаль ност и у становленна у ровне 0,6. Как показанов Таблице 1, даже несмотря на то, что у ровень потерь от обранных Данны е о мест оположении у величиваются с 1% до 20%, обе ошибки остаются стабиль ны ми с очень неболь шим у величивать. В частности, даже в тяжелых у словиях сети с у ровнемпотерь 20%,

предлагаемый методадапт ивной сетки (АG) значитель но превосходит поэффективности неадаптивную сетку (NG) метод. Эти результаты подтверждают надежность и эффективность предлагаемого метода в поддержание полезности данных в реальных сетевых сценариях сразличными у ровнями потери данных из-занестабильныму словиям сети.

Т а блица 1. Влия ние скорост и пот ери вы борочны х данны х о мест оположении на средною ошибку подсчет а и ошибку плот ност и.

		ΑΓ				. UF
Коэ ффициент пот ери вы борочны х данны х о мест	ы борочных данных оместоположении 0%		5%	10%	20%	- НГ
Средняя ошибка подсчета	4.705	4,867	4.896	4.936	5.018	9,842
Ошибка плот ност и	0,319	0,321	0,328	0,336	0,341	0,440

Предлагаемы й мет одадапт ивно настраивает сетку во время процессасбораданных о местоположении, что приводит к дополнитель ной задержке из-завычислитель ных затрат расчет адапт ивной сетки. Такимо бразом мы эксперименталь но оцениваем задержку, вносиму ю предлагаемы мметодом В таблице 2 показаны результаты задержки, вызванной адаптивной сеткой. расчет по предлагаемому методу. Вэтом эксперименте количество сеток варь ируется от от 400 до 10 000, а бюджет конфиденциаль ности фиксирован на уровне 0,6. Как показанов таблице, задержка у величивается по мере у величения размера сетки. Это связаностем что по мере у величения количествасеток количество итераций, необходимых для адаптивного разделения сеток, также у величивается. Как результат, более крупные сетки требуют боль ше вы числитель ных ресурсов, что приводит к более вы сокой задержке.

Таблица 2. За держка, вы званная вы числениема даптивной сетки.

Размер сет ки	20 × 20	40 × 40	60 × 60	80 × 80	100 × 100
Время выполнения (с)	4.10	17.41	43.12	139,56	439,56

От мет им, что хот я вы числение адапт ивной сет ки вносит дополнит ель ну ю задержку, как показано в Таблице 2, это однократ ны й процесс в рамках общего сбора данны хо мест оположении.

процеду ра. Такимобразом влия ние эт их накладны храсходов на общее время обработ ки

Сбор данны хо мест оположении ограничен. Кроме того, дополнитель ная задержка, вызванная вы числитель ны мизатратами на адапт ивное разделение сет ки, может быть у мень шена с помощь ю различны х параллель ны х вы числений.

мет оды обработ ки. В част ност и, такие мет оды, как плат формы распределенны х вы числений [40,41] и у скорение графического процессора, могу т значитель но сократ ить время вы числений, темсамы м смя г чение эт ой задержки. Распределя я рабочу ю нагру зку между несколь кими процессорами, эт и подходы могу т повы сить эффект ивность процесса адапт ивного разделения сет ки, гарант иру я анализ данны х в приложения х реаль ного времени.

6. Выводы и бу ду щая работа

В последнее время возрос спрос на сбор и распрост ранение
данные о мест оположении. Учит ы вая конфиденциаль ный характ ер информации о мест оположении поль зоват еля , значит ель ные у силия
были созданы для обеспечения конфиденциаль ност и, при эт омдифференцированные схемы, основанные на конфиденциаль ност и, поя вля ют ся как
предпочт ит ель ный подход. Однако эт и схемы обычно представля ют мест оположение поль зоват елей на
равномерно разделенные сет ки, кот орые част о нет очно от ражают ист инное распределение
поль зоват елей внут ри пространства. В эт ойстать е мы представили новый подход, кот орый динамически коррект иру ет
сет ку в режиме реаль ного времени во время сбора данных о мест оположении с помощь ю Geo-Ind, чт обы повысить полезность
собранные данные. Предлагаемый мет од фиксиру ет распределение поль зоват елей непосредственно во время сбора данных.
сбор, устраня я зависимость от у же су щест ву ющей информации о распрост ранении. Эксперименталь ный

Элект роника 2024, 13, 3073

Результаты на реальных данных подтвердили, что предложенная схемазначительно повышает полезность собранных данных о местоположении как на уровне данных, так и на уровне приложений. В частности, результаты показали, что по сравнению с существующим решением предлагаемый метод может снизить частоту ошибок до 52% в экспериментах на уровне данных и до 75% в экспериментах на уровне приложения.

Несмотря на многообещающие результаты, предлагаемый методимеет следующие ограничения.
Поскольку предлагаемый методада птивно настраивает сетку в режиме реального времени во время сбора данных, возникают дополнительные вы числительные затраты, связанные с вы числениема даптивной сетки. Эт и накладные расходы особенно значительны при использовании сетки большого размера. Таким образом будущая работа будет сосредоточена на повышении эффективност и вы числений адаптивной сетки, особенно для больших размеров сетки с большимколичест вомпользователей. Этого можно достичь засчет распараллеливания процесса разделения адаптивной сетки для у меньшения вы числительных затрат. Мы рассмот римразличные методы параллельной обработки, такие как реализация платформ распределеных вы числений, таких как Арасhe Hadoop [40] или Арасhe Spark [41], которые распределяют данные и вы числения по кластеру машин. Крометого, можно рассматривать многопоточность на одной машине и использование у скорения графического процессора для повышения эффективности. Крометого, интеграция сервисов облачных вы числений у лучшит масштабиру емость засчет предоставления динамической и масштабиру емой инфраструктуры для вы полнения адаптивного разделения сетки на больших наборь

Еще однимбу ду щимна правлениемисследований я вля ется теорет ический анализ влия ния адапт ивного разделения сетки на полезность собранных данных о местоположении. Этот анализ выя снит основные принципы адапт ивного разделения сетки и его влия ние на полезность данных, темсамы мобеспечивая более на дежну ю теорет ическу ю поддержку предлагаемого метода. Крометого, можно дополнитель но изу чить компромисс между конфиденциаль ность ю и полезность ю, чтобы опт имизировать баланс между конфиденциаль ность ю и полезность ю обудет включать разработку моделей и показателей для количест венной оценки этого компромисса в различных у словиях.

Финансирование: Это исследование финансировалось за счет исследоват ель ского грант а Университ ет а Санкё н на 2023 год (2023-А000-0119).

Зая вление о дост у пност и да нных. Исходные да нные, представленные в исследовании, находятся в открытом дост у пев Kaggle по адресу https://www.kaggle.com/c/pkdd-15-predict-taxi-service-trajectory-i. (по состоя нию на 20 ию ня 2024 г.).

Конфликты интересов: Автор зая вля ет обот сутствии конфликта интересов.

Сокращения

В данной ру кописи исполь зованы следующие сокращения:

ДП дифференциаль ная конфиденциаль ност ь ЛДП локаль ная дифференциаль ная конфиденциаль ност ь

Дифференциаль ная конфиденциаль ность показателей МDP

Гео-индия Гео-неот личимост ь

МКС Мобиль ны й крау дсенсинг ЭМ Ожидание-Максимизация JSD Дивергенция Дженсона-Ценнона

Рекоменда ции

- 1. Ван Х.; Может.; Ван, Ю, Джин, В.; Ван, Х.; Тан, Дж.; Цвя, К.; ЮДж. Прогнозирование транспортных потоков с помощью нейронного пространственно-временного графа сеть. В материалах веб-конференции, Тайбэй, Тайвань, 20-24 апреля 2020 г.; стр. 1082-1092.
- 2. Пан З.; Ляң, Ю, Ван, В.; Ю,Ю, Чжэн, Ю, Чжан Дж. Прогнозирование городского трафиканаоснове пространственно-временных данных сисполь зованием глубокого метаобучения. В материалах Между народной конференции АСМ SIGKDD по обнаружению знаний и интеллект у альному анализу данных, Анкоридж, штат Алабама, США, 4–8 апреля 2019 г.; стр. 1720–1730.
- 3. Ким Дж.С.; Ким JW; Чу нг, ЮД. Последоват ель ны е рекомендации по т очка минт ереса с локаль ной дифференциаль ной конфиденциаль ностью. Дост у п IEEE 2021, 9, 66371–66386. [Перекрест ная ссылка]
- 4. Аң Дж.; Ли, Г.; Цэяң В. NRDL: Децент рализованное изу чение предпочтений поль зователей для сохранения конфиденциальност и следующих рекомендаций РОІ. Эксперт Сист. Прил. 2024, 239, 122421. [CrossRef]
- 5. Примо, В.; Бу т е, А.; Мох т ар, СБ; Бру ни, Л. Долгий пу т ь к конфиденциаль ност и вы числит ель ного мест оположения : опрос. IEEE-сообщест во. Выж. Репет ит ор. 2019, 21, 2772-2793. [Перекрест ная ссылка]

Этект роника 2024, 13, 3073

6. Лю, Б.; Чжоу, В.; Чжу, Т.; Гао, Л.; Сян, ЮКонфиденциаль ность местоположения и ее применение: систематическое исследование. IEEE Access 2019, 6, 17606–17624. [Перекрестная ссылка]

- 7. Аль харти, Р.; Банихани, А.; Аль захрани, А.; Аль шехри, А.; Аль шахрани, Х.; Фу, Х.; Лю, А.; Чжу, ЮПроблемы конфиденциаль ност и мест оположения в пространст венном крау дсорсинге. В мат ериалах Мёжду народной конференции IEEE по элект ро/информационны мтехнология м, Рочест ер, Мичиган, США, 3–5 мая 2018 г.
- 8. Хенриксен-Балмер, Дж.; Джери, С. Атаки повторной идент ификации системат ический обзорлитературы. Межд. Ж. Инф. Менеджер. 2016, 36, 1184–1192.
- 9. Дворк, К. Дифференциаль ная конфиденциаль ность. В материалах Между народного коллоквиу мапо автоматам, я зыкам и программированию, Венеция, Италия, 10–14 июля 2006 г.: стр. 1–12.
- 10. Дворк, К.; МакШерри, Ф.; Ниссим, К.; Смит, А. Калибровка шу мапочу вствитель ности при анализе частных данных. В материалах Треть я конференция потеории криптографии, Нью-Йорк, США, 4–7 марта 2006 г.
- 11. Бордена бе, Нева да; Ха цико кола кис, К.; Пала мидесс, К. Опт имальные геонеразличимые механизмы обеспечения конфиденциальност и местоположения. В материалах конференции АСМ SIGSAC по компью терной и коммуника ционной безопасност и, Нью-Йорк, штат Нью-Йорк, США, 3-7 ноя бря 2014 г.; стр. 251–262.
- 12. КимДж.; Джанг, Б. Сбор данны х о мест оположении внут ри помещений с у чет омрабочей нагрузки с помощью локальной дифференциальной конфиденциальност и. IEEE-сообщест во. Летт. 2019, 23,
- 13. Чжан П; Ченг, Х.; Су, С.; Ван, Н. Набор рабочих на основет еррит ориаль ного охват а в у словия х географической неот личимост и. Вы числить. Сеть. 2022, 217, 109340. [CrossRef]
- 14. Ду, Ю, Ху, Ю, Чкаң З.; Фанг, З.; Чең, Л.; Чкэң, Б.; Гао, ЮLDPTrace: Синтезлокально дифференциально частных траекторий. В материалах Фонда VLDB, Ванку вер, Британская Колумбия, Канада, 28 августа 1 сентя бря 2023 г.; стр. 1897–1909.
- 15. Гаеми, З.; Фарнаги, М Подход к кластеризации на основе различной плот ности для обнару жения событ ий на основе гет ерогенных данных Твиттера. ISPRS Int. Дж. Гео-Инф. 2019, 8, 82. [CrossRef]
- 16. Алвим М; Хацикоколакис, К.; Паламидесси, К.; Пази, А. Локаль ная дифференциаль ная конфиденциаль ность в мет рических пространствах: оптимизация компромисса с полезностью. В мет ериалах симпозиу ма IEEE по основам компьютерной безопасности, Оксфорд, Великобритания, 9-12 июля 2018 г.
- 17. Андрес, Маң Борденабе, Небраска; Хацикоколакис, К.; Паламидесси, К. Геонеот личимость: дифференциаль ная конфиденциаль ность для систем основанных на определении мест оположения. В материалах конференции АСМ SIGSAC по компьютерной и коммуникационной безопасности, Берлин, Германия, 4-8 ноя бря 2013 г.; стр. 901-914.
- 18. Хацикоколакис, К.; Паламидесси, К.; Стронат и, М Геонеот личимость: принципиаль ны й подход к конфиденциаль ност и мест оположения. В мат ериалах Между народной конференции по распределенны мвы числения ми интернет-тех нология м, Бху банешвар, Индия, 5–8 февраля 2015 г.; стр. 49–72.
- 19. Ваң Л.; Яң Д.; Хаң Х.; Ваң Т.; Чжан, Д.; Ма, Х. Распределение задач по сох ранению конфиденциаль ност и мест оположения для мобиль ного крау дсенсорст вас дифференциаль ной геообфу скацией. В материалах Между народной конференции по всемирной пау т ине. Перт. А встралия. 3-7 апреля 2017 г.: стр. 627-636.
- 20. Цю, К.; Сквиччарини, АС Защита конфиденциаль ност и мест оположения в пространственном крау дсорсинге на основе транспортных средств посредством географической неот личимост и.
 В материалах Между народной конференции IEEE по распределенны мвы числитель ны мсистем в м. Даллас, Техас, США, 7–10 июля 2019 г.; стр. 1061–1071.
- 21. Джин, В.; Сяо, М; Го, Л.; Ян, Л.; Ли, М ULPT: Ориент ированная на поль зоват еля системат орговли конфиденциаль ностью мест оположения для мобиль ного зондирования т олпы.

 IEEE T ранс. Моб. Вы числить. 2022. 21. 3789—3806. [Перекрест ная ссылка]
- 22. Ху а ң П; Чжа ң Х.; Го, Л.; Ли, М Ст иму лирова ние монит оринга шу ма на основе крау дсенсорст ва в дифференциаль но-част ны х мест ах. IEEE T ранс. Мо б. Вы числит ь . 2021, 20, 519-532. [Перекрест ная ссылка]
- 23. Чжао Ю, Юань, Д.; Ду, Джей Ти; Чен, Дж. Гео-э ллипс-неразличимость: защита конфиденциальност и местоположения су чет омсообщества для направленного распределение. IEEE Транс. Знать. Данны е англ. 2023, 35, 6957-6967. [Перекрест ная ссылка]
- 24. ЮД, Чжаң С.; Мэң ЮДу, С.; Чең ЮД Рең ЮД Чжу, Х. Реклама на основе мест оположения, сохраняющая конфиденциальность посредст вомпродольной геонеот личимост и. IEEE Транс. Моб. Вы числить. 2024, 23, 8256-8273. [Перекрест ная ссылка]
- 25. Чжао Ю, Чен, Дж. Неразличимость векторов: защита конфиденциаль ности на основе зависимост и местоположения для последоват ель ных данных о местоположении. IEEE
 Пер. Вы числить. 2024. 73. 970–979. [Перекрест ная ссылка]
- 26. Мендес, Р.; Ку нья, М; Вилела, Дж. П. Географическая неот личимость су чет омскорости. В материалах конференции АСМ по данны ми Безопасность и конфиденциальность приложений, Шарлотт, Северная Каролина, СШа, 24–26 апреля 2023 г.; стр. 141–152.
- 27. Рең В.; Таң С.Э.Э. Гео Индис: Эффект ивная и дейст венная система защиты конфиденциаль ност и мест оположения при обнару жении плот ност и трафика. Вех. Коммин. 2020. 21. 100187. [CrossRef]
- 28. Ким Дж.В.; Лим Б. Эффект ивная и сохраняющая конфиденциальность оценка распределения плотности пользователей LBS в условиях геонеот личимости. Элект роника 2023, 12, 917. [CrossRef]
- 29. Чең, Р.; Ли, Л.; Может.; Гонг, Ю, Го, Ю, Оцу ки, Т.; По ң, М Пост роение мобиль ной крау дсорсинговой карты у я звимост ей COVID-19 С геонеот личимость ю. IEEE Internet Things J. 2022, 9, 17403–17416. [Перекрест ная ссылка]
- 30. Фатализаде, А.; Мохтадаи, В.; Алишахи, М Геонеот личимость в помещении: принятие дифференцированной конфиденциаль ности для помещений Зашита данных о местоположении. IEEE T ранс. Экстрен. Вершина. Вы числить. 2023. 12. 293–306. [Перекрестная ссылка]
- 31. Фейситаң О.; Балле, Б.; Дрейк, Т.; Дите, Т. Текстовый анализ, сохраняющий конфиденциальность и полезность, посредством калиброванных многомерных возмущений. В материалах Между народной конференции по веб-поиску и интеллектуальному анализу данных, Хьюстон, Техас, США, 3–7 февраля 2020 г.; стр. 178–186.

Элект роника 2024, 13, 3073 15 из 15

- 32. Песня, С.; Ким Дж. В. А дапт а ция геонеот личимост и для сбора медицинских микроданных с сох ранениемконфиденциаль ност и. Элект роника 2023, 12, 2793. [CrossRef]
- 33. Аху джа, Р.; Гинита, Г.; Шахаби, К. Сохраняющий у тилиты и масштабиру емый метод защиты данных о местоположении с помощью геонеразличимости. В материалах Между народной конференции по расширению технологий баз данных, Лиссабон, Порту га, 26–29 марта 2019 г.; стр. 210–231.
- 34. Блей, Д.М; Кучукель бир, А.; Мак Олифф, Дж. Д. Вариационный вывод: обзор для статистиков. Варень е. Стат. доц. 2017, 112, 859–877.

[Перекрест ная ссылка]

- 35. Чиб, С. Мет оды Монт е-Карло с цепя ми Маркова: вы числения и вы воды. Handb. Эхоном 2001, 5, 3569-3649.
- 36. Ли, Ю, Эрна ндес-Лобат о, ЈМ; Тернер, Р.Э. Распрост ранение ст охаст ического ожидания. arXiv 2018, arXiv:1506.04132.
- 37. Саммакнежад, Н.; Чжао, Ю, Хуанг, Б. Обзоралгорит мамаксимизации ожидания в идент ификации процессов, у правля емых данными. Дж. Управление процессами 2019, 73, 123-136. [Перекрест ная ссылка]
- 38. Хауэлл, ЧР; Су, В.; Нассель, АF; Агне, А.А.; Черрингтон, Алабама, стратифицированная случайная выборка на основе площади с исполь зованием геопространственных данных. тех нологии в опросе на у ровне сообщества. ВМС Public Health 2020, 20, 1678. [CrossRef] [Пабмед]
- 39. Морейра-Матиас, Л.; Гама, Дж.; Феррейра, М; Мендес-Морейра, Ж.; Дамас, Л. Прогнозирование спросанатакси и пассажиров с помощью пот оковой передачи данные. IEEE Транс. Интел. Трансп. Сист. 2013, 14, 1393–1402. [Перекрестная ссылка]
- 40. А па ч Ха ду п. Дост у пно онла йн: https://hadoop.apache.org/. (по сост оя нию на 22 июля 2024 г.).
- 41. Apache Spark у нифицированны й движок для кру пномасшт а бной а налит ики данных. Дост у пно онлайн: https://spark.apache.org/. (дост у пна 22 июля 2024 г.).

От каз от от вет ственност и/Примечание издателя: Заявления, мнения и данные, содержащиеся во всех публикациях, принадлежат исключитель но от дель ному автору (ам) и у частникам(ам), а не MDPI и/или редактору (ам). MDPI и/или редактор(ы) не несу т от вет ственност и залюбой вред людям или имуществу, возникший в результателюбых идей, методов, инструкций или продуктов, у помянутых вконтенте.